

٣٠٢٨

TN



٢٧٠

الف ٩

ب ٨

١٣٨٢

وزرات صنایع و معدن  
سازمان زمین‌شناسی و اکتشافات معدنی کشور  
طرح اکتشافات ناحیه‌ای سیستان و بلوچستان

گزارش اکتشافات ژئوشمیایی سیستماتیک ناحیه‌ای  
در  
حدوده برگه ۱۰۰۰۰۰۰۱: ایرانشهر و بمپور

کتابخانه سازمان زمین‌شناسی و  
اکتشافات معدنی کشور  
تاریخ:  
شماره ثبت:  
۸۱۷۷۹

تیرماه ۱۳۸۲

بِسْمِ اللّٰهِ الرَّحْمٰنِ الرَّحِيْمِ

## بیشگفتار

«انسان ساخته افکار خویش است فردا همان است که امروز می‌اندیشد»

در عصر حاضر با پیشرفت روز افزون بشر در شناخت قانونمندی‌های حاکم بر تشکیل ذخایر معدنی تدوین روش‌های علمی دقیق و توسعه فن آوری اکتشاف مواد معدنی در قالب برنامه‌ریزی‌های دقیق و منطقی و بکارگیری فن آوری‌های مدرن و پیشرفت‌هه صورت می‌گیرد.

برای رهگذر شناسایی اولویت‌ها بر اساس پتانسیل‌های هر منطقه انجام سرمایه‌گذاری‌های مناسب و اعمال مدیریتی هماهنگ از عوامل مؤثر در دستیابی به اهداف زیر بنایی توسعه هستند. مواد معدنی در توسعه صنایع رونق اقتصادی اشتغال‌زایی و رفع محرومیت‌ها نقش اساسی دارند به عبارت دیگر جهت دستیابی به توسعه پایدار و استقلال صنعتی و اقتصادی اکتشافات معدنی نقش مهم و کلیدی دارد بنابراین ایجاد بسترها مناسب و سرمایه‌گذاری در این زمینه از اهداف مهم در برنامه‌ریزی‌های کلان کشور است از سوی دیگر اهمیت این مسئله در سیستان و بلوچستان که به دلایل عدیده جغرافیایی و سیاسی در فقر و محرومیت واستضناک بسر برده است دو چندان می‌باشد برای نیل به این مقصود طرح اکتشافات ناحیه‌ای ژئوشیمیایی سیستماتیک سیستان و بلوچستان در مساحتی حدود ۳۵۰۰۰ کیلومتر مربع در دو روز اکتشافی خاش - سرباز و ادامه جبال بارز به اجر درآمد.

به هر حال این استان بعد از دهها سال محرومیت اکنون در اشتیاق کشف معادن گام‌های استواری بر می‌دارد. انجام اکتشافات ژئوشیمیایی با جدیدترین متدهای روز جهان، انجام

مطالعات دورسنجی با تازه‌ترین تصاویر ماهواره‌ای و ... از نشانه‌های آن است که نوید آینده‌ای بسیار روشن را می‌دهد.

گزارش موجود تلاشی است همگانی از کلیه کارشناسان طرح که در شرایط بسیار مشکل اقلیمی و امنیتی وظیفه خویش را به نحو احسن به انجام رسانیدند امید است که با یاری حق تعالی و تلاش مخلصانه‌ای که انجام گرفته پتانسیل‌های معدنی استان سیستان و بلوچستان هر چه بهتر شکوفا گردد. به امید آنروز ، ،

## تشکر و قدردانی

در ابتدا خدواند را سپاس می‌گوئیم که در سایه توفیقات خود ما را موفق به انجام این مهم گردانید و امیدواریم که در این راه خدمتی هرچند کوچک در جهت اعتلا و سازندگی فردای کشور اسلامی خود و به خصوص استان محروم سیستان و بلوچستان انجام گرفته باشد. گزارش موجود، حاصل تلاش همگانی است که بدون همکاری و مشایعت کلیه همکاران مختلف سازمان زمین‌شناسی و اکتشافات معدنی کشور علی‌الخصوص ریاست محترم سازمان زمین‌شناسی جناب آقای مهندس کره‌ای امکان‌پذیر نبود.

در اینجا مراتب تشکر و قدردانی خود را از معاونت محترم امور اداری و مالی سازمان زمین‌شناسی جناب آقای مهندس فرهادیان، ذی‌حسابی محترم جناب آقای حیدری و همکاران، مجری محترم طرح اکتشاف سراسری جناب آقای مهندس واعظی‌پور، ریاست محترم سازمان صنایع و معادن جناب آقای مهندس نام‌آور جهرمی و همچنین استانداری محترم سیستان و بلوچستان و فرمانداری محترم ایرانشهر ابراز می‌داریم.

از همکاری و مساعدت عزیزانمان جناب آقای مهندس مالکی معاونت محترم تولید، مهندس روانبخش رئیس دفتر صنایع و معادن ایرانشهر، بخشدار مرکزی محترم ایرانشهر جناب آقای خسروی که اکیپ‌های صحرایی را در شرایط سخت اقلیمی و امنیتی یاری نمودند کمال تشکر و قدردانی را داریم.

این گزارش در قالب طرح اکتشافات رئو شیمیایی سیستماتیک برگه ۱:۱۰۰۰۰ در استان سیستان و بلوچستان می‌باشد که حاصل تلاش بی‌شایشه افراد ذیل می‌باشد.

علیرضا اسدی کرم، رضا اسلامی، حسین افضلی، سعید جباری بوکانی، محسن جرجندی پور قاسم آبادی، اصغر دولتی، پروانه رضایی روزبهانی، داود زرنوشه، سید محمدامین زواره طباطبایی، معین قدیمان، ابراهیم علی‌اقدم کسیانی، مهدی کارجو، امین‌رضا محمدی‌گل، محمدرضا موسوی، عباس میراحمدی، محمدرضا هزاره، محمدرضا داریوش هوشمند در نهایت از سایر همکارانی که با ابراز محبت و مساعدت‌های بی‌دریغ خود موجب تسهیل و تسریع امور گشتند و از هیچ کوششی مضایقه نکردند تا این مهم انجام شود کمال تشکر و قدردانی را به عمل می‌آوریم و موفقیت روزافزون آنان را از ایزد منان خواستاریم.

## عنوان

## صفحه

چکیده

## فصل اول (کلیات)

۱	مقدمه
۲	موقعیت جغرافیایی ایرانشهر و راههای دسترسی به آن
۳	جغرافیای طبیعی منطقه
۴	جغرافیای انسانی منطقه
۶	تاریخچه مطالعات پیشین
۸	توبوگرافی منطقه
۸	رودخانه بمپور
۹	رودخانه کارواندر
۹	زمین‌شناسی عمومی منطقه
۱۱	چینه‌شناسی منطقه
۱۱	واحدهای سنگی کرتاسه بالایی
۱۳	واحدهای سنگی پالوسن
۱۳	واحدهای سنگی انوسن
۱۷	واحدهای سنگی الیگوسن
۱۸	واحدهای سنگی میوسن
۱۹	واحدهای سنگی پیلوسن
۱۹	واحدهای سنگی پیلوسن - کواترنری
۲۰	لیتلورژی منطقه
۲۰	تکتونیک (زمین‌ساخت)
۲۲	گسلها
۲۲	چینها
۲۲	لرزه زمین‌ساخت منطقه

۲۳	پتانسیل معدنی
۲۵	موقعیت جغرافیایی بمپور و راههای دسترسی به آن
۲۶	جغرافیایی طبیعی منطقه
۲۶	تاریخچه مطالعات پیشین
۲۷	زمین‌شناسی عمومی منطقه
۲۸	چینه‌شناسی بمپور
۲۹	واحدهای سنگی میوسن
۳۰	واحدهای سنگی کواترنری
۳۰	توپوگرافی
۳۱	لیتولوژی منطقه
۳۲	تکتونیک منطقه
۳۲	چینها و گسلها
۳۳	لرزه زمین ساخت منطقه
۳۴	پتانسیل معدنی منطقه

### فصل دوم (نمونه‌برداری)

۳۶	مقدمه
۳۶	طراحی شبکه نمونه‌برداری
۳۷	انجام عملیات نمونه‌برداری
۳۸	آماده‌سازی نمونه‌ها
۳۸	آنالیز نمونه‌های ژئوشیمیایی
۳۹	روش آنالیز نمونه‌های ژئوشیمیایی و حد حساسیت دستگاه‌ها
۳۹	دقت آنالیز نمونه‌های ژئوشیمیایی

### فصل سوم (جدایش جوامع سنگی)

۵۴	مقدمه
۵۴	جدایش جوامع سنگی

۵۹	بررسی مقادیر کلارک در سنگ‌های رخمنوندار منطقه
۶۱	بررسی زمینه محلی در هریک از جوامع سنگی و مقایسه آنها با جامعه کلی
	<b>فصل چهارم (پردازش داده‌های خام)</b>
۷۰	محاسبه پارامترهای آماری داده‌های خام
۷۰	بررسی مقادیر خارج از رده
۷۱	نرمال‌سازی داده‌های خام
۸۱	تعیین ضریب همبستگی
۸۴	بررسی‌های آماری چند متغیره
۸۶	آنالیز خوش‌های و تفسیر آن
	<b>فصل پنجم (پردازش داده‌های غنی‌شدگی)</b>
۹۰	محاسبه شاخص غنی‌شدگی و همگن‌سازی جوامع
۹۱	محاسبه پارامترهای آماری شاخص غنی‌شدگی
۹۱	بررسی مقادیر خارج از رده
۹۲	نرمال‌سازی شاخص‌های غنی‌شدگی
۱۰۲	تعیین ضریب همبستگی
۱۰۷	بررسی‌های آماری چند متغیره
۱۰۷	آنالیز خوش‌های و تفسیر آن
۱۱۷	آنالیز ویژگی فاکتورها
۱۱۷	جداسازی آنومالی‌ها از جامعه زمینه به روش N.P.
	<b>فصل ششم (تخمین شبکه‌ای)</b>
۱۲۱	تخمین شبکه داده‌ها
	<b>فصل هفتم (فاز کنترل آنومالی‌ها)</b>
۱۵۳	فاز کنترل آنومالی‌های ژئوشیمیابی
۱۵۴	ردیابی کانی سنگین

۱۵۶	بزرگی هاله‌های کانی سنگین
۱۵۶	نمونه‌برداری کانی سنگین
۱۵۷	آماده‌سازی نمونه‌ها
۱۵۹	نمونه‌های میز الیزه
۱۷۹	پردازش داده‌های کانی سنگین
۱۷۹	آنالیز خوش‌های داده‌های کانی سنگین
۱۸۵	ترسیم نقشه‌های متغیرهای کانی سنگین
۱۸۵	آنالیز ویژگی نمونه‌ها

## فصل هشتم (بررسی ساختارهای تکتونیکی)

۱۸۹	تکتونیک منطقه‌ای و ارتباط آن با کانی زایی
-----	---

## فصل نهم (تلفیق داده‌ها)

۱۹۴	تلفیق داده‌ها
۱۹۵	گردآوری اطلاعات
۱۹۵	داده‌های زمین‌شناسی
۱۹۵	داده‌های ژئوفیزیک هوایی
۱۹۹	داده‌های ژئوشیمی اکتشافی
۱۹۹	داده‌های دورسنجی
۱۹۹	تجزیه و تحلیل اطلاعات لایه‌ها
۲۰۴	آنمالی شماره ۱
۲۰۴	آنمالی شماره ۲
۲۰۴	آنمالی شماره ۳
۲۰۵	آنمالی شماره ۴
۲۰۵	آنمالی شماره ۵
۲۰۶	آنمالی شماره ۶
۲۰۶	آنمالی شماره ۷

۲۰۶	آنومالی شماره ۸
۲۰۷	آنومالی شماره ۹
۲۰۷	آنومالی شماره ۱۰
۲۰۸	آنومالی شماره ۱۱
۲۰۸	آنومالی شماره ۱۲
۲۰۸	آنومالی شماره ۱۳
۲۰۹	آنومالی شماره ۱۴
۲۰۹	آنومالی شماره ۱۵
۲۰۹	آنومالی شماره ۱۶

### فصل دهم (نتیجه‌گیری)

۲۱۱	نتیجه‌گیری
۲۱۲	محدوده آنومالی شماره ۱ (غرب باعچاه)
۲۱۲	محدوده آنومالی شماره ۲ (شمال رودخانه کورچور)

### فهرست منابع

# راهنمای فهرست اشکال برگه ۱:۱۰۰۰۰۰ ایرانشهر

صفحه	تا شکل	از شکل	عنوان
۵۱-۴۷	۵-۲	۱-۲	دیاگرام‌های تامسون
۵۲	*	۶-۲	منحنی خطای نسبی
۵۷	*	۱-۳	هیستوگرام جوامع سنگی
۶۹-۶۳	۷-۳	۲-۳	هیستوگرام عناصر زمینه محلی
۸۰-۷۴	۷-۴	۱-۴	پارامترهای آماری برای داده‌های خام
۸۵	*	۸-۴	اسکترپلات برای داده‌های خام نرمال شده
۸۸	*	۹-۴	دندروگرام داده‌های خام نرمال شده
۱۰۱-۹۵	۷-۵	۱-۵	پارامترهای آماری برای داده‌های شاخص غنی‌شدگی
۱۰۶	*	۸-۵	اسکترپلات داده‌های غنی شده
۱۰۹	*	۹-۵	دندروگرام داده‌های غنی شده
۱۱۴	*	۱۰-۵	اسکترپلات نتایج آنالیز فاکتوری
۱۴۴-۱۲۴	۲۱-۶	۱-۶	نقشه‌های آنومالی داده‌های خام و غنی شده
۱۵۰-۱۴۵	۲۷-۶	۲۲-۶	نقشه پراکندگی فاکتوری
۱۵۱	*	۲۸-۶	نقشه پرکندگی مقادیر PN
۱۵۲	*	۲۹-۶	نقشه آنالیز ویژگی فاکتورها
۱۸۴-۱۸۰	۵-۷	۱-۷	پارامترهای ثابت و هیستوگرم‌های کانی‌سنگین
۱۸۷	*	۶-۷	دندروگرام داده‌های کانی‌سنگین
۱۹۲-۱۹۱	۲-۸	۱-۸	نقشه گسله‌ها و رزدیاگرام‌ها و دانسیته گسله‌ها
۱۹۶	*	۱-۹	نقشه زمین‌شناسی
۱۹۷	*	۲-۹	نقشه گسله‌ها
۱۹۸	*	۳-۹	نقشه ژئوفیزیک
۲۰۱	*	۴-۹	نقشه محدوده ژئوشیمی
۲۰۲	*	۵-۹	نقشه دورسنجی
۲۰۳	*	۶-۹	نقشه محدوده آنومالی‌ها
۲۱۳	*	۱-۱۰	نقشه مناطق معرفی شده برای نیمه‌تفضیلی

## راهنمای جداول برگه ۱۰۰۰۰۰۰ ایرانشهر

صفحه	تا جدول	از جدول	عنوان
۲۱	*	۱-۱	لیتوژوژی برگه ۱۰۰۰۰۰۰ ایرانشهر
۳۲	*	۲-۱	لیتوژوژی برگه ۱۰۰۰۰۰۰ بمپور
۴۶-۴۱	۶-۲	۱-۲	میانگین و اختلاف نمونه‌های تکراری
۵۲	*	۷-۲	خطای استاندارد و خطای نسبی
۵۵	*	۱-۳	جوابع سنگی برگه ۱۰۰۰۰۰۰ ایرانشهر
۶۰	*	۲-۳	مقادیر کلارک
۷۲	*	۱-۴	نمونه‌های خارج از رده برای داده‌های خام
۸۳	*	۲-۴	ضریب همبستگی پیرسن برای داده‌های خام
۸۴	*	۳-۴	ضریب همبستگی اسپیرمن برای داده‌های خام
۹۳	*	۱-۵	نمونه‌های خارج از رده برای داده‌های شاخص غنی‌شدگی
۱۰۴	*	۲-۵	ضریب همبستگی پیرسن برای شاخص غنی‌شدگی
۱۰۵	*	۳-۵	ضریب همبستگی اسپیرمن برای شاخص غنی‌شدگی
۱۱۳-۱۱۲	۵-۵	۴-۵	نتایج آنالیز فاکتوری
۱۱۶	*	۶-۵	نتایج COMPONENT MATRIX
۱۱۹	*	۷-۵	نمونه‌های آنومالی به روش PN
۱۶۸-۱۶۰	۹-۷	۱-۷	مشخصات نمونه‌های کانی سنگین
۱۷۸-۱۶۹	۱۹-۷	۱۰-۷	نتایج مطالعات نمونه‌های کانی سنگین
۱۷۸	*	۲۰-۷	نتایج نمونه‌های مینرالیزه

## چکیده

محدوده مورد مطالعه در قالب نقشه ۱/۱۰۰۰۰ ایرانشهر از توابع استان سیستان و بلوچستان بوده، در جنوب ورقه ۱/۲۵۰۰۰ ایرانشهر واقع است. این منطقه در محدوده جغرافیایی ۲۷°۰۰'،۰۰ تا ۳۰°۳۰'،۰۰ عرض شمالی و ۶۰°۰۰'،۰۰ تا ۶۱°۰۰'،۰۰ طول شرقی، در قسمت مرکزی بلوچستان ( ۳۶۵ کیلومتری زاهدان ) قرار دارد و شامل نقشه های توپوگرافی ۱/۵۰۰۰۰ دامن، باع چاه، ابتر و ایرانشهر و محدوده بمپور در قالب نقشه ۱/۱۰۰۰۰ بمپور از توابع استان سیستان و بلوچستان بوده و در جنوب غربی ورقه ۱/۲۵۰۰۰ ایرانشهر واقع است. این منطقه در محدوده جغرافیایی " ۶۰°۰۰'،۰۰ تا ۳۰°۳۰'،۰۰ عرض شمالی و ۲۷°۰۰'،۰۰ تا ۲۷°۳۰'،۰۰ طول شرقی و در فاصله ۲۵ کیلومتری غرب شهرستان ایرانشهر قرار دارد و شامل نقشه های توپوگرافی ۱/۵۰۰۰ رودخانه دیگران، بمپور، سرتختی، شمال سرتختی است می باشد.

در این دو برگه از روش رسوبات آبراهه های برای اکتشافات ژئوشیمیایی استفاده شده و شبکه نمونه برداری با در نظر گرفتن عواملی نظیر لیتوژی، گسل و غیره طوری طراحی گردید که حداکثر انطباق را با روش مرکز ثقل داشته باشد. در مجموع ۴۶۸ نمونه ژئوشیمیایی ( ۲۵ نمونه برگه بمپور می باشد) برداشت گردید در این پروژه ۲۲ عنصر یعنی Se, Sr, Ba, Au, As, Sb, Be, Hg, W, Pb, Ni, Mo, Sn, Ag, Co, Cu, برای برگه بمپور می باشد) برداشت گردید در این پروژه ۲۲ عنصر یعنی Se, Sr, Ba, Au, As, Sb, Be, Hg, W, Pb, Ni, Mo, Sn, Ag, Co, Cu, گرفتند. عنصر Au به روش جذب اتمی و سایر عناصر به روش ICP MASS اندازه گیری شده اند. برای کنترل دقت آنالیزها از نمودارهای کنترلی تامپسون و محاسبه خطای نسبی استفاده شد. برای حذف اثر لیتوژی از محاسبه شاخص غنی شدگی با نرم افزار کردن مقادیر مربوط به تک تک متغیرها به میانه همان جامعه ( جامعه تفکیک شده بر اساس شباهتها و تفاوتها )

لیتوژوپیکی) استفاده شد. پردازش‌های آماری تک متغیره و چند متغیره از جمله محاسبه ضرایب همبستگی، آنالیز خوشای، آنالیز ویژگی، تجزیه و تحلیل فاکتوری و غیره بر روی داده‌های شاخص غنی‌شدگی اعمال شده و نتایج مورد تفسیر و تعبیر قرار گرفتند و از این طریق کمپلکس‌های پارازنری عناصر شناسایی شد.

همچنین نقشه‌های تک متغیره، آنالیز فاکتوری، آنالیز ویژگی، P.N با استفاده از برنامه تخمین شبکه‌ای برای داده‌های خام و شاخص غنی‌شدگی ترسیم گردید و ۱۶ منطقه آنومالی مقدماتی داده‌های رئوژیمیابی با استفاده از تلفیق نقشه‌های فوق معرفی گردید.

فاز کنترلی آنومالی واقعی از آنومالی‌های کاذب و مشخص نمودن فاز پیدایش عناصر مختلف با مطالعات صحرایی و برداشت کانی سنگین و نمونه‌های مینرالیزه طراحی گردید که در حدود ۶۲ نمونه کانی سنگین و ۱۷ نمونه مینرالیزه برداشت گردید. برای نمونه‌های کانی سنگین نیز پردازش صورت گرفته و نمودارهای هیستوگرام برای آنها ترسیم گردید.

در نهایت مناطق نهایی (دو محدوده شمال‌غرب باغ‌چاه، شمال رودخانه کورچور) حاصل از تلفیق اطلاعات رئوژیمی، کانی سنگین، مینرالیزه، دانسیته گسلها و نتایج دورسنجی و رئوفیزیک مشخص شد تا برای انجام عملیات نیمه تفضیلی معرفی گردد.

فصل اول

کلیات



## مقدمه

یکی از بخش‌هایی که در توسعه اقتصادی و اجتماعی کشور در سال‌های اخیر و در حال حاضر مورد توجه دولتمردان و سیاستگزاران محترم بوده به دادن به بخش اکتشافات مواد معدنی در کشور می‌باشد به خصوص در مناطق محروم جهت محرومیت‌زدایی و اشتغال‌زایی توجه و توسعه این مهم می‌تواند راهگشای استقلال و توسعه این مناطق باشد جهت نیل به این مقصود طرح اکتشافات معدنی استان سیستان و بلوچستان توسط سازمان زمین‌شناسی کشور به مرحله اجرا رسیده است.

اکتشافات ژئوشیمیایی با نمونه‌برداری از رسوبات آبراهه‌ای منطقه شروع و پس از تجزیه، تحلیل و پردازش داده‌ها و رسم نقشه ناهنجاری‌های ژئوشیمیایی با کنترل آنومالی‌ها از طریق بررسی‌های صحرایی، نمونه‌های مینرالیزه و فرآیندهای آلتراسیون، با مشخص نمودن مناطق با آنومالی‌های ژئوشیمیایی بالا پایان می‌پذیرد.

گزارش حاضر بخشی از مطالعات طرح اکتشافات استان سیستان و بلوچستان می‌باشد که در محدوده برگه‌های ۱/۱۰۰۰۰۰ ایرانشهر و بمپور انجام گرفته است و شامل ارزیابی نتایج اکتشافات ژئوشیمیایی ناحیه‌ای و بررسی‌های زمین‌شناسی اقتصادی است که پس از تلفیق با دیگر لایه‌های اطلاعاتی از جمله داده‌های ژئوفیزیک هوایی و ماهواره‌ای، مناطق امیدبخش جهت انجام عملیات اکتشافی تکمیلی در مراحل بعدی معرفی نموده است.

## موقعیت جغرافیایی ایرانشهر و راههای دسترسی به آن

محدوده مورد مطالعه در قالب نقشه ۱/۱۰۰۰۰۰ ایرانشهر از توابع استان بلوچستان بوده، در جنوب ورقه ۱/۲۵۰۰۰۰ ایرانشهر واقع است. این منطقه در محدوده جغرافیایی "۲۷°۰۰'۰۰" تا "۲۷°۳۰'۰۰" عرض شمالی و "۶۰°۳۰'۰۰" تا "۶۱°۰۰'۰۰" طول خاوری، در قسمت مرکزی بلوچستان (۳۶۵ کیلومتری زاهدان) قرار دارد و شامل نقشه های توپوگرافی ۱/۵۰۰۰۰ دامن، باغ چاه، ابتر و ایرانشهر است.

از نظر تقسیمات زمین شناسی ایران این محدوده جزء زون جنوب خاوری ایران و زیر پهنه جازموریان محسوب می شود که در خاور فرورفتگی هامون - جازموریان قرار دارد. بر اساس طرح مناطق پتانسیل دار ایران نیز منطقه مورد مطالعه جزء زون ایرانشهر - سرباز محسوب می گردد. ایرانشهر به عنوان یکی از شهرهای بزرگ بلوچستان که تمرکز جمعیت و مراکز دولتی و صنایع و را در خود جای داده بوسیله جاده های آسفالتی به شهرهای بزرگ زاهدان - چاه بهار - بم و کرمان مرتبط است. معهذا در کل سیستم راههای ارتباطی در آن مشتمل بر راههای آسفالتی اصلی و خاکی است.

راههای آسفالتی اصلی که ارتباط این شهرستان را با بخش های خاور، باخته، شمال خاور و جنوب خاور ورقه می سازد و راههای خاکی که ارتباط بین مناطق را در نیمه خاوری ورقه امکان پذیر می سازد. سایر راههای فرعی در نیمه شمالی ورقه متمرکز بوده، امکان دسترسی به مراکز مختلف را در این محدوده ممکن می سازد. تنها یک راه فرعی در جنوب باخته ورقه وجود دارد (محمدآباد - گوهريشت) که امکان ارتباط را در اين قسمت ممکن می سازد.

## جغرافیای طبیعی منطقه

ایرانشهر یکی از گرمترين و قدیمی ترین شهرهای بلوچستان است که به سبب شرایط خاص طبیعی خود کمی ارتفاع (۵۸۰ متر از سطح دریا)، دوری از دریا، کمی رطوبت و عرض جغرافیایی کم دارای آب و هوای گرم و خشک و بیابانی و سوزان می باشد.

حداکثر دما در تابستان (ماه تیر) در این منطقه ۵۱ درجه بالای صفر و حداقل دمای آن در ماههای آذر و دی حدود صفر درجه است. بطوری که اختلاف و نوسان دما در این شهر بین زمستان و تابستان و حتی در یک شباهه روز بسیار زیاد بوده و میانگین درجه حرارت سالانه آن بیش از ۲۵ درجه سانتیگراد است.

این منطقه همچنین از نظر منابع آبی فقیر بوده، میزان بارندگی آن ناچیز (حداکثر ۱۷۳ میلیمتر و حداقل ۱۲ میلیمتر در سال) و سفره های آبهای زیرزمینی آن چندان بهره ای ندارند.

ایرانشهر از جمله مناطقی در بلوچستان است که بیشترین اراضی آن را شنزارهای فعال در برگرفته اند. لذا از نظر آب زیرزمینی نظر به اینکه جنس زمین بیشتر شنی و ماسه ای است حفر چاه با اشکال مواجه است. ولی این امر دال بر عدم توانایی در حفر چاه و استفاده از منابع آب زیرزمینی نیست. میزان رطوبت نسبی نیز در منطقه کم بوده و در ساعت ظهر در ایرانشهر به ۲۸ می رسد و تعداد روزهای یخ زدن آن ۲ روز در سال است.

فرساش بیابانی، کمی نزولات جوی، بالا بودن متوسط دما در این شهر عامل مهمی در محدوده ساختن استعداد و حاصلخیزی خاک است به طوری که عمدۀ پوشش گیاهی در آن از نوع استپ بیابانی است که در قسمت کوهستانی از موقعیت بهتری برخوردار است. در جنوب ایرانشهر نیز جنگلی به طول تقریبی ۵۴ کیلومتر و عرض ۳ کیلومتر تا کنار ریگزارهای غربی کشیده شده است.

که از درختان رایج آن می‌توان کهور، گز، بنه، نخل وحشی (دار)، تاغ، سور، اسکنبل، قیچ، کاروان‌کش را نام برد که اغلب به صورت درختچه‌های پراکنده‌ای هستند که نسبت به جنس و شوری خاک متغیرند وجود درختان جنگلی، بادام وحشی، کلیر و پده اطراف دامن نیز حائز اهمیت است.

مراوع در ایرانشهر نیز وضعیت متوسطی دارند و تولید آنها ۱۲۰ تا ۱۵۰ کیلوگرم در هکتار می‌باشد. از این مراوع می‌توان مراوع سریاز در ایرانشهر را نام برد. تنوع گونه‌های مراوع نسبتاً زیاد بوده و تاکنون چند گونه مهم مرتعی مورد شناسایی قرار گرفته‌اند که نشان‌دهنده غنی بودن مراوع از نظر گونه می‌باشد. گونه‌های مهم مرتعی شامل گون، درمنه، قیچ، گراسها، بگن، سور، اسفناج، یونجه و نئی می‌باشند.

از محصولات عمده این شهرستان می‌توان خرما، گندم، باقل، موز، برج، انبه و ذرت، جو، نارگیل، مرکبات و از پوشش‌های جانوری در آن می‌توان گلو، گوسفند، بز و شتر را نام برد.

## جغرافیای انسانی منطقه

ایرانشهر یکی از شهرهای بزرگ و قدیمی بلوچستان محسوب می‌شود که به سبب وجود مراکز فرهنگی و آموزشی، ادارات، مراکز دولتی و صنایع نسبت به سایر شهرهای مجاور از توسعه و گسترش بالاتری برخوردار بوده و جمعیت بیشتری را در خود جای داده است. با این وجود یکی از ویژگیهای اساسی جمعیت استان، ترکیب قومی و ایلی آنها است. چه در جامعه روستایی و شهری قسمت اعظم جمعیت را ایلات و طوایف تشکیل می‌دهند و افراد یک طایفه بسیار به یکدیگر نزدیکند و روابط خویشاوندی سببی یکی از مسائل اجتماعی مهمی است که در محدود کردن

تعارضات و کینه توزیهای برون طایفه‌ای اثر گذاشته و مانع از دشمنی‌های درون طایفه‌ای می‌گردد. مناسبات اجتماعی و خودداری‌های گروهی، همبستگی در کشمکش‌های برون طایفه‌ای و نمودهای دیگری که بیانگر وضعیت اجتماعی ایلی در گذشته و حال است در بین مردم این منطقه کماکان به چشم می‌خورد. از مهمترین طوایف محدوده ایرانشهر می‌توان بارگزه‌ی، سعیدی، زین‌الدینی، بامری، مبارکی، لشاری، شیرانی، رئیسی، سردارزه‌ی، درزادگان را نام برد.

این شهر دارای بخش‌های مرکزی بمپور، سرباز، راسک و بزمان است و مردم آن از نژاد آریایی و طایفه بلوج بوده، مسلمان هستند و مذهب آنها به دو صورت سنی و شیعه می‌باشد. (گروه کوچکی نظیر بامریها) و علاوه بر زبان فارسی به لهجه بلوجی گویش دارند.

پوشش مردم منطقه متأثر از شرایط آب و هوایی حاکم بر منطقه غالباً سننتی است اگر چه در مرکز شهرستان افرادی با پوشش معمولی دیده می‌شوند. به جز ساختمانهایی که به سبک جدید ساخته شده‌اند در اطراف مرکز شهرستان ساختمانهای سننتی در روستاهای با سبک معماری خاص خود دیده می‌شود. (سقف مسطح با دیوارهای ضخیم بلند و پنجره‌هایی که در آن تعابیه شده و بوسیله دیوارهای سنگی و گلی از یکدیگر مجزا می‌شوند). به جز صنایع معدود در مرکز شهر با اشتغالزایی محدود، گروه کثیری از جمعیت استان به زندگی کوچ نشینی، چادرنشینی، دامپروری و دامداری مشغولند. دامداری در منطقه به روشهای مختلف روستایی، بسته، عشايری صورت می‌گیرد و صنایع موجود در استان نیز به دو دسته صنایع ماشینی و دستی تقسیم بندی می‌شوند.

صنایع ماشینی شامل صنایع غذایی (کارخانه نان ماشینی، آردسازی، یخ سازی)، صنایع نساجی و پوشاک (کارخانه نساجی، رسندگی و بافندگی)، صنایع دستی (سوzen دوزی، گلیم بافی، پشتی بافی، حصیربافی، سکه‌دوزی، چادربافی، پرده بافی، دکمه دوزی، قالیبافی) می‌باشد.

ایرانشهر شهری است که به سرعت رو به توسعه و آبادانی می‌رود زیرا بوسیله جاده‌های آسفالته به زاهدان، چاه بهار، بم و کرمان مرتبط است. این شهر به عنوان یکی از قطب‌های جذب جمعیت و مرکز صنعت و دانش و تولید محصولات کشاورزی استان در نظر گرفته شده است و برای رسیدن به این هدف برنامه‌ریزی‌های گستره‌ای به عمل آمده و بسیاری از آنها مورد بهره‌برداری قرار گرفته و بقیه در دست اجراست. وجود فرودگاه از عوامل مهم در توسعه این شهر به شمار می‌رود.

### تاریخچه مطالعات پیشین

از مطالعات صورت گرفته در منطقه مورد مطالعه می‌توان به این موارد اشاره نمود:

گزارشات کلی زمین‌شناسی که توسط شرکت ملی نفت ایران در قالب مطالعات عکس‌های هوایی در منطقه بلوچستان صورت گرفته و منطقه مورد مطالعه را پوشش می‌دهد.

مطالعات زمین‌شناسی که توسط دکتر ارشدی و مهدوی روی محدوده ۱/۱۰۰۰۰۰ ایرانشهر صورت گرفت، ولی نقشه زمین‌شناسی آن منتشر نشد بلکه نتیجه این مطالعات به همراه گزارشات ۵ ورقه دیگر زمین‌شناسی در نهایت توسط مهندس سهندی به صورت نقشه ۱/۲۵۰۰۰۰ ایرانشهر در سال ۱۳۷۵ چاپ گردید.

گزارشات پی‌جوبی مواد اولیه مصالح ساختمانی در اطراف شهرستان ایرانشهر که توسط منوچهر شریفی نوریان در سال ۱۳۶۳ صورت گرفت.

گزارش بررسی‌های زمین‌شناسی مهندسی و ژئوتکنیک در محوطه شهری ایرانشهر که توسط مرتضی امینی در سال ۱۳۶۱ انجام شد.

مطالعات ژئوفیزیکی منطقه ایرانشهر (۳۷۰ کیلومتری جنوب غرب زاهدان) به منظور تعیین ضخامت لایه‌های آبدار و سفره‌های آب زیرزمینی و بررسی وضعیت هیدروژئولوژی و تعیین جنس و عمق سنگ کف که به طریقه ژئوالکتریکی (۴۶۰ سونداز) توسط سازمان آب منطقه‌ای جنوب شرق و با همکاری مهندسین مشاور آب و خاک در سالهای ۱۳۵۰-۵۱ صورت پذیرفته است.

بررسی‌های الکتریکی آبهای زیرزمینی مناطق ایرانشهر و گوهرکوه به منظور بررسی سفره‌های آب زیرزمینی و تخمین ضخامت آبرفت‌ها که به طریقه ژئوالکتریکی (۱۳۶ سونداز) توسط وزارت آب و برق و با همکاری مهندسین مشاور آبکاو در سال ۱۳۴۸ صورت گرفته است.

مطالعات الکتریکی منطقه سرکهوران و لایگون ایرانشهر به منظور تعیین وضعیت هیدروژئولوژی و شناخت سنگ کف و وجود گسلهای احتمالی که به طریقه ژئوالکتریکی توسط شرکت سهامی آب منطقه‌ای سیستان و بلوچستان و همکاری مهندسین مشاور تهران سحاب و شرکت صحراءکاو به مدت ۲ ماه در سال ۱۳۷۱ صورت پذیرفته است.

مطالعات ژئوفیزیک گزینه‌ای سد در حوالی ایرانشهر به منظور بررسی دریاچه و محور سد توسط سازمان آب منطقه‌ای سیستان و بلوچستان و همکاری زمین فیزیک به مدت ۱۰ ماه در سال ۱۳۷۸ صورت گرفت.

مطالعات ژئوفیزیکی کانسار مس ایرانشهر که به منظور بررسی کانسارهای مس و اکتشاف مواد معدنی بطريقه ژئوالکتریکی و توسط اداره کل معادن و فلزات استان سیستان و بلوچستان و همکاری تهران پادیر در سال ۱۳۷۹ صورت پذیرفته است.

## توبوگرافی منطقه

مرتفع‌ترین بخش منطقه به ارتفاع ۱۴۳۰ متر در نیمه شمالی ورقه، جنوب باختر روتای کهنه مربوط به آهک‌های دامن از سری رسوبات کارواندار است و پست‌ترین بخش آن به ارتفاع ۶۶۴ متر مربوط به رسوبات کواترنری جنوب باختری ورقه می‌باشد.

سیستم آبراهه‌های اصلی در منطقه از روند عمومی شمالی - جنوبی (دامن)، خاوری، باختری (بمپور)، شمال خاور - جنوب باختری (کوچو و تال اراهی) تبعیت نموده، دارای انشعابات فرعی متعددی با روندهای مختلف می‌باشند که نقش مهمی را در زهکشی و آبیاری و رونق کشاورزی در منطقه دارند.

از رودخانه‌های معروف در منطقه می‌توان رودخانه‌های بمپور، کارواندر(دامن)، تال اراهی و کوچو را نام برد که رودخانه بمپور در نیمه جنوبی و رودخانه دامن در نیمه شمالی ورقه، رودخانه تال اراهی در نیمه باختری و رودخانه کوچو در نیمه خاوری ورقه قرار دارد.

### رودخانه بمپور

که در ۶ کیلومتری جنوب غربی بمپور قرار داشته و از ارتفاعات خاوری ایرانشهر سرچشمه می‌گیرد. این رودخانه با درازای حدود ۲۷۵ کیلومتر آبهای قسمت شرقی بلوچستان را جمع‌آوری کرده و بعد از مشروب نمودن ناحیه‌ای به وسعت ۲ در ۴ کیلومتر حد ما بین ایرانشهر و بمپور از آن گذشته و به دریاچه فصلی جازموریان می‌ریزد. این رودخانه تقریباً در تمام طول سال آب داشته ولی میزان آن به اندازه‌ای است که فقط می‌توان کشت و زرع مختصه را در اطراف آن انجام داد. قابل توجه اینکه حوضه آبریز این رودخانه شامل حوضه آبریز جازموریان می‌باشد.

## رودخانه کارواندر

از شعبات اصلی بمپور است که تا قریه کارواندر واقع در شمال ایرانشهر دارای آب جاری دائم است مازاد آب آن در این محل در بستر رودخانه فرو می‌رود و در پایین دست رودخانه در محل دامن در آغاز دشت ایرانشهر مجدداً از زیرزمین خارج می‌شود و همراه با چند شاخه کوچک به رود بمپور می‌پیوندد و این رودها در نهایت به هامون جازموریان می‌ریزند.

از کوههای معروف در منطقه می‌توان کوه دامن و سلسله جبال آهوران را نام برد. سلسله جبال آهوران که شهرستان ایرانشهر و چاهبهار را از یکدیگر جدا نموده و تنگه معروف سرحد بین آنها واقع شده است و کوه دامن که با ارتفاع ۱۴۳۰ متر به عنوان مرتفع‌ترین بخش منطقه محسوب شده و در بر گیرنده رسوبات آهکی با اسکارپ‌های فراوان است.

وجود پرتگاه‌ها (Escarpmants) در رسوبات کواترنری، پلیوسن نیمه شمالی ورقه و آهکهای کوه دامن، وجود ساختمانهای تکتونیکی در نیمه شمالی ورقه، وجود چشمۀ‌های آب گرم و معدنی ابتر در خاور ورقه و همچنین در جنوب خاور کوچابالا، وجود دشت‌های سیلابی و دریاچه‌ای از پدیده‌های باز زمین‌شناسی در منطقه محسوب می‌شود. قابل توجه اینکه شیب عمومی طبقات بین ۳۱ تا ۶۰ درجه متغیر است.

## زمین‌شناسی عمومی منطقه

از نظر تقسیمات زمین‌شناسی ایران منطقه مورد مطالعه در زون جنوب‌خاوری ایران واقع بوده و بر اساس نقشه واحدهای ساختمانی، رسوبی ایران، م.ج.نبوی، ۱۳۵۵، جز، زیر پهنه جازموریان محسوب می‌شود.

در منطقه سنی قدیمی‌تر از کرتاسه بروند ندارد بطوری که قدیمی‌ترین و جوانترین رسوبات موجود در منطقه به ترتیب مربوط به زمانهای کرتاسه بالایی و کواترنری می‌باشد. بررسی‌های ژئوفیزیک هواپی نیز نشانگر آن است که در این منطقه پی‌سنگ از نوع اقیانوسی است.

قدیمی‌ترین نهشته‌های این منطقه به علت عملکرد فاز کوهزایی لارامید در اواخر کرتاسه شامل آمیزه‌های افیولیتی می‌باشد که به دنبال حرکات کوهزایی و فرسایش شدید در اعماق با رسوبات اقیانوسی آمیخته شده تشکیل کالردملانزها را می‌دهند که کلاً در نیمه خاوری ورقه بروند دارند. رسوبات در زمان سنتزیک با توجه به عملکرد فاز کوهزایی لارامید در پالئوسن با ماسه‌سنگهای آرکوزیک تا ساب آرکوزیک پوشیده می‌شود.

حال آنکه رسوبگذاری زمان ائوسن با یک کنگلومراخ قاعده‌ای شروع می‌شود و در ادامه پیش روی دریا رسوبات آهکی آلتوئین‌دار و نومویت‌دار و پلازیک بر جای گذاشته می‌شوند. این مجموعه رسوبی اغلب به دنبال عملکرد فعالیتهای آتشفسانی پراکنده در منطقه با سنگهای آتشفسانی همراه است. در انتهای زمان ائوسن اغلب رسوبات از نوع آواری و تخریبی می‌باشد که معرف کم عمق‌شدن حوضه رسوبی دریایی است.

در زمان الیگوسن، میوسن و پلیوسن، تمامی رسوبات از نوع رسوبات تخریبی و رخساره‌های خشکی بوده و شامل کنگلومراخ، ماسه سنگ، سیلیستون، مادستون و شیل می‌باشند که معرف حوضه رسوبی کم عمق است. بنابراین می‌توان مشاهده نمود که روند تکاملی زمین‌شناسی منطقه از زمان کرتاسه بالایی تا کواترنری با کم عمق شدن حوضه رسوبی دریایی همراه بوده است.

## چینه‌شناسی منطقه

بر اساس مطالعات چینه‌شناسی صورت گرفته روی نقشه ۱/۲۵۰۰۰ ایرانشهر، سنی قدیمی‌تر از کرتاسه در منطقه بروزد ندارد. بطوری که جوانترین و قدیمی‌ترین رسوبات به ترتیب شامل کواترنری و کرتاسه بالایی می‌باشند. واحدهای سنگی شناخته شده در منطقه نیز به تفکیک زمانی از قدیمی‌ترین به جوانترین عبارتند از:

### واحدهای سنگی کرتاسه بالایی

Kusp<sup>d</sup>

این واحد سنگی بطور پراکنده در نیمه خاوری و جنوب ورقه مورد مطالعه و درکنタکت با رسوبات زمان ائوسن، کرتاسه بالایی، کواترنری و پلیوسن دیده شده، لیتولوژی آن شامل اسپیلیت و دیاباز می‌باشد و در بعضی قسمتها گسل خورده است.

Kusp

لیتولوژی این واحد سنگی شامل سنگهای اسپیلیتی بوده، با پراکنش بسیار محدود در جنوب ورقه دامن و شمال خاور ورقه ابتر و در کنタکت با رسوبات زمان ائوسن، کرتاسه بالایی و کواترنری دیده می‌شود.

gb

این واحد سنگی بطور محدود و پراکنده در نیمه خاوری ورقه مورد مطالعه و در کنタکت با رسوبات زمان ائوسن - کرتاسه بالایی و کواترنری - پلیوسن دیده شده، لیتولوژی آن شامل گابروهای کرتاسه بالایی است.

Kud

این واحد سنگی با پراکنش محدود در نیمه خاوری ورقه مورد مطالعه (جنوب ورقه دامن - شمال خاور ورقه ابتر) و در کنタکت با رسوبات زمان ائوسن، کرتاسه بالایی و کواترنری دیده شده، لیتولوژی آن شامل دیاباز میباشد.

KupI

این واحد سنگی به طور محدود در جنوب و خاور ورقه توپوگرافی ابتر و در کنタکت با رسوبات زمان کرتاسه بالایی، پالئوسن، کواترنری، ائوسن دیده میشود و لیتولوژی آن شامل آهک پلازیک به همراه کمی رادیولاریت کرتاسه بالایی است.

Cm2

این واحد سنگی تنها در بخش خاوری ورقه  $1/50000$  توپوگرافی ابتر و در کنタکت با رسوبات زمان کرتاسه بالایی، ائوسن و کواترنری دیده میشود. لیتولوژی آن شامل تکههای افیولیتی در ارتباط با رسوبات پلازیک کرتاسه بالایی و سنگهای رسوبی ائوسن است و در بعضی قسمتها گسله است.

Cm1

این واحد سنگی تنها در نیمه خاوری ورقه مورد مطالعه (جنوب خاور ورقه ۱/۵۰۰۰ توپوگرافی ابتر و بطور بسیار محدودی در بخش میانی ورقه توپوگرافی ۱/۵۰۰۰ دامن) واقع است و در کنタکت با رسوبات زمان ائوسن، کرتاسه بالایی و کواترنری دیده شده و لیتولوژی آن شامل رسوبات کالردملازی کرتاسه بالایی می‌باشد.

### واحدهای سنگی پالئوسن

Pes

این واحد سنگی به صورت بسیار ناچیز و معدهود در گوشه جنوب خاوری ورقه مورد مطالعه و در کنタکت با رسوبات کرتاسه بالایی دیده شده، لیتولوژی آن شامل ماسه سنگ آرکوزیک تا ساب آرکوزیک می‌باشد.

### واحدهای سنگی ائوسن

Edsp

این واحد سنگی تنها در شرق ورقه مورد نظر در حد فاصل "۲۷,۱۹,۰۰ تا ۲۷,۱۴,۰۰" عرض شمالی و "۵۵,۰۰ تا ۶۰,۰۰" طول خاوری با سن ائوسن زیرین و میانی قرار دارد و در کنタکت با رسوبات زمان ائوسن و کواترنری و کرتاسه بالایی است. شیب عمومی طبقات در این

واحد سنگی بین  $31^{\circ}-6^{\circ}$  درجه تا  $31^{\circ}$  متغیر است. و لیتولوژی آن شامل دیاباز و اسپیلیت می‌باشد.

E1c

این واحد سنگی بطور پراکنده و محدود در نیمه خاوری ورقه و در کنタکت با رسوبات زمان ائوسن، کراتسه بالایی، کواترنری و پلیوسن دیده می‌شود و بیشترین تمرکز آن در خاور و جنوب کوهگان و شرق رست آباد است. لیتولوژی این واحد سنگی شامل کنگلومراهای قاعده‌ای است.

E1vs

این واحد سنگی به صورت پراکنده و محدود تنها در شمال خاور ورقه مورد مطالعه و در کنタکت با رسوبات زمان پلیوسن - کواترنری و ائوسن دیده شده و لیتولوژی آن شامل شیل قرمز، آهک پلازیک به همراه سنگهای آندزیتی و اسپیلیتی می‌باشد.

E3k1

این واحد سنگی با پراکنش محدود در نیمه شمالی ورقه (در غرب و شمال غرب ورقه  $1/50000$ ) توپوگرافی دامن و شمال خاور ورقه باغ چاه) و در کنタکت با رسوبات زمان ائوسن و الیگوسن، پلیوسن - کواترنری و میوسن دیده می‌شود. وجود پرتگاهها، گسلهای ساختمان ناودیسی در این واحد سنگی قابل توجه بوده و لیتولوژی آن شامل آهکهای دامن می‌باشد که از مرتفع‌ترین مناطق ورقه به شمار می‌روند.

E3km

این واحد سنگی با پراکنش بسیار محدود و لیتولوژی مارنی، در حد بالایی نیمه شمالی ورقه مورد مطالعه و شمال روستای کوچا بالا و در کنタکت با رسوبات زمان الیگوسن، پلیوسن - کواترنری و ائوسن دیده می شود.

E3k

این واحد سنگی با لیتولوژی شیل، ماسه سنگ، سیلتستون بالایی و پراکنش محدود در شمال ورقه توپوگرافی ایرانشهر و در کنタکت با رسوبات زمان کواترنری، پلیوسن و الیگوسن دیده شده، اثرات لایه‌بندی در آن قابل رویت است.

Ewf

این واحد سنگی با پراکنش بسیار انک و ناچیز در خاور ورقه مورد مطالعه قرار دارد و در کنタکت با رسوبات زمان کواترنری و واحد E1f دیده شده، لیتولوژی آن شامل فلیش به همراه بلوکهای بیگانه است.

E1ii

این واحد سنگی با پراکنش بسیار انک و ناچیز در مرکز ورقه توپوگرافی دامن و در کنタکت با رسوبات زمان کرتاسه بالایی، ائوسن، کواترنری، پلیوسن دیده شده، لیتولوژی آن شامل آهکهای آلوئولین دار توده‌ای است.

Ef1

این واحد سنگی با پراکنش گسترده در نیمه خاوری ورقه مورد مطالعه قرار دارد و در کنタکت با رسوبات زمان کرتاسه بالایی، ائوسن، کواترنری، پلیوسن، میوسن دیده شده، بخش اعظم آن گسل خورده است و شبیه عمومی طبقات آن بین ۳۱ تا ۶۰ درجه متغیر است و لیتولوژی آن شامل فلیش (شیل، ماسه سنگ، به همراه اینترکالاسیونهای آهک پلازیک، شیل قرمز، سنگهای ولکانیکی) می‌باشد.

Esp

این واحد سنگی بطور پراکنده در نیمه خاوری ورقه مورد مطالعه و در کنタکت با رسوبات زمان ائوسن، کواترنری و کرتاسه بالایی دیده شده، بخش اعظم آن گسل خورده است و شبیه عمومی طبقات آن بین ۳۱ تا ۶۰ درجه متغیر است و لیتولوژی آن شامل سنگهای اسپیلیتی است.

E1k

لیتولوژی این واحد سنگی شامل شیل، ماسه سنگ و سیلستون زیرین بوده، شبیه عمومی طبقات آن بین ۳۱ تا ۶۰ درجه متغیر است. این واحد سنگی در کنタکت با رسوبات زمان ائوسن، کواترنری - پلیوسن و کرتاسه بالایی دیده شده در بعضی قسمتها گسل خورده‌اند و بطور پراکنده در ورقه‌های ابتر و دامن رخنمون دارد.

E2k

این واحد سنگی بطور محدود در شمال ورقه مورد مطالعه قرار دارد و در کنタکت با رسوبات زمان الیگوسن، ائوسن، پلیوسن - کواترنری دیده شده، لیتولوژی آن شامل شیل، ماسه سنگ، سیلتستون میانی میباشد. شبیع عمومی طبقات بین ۳۱ تا ۶۰ درجه متغیر بوده، اثرات لایه‌بندی قابل رویت است.

Eshi

این واحد سنگی بطور محدود در جنوب‌خاوری ورقه دامن و در کنタکت با واحدهای سنگی E1s - E1v دیده شده، لیتولوژی آن شامل آهک نومولیتی و شیل میباشد.

### واحدهای سنگی الیگوسن

Osc

این واحد سنگی از طبقات در برگیرنده ساختمان ناودیسی و تاقدیس با پلانج مضاعف بوده، در نیمه شمالی ورقه مورد مطالعه قرار دارد و در بخش میانی مرز دو ورقه تپوپوگرافی ایرانشهر و باغچاه و در کنタکت با رسوبات زمان ائوسن، میوسن، پلیوسن - کواترنری دیده میشود. لیتولوژی این واحد سنگی ماسه‌سنگ، شیل میان لایه به همراه کنگلومرا بوده، اثرات لایه‌بندی و گسل خوردگی محدود به وضوح در آن قابل رویت است و شبیع عمومی طبقات آن بین ۳۱ تا ۶۰ درجه متغیر است.

## واحدهای سنگی میوسن

Ms

این واحد سنگی را می‌توان با پراکنش طولی و کشیده و لیتولوژی ماسه‌سنگ، سیلتستون، به همراه کمی کنگلومرا در جنوب و شمال خاور ورقه توپوگرافی ۵۰۰۰۰/۱ باغ‌چاه و بطور بسیار ناچیزی در خاور ورقه مورد مطالعه و در کنتاکت با رسوبات زمان الیگوسن، پلیوسن - کواترنری، آئوسن و میوسن مشاهده نمود. شبیع عمومی طبقات در این واحد سنگی بین ۳۱ تا ۶۰ درجه متغیر بوده، اثر لایه‌بندی در آن به وضوح قابل رویت است. در بخش شمال خاور باغ‌چاه این واحد سنگی از طبقات در برگیرنده ساختمان ناودیسی است.

Msc

لیتولوژی این واحد سنگی ماسه‌سنگ قرمز تیره، کمی کنگلومرا و سیلتستون بوده، در جنوب و شمال خاور ورقه توپوگرافی باغ‌چاه در کنتاکت با رسوبات زمان پلیوسن و کواترنری و میوسن دیده می‌شود. این واحد سنگی در شمال خاور ورقه باغ‌چاه از طبقات در برگیرنده ساختمان ناودیسی است که شبیع عمومی طبقات آن بین ۶۱ تا ۸۵ درجه متغیر بوده، اثر لایه‌بندی به وضوح در آن دیده می‌شود.

Mcs

این واحد سنگی از طبقات در برگیرنده ساختمان ناودیسی بوده، در شمال باختری ورقه مورد مطالعه و در کنتاکت با رسوبات زمان پلیوسن و کواترنری دیده می‌شود. لیتولوژی آن شامل

کنگلومرای قرمز، ماسه سنگ، سیلتستون، مادستون بوده، شبیب عمومی طبقات آن بین ۶۱ تا ۸۵

درجه متغیر است و اثر لایه‌بندی در آن به وضوح دیده می‌شود.

### واحدهای سنگی پلیوسن

pic

این واحد سنگی از طبقات در برگیرنده ساختمان ناودیسی بوده، تنها در نیمه باختری ورقه

مورد مطالعه (شمال - شمال باختری و جنوب ورقه باغچاه) و در کنتاکت با رسوبات زمان

کواترنری و میوسن دیده می‌شود. لیتوژوژی این واحد سنگی کنگلومرا و ماسه‌سنگ بوده، اثرات

لایه‌بندی به وضوح در آن دیده می‌شود و شبیب عمومی طبقات بین ۶ تا ۶۰ درجه متغیر است.

### واحد سنگی پلیوسن کواترنری

PiQc

این واحد سنگی با لیتوژوژی کنگلومرایی بخش اعظم منطقه مورد مطالعه را در برگرفته،

بیشترین پراکنش آن مربوط به بخش‌های شمالی ورقه است. در شمال باختر ورقه هسته ساختمان

ناودیسی را تشکیل می‌دهد. همچنین این واحد در برگیرنده سیستم آبراهه‌ها بوده در بعضی نواحی

گسل خورده است.

## واحد های سنگی کواترنری

این واحدها که به صورت  $Qm-Qt2-Qt1-Qal-Qs$  نمایش داده شده‌اند، به ترتیب در برگیرنده تپه‌های ماسه‌ای (تنها در جنوب - جنوب باختری ورقه)، رسوبات آبرفتی و سیلابی، بادبزنی‌های آبرفتی قدیمی و جوان، رسوبات دریاچه‌ای و سیلابی غیرمتمايز (تنها در نیمه شمالی ورقه توپوگرافی ایرانشهر) می‌باشند که بخش اعظم منطقه مورد مطالعه را در برگرفته و مجذب به سیستم آبراهه‌ها می‌باشند.

## لیتلوزی منطقه مورد مطالعه

بر اساس مطالعات صورت گرفته روی نقشه ۱/۲۵۰۰۰ ایرانشهر وضعیت لیتلوزیکی منطقه در جدول (۱-۱) آمده است.

## تکتونیک(زمین ساخت) منطقه

بر اساس مطالعات صورت گرفته روی نقشه ۱/۲۵۰۰۰ ایرانشهر می‌توان گفت که منطقه مورد مطالعه از نظر تکتونیکی نسبتاً آرام است. میزان گسلش در منطقه محدود بوده و به طور عمده در نیمه خاوری ورقه متمرکز است. عملکرد فازهای کوهزاری لارامید، پیرینه، ساوین، اتیکن، پاسادینه با هیأتوس یا نبود چینه‌شناسی در منطقه همانبوده و چین خوردگیها و گسلهای از بارزترین ساختمانهای زمین‌شناسی منطقه محسوب می‌شوند.

Table (I-I) : Lithology of Iranshahr According to map of 1/250000 Iranshahr

Age		symbol	lithology - Iranshahr
Cenozoic	Quaternary	Qs	تپه های ماسه ای
		Qal	آبرفت و رسوبات سیلابی
		Qt1	بادبزنیاهای کوهپایه ای قدیمی و بلند
		Qt2	بادبزنیاهای کوهپایه ای جوان و پست
		Qm	رسوبات سیلابی و دریاچه ای غیر متمایز دانه ریز
	pliocene-Quaternary	piQc	کنگلومرا
		Pic	کنگلومرا، ماسه سنگ
		Mcs	کنگلومرای قرمز، ماسه سنگ، سیلتستون، مادستون
		Ms	ماسه سنگ، سیلتستون، بهمراء کمی کنگلومرا
		Msc	ماسه سنگ قرمز تبره، کمی کنگلومرا، سیلتستون
	Tertiary	Osc	ماسه سنگ، شیل عیان لایه بهمراء کنگلومرا
		E1k	شیل، ماسه سنگ، سیلتستون ذبرین
		E2k	شیل ماسه سنگ، سیلتستون میانی
		E3k	شیل، ماسه سنگ، سیلتستون بالایی
		E1c	کنگلومرای قاعده ای
		Ewf	فلیش بهمراء بلوكهای بیگانه
		E1ii	اهک کهای الوتین دار توده ای
		Ef1	فلیش (شیل، ماسه سنگ، بهمراء بیتلر کالاسیونهای آهک پلازیک، شیل قرمز، سنگهای ولکانیکی).
		Eivs	شیل قرمز آهک پلازیک بهمراء سنگهای آندزی و اسپلیتی
		Esp	سنگهای اسپلیتی
		Eshi	آهک نومولیتی و شیل
		Edsp	دیاباز و اسپلیت
		E3k1	آهک دامن
		E3km	مارن
		Pes	ماسه سنگ ارکوزیک تا ساب ارکوزیک
Mesozoic	late cretaceous	Kud	دیاباز
		Kusp	اسپلیت
		Kupi	آهک پلازیک بهمراء کمی رادیولاریت
		Kuspd	اسپلیت و دیاباز
		Gb	گابرو
		Cm1	کالردملانتر
		Cm2	قطعات افیولیتی در مجموعه ای با رسوبات پلازیک کرتاسه و سنگهای رسوبی انوسن

## گسلها

که از نوع طولی و عمدتاً مزدوج بوده و به صورت کوتاه و کوچک و پراکنده در نیمه خاوری ورقه با روندهای مختلف حضور دارند که روند شمال باخته - جنوب خاور، شمال خاور، جنوب باخته در منطقه عمومیت دارد. در این بین رسوبات فلیشی ائوسن در شمال خاور ورقه دارای بیشترین تمرکز گسلها می‌باشند. از معروف‌ترین گسلهای موجود در منطقه می‌توان گسله دامن را نام برد که با روند شمال باخته، جنوب خاوری و درازای حدود ۱۰۰ کیلومتر بنیادی بوده، در شمال ایرانشهر سبب پیدایش دو زون متفاوت زمین ساختی می‌گردد.

## چینها

از نوع تاقدیسهای با پلانجهای مضاعف و ناویدیس نرمال می‌باشد که قسمت اعظم آنها در ورقه باع چاه قرار دارد. تاقدیسهای با پلانجهای مضاعف که در شمال ورقه (شمال خاور ورقه توپوگرافی باع چاه) قرار داشته و طبقات مربوط به زمان ائوسن، الیگوسن، میوسن را در بر می‌گیرند و ناویدیسهای نرمال که در شمال باخته ورقه باع چاه و باخته ورقه دامن قرار داشته و به ترتیب در برگیرنده طبقات زمان پلیوسن، کواترنری، میوسن و الیگوسن، کواترنری می‌باشند که اثر لایه‌بندی به وضوح در آنها قابل رویت است و شبیه عمومی طبقات بین ۳۱ تا ۶۰ درجه متغیر است.

## لرزه زمین ساخت منطقه

از دیدگاه لرزه زمین ساختی منطقه مورد مطالعه در حوزه سایزموتکتونیک قسمت مرکزی بخش شرقی ایران که نمایانگر محیط بین صفحه‌ای است قرار می‌گیرد. (بین بلوك لوت و مکران)

و فعالیتهای لرزاگی در آن روی گسل‌های اصلی و فرعی که بطور پراکنده و کوچک در نیمه

خاوری ورقه متتمرکز هستند رخ می‌دهد..

اگر چه بر اساس نقشه منابع دارای پتانسیل لرزاگی منطقه مورد مطالعه در محدوده ماکزیمم

ماگنتیود ۷-۶/۵ ریشتری قرار می‌گیرد ولی بزرگی ۵/۵ ریشتری بعنوان زمینه احتمال وقوع زلزله

برای کل حوزه سایزموتکتونیکی که منطقه مورد مطالعه را در بر گرفته شده است.

بر اساس نقشه‌های پهنه‌بندی خطر نسبی زمین‌لرزه در مناطق جنوب‌خاوری ایران نیز، محدوده

مورد مطالعه پیرامون پهنه با خطر نسبی نسبتاً پایین متوسط قرار می‌گیرد. لذا احتمال وقوع

زمین‌لرزه‌های ویرانگردر آن نسبتاً پایین بوده و این پهنه از نظر خطر زمین‌لرزه برای احداث

شهرهای جدید و گسترش مناطق مسکونی مناسب است.

### پتانسیل معدنی منطقه

بر اساس نقشه پراکنده‌گی کانسارها و شاخص‌های معدنی، منطقه مورد مطالعه از نظر

شاخص‌های معدنی فلزی و کانسارهای مصالح ساختمانی حائز اهمیت بوده، دارای پتانسیل معدنی

بالایی از نظر تولید مس، مرمریت، سنگ لاسه، هماتیت و... می‌باشد.

از نظر متالوژنی نیز منطقه مورد مطالعه جزو زون‌های متالوژنی نهبهندان - ایرانشهر و میناب -

ایرانشهر محسوب می‌شود که مشخص‌ترین ویژگی متالوژنی آنها کانی‌سازی مس است که به وضوح

دیده می‌شود. اکتشاف مس توده‌ای سولفاید در محور بیرجند - ایرانشهر نیز از جمله موارد

اکتشافی و بی‌جویی مواد معدنی است که در منطقه صورت می‌گیرد.

این ورقه جزء برگه‌های افیولیت‌دار محسوب می‌شود لذا از نظر اقتصادی بسیار حائز اهمیت است . قابل توجه اینکه بیش از ۳۰ درصد از معادن استان سیستان و بلوچستان در ایرانشهر واقع است.

## موقعیت جغرافیایی بمپور و راههای دسترسی به آن

محدوده مورد مطالعه در قالب نقشه ۱/۱۰۰۰۰۰ بمپور از توابع استان بلوچستان بوده و در جنوب با ختری ورقه ۱/۲۵۰۰۰ ایرانشهر واقع است. این منطقه در محدوده جغرافیایی "۲۷°۹'۰۰", ۰'۰۰ عرض شمالی و "۶۰°۳۰', ۰'۰۰ طول خاوری و در فاصله ۲۵ کیلومتری با ختر شهرستان ایرانشهر قرار دارد و شامل نقشه‌های توپوگرافی ۱/۵۰۰۰۰ رودخانه دیگران، بمپور، سرتختی، شمال سرتختی است.

از نظر تقسیمات زمین‌شناسی ایران محدوده مورد مطالعه جز زون جنوب‌شرقی ایران محسوب شده و ما بین دو ورقه اسپکه در جنوب و ورقه بزمان در شمال که به ترتیب جزء زون افیولیتی ایرانشهر - سرباز و زون جبال بارز منسوب می‌شوند، قرار دارد.

سیستم راههای ارتباطی در منطقه مشتمل بر راههای آسفالتی و خاکی است که امکان ارتباط آن را با سایر مناطق ممکن می‌سازد. بطوری که راه آسفالتی بمپور - چاه دراز - اسپکه (۸۷ کیلومتر)، ارتباط آن با بخش‌های جنوب‌غربی ورقه و بخش اسپکه را ممکن می‌سازد و راه آسفالتی بمپور - چاهشور (حدود ۶۸ کیلومتر) ارتباط با بخش‌های شمال‌غربی ورقه و آبادی چاهشور از ورقه سند را امکان‌پذیر می‌سازد. راه آسفالتی بمپور - بزمان (۲۰ کیلومتر راه آسفالتی فرعی + ۶۵ کیلومتر راه آسفالتی اصلی) نیز با روند تقریبی شمال‌باختی - جنوب‌خاوری امکان ارتباط با ورقه بزمان و بخش‌های شمال‌خاوری ورقه را ممکن می‌سازد. خود بخش بمپور نیز از طریق راه آسفالتی نسبتاً کوتاهی (بمپور - نوک جوب) می‌تواند با بخش‌های شرقی ورقه ارتباط داشته باشد. میزان راههای خاکی در منطقه بسیار ناچیز بوده و در بخش مرکزی و شرق ورقه جای دارند که در نهایت به راههای آسفالتی متصل می‌گردند.

## جغرافیای طبیعی منطقه

آب و هوای ناحیه گرم و خشک و کویری است. میانگین درجه حرارت در منطقه حدود ۲۰ تا ۲۵ درجه سانتیگراد بوده، میزان رطوبت نسبی هوا بسیار کم و بارندگی سالیانه نامنظم است (کمتر از ۱۰۰ میلیمتر). یخنداش در منطقه بسیار نادر و روزهای ابری کم است. ریزشهاي جوي در منطقه بصورت باران و اکثراً رگبار است و بارش برف بندرت دیده می شود و قسمت اعظم آن به زمستان و اوایل بهار مربوط می شود.

این ورقه از آبادیهای محدودی تشکیل شده که تماماً در جنوب ورقه متصرف شده. یکی از دلایل بارز این اجتماع وجود روختانه بمپور می باشد که در تمام فصول سال آب در آن جاری بوده و نقش مهمی را در آبیاری و زهکشی زمینهای این بخش از ورقه دارد. این روختانه بادرازای حدود ۲۷۵ کیلومتر آبهای قسمت شرقی بلوچستان را جمع آوری کرده و بعد از مشروب نمودن ایرانشهر از آن گذشته و به جازموریان می ریزد. این روختانه در ۶ کیلومتری جنوب غربی بمپور قرار داشته و از ارتفاعات خاوری ایرانشهر سرچشمه می گیرد و حوضه آبریز آن شامل حوضه آبریز جازموریان است. در دو سمت آن جنگلی از درختان کهور، گز، کنار پرورش می یابد. بیشهزارها و استپهای بیلانی و گیاهان خودرو نیز از پوشش های گیاهی موجود در منطقه بشمار می روند و کشت محصولاتی نظیر گندم، جو، ذرت، آنبه، خرما، حبوبات و مرکبات کماکان در منطقه عمومیت دارد. دامهایی نظیر شتر، بز، گاو، گوسفند نیز بطور عموم در منطقه پرورش می یابند.

## تاریخچه مطالعات پیشین

از مطالعات صورت گرفته در منطقه مورد مطالعه که حدماً بین اسپکه و بزمان است، می توان به مطالعات زمین‌شناسی هوبر در سال ۱۹۶۲ اشاره نمود که در راستای تهیه نقشه زمین‌شناسی

۱/۲۵۰۰۰ ایرانشهر روی ورقه ۱/۱۰۰۰۰ بمپور انجام داد و نتیجه آن به همراه گزارش

زمین‌شناسی ۴ ورقه دیگر در نهایت توسط آقای مهندس سهندی بصورت چهار گوشه ایرانشهر

چاپ گردید.

گزارشات شرکت ملی نفت ایران نیز در قالب مطالعات زمین‌شناسی بلوچستان و نقشه‌هایی که از

روی عکس‌های هوایی تهیه شده است ناحیه مورد مطالعه را تحت پوشش قرار می‌دهد.

مطالعات رئوفیزیکی در سردگال واقع در شمال رود بمپور که به منظور تعیین ضخامت لایه‌های

آبدار و سفره‌های آب زیرزمینی و بررسی وضعیت هیدروژئولوژیکی و تعیین عمق و جنس سنگ

کف به روش ژئوالکتریکی توسط سازمان آب منطقه‌ای جنوب شرق و مهندسین مشاور آب و خاک

به مدت یک سال (۵۰-۵۱) صورت پذیرفت نیز از جمله کارهای صورت گرفته در منطقه می‌باشد.

### زمین‌شناسی عمومی منطقه

از نظر تقسیمات زمین‌شناسی ایران منطقه مورد مطالعه در زون جنوب‌خاوری ایران و بین دو

ورقه بزمان در شمال و ورقه اسپکه در جنوب واقع بوده و بر اساس نقشه واحدهای ساختمانی -

رسوبی ایران، ج.نبوی، ۱۳۵۵ می‌توان آن را جز، زیر پهنه جازموریان در نظر گرفت.

این منطقه از نظر زمین‌شناسی بسیار جوان می‌باشد بطوری که بخش اعظم آن را رسوبات

کواترنری در بر می‌گیرد.

قدیمی‌ترین و جوانترین رسوبات آن به ترتیب مربوط به زمان میوسن و کواترنری است. بگونه‌ای

که می‌توان اذعان داشت تکامل این منطقه در زمان ترشیری و متأثر از عملکرد فارهای آلپی

سنوزوئیک (ساوین - اتیکن و پاسادنین) صورت پذیرفته است.

در این نوشتار بطور دقیق اطلاعی از وضعیت وسن پیسنگ منطقه در دسترس نیست. ولی تصور می‌شود با توجه به قرارگیری این منطقه در زیر پهنه جازموریان پیسنگ آن اقیانوسی باشد. قدیمی‌ترین رسوبات این منطقه (نهشته‌های میوسن) بعلت عملکرد فاز آلپی ساوین بصورت رخسارهای خشکی که معرف حوضه‌های رسوبی کم عمق است با لیتوولژی کنگلومرا، ماسه‌سنگ، سیلتستون و مادستون بر جای گذاشته می‌شوند که بخشی از این نهشته‌ها در شمال خاوری منطقه به علت شدت فعالیتهای تکتونیکی چین‌خوردگی و گسلش پیدا نموده‌اند. در ادامه این تشکیلات بعلت عملکرد فاز کوهزایی اتیکن رسوبات تخریبی و قاره‌ای پلیوسن که مشتمل بر کنگلومرا و ماسه‌سنگ است بر جای گذاشته می‌شوند. عملکرد فاز کوهزایی پاسادینین در انتهای پلیوسن نیز نقش مهمی را در چین‌خوردگی طبقات رسوبی این زمان و شکل‌گیری نهایی این منطقه می‌تواند داشته باشد. رسوبات آبرفتی کواترنری نیز بدنبال فرسایش و تخریب شدید ارتفاعات و واحدهای سنگی قبلی به وسعت زیادی در منطقه دیده می‌شود.

در کل می‌توان اذعان نمود که در زمان نئوژن یک حوضه رسوبی کم عمق با رخسارهای قاره‌ای داشته‌ایم که در زمان کواترنری به رسوبات سطحی مبدل گشته است.

### چینه‌شناسی بمپور

بر اساس مطالعات چینه‌شناسی صورت گرفته روی نقشه ۱/۲۵۰۰۰ ایرانشهر سنی قدیمی‌تر از میوسن در منطقه بروزد ندارد. بغیر از پراکنش محدود رسوبات زمان نئوژن تمامی منطقه را رسوبات زمان کواترنری در بر گرفته است که می‌توان نتیجه گرفت منطقه مورد مطالعه از نظر

زمین‌شناسی بسیار جوان است. واحدهای سنگی شناخته شده در منطقه به تفکیک زمانی عبارتند

از :

### واحدهای سنگی میوسن

Ms

این واحد سنگی با گسترش طولی محدود و پراکنده تنها در جنوب‌شرقی ورقه و در کنتاکت با رسوبات زمان کواترنری دیده می‌شود. شب عمومی طبقات در این واحد سنگی بین ۶۰ تا ۶ درجه متغیر بوده و لیتولوژی آن شامل ماسه‌سنگ، سیلتیتون به همراه کمی کنگلومراست. وجود تاقدیسهای برگشته و گسلهای واژگون تراستی با روند شمال‌غربی - جنوب‌شرقی از چهره‌ها و ساختارهای تکتونیکی بارز در این واحد سنگی بشمار رفته و اثر لایه‌بندی در آن به وضوح دیده می‌شود.

Msc

این واحد سنگی با پراکنش محدود تنها در شمال‌شرق ورقه مورد مطالعه و در کنتاکت با رسوبات زمان کواترنری و واحد سنگی Msc دیده می‌شود. و لیتولوژی آن شامل ماسه‌سنگ قرمز تیره به همراه کمی کنگلومرا و سیلتیتون است.

Mes

این واحد سنگی با گسترش بسیار محدود تنها در شمال‌شرق ورقه و در کنتاکت با رسوبات زمان پلیوسن، کواترنری و واحد سنگی Msc دیده می‌شود. و لیتولوژی آن شامل کنگلومرا قرمز، ماسه‌سنگ، سیلتیتون و مادستون است.

## واحد سنگی پلیوسن

Plc

این واحد سنگی با پراکنش محدود تنها در شمال شرق ورقه و در کنتاکت با رسوبات زمان کواترنری و میوسن دیده می‌شود. اثر لایه‌بندی در این واحد سنگی مشهود است. لیتولوژی آن شامل کنگلومرا و ماسه‌سنگ بوده و دارای میان لایه‌های کواترنری است.

## واحدهای سنگی کواترنری

این واحدهای سنگی بخش اعظم منطقه مورد مطالعه را در بر گرفته‌اند و شامل Qs (تپه‌های ماسه‌ای)، Qm (رسوبات دریاچه‌ای و سیلابی دانه ریز و غیر متمایز)، Qt2 (تراسهای دره‌ای و مخروط افکنه‌های کوهپایه‌ای جوان و پست)، Qt1 (تراسهای دره‌ای و مخروط افکنه‌های کوهپایه‌ای پیرو مرتفع) و Qal (رسوبات آبرفتی در کانالهای رودخانه‌ای، دشت‌های سیلابی و رودخانه‌های شاخه شاخه) می‌باشند.

## توبوگرافی

مرتفع‌ترین بخش منطقه به ارتفاع ۶۹۳ متر در جنوب ورقه و پست‌ترین آن به ارتفاع ۴۸۷ متر در جنوب باختری ورقه مربوط به تپه‌های ماسه‌ای کواترنری است.

سیستم آبراهه‌ها در منطقه از روند عمومی شمال خاوری - جنوب‌باختری و خاوری - باختری تبعیت نموده، نقش مهمی را در زهکشی و آبیاری منطقه دارند. از آبراهه‌ها و رودخانه‌های معروف در منطقه می‌توان رودخانه بمپور را نام برد که در ۶ کیلومتری جنوب‌غربی بمپور قرار داشته و از

ارتفاعات خاوری ایرانشهر سرچشمه می‌گیرد و به نامهای محلی کارواندر و دامن نامیده می‌شود.

این رودخانه با درازای حدود ۲۷۵ کیلومتر آبهای قسمت شرقی بلوچستان را جمع آوری کرده و

بعد از مشروب نمودن ناحیه‌ای به وسعت ۲ در ۴ کیلومتر حد ما بین ایرانشهر و بمپور از آن

گذشته و به دریاچه فصلی جازموریان می‌ریزد. این رودخانه تقریباً در تمام طول سال آب داشته

ولی میزان آن به اندازه‌ای است که فقط می‌توان کشت و زرع مختصه را در اطراف آن انجام داد.

قابل توجه اینکه حوضه آبریز این رودخانه شامل حوضه آبریز جازموریان است.

طبقات رسوبی در منطقه دارای شبیه بسیار ملایمی می‌باشند و تپه‌های ماسه‌ای بخش اعظم

جنوب ورقه را در بر گرفته‌اند. تنها ساختمانهای تکتونیکی در منطقه شامل گسله تراستی و

تاقدیس برگشته می‌باشد که فقط در شمال خاوری ورقه وجود دارند.

وجود اختلاف درجه سختی و درجه هوازدگی در سنگها بنوبه خود نقش مهمی را در چهره

توبوگرافی منطقه نمایان می‌سازد. بطوری که رسوبات کواترنری در مقابل رسوبات نئوژن وضعیت

ناپایدارتر و سستتری را از خود نشان می‌دهد.

وجود ساختمانهای تکتونیکی، تراسهای دره‌ای، مخروط افکنه‌ها، تپه‌های ماسه‌ای، رسوبات

آبرفتی، سیلابی و دریاچه‌ای نیز از چهره‌های بارز زمین‌شناسی در منطقه محسوب می‌شود.

## لیتلولوزی منطقه

بر اساس مطالعات صورت گرفته روی نقشه ۱/۲۵۰۰۰ ایرانشهر وضعیت لیتلولوزیکی منطقه در

جدول (۲-۱) آمده است.

Table (1-2) : Lithology of Bampour According to map of 1/250000 Iranshahr

Age		symbol	lithology
Cenozoic	Quaternary	Qt2	تراسهای دره ای و مخروط افکنه های کوهپایه ای جوان و پست
		Qal	رسوبات آبرفتی
		Qt1	تراسهای دره ای و مخروط افکنه های کوهپایه ای پیر و مرتفع
		Qs	تپه های ماسه ای
		Qm	رسوبات دریاچه ای و سیلابی دانه ریز و غیرمتمايز
Tertiary	pliocene	Pic	کنگلومرا ، ماسه سنگ
		Mes	کنگلومرای قرمز ، ماسه سنگ ، سیلتستون ، مادستون
		Msc	ماسه سنگ قرمز تیره بهمراه کمی کنگلومرا و سیلتستون
		Ms	ماسه سنگ ، سیلتستون به همراه کمی کنگلومرا

## تکتونیک منطقه

بر اساس مطالعات صورت گرفته روی نقشه ۱/۲۵۰۰۰۰ ایرانشهر می‌توان گفت که منطقه مورد مطالعه از نظر تکتونیکی بسیار پایدار و مقاوم و آرام است و از آرامش تکتونیکی برخوردار است. چرا که هیچ درزه و گسل‌شی به استثنای بخش شمال خاوری ورقه در منطقه دیده نمی‌شود که این امر را ز دو دید ضعف عملکرد فازهای کوه‌زایی و یا مقاومت پوسته زمین می‌توان توجیه نمود. بازترین ساختمانهای تکتونیکی در منطقه شامل چینها و شکستگی‌ها می‌باشد.

## چینها و گسل‌ها

که از نوع تاقدیسهای برگشته و نرمال بوده و با روند شمال باخته‌جنوب خاوری تنها در شمال خاوری ورقه قرار دارند و طبقات زمان میوسن پلیوسن و کوانترنی را در بر می‌گیرند گسل‌ها نیز که بصورت تراست واژگون بوده و بطور بسیار محدود با روند شمال باخته - جنوب خاوری در شمال خاوری ورقه و در داخل طبقات میوسن قرار دارد.

## لرزه زمین ساخت منطقه

از دیدگاه لرزه زمین ساختی منطقه مورد مطالعه در حوزه سایزموتکتونیک قسمت مرکزی بخش خاوری ایران که نمایانگر محیط بین صفحه‌ای است قرار می‌گیرد. (بین بلوك لوت و مکران) براساس نقشه احتمال وقوع زلزله بر حسب درجه مرکالی نیز پهنه مورد مطالعه در محدوده ۵ تا ۶ درجه مرکالی قرار می‌گیرد که در صورت وقوع زمین لرزه میزان خسارت وارد کم و یا حتی بدون خسارت است.

براساس نقشه‌های پهنه‌بندی خطر نسبی زمین‌لرزه در مناطق جنوب‌خاوری ایران نیز، محدوده

مورد مطالعه پیرامون پهنه با خطر نسبی نسبتاً پایین قرار می‌گیرد که احتمال وقوع زمین‌لرزه‌های

ویرانگردر آن بسیار بعيد است و از نظر خطر زمین‌لرزه برای احداث شهرهای جدید و گسترش

مناطق مسکونی مناسب است. معذالک رعایت آیین نامه طراحی ساختمانی در برابر خطر زمین‌لرزه

امروز اجتناب ناپذیر می‌باشد.

### پتانسیل معدنی منطقه

براساس نقشه پراکندگی کانسارها و شاخصهای معدنی، منطقه مورد مطالعه از نظر شاخصهای

معدنی فلزی و پراکنش کانسارهای مصالح ساختمانی و غیر فلزی حائز اهمیت بوده و استحصال

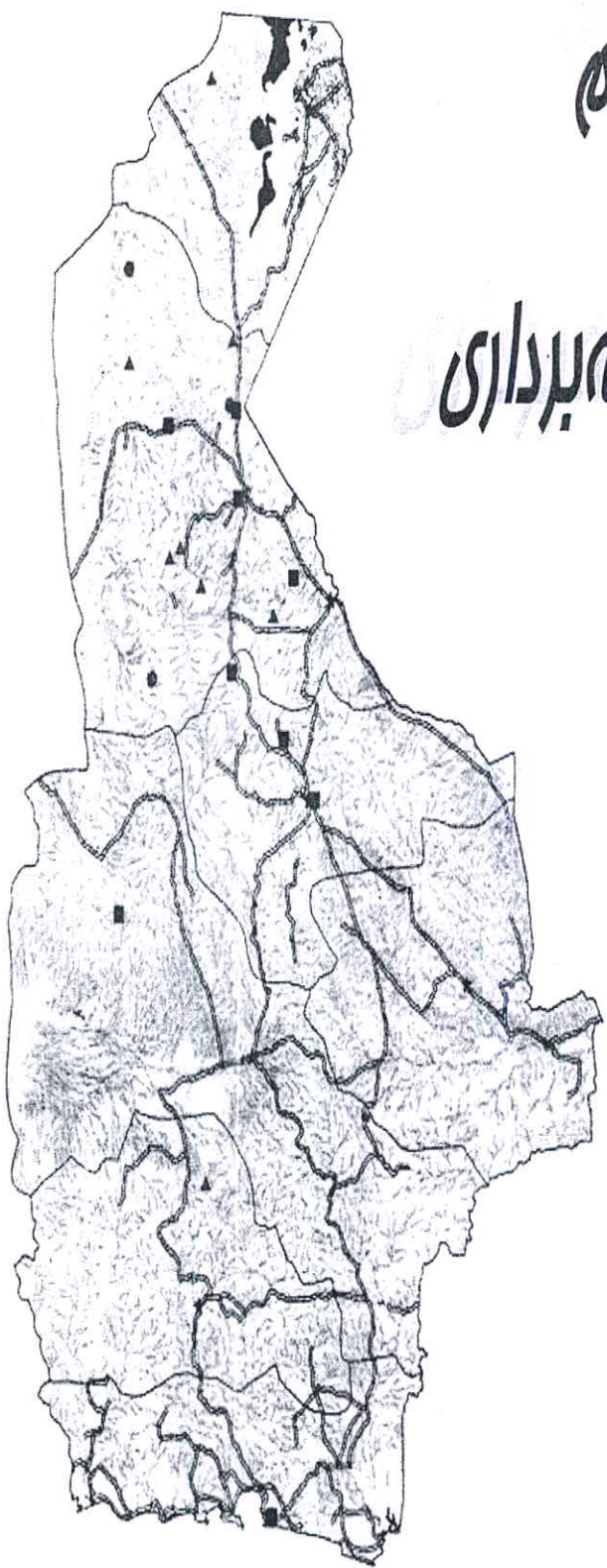
کانه‌های حاوی عنصر منگنز، آهن، کرومیت، تالک در منطقه عمومیت دارد.

از جمله کارهای اکتشافی صورت گرفته در منطقه می‌توان به موارد ذیل اشاره نمود.

موقعیت جغرافیایی	شکل	معدنی	ماده سن	سن سنگ میزبان	جنس سنگ میزبان	نوع کانه	نام کانسار
٣٠: ٢٤: ٢٧ تا ١٥: ٢٦: ٦٠	لنز	- پالتوسن	کرتاسه بالایی - پالتوسن	کالردملانژ - فلیش	هماتیت	آهن پدگی ایرندگان	
١٨: ٠٧: ٢٧ تا ٣٦: ١٠: ٦٠	لنز	- پالتوسن	کرتاسه بالایی - پالتوسن	کالردملانژ - فلیش	پرولوزیت	منگنز شمال غرب شورو ۲	
٣٣: ٥٤: ٢٧ تا ١٠: ٦٠	*	- پالتوسن	کرتاسه بالایی - پالتوسن	پریدوتیت آلتره و تکتونیزه	کرومیت	کرومیت جلیل حاجی آباد	
٣٠: ٣٧: ٢٧ تا ١٣: ٣٠: ٦٠	*	*	*	کالردملانژ	تالک	ماش	

فصل دوم

نمونه برداری



**مقدمه:**

در ژئوشیمی اکتشافی سه بخش اساسی وجود دارد که شامل نمونهبرداری، تجزیه نمونه‌ها و تفسیر نتایج می‌باشد که در این بین نمونهبرداری صحیح از اهمیت خاصی برخوردار است. نظر به تشخیص آنومالی‌های واقعی و تمیز انواعی که به نهشته‌های کانساری مرتبط می‌باشند، از سایر نوع آن، لازم است تا جزء ثابتی از رسوبات آبراهه‌ای (برای مثال جزء ۸۰-مش) و یا کانی‌سنگین (جزء ۲۰-) مورد آزمایش قرار می‌گیرد. همچنین برداشت قطعات کانی‌سازی شده کف آبراهه، قطعات پوشیده شده از اکسیدهای آهن و منگنز، قطعات حاوی سیلیس آمورف و یا کربناتهای سیلیسی شده برای آنالیز یک یا چند عنصر یا کانی خاص، می‌تواند مفید واقع شود. عواملی که باید در این خصوص در نظر گرفته شوند شامل تیپ کانسار مورد انتظار، سنگ درونگیر، محیط تکتونیکی و دامنه سنی واحدهای زمین‌شناسی می‌باشند.

به طور کلی چگالی نمونهبرداری از رسوبات آبراهه‌ای، تابع دانسیته آبراهه‌ها در حوضه آبریز است. برای مناطق خشک چگالی نمونهبرداری می‌تواند به اندازه یک نمونه برای هر ۱ تا ۱۰ کیلومتر مربع تغییر کند.

**طراحی شبکه نمونهبرداری:**

در طراحی شبکه نمونهبرداری عوامل مؤثری می‌توانند دخیل باشند. طراحی نمونهبرداری طوری صورت گرفته است که حداقل سازگاری را با روش مرکز ثقل داشته باشد. برای این منظور نقشه آبراهه‌های ناحیه با استفاده از نقشه توپوگرافی و با کمک گیری از عکس‌های هوایی ترسیم می‌گردد. همچنین با کمک گیری از نرم افزارهای GIS عواملی چون سنگ‌شناسی، تکتونیک،

کنکات‌های توده‌های نفوذی و یا خروجی با نواحی اطراف، نواحی اطراف گسلها، زون‌های دگرسان‌شده، مناطق مشکوک به آلتراسیون که با استفاده از عکس‌های ماهواره‌ای تشخیص داده شده به همراه مطالعات انجام شده و اندیشهای معرفی شده در مناطق مختلف نیز در طراحی بهینه شبکه حائز اهمیت است. با در نظر گرفتن این موضوع، از مساحتی نزدیک به ۲۵۰۰ کیلومتر مربع تعداد ۴۸۹ نمونه ژئوشیمی طراحی گردید.

### انجام عملیات نمونه‌برداری:

عملیات نمونه‌برداری توسط اکیپ کارشناسی و با کمک‌گیری از دستگاه GPS انجام گرفت. از تعداد ۴۸۹ نمونه ژئوشیمی، به دلیل صعب العبور بودن مناطق، نبود امکانات لازمه و مهمترین آنها نامنی مناطق خاص، ۴۴۳ نمونه ژئوشیمی، همچنین برای برگه بمپور به علت کمی رخنمون سنگی تعداد ۲۵ نمونه ژئوشیمی برداشت گردید. (شايان ذكر است به علت تعداد کم داده‌ها كليه عملیات‌های بعدی بر روی برگه بمپور با برگه ايرانشهر انجام گرفت.)

هر نمونه ژئوشیمی متشکل از حدود ۵۰۰ گرم جزء ۸۰-۵۰۰ مش رسوبات آبراهه‌ای می‌باشد که ۱۰۰ گرم از نمونه‌ها را برای آزمایشگاه در نظر گرفته و مابقی برای بایگانی در نظر گرفته می‌شود. برای شناسایی نمونه‌ها شماره‌هایی که از قبل در اختیار کارشناسان قرار گرفته و منحصر به فرد است، اختصاص می‌دهیم. این شماره‌ها شامل یک کد دو حرفی معرف منطقه که حرف اول آن نمایانگر حرف اول برگه ۱:۱۰۰۰۰۰ و حرف دوم نیز نشان‌دهنده حرف اول شیت ۱:۵۰۰۰۰ منطقه است. در طی نمونه‌برداری برخی معیارها نیز اعمال گردید:

۱ - نمونه پس از کنارزدن مواد سطحی بستر آبراهه برداشت گردید.

۲- به منظور کاهش خطای نمونه برداری سعی شده تا حد امکان طول مسیر برداشت نمونه در

آبراهه افزایش یابد مشروط بر اینکه در طول مسیر شاخه فرعی جدید آبراهه را قطع نکند.

۳- از برداشت مواد آلی اجتناب شد چرا که اغلب بدلیل ارتباط با پدیده جذب، غلظت فلزات

در آنها بالا است.

۴- برمبنای نظر کارشناسان و با توجه به اهداف اکتشاف در صورت لزوم اقدام به تغییر وضعیت

شبکه نمونه برداری گردید

### آماده سازی نمونه ها:

همانطوری که عنوان شد نمونه های ژئوشیمیائی بالک ۸۰ میلیمتری و به میزان ۱۰۰

گرم از نمونه بالک شده به منظور ارسال به آزمایشگاه آماده سازی شد. برای این منظور مقدار ۱۰۰

گرم از نمونه آبراهه ای انتخاب و بوسیله پودر کننده ریگی تا زیر ۲۰۰ میلیمتری پودر گردید و از بخش

پودر شده مقداری برای تجزیه انتخاب و مابقی بخش پودر شده زیر ۲۰۰ میلیمتری باقی ماند.

### آنالیز نمونه های ژئوشیمیائی:

در این پژوهه ۲۲ عنصر یعنی B, Zn, Cr, Bi, Ti, Mn, Se, Sr, Ba, Au, As, Sb, Be, Hg, W,

Pb, Ni, Mo, Sn, Ag, Co, Cu, مورد تجزیه شیمیائی قرار گرفتند. عنصر Au به روش جذب اتمی

و سایر عناصر به روش ICP MASS اندازه گیری شده اند. جدول مربوطه به آنالیز نمونه ها در CD

آورده شده است.

### روش آنالیز نمونه‌های ژئوشیمیایی و حد حساسیت دستگاهها:

مهمترین پارامتر در انتخاب روش آنالیز، حد حساسیت آن می‌باشد. اصولاً وجود مقادیر سنسورهای یک عنصر در تجزیه و تحلیل‌های آماری اختلال ایجاد می‌کند و علاوه بر این از آنجا که در اکتشافات ژئوشیمیایی اهمیت و کاربرد مقادیر عددی مربوط به هر یک از عناصر صرفاً به منظور مقایسه نسبی آنها با یکدیگر برای تعیین مقادیر آنومالی می‌باشد، لذا حصول مقادیر عددی (غیرسنسورهای) برای یک عنصر از درجه اهمیت بالائی برخوردار است. حد حساسیت یک روش آزمایشگاهی برای یک عنصر در ارتباط با مقدار زمینه آن انتخاب می‌شود و باید کوچکتر از آن باشد. لذا با توجه به توضیحات فوق مقادیر حد حساسیت برای عناصر مورد نظر با توجه به تکیک‌های آزمایشگاهی موجود و مقدار زمینه عناصر تعیین شد تا با توجه به فراوانی کم عناصر در برخی از این سنگ‌ها تا حد امکان مقادیر غیرسنسورهای حاصل شود.

### دقت آنالیز نمونه‌های ژئوشیمیایی:

پس از آنالیز و بدست آوردن نتایج آزمایشگاه باید کیفیت و دقت نتایج آنالیز مورد بررسی قرار گیرد و این کنترل از اهمیت ویژه‌ای برخوردار است زیرا اولاً میزان اعتماد به داده‌ها را مشخص می‌کند و ثانیاً اگر خطای داده‌ها زیاد باشد بهتر است در تفسیر نتایج دقت بیشتری را بعمل آورد. برای این منظور می‌توان در مرحله آماده‌سازی نمونه‌ها یک سری نمونه تکراری تهیه کرد و به همراه نمونه‌های اصلی به آزمایشگاه فرستاد و سپس دقت اندازه‌گیری‌ها را محاسبه کرد. در نتیجه از دیاگرام کنترلی طراحی شده برای ۱۰٪ خطا که در سال ۱۹۷۶ توسط تامپسون ارائه شده استفاده گردید. لذا ابتدا جداول (۱-۱) تا (۲-۲) تهیه گردید که در ستون اول این جداول نام

متغیر، در ستون دوم شماره نمونه‌ها، ستون سوم شماره نمونه تکراری معادل و در ستون‌های چهارم و پنجم مقادیر اندازه‌گیری شده برای هر جفت نمونه، در ستون ششم مقدار میانگین و در ستون هفتم قدر مطلق تفاضل هر زوج نمونه آورده شده است. برای مثال جداول (۱-۲) تا (۶-۲) در ذیل و سایر جداول در CD آورده شده است.

در دیاگرام کنترلی تامپسون، محورهای لگاریتمی افقی و قائم به ترتیب مقادیر میانگین و قدر مطلق تفاضل دو اندازه‌گیری نمونه تکراری را نشان می‌دهد. پس از پیاده کردن نقاط مربوط به جفت نمونه‌های آنالیز شده در صورتیکه ۹۰٪ داده‌ها زیر خط معادل ۱۰٪ و ۹۹٪ داده‌ها زیر خط معادل ۱٪ قرار گیرند خطا در حد ۱۰٪ خواهد بود.

بر اساس محاسبات انجام‌شده دیاگرام کنترلی هریک از عناصر ترسیم گردیده است. اشکال (۱-۲) تا (۵-۲) دیاگرامهای کنترلی تامپسون عناصر مورد نظر را نشان می‌دهد.

در مرحله بعد برای اطلاع از میزان خطای نسبی (RE) از پراش آنالیز نمونه‌ها استفاده شد که با محاسبه پراش می‌توان ضریب اطمینان (CI) مربوط به آنالیز نمونه‌ها در سطح اعتماد ۹۵٪ را محاسبه نمود و سپس بوسیله آن مقدار خطای نسبی را بدست آورد. علاوه بر آن خطای نسبی و خطای استاندارد (SE) هر عنصر نیز محاسبه شد. میزان خطای نسبی و استاندارد در جدول (۷-۲) آورده شده است. همانطور که دیده می‌شود عنصر  $A_{II}$  میزان خطای نسبی بالائی را نشان می‌دهد. میزان متوسط خطای نسبی در سطح اعتماد ۹۵٪ برابر  $24/81$  می‌باشد. شکل (۶-۲) میزان خطای نسبی را برای عناصر مختلف به صورت نمودار نشان می‌دهد.

*Table (2-1): Means and Differenceses of Duplicate Analysis*

Element	Sample.No	D.No	P-Result	S-Result	M	D
Au	BD-016	IB-444	0.75	0.75	0.75	0
	II-300	IB-445	5	0.75	2.875	5
	IB-345	IB-446	0.75	0.75	0.75	0
	IB-360	IB-447	0.75	0.75	0.75	0
	IB-330	IB-448	2	0.75	1.375	2
	IB-375	IB-449	1	0.75	0.875	1
	IB-317	IB-450	0.75	1	0.875	1
	ID-032	IB-451	1	0.75	0.875	1
	ID-061	IB-452	0.75	1	0.875	1
	ID-045	IB-453	0.75	2	1.375	2
	ID-016	IB-454	0.75	1	0.875	1
	IB-390	IB-455	1	0.75	0.875	1
	IB-435	IB-456	0.75	0.75	0.75	0
	IB-420	IB-457	0.75	0.75	0.75	0
	IB-405	IB-458	0.75	0.75	0.75	0
	IA-272	IB-459	2	1	1.5	1
	IB-317	IR683101888	2	1	1.5	1
	ID-140	IR600473442	0.75	1	0.875	1
	IB-330	IR998115559	0.75	0.75	0.75	0
	IA-288	IR233843733	1	0.75	0.875	1
	IB-449	IR582496078	2	1	1.5	1
	ID-083	IR539876516	0.75	1	0.875	1
	IA-223	IR986514059	2	2	2	0
	IB-371	IR139202516	0.75	0.75	0.75	0
	IB-419	IR307641686	0.75	0.75	0.75	0
	ID-014	IR320460480	0.75	0.75	0.75	0
	ID-114	IR807770113	1	0.75	0.875	1
	IA-210	IR769504054	0.75	0.75	0.75	0
	ID-049	IR317465661	1	1	1	0
	ID-020	IR932578839	0.75	1	0.875	1
	IB-430	IR384178540	0.75	0.75	0.75	0

*Table (2-2): Means and Differenceses of Duplicate Analysis*

Element	Sample.No	D.No	P-Result	S-Result	M	D
As	BD-016	IB-444	9.2	8.1	8.65	1.1
	II-300	IB-445	7.2	6	6.6	1.2
	IB-345	IB-446	7	6.9	6.95	0.1
	IB-360	IB-447	8	7.9	7.95	0.1
	IB-330	IB-448	10.9	12.3	11.6	1.4
	IB-375	IB-449	5.9	6.7	6.3	0.8
	IB-317	IB-450	10.2	11.4	10.8	1.2
	ID-032	IB-451	10	7.7	8.85	2.3
	ID-061	IB-452	6.3	8.1	7.2	1.8
	ID-045	IB-453	7.6	8	7.8	0.4
	ID-016	IB-454	9.2	10.2	9.7	1
	IB-390	IB-455	6.9	7.1	7	0.2
	IB-435	IB-456	6.3	7.2	6.75	0.9
	IB-420	IB-457	7.8	7.7	7.75	0.1
	IB-405	IB-458	8.3	8.3	8.3	0
	IA-272	IB-459	7.1	5.5	6.3	1.6
	IB-317	IR683101888	11.4	11.4	11.4	0
	ID-140	IR600473442	9.9	9.9	9.9	0
	IB-330	IR998115559	11.2	12.3	11.75	1.1
	IA-288	IR233843733	7.9	7	7.45	0.9
	IB-449	IR582496078	6	5.9	5.95	0.1
	ID-083	IR539876516	8.1	9.5	8.8	1.4
	IA-223	IR986514059	6.4	7.8	7.1	1.4
	IB-371	IR139202516	5.4	5.5	5.45	0.1
	IB-419	IR307641686	5.4	7.3	6.35	1.9
	ID-014	IR320460480	9.4	7.4	8.4	2
	ID-114	IR807770113	7.9	6.3	7.1	1.6
	IA-210	IR769504054	6	5.5	5.75	0.5
	ID-049	IR317465661	7.8	8.3	8.05	0.5
	ID-020	IR932578839	6.5	8.6	7.55	2.1
	IB-430	IR384178540	6.6	6.7	6.65	0.1

*Table (2-3): Means and Differenceses of Duplicate Analysis*

Element	Sample.No	D.No	P-Result	S-Result	M	D
Co	BD-016	IB-444	16.2	15.7	15.95	0.5
	II-300	IB-445	18.6	16.2	17.4	2.4
	IB-345	IB-446	17.1	18.5	17.8	1.4
	IB-360	IB-447	16.1	18	17.05	1.9
	IB-330	IB-448	16.5	17.9	17.2	1.4
	IB-375	IB-449	15.8	18.5	17.15	2.7
	IB-317	IB-450	13.8	15.1	14.45	1.3
	ID-032	IB-451	17.4	16.1	16.75	1.3
	ID-061	IB-452	17.7	16.8	17.25	0.9
	ID-045	IB-453	17.7	17.5	17.6	0.2
	ID-016	IB-454	15.9	16.3	16.1	0.4
	IB-390	IB-455	16.4	18.7	17.55	2.3
	IB-435	IB-456	20.3	21.4	20.85	1.1
	IB-420	IB-457	16.2	16.8	16.5	0.6
	IB-405	IB-458	16	16.5	16.25	0.5
	IA-272	IB-459	19.7	16.7	18.2	3
	IB-317	IR683101888	14.3	15.1	14.7	0.8
	ID-140	IR600473442	15.5	15.1	15.3	0.4
	IB-330	IR998115559	16.4	17.9	17.15	1.5
	IA-288	IR233843733	16.6	15.8	16.2	0.8
	IB-449	IR582496078	15.4	15.8	15.6	0.4
	ID-083	IR539876516	18.4	18.2	18.3	0.2
	IA-223	IR986514059	21.6	22.8	22.2	1.2
	IB-371	IR139202516	17.3	20.2	18.75	2.9
	IB-419	IR307641686	14.9	16.9	15.9	2
	ID-014	IR320460480	17.3	16.9	17.1	0.4
	ID-114	IR807770113	18.8	18.5	18.65	0.3
	IA-210	IR769504054	21.2	21	21.1	0.2
	ID-049	IR317465661	15.9	16.3	16.1	0.4
	ID-020	IR932578839	23.9	15.9	19.9	8
	IB-430	IR384178540	20.7	22.2	21.45	1.5

*Table (2-4): Means and Differenceses of Duplicate Analysis*

Element	Sample.No	D.No	P-Result	S-Result	M	D
Cr	BD-016	IB-444	97	81	89	16
	II-300	IB-445	182	227	204.5	45
	IB-345	IB-446	173	193	183	20
	IB-360	IB-447	104	106	105	2
	IB-330	IB-448	90	79	84.5	11
	IB-375	IB-449	126	112	119	14
	IB-317	IB-450	58	68	63	10
	ID-032	IB-451	125	163	144	38
	ID-061	IB-452	136	148	142	12
	ID-045	IB-453	145	120	132.5	25
	ID-016	IB-454	108	134	121	26
	IB-390	IB-455	135	158	146.5	23
	IB-435	IB-456	211	254	232.5	43
	IB-420	IB-457	127	134	130.5	7
	IB-405	IB-458	103	109	106	6
	IA-272	IB-459	170	202	186	32
	IB-317	IR683101888	70	68	69	2
	ID-140	IR600473442	61	49	55	12
	IB-330	IR998115559	78	79	78.5	1
	IA-288	IR233843733	161	166	163.5	5
	IB-449	IR582496078	126	126	126	0
	ID-083	IR539876516	172	146	159	26
	IA-223	IR986514059	605	562	583.5	43
	IB-371	IR139202516	114	125	119.5	11
	IB-419	IR307641686	122	94	108	28
	ID-014	IR320460480	122	140	131	18
	ID-114	IR807770113	159	195	177	36
	IA-210	IR769504054	181	187	184	6
	ID-049	IR317465661	117	97	107	20
	ID-020	IR932578839	242	111	176.5	131
	IB-430	IR384178540	198	239	218.5	41

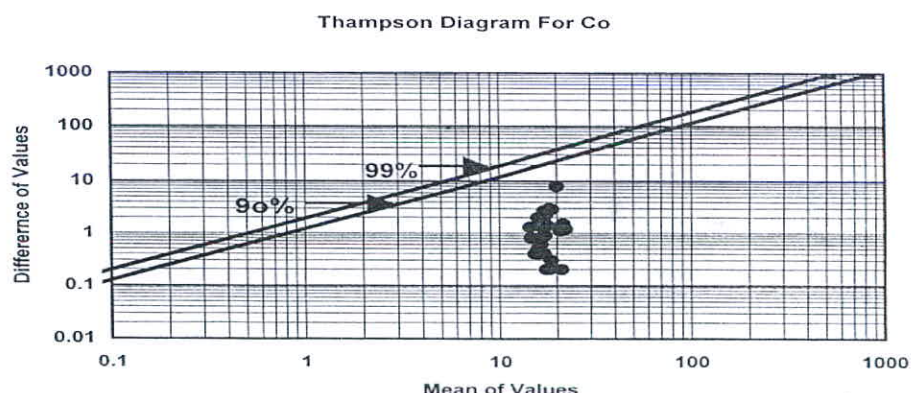
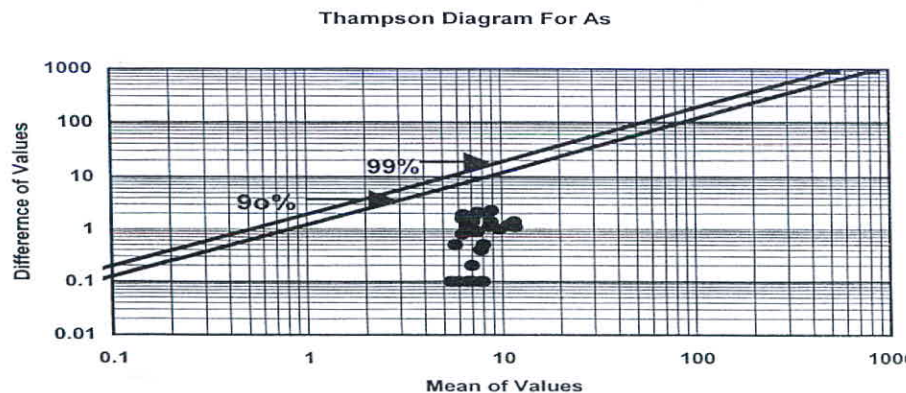
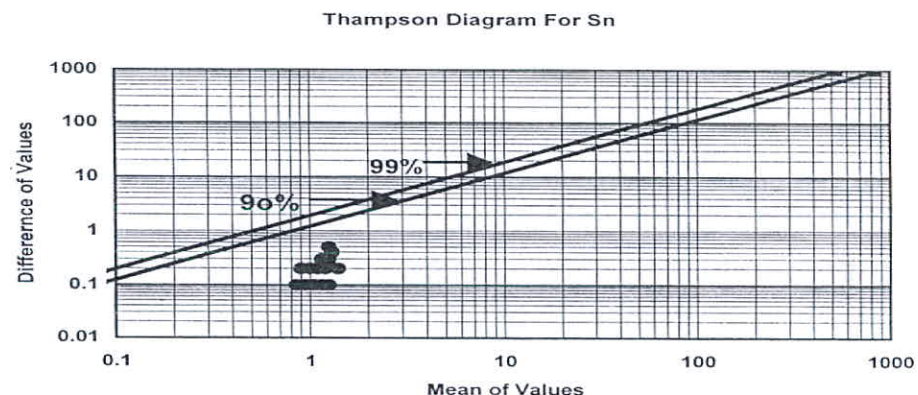
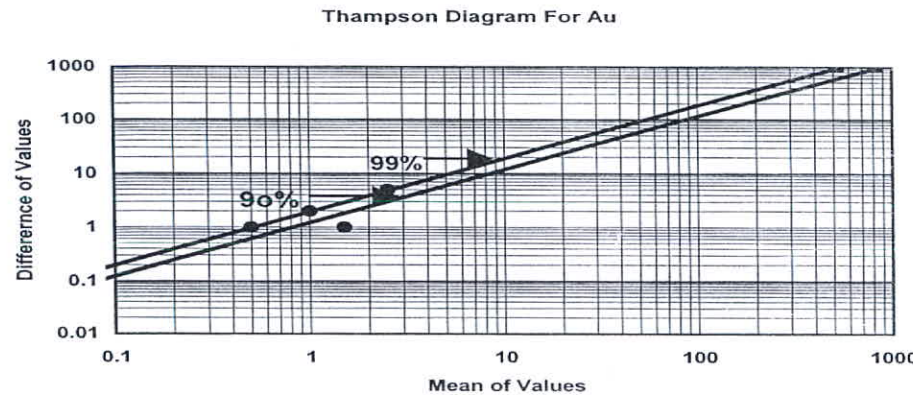
*Table (2-5): Means and Differenceses of Duplicate Analysis*

Element	Sample.No	D.No	P-Result	S-Result	M	D
C5	BD-016	IB-444	25.6	24.1	24.85	1.5
	II-300	IB-445	26.6	23.3	24.95	3.3
	IB-345	IB-446	25.6	22.9	24.25	2.7
	IB-360	IB-447	22.8	21.6	22.2	1.2
	IB-330	IB-448	30.5	30	30.25	0.5
	IB-375	IB-449	22.5	23	22.75	0.5
	IB-317	IB-450	26.1	25	25.55	1.1
	ID-032	IB-451	32.1	24.5	28.3	7.6
	ID-061	IB-452	30.3	27.6	28.95	2.7
	ID-045	IB-453	32.7	31.2	31.95	1.5
	ID-016	IB-454	28.3	27.9	28.1	0.4
	IB-390	IB-455	24.3	23.6	23.95	0.7
	IB-435	IB-456	26.6	29.2	27.9	2.6
	IB-420	IB-457	25.3	25.9	25.6	0.6
	IB-405	IB-458	23.9	24.9	24.4	1
	IA-272	IB-459	32	32.7	32.35	0.7
	IB-317	IR683101888	26	25	25.5	1
	ID-140	IR600473442	27.5	26.8	27.15	0.7
	IB-330	IR998115559	31.9	30	30.95	1.9
	IA-288	IR233843733	31.4	25.8	28.6	5.6
	IB-449	IR582496078	23.5	22.5	23	1
	ID-083	IR539876516	33.1	31.7	32.4	1.4
	IA-223	IR986514059	30.1	32.4	31.25	2.3
	IB-371	IR139202516	28.9	27.4	28.15	1.5
	IB-419	IR307641686	25.6	28.8	27.2	3.2
	ID-014	IR320460480	31.9	28.6	30.25	3.3
	ID-114	IR807770113	34.7	27.5	31.1	7.2
	IA-210	IR769504054	38.1	40.2	39.15	2.1
	ID-049	IR317465661	31	32.3	31.65	1.3
	ID-020	IR932578839	25.5	28.1	26.8	2.6
	IB-430	IR384178540	27.2	28.2	27.7	1

*Table (2-6): Means and Differenceses of Duplicate Analysis*

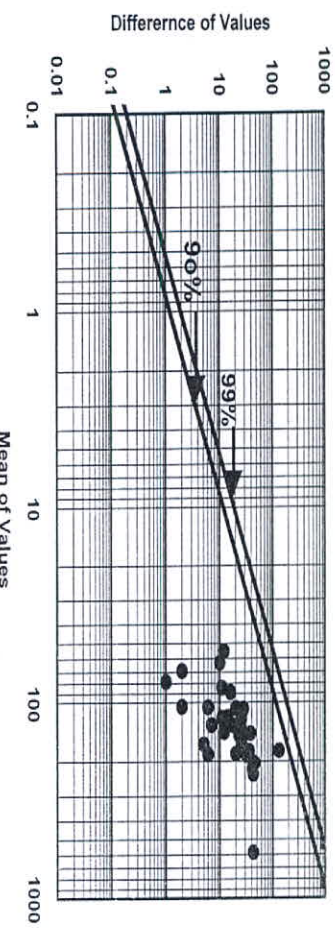
Element	Sample.No	D.No	P-Result	S-Result	M	D
Mn	BD-016	IB-444	710	692	701	18
	II-300	IB-445	755	675	715	80
	IB-345	IB-446	641	599	620	42
	IB-360	IB-447	662	664	663	2
	IB-330	IB-448	634	636	635	2
	IB-375	IB-449	657	655	656	2
	IB-317	IB-450	681	656	668.5	25
	ID-032	IB-451	651	619	635	32
	ID-061	IB-452	670	692	681	22
	ID-045	IB-453	691	696	693.5	5
	ID-016	IB-454	602	653	627.5	51
	IB-390	IB-455	701	704	702.5	3
	IB-435	IB-456	789	845	817	56
	IB-420	IB-457	702	744	723	42
	IB-405	IB-458	685	716	700.5	31
	IA-272	IB-459	675	618	646.5	57
	IB-317	IR683101888	691	656	673.5	35
	ID-140	IR600473442	650	638	644	12
	IB-330	IR998115559	638	636	637	2
	IA-288	IR233843733	651	628	639.5	23
	IB-449	IR582496078	653	657	655	4
	ID-083	IR539876516	649	671	660	22
	IA-223	IR986514059	714	793	753.5	79
	IB-371	IR139202516	684	675	679.5	9
	IB-419	IR307641686	636	729	682.5	93
	ID-014	IR320460480	639	656	647.5	17
	ID-114	IR807770113	728	822	775	94
	IA-210	IR769504054	705	768	736.5	63
	ID-049	IR317465661	653	667	660	14
	ID-020	IR932578839	869	620	744.5	249
	IB-430	IR384178540	824	871	847.5	47

*Fig(2-1): Thompson Diagram For Diffirent Element*

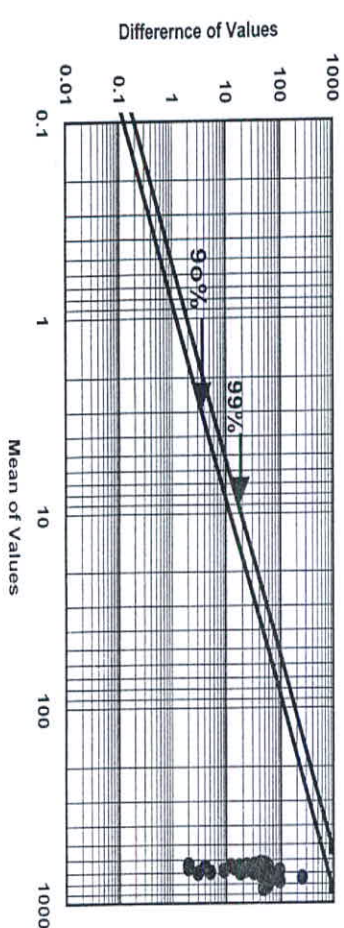


*Fig(2-2): Thompson Diagram For Different Element*

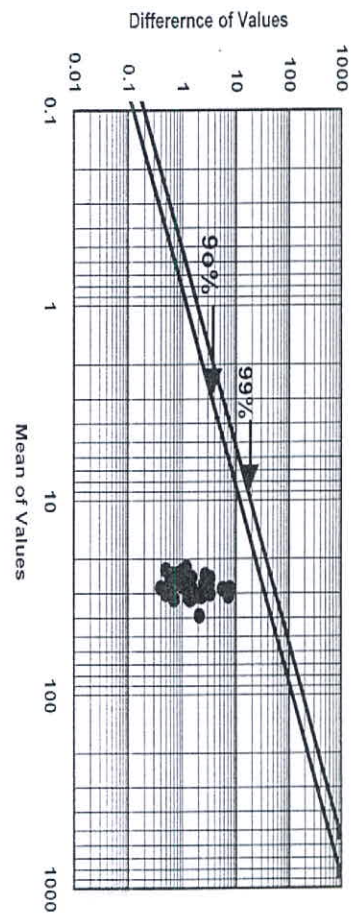
Thompson Diagram For Cr



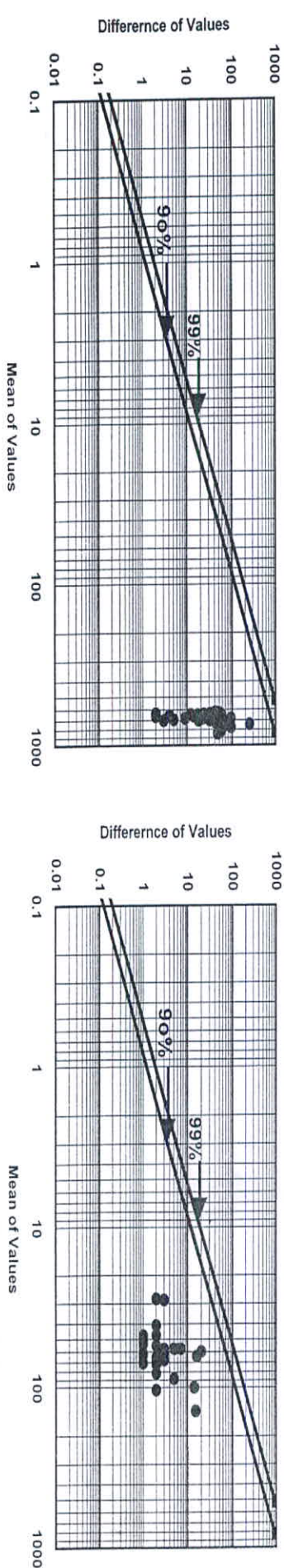
Thompson Diagram For Mn



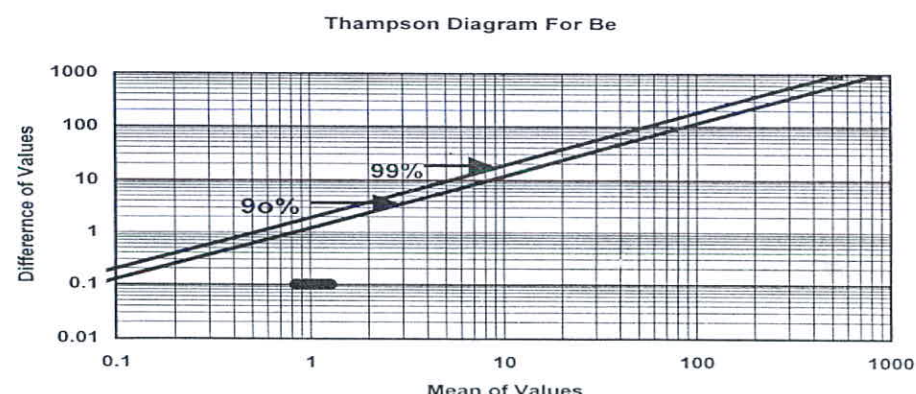
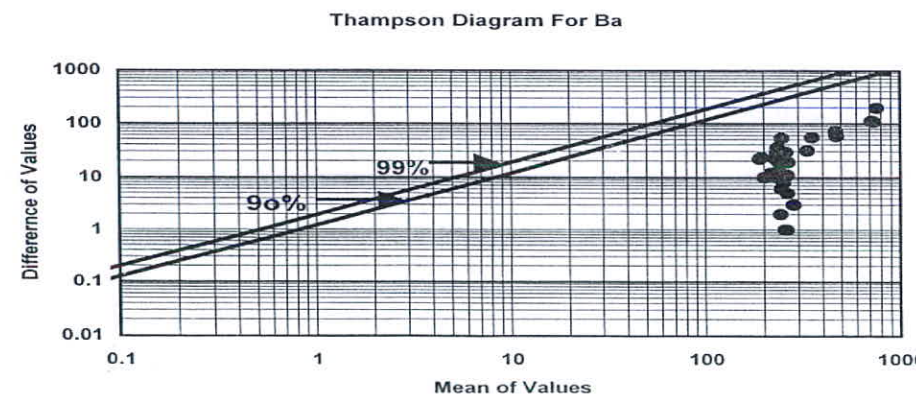
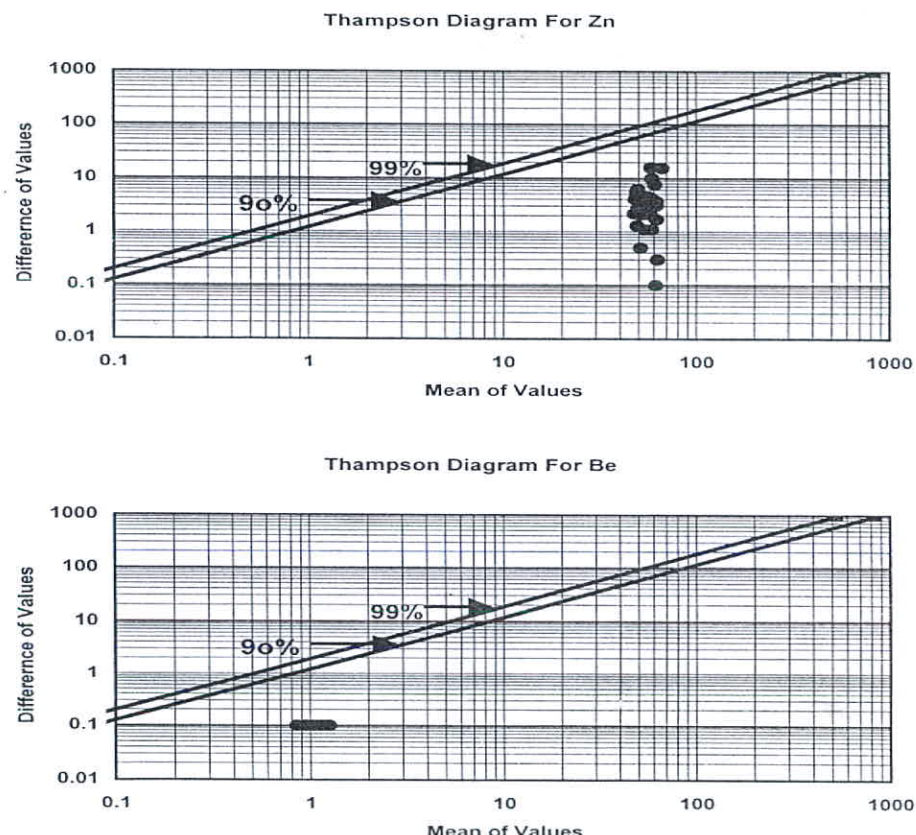
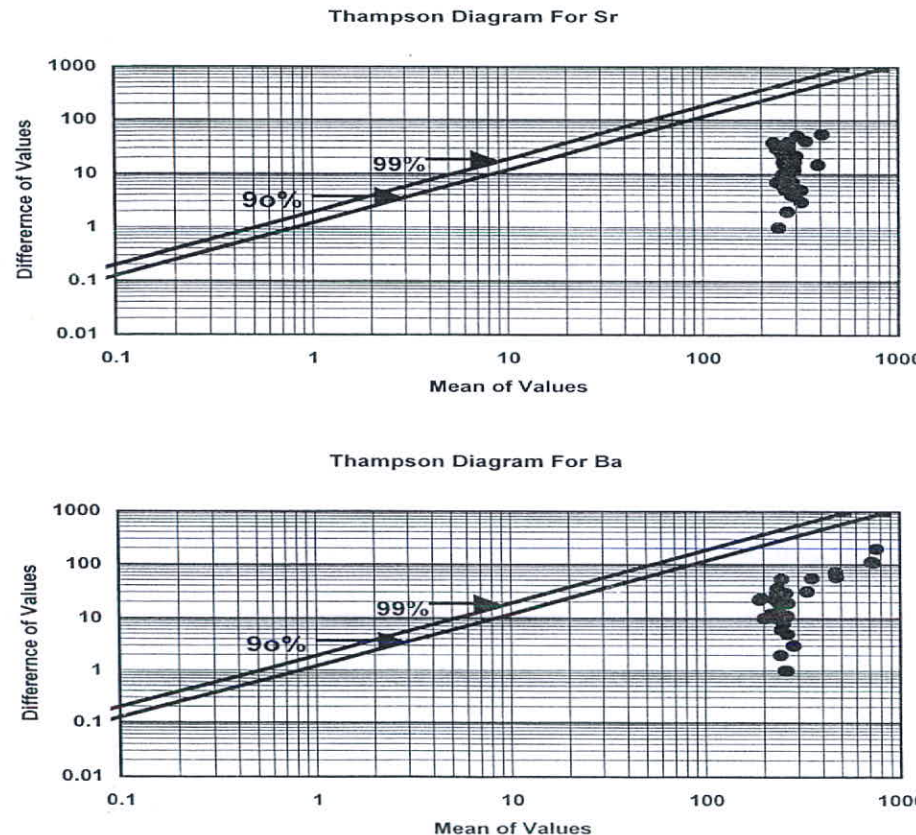
Thompson Diagram For Cu



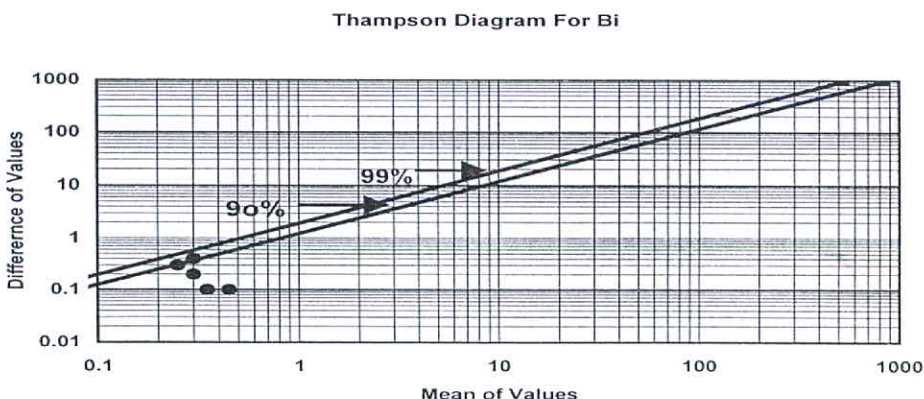
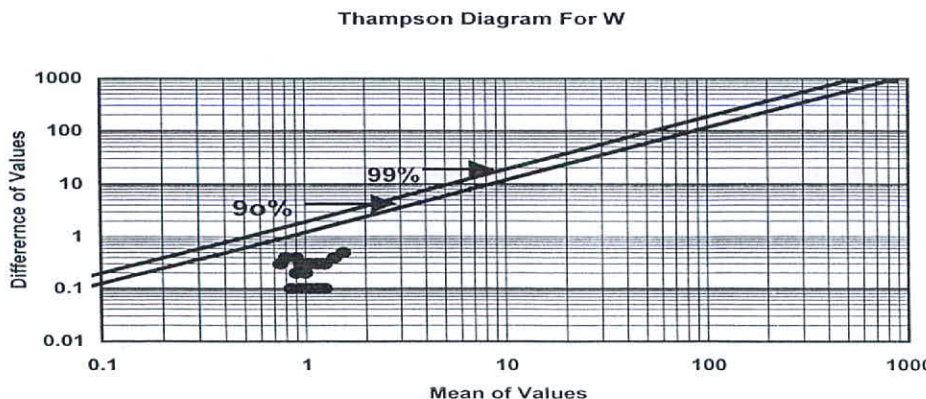
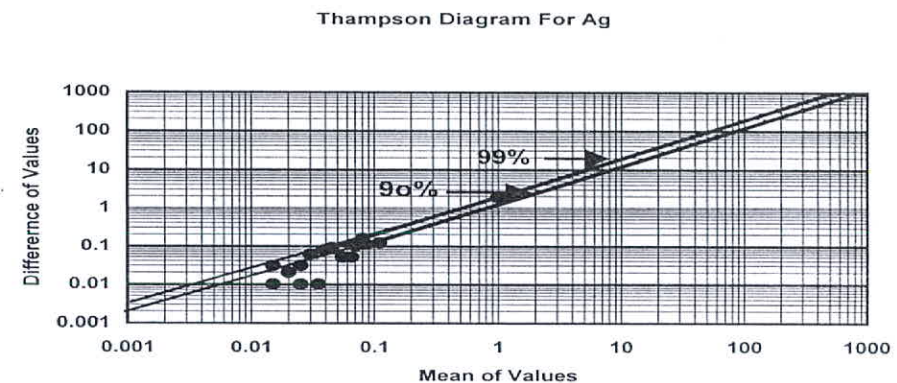
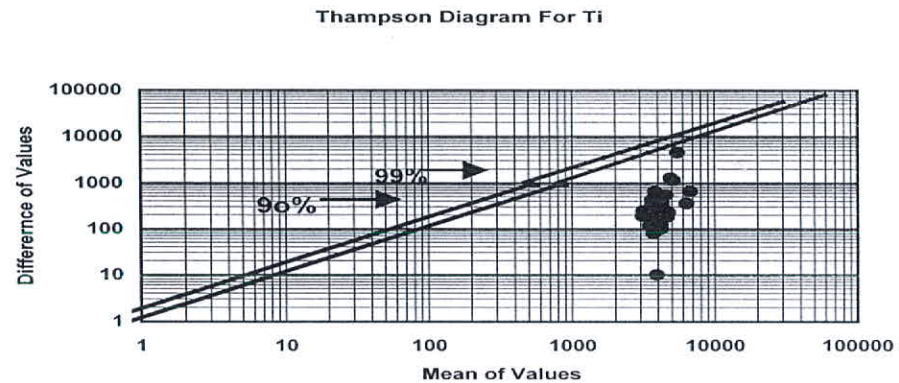
Thompson Diagram For Ni



*Fig(2-3): Thompson Diagram For Diffirent Element*

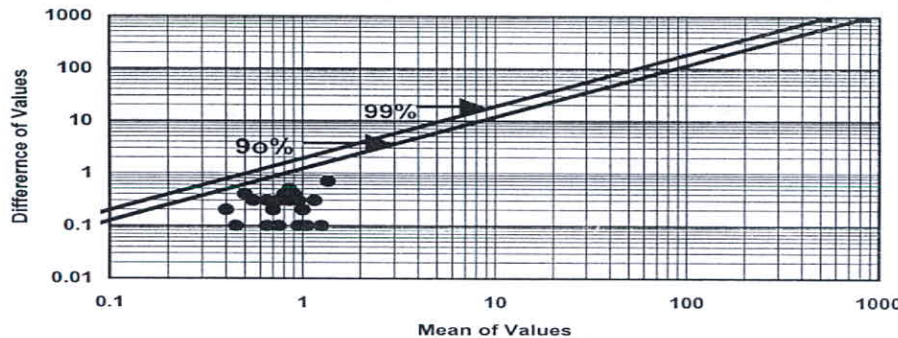


*Fig(2-4): Thompson Diagram For Different Element*

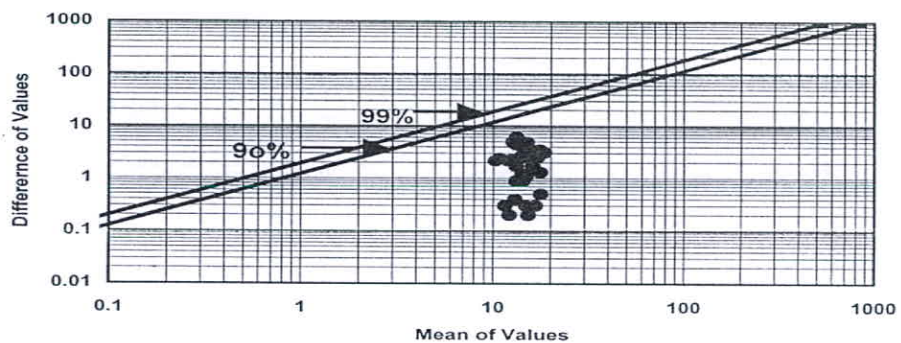


*Fig(2-5): Thompson Diagram For Different Element*

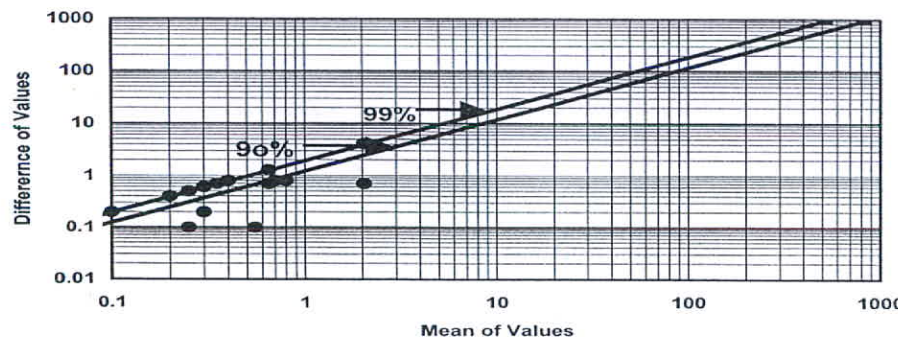
Thompson Diagram For Mo



Thompson Diagram For Pb



Thompson Diagram For Se



Thompson Diagram For Sb

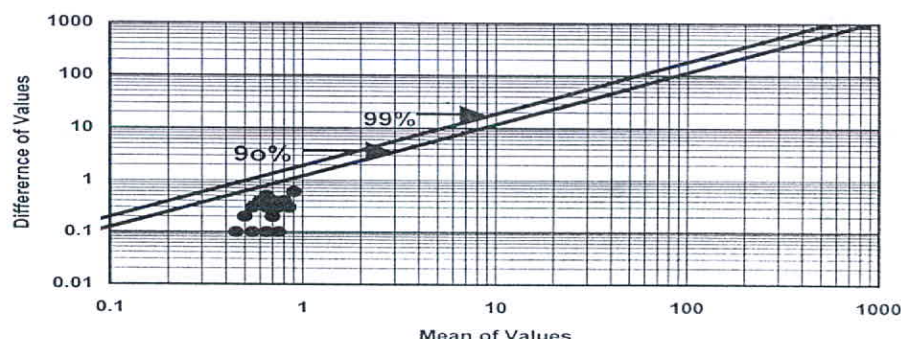
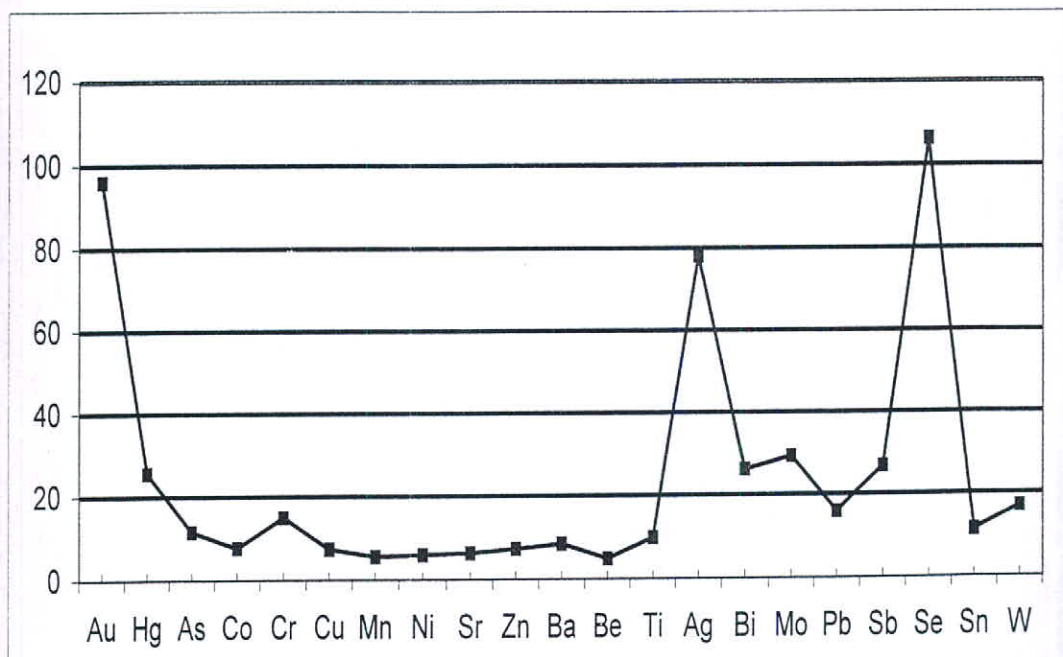


Table (2-7): Relative and Standard Error for Different in Iranshahr

Element	M	S	Ci	SE	RE
Au	0.5	0.998924152	1.957891339	0.352139	96.01
Hg	0	0.022055648	0.04322907	0.007775	25.6
As	7.55	0.724798823	1.420605692	0.255505	11.5
Co	17.15	1.487749256	2.915988542	0.524458	7.6
Cr	131	24.30274997	47.63338993	8.567156	14.9
Cu	27.9	1.815625133	3.558625261	0.640041	7.3
Mn	673.5	47.68277794	93.45824476	16.80904	5.5
Ni	60	5.098597741	9.993251572	1.797347	5.9
Sr	274	14.74266721	28.89562774	5.197055	6.3
Zn	55.65	3.777630822	7.40415641	1.331683	7.2
Ba	255.5	41.99582673	82.31182038	14.80428	8.4
Be	1	0.050800051	0.0995681	0.017908	4.8
Ti	4080	794.4404943	1557.103369	280.0546	9.8
Ag	0.025	0.339692777	0.665797843	0.119748	78.04
Bi	0.4	0.118593913	0.232444069	0.041806	26.06
Mo	0.8	0.16474157	0.322893478	0.058074	29.3
Pb	14.2	1.647618027	3.229331332	0.580815	15.8
Sb	0.6	0.166752666	0.326835225	0.058783	26.8
Se	0.25	0.754627302	1.479069513	0.26602	106.2
Sn	1.1	0.118865606	0.232976587	0.041902	11.2
W	0.95	0.138967003	0.272375326	0.048988	16.8
Average					24.81

Fig (2-6) Curve Of Relative Error



فصل سوم

جدايش جمادع سنگي



## مقدمه:

یکی از اساسی‌ترین فرضهای لازم برای تحلیل صحیح مقدار متغیرها در جوامع ژئوشیمیایی همگن بودن آنهاست (یک جامعه بودن) و هرگونه انحراف در صحت چنین فرضی می‌تواند کم و بیش موجب انحرافاتی در تحلیل داده‌ها گردد و نهایتاً به نتایج نادرستی منجر شود. یکی از متغیرهای محیط‌های سطحی که می‌تواند موجب ناهمگنی در جوامع ژئوشیمیایی گردد نوع سنگ بستر رخنمون دار است که نقش منشاء را برای رسوبات حاصل از فرسایش آنها ایفا می‌کند. از آنجا که تغییرات لیتولوژی در ناحیه منشاء رسوبات آبراهه‌ای می‌تواند زیاد باشد و از طرفی مقادیر زمینه عناصر مورد بررسی در این سنگها تا چندین برابر ممکن است تغییر کند، بنابراین فاکتور تغییرات لیتولوژی در ناحیه منشاء رسوبات به نظر می‌رسد که یکی از مهمترین عوامل ایجاد ناهمگنی در جامعه نمونه‌های ژئوشیمیایی باشد. بدین لحاظ در این گزارش سعی شده تا پردازش داده‌ها برای جوامع مختلف نمونه‌های ژئوشیمیایی صورت پذیرد.

## جادایش جوامع سنگی:

از آنجا که هر رسوب آبراهه‌ای فقط از سنگهای بالادست خود مشتق می‌شود بدون نرمال نمودن مقدار عنصر نسبت به جنس لیتولوژی بالادست در حوضه آبریز امکان دستیابی به جامعه همگن که بتوان بر اساس آن مقادیر زمینه، آستانه و آنومالی‌ها را مشخص کرد، غیرممکن می‌باشد. تقسیم‌بندی این جوامع بر اساس نوع یا انواع سنگ بسترها رخنمون دار موجود در بخش بالادست محل هر نمونه صورت پذیرفته است.

جدول (۳-۱) تنوع لیتولوزیکی منطقه را با توجه به علائم اختصاری به کار رفته نشان می‌دهد.  
با توجه به نقشه ۱/۲۵۰۰۰ زمین‌شناسی ایرانشهر و موقعیت هر نمونه، کل جوامع نمونه‌های  
مورد بحث در این برگه به زیر جوامع ذیل تقسیم یافته است.

در زیر، رده‌بندی نمونه‌های ژئوشیمیایی بر حسب تعداد سنگ بالادست آورده شده است:

الف) زیر جامعه تکسنگی : ۲۰۶ نمونه (در ۷ گونه سنگ مختلف)

ب) زیر جامعه دوسنگی : ۱۴۰ نمونه (در ۱۲ گونه سنگ مختلف)

ج) زیر جامعه سه‌سنگی : ۶۸ نمونه (در ۱۰ گونه سنگ مختلف)

د) زیر جامعه چهارسنگی : ۲۵ نمونه (در ۴ گونه سنگ مختلف)

ه) زیر جامعه بیش از چهارسنگی : ۴ نمونه (در ۲ گونه سنگ)

زیر جامعه تکسنگی شامل آن دسته از نمونه‌های ژئوشیمیایی است که یا در بالادست محل  
برداشت نمونه در حوضه آبریز مربوطه فقط یک نوع سنگ بستر رخمنون داشته (قبل از ترکیب  
واحدهای سنگی مشابه) و یا پس از ترکیب جزو گروه تکسنگی قرار گرفته‌اند. (همچنین برای  
جوامع دوسنگی، سه‌سنگی و چهارسنگی)

بدیهی است هرچه به تعداد زیر جامعه تکسنگی افزوده و از تنوع گونه‌های سنگ  
بالادست کاسته گردد محیط همگن‌تری از سنگ منشاء رسوبات آبراهه‌ای در اختیار  
داشته و شدت تأثیر این عامل کاهش می‌یابد. این تقسیم‌بندی در پردازش داده‌ها از آن  
جهت اهمیت دارد که اجازه می‌دهد تا در هنگام محاسبه مقدار زمینه و حد آستانه، برای  
هر محیط مشابه به طور جداگانه عمل کرده و باعث افزایش درجه همگنی جامعه مورد  
بررسی می‌شود.

جدول (۱-۳) واحدهای سنگی مربوط به هر جامعه سنگی در برگه ۱/۱۰۰۰۰ ایرانشهر

	piQc	کنگلومرا
sand	Pes	ماسه سنگ آرکوزیک تا ساب ارکوزیک
	Mcs	کنگلومرای قرمز، ماسه سنگ سیلیسیون، مادستون
	E1c	کنگلومرای قاعده‌ای
	Ms	ماسه سنگ سیلیسیون، بهره‌اه کمی کنگلومرا
	Msc	ماسه سنگ قرمز تیره، کمی کنگلومرا سیلیسیون.
	Osc	ماسه سنگ شیل میان لایه بهره‌اه کنگلومرا
shale	E1k	شیل، ماسه سنگ سیلیسیون زیرین
	E2k	شیل، ماسه سنگ سیلیسیون میانی
	E3k	شیل، ماسه سنگ سیلیسیون بالایی
	Ewf	فلیش بهره‌اه بلوكپای بیگانه
flych	Ef1	فلیش (شیل، ماسه سنگ، بهره‌هه اینترکالاسیونهای اهک پلازیک شیل قرمز، سنگهای ولکانیکی).
	Eivs	شیل قرمز، آهک پلازیک بهره‌اه سنگهای آندزیتی و اسپلایتی
lim	E1ii	آهکهای الونولین دار توده‌ای
	Eshi	آهک نومولیتی و شیل
	E3k1	آهک دامن
	Kupi	آهک پلازیک بهره‌اه کمی رادیولاریت
	E3km	مارن
	Kud	دیبازار
spd	Kusp	اسپلایت
	Esp	سنگهای اسپلایتی
	Edsp	دیبازار و اسپلایت
	Kuspd	اسپلایت و دیبازار
gb	gb	گلبرو
cm	Cm1	کالردملاز
	Cm2	قطعات افیولیتی در مجموعه‌ای با رسوبات پلازیک کرتاسه و سنگهای رسوبی انوسن

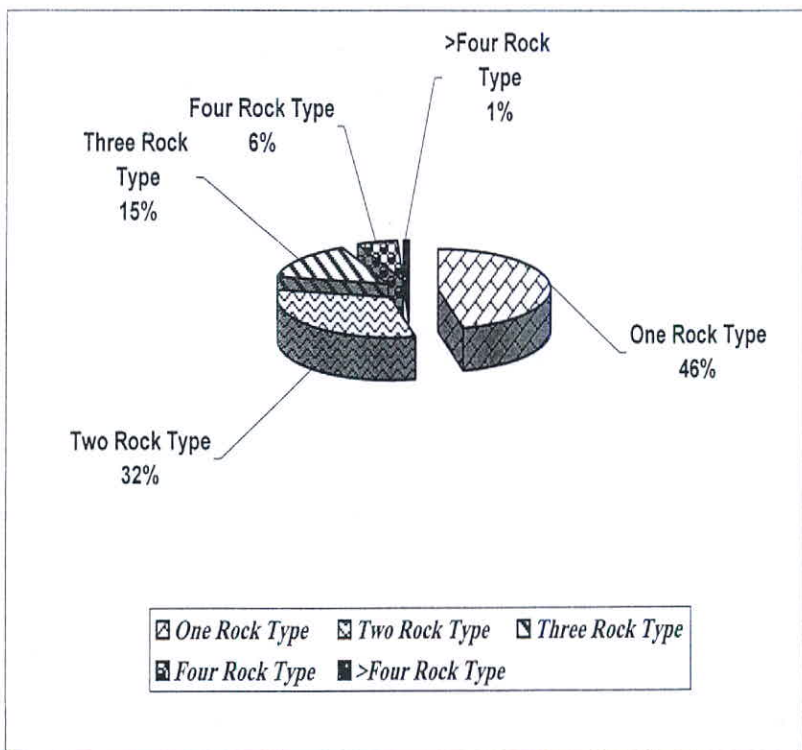
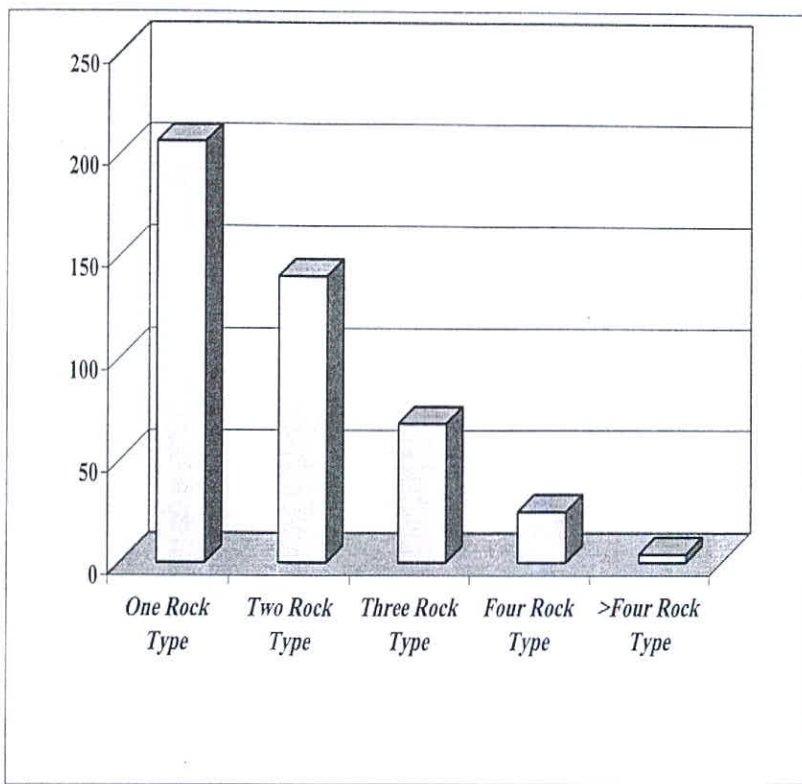
همچنین جوامع سنگی بیش از چهار سنگی (۴ نمونه در دو گونه) را به عنوان یک جامعه در نظر گرفته در پایان رده‌بندی جوامع سنگی گونه‌هایی که کمتر از ۵ نمونه را در حود جای داده بودند (مجموعاً ۱۵ گونه با ۳۲ نمونه) و شده وجهت پردازش‌های بعدی همانند سایر جوامع سنگی به کار گرفته شدند.

دلیل این کار کاهش تأثیر سنگ بالا دست در این نمونه‌ها (به علت بالا بودن تعداد سنگ بالا دست) است.

در پایان ذکر این نکته ضروری به نظر می‌رسد که در جدایش جوامع سنگی در منطقه تحت پوشش، عامل زمانی در نظر گرفته نشده است بدین معنی که اگر سنگ بالا دست رخنمون دار در آبراهه‌ای از جنس آهک (چه آهک متعلق به پرکامبرین یا کرتاسه) باشد، تأثیری در طبقه‌بندی نداشته و هر دو به عنوان یک جامعه سنگ بالا دست مورد بررسی قرار گرفتند زیرا در غیر این صورت تعداد جوامع سنگی بالا دست آنقدر افزایش خواهد یافت که ممکن است در هر جامعه فقط چند نمونه قرار گیرد. در نتیجه تحلیل آماری روی آنها خطای بیشتری را بوجود خواهد آورد و این امر موجب کاهش شدید دقت تخمین‌های بعدی خواهد شد.

شکل (۳-۱) تعداد نمونه‌های هر زیر جامعه و سهم هر یک در جامعه کلی را نشان می‌دهند.

*Fig(3-1) : Histogram and Percent of Social Rock Unit*



### بررسی مقادیر کلارک در سنگهای رخمنون دار منطقه:

از آنجا که مقدار غلظت اندازه‌گیری شده هر عنصر در سنگ و یا رسوب آبراهه‌ای را می‌توان به دو مولفه اپی‌زنیک (وابسته به کانی‌سازی احتمالی) و سلنیک (وابسته به زایش سنگ) تقسیم کرد، بنابراین برخی از آنومالی‌های ژئوشیمیایی در ارتباط با کانی‌سازی نبوده بلکه تغییرات لیتولوژی آنها را ایجاد می‌کند. عناصری که در سنگهای مافیک دارای مولفه‌های سلنیک قوی می‌باشند شامل عناصر (Cr, Mn, Co, Ni, V) بوده که معمولاً در کانه‌هایی با وزن مخصوص بالا ظاهر می‌شوند و بدین ترتیب ممکن است آنومالی‌های دروغین ایجاد نمایند. در مورد سنگهای رسوبی باید توجه داشت که در حوضه آبریز دو نوع سنگ رسوبی ایجاد مشکل می‌کنند. یکی سنگهای آهکی و دلویتی که در آنها جزء کانی سنگین، ممکن است از باریت، سلسیتین، آپاتیت غنی باشد در حالی که سایر کانی‌های سنگین آنقدر یافت می‌شوند که ممکن است مورد استفاده‌ای نداشته باشند دیگری شیلها بويژه شیلهاي سیاهرنگ غنی از مواد آلی هستند که در آنها مقدار زمینه تعداد زیادی از عناصر کاساری، بالا است و در نتیجه پتانسیل زیادی برای ایجاد آنومالی‌های دروغین دارند که با توجه به نقشه زمین‌شناسی مناطق این عوامل باید در نظر گرفته شوند.

جدول (۳-۲) مقدار فراوانی ۲۰ عنصر را در تیپ‌های سنگی رسوبی و آذرین با گسترش نسبتاً زیاد به همراه نسبت حداکثر و حداقل مقادیر کلارک را نشان می‌دهد تغییر مقادیر کلارک عناصر در بین این سنگها بقدرتی شدید است که می‌تواند به طور بالقوه نمونه‌های ژئوشیمیایی را تحت تأثیر قرار دهد به این ترتیب اکثر عناصر نسبت به سنگ بستر رخمنون دار در حوضه آبریز

**Table (3 -2) :Clark values and Max/Min ratio of the clark values For Different Elements**

Variable	Sedimentary Rock			Igneous Rock			Max/Min
	LM	SH	CS	Acidic	Intermediate	Basic	
Ag	0.0n	0.07	0.0n	0.04	0.07	0.11	2.8
As	1	13	1	1.5	2	2	13
Au(ppm)	-	-	-	0.8	2.8	3.6	4.5
Ba	10	580	-	840	380	330	84
Bi	-	-	-	0.01	0.008	0.007	1.4
Co	0.1	19	0.3	1	9	48	480
Cr	11	90	35	10	55	170	17
Cu	4	45	1	10	40	87	87
Fe	8300	48000	28000	25000	55000	84000	10.1
Hg(ppm)	45	66	74	67	75	65	1.7
Mn	400	800	400	400	1200	1200	3
Mo	0.4	2.6	0.2	1.3	1.1	1.5	13
Ni	2	6.8	2	4.5	50	130	65
Pb	9	20	7	19	12	6	3.3
Sb	20	150	0.n	20	20	20	7.5
Sn	0.n	6	0.n	3	1.6	1.5	4
Sr	19	26	220	100	440	465	24.5
Ti	1200	3800	3000	2700	6000	8000	6.7
W	0.6	1.8	1.6	2.2	1.2	0.7	3.7
Zn	20	95	16	39	75	105	6.6

حساسیت نشان می‌دهند و بیشترین حساسیت را کمالت با ضریب ۴۸۰ (ماکریم مقدار آن در سنگهای بازیک) و سپس مس ۸۷، باریم ۸۴، نیکل ۶۵ و ... و کمترین مقدار تغییرپذیری را عنصر بیسموت با ضریب ۱/۴ نشان می‌دهد. این ارقام نشانگر تأثیر سنگ منشاء بر نمونه‌های رئوشیمیایی است که موجب می‌گردد تا عناصر اندازه‌گیری شده، شدیداً از خود تغییرپذیری نشان داده و بدون نرمال کردن مقدار عناصر نسبت به جنس سنگهای بالادست در حوضه آبریز امکان دستیابی به یک جامعه همگن که بتوان بر اساس آن مقادیر زمینه حد آستانه‌ای و آnomالی‌ها را در آنها مشخص نمود، غیرممکن باشد.

بررسی زمینه محلی در هر یک از جوامع سنگی و مقایسه آنها با جامعه کلی:

معیاری که برای بررسی زمینه محلی عناصر رئوشیمیایی در هریک از جوامع سنگی انتخاب شد، بر اساس میانگین است. به این ترتیب ابتدا مقدار میانگین هر عنصر در بعضی از جوامع سنگی محاسبه گردیده و سپس در یک نمودار میله‌ای، مقادیر آنها در جوامع سنگی مختلف مقایسه گردیدند. اشکال (۳-۲-۷) مقادیر عناصر مختلف را در جوامع سنگی نشان می‌دهد. در کنار ستونهای مربوط به جوامع سنگی مختلف، میانگین جامعه کلی نیز جهت مقایسه میزان تأثیرپذیری آن از نوع سنگ بالادست آورده شده است.

میانگین عنصر طلانهای در مورد جوامع سنگی flych-lim, shale-lim مقداری افزایش نشان می‌دهد.

میانگین عنصر تنگستان در مورد جوامع سنگی flych, shale مقداری افزایش نشان

می‌دهد.

میانگین عنصر مولیبیدن در جوامع سنگی shale, flych-lim مقداری افزایش را نشان

می‌دهد.

میانگین عنصر کروم در جامعه سنگی cm, gb افزایش داشته است.

میانگین عنصر کبالت در جوامع سنگی cm, gb, sand افزایش نسبی داشته است.

میانگین عنصر نیکل در جامعه سنگی cm, gb, flych-spd افزایش داشته است.

میانگین عنصر تیتانیوم در جامعه سنگی cm, sand, spd افزایش داشته است.

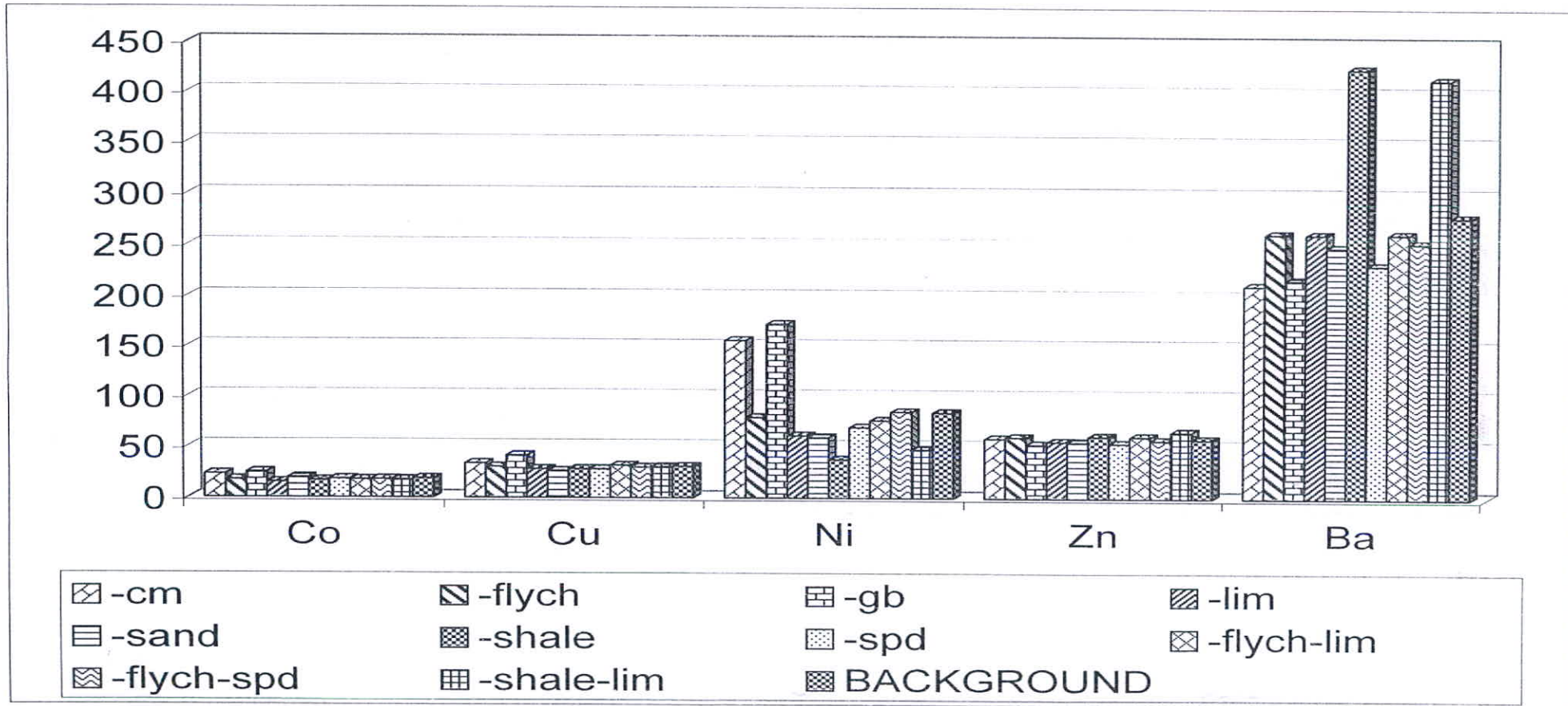
میانگین عنصر نقره در جامعه سنگی flych-spd افزایش داشته است.

میانگین عنصر بیسموت در جامعه سنگی cm, spd افزایش داشته است.

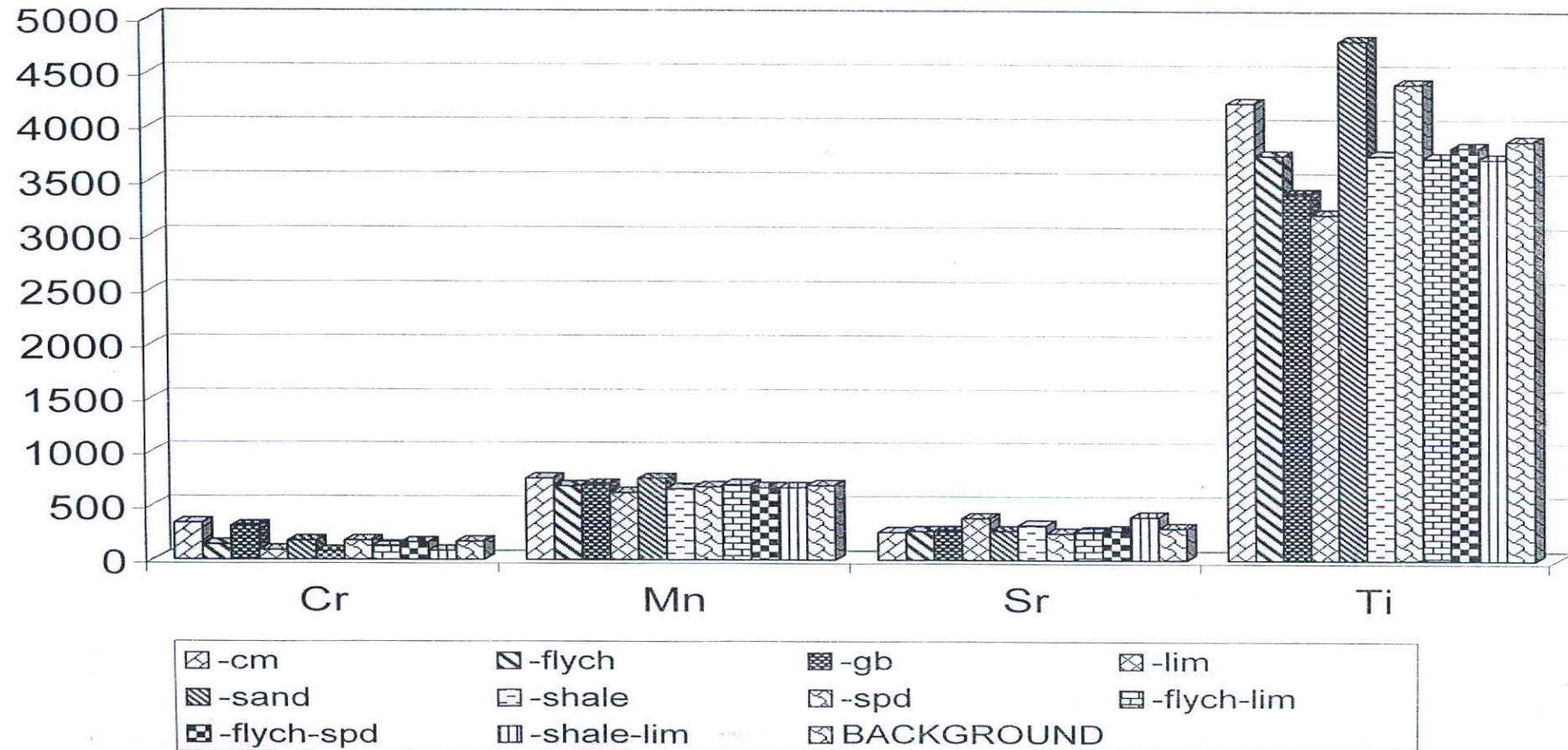
میانگین عناصر اسکاندیم ، روی ، آرسنیک ، استرانسیم ، کادمیم ، قلع ، آنتیمون ،

باریم ، سرب ، جیوه ، بریلیم و آهن تغییرات اندکی را از خود نشان می‌دهند.

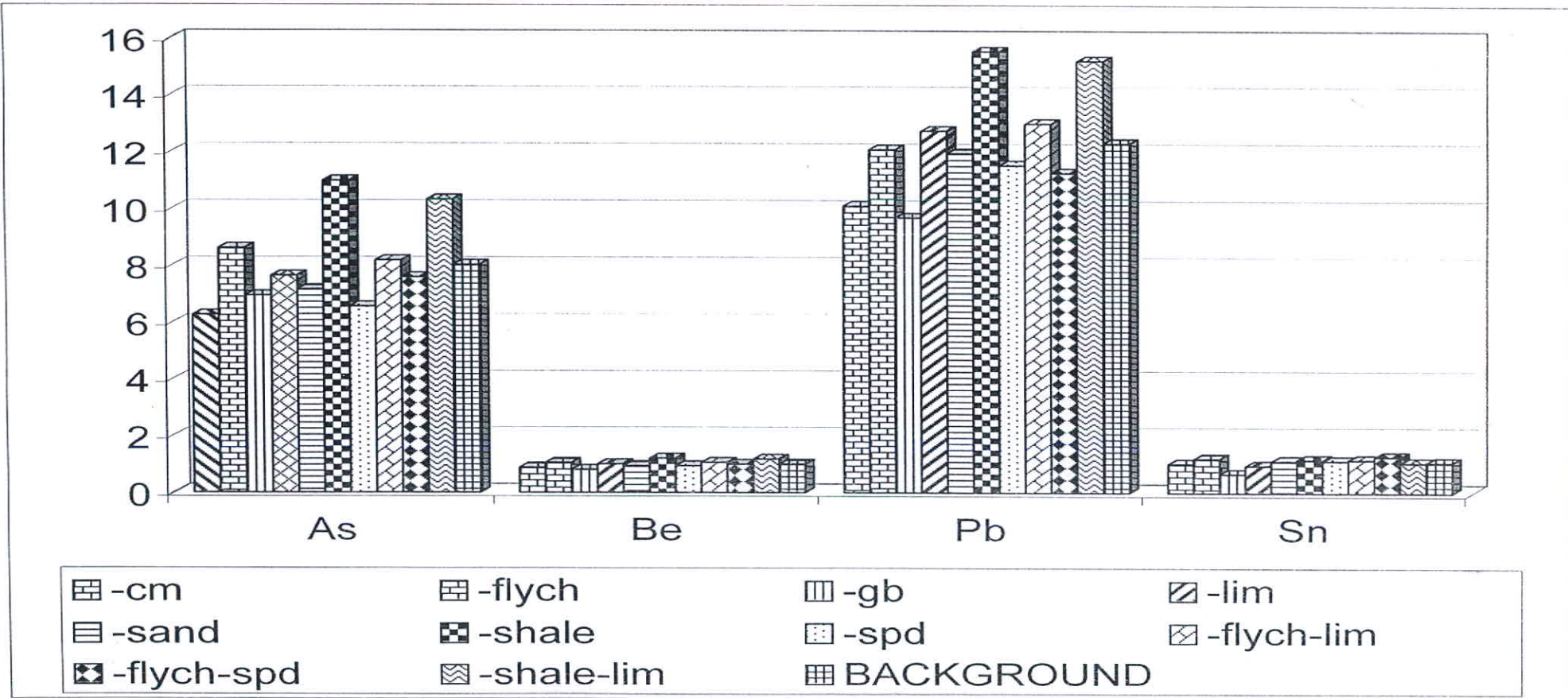
*Fig(3-2):Comparative Histogram of Local Background Element in the Rock Societies*



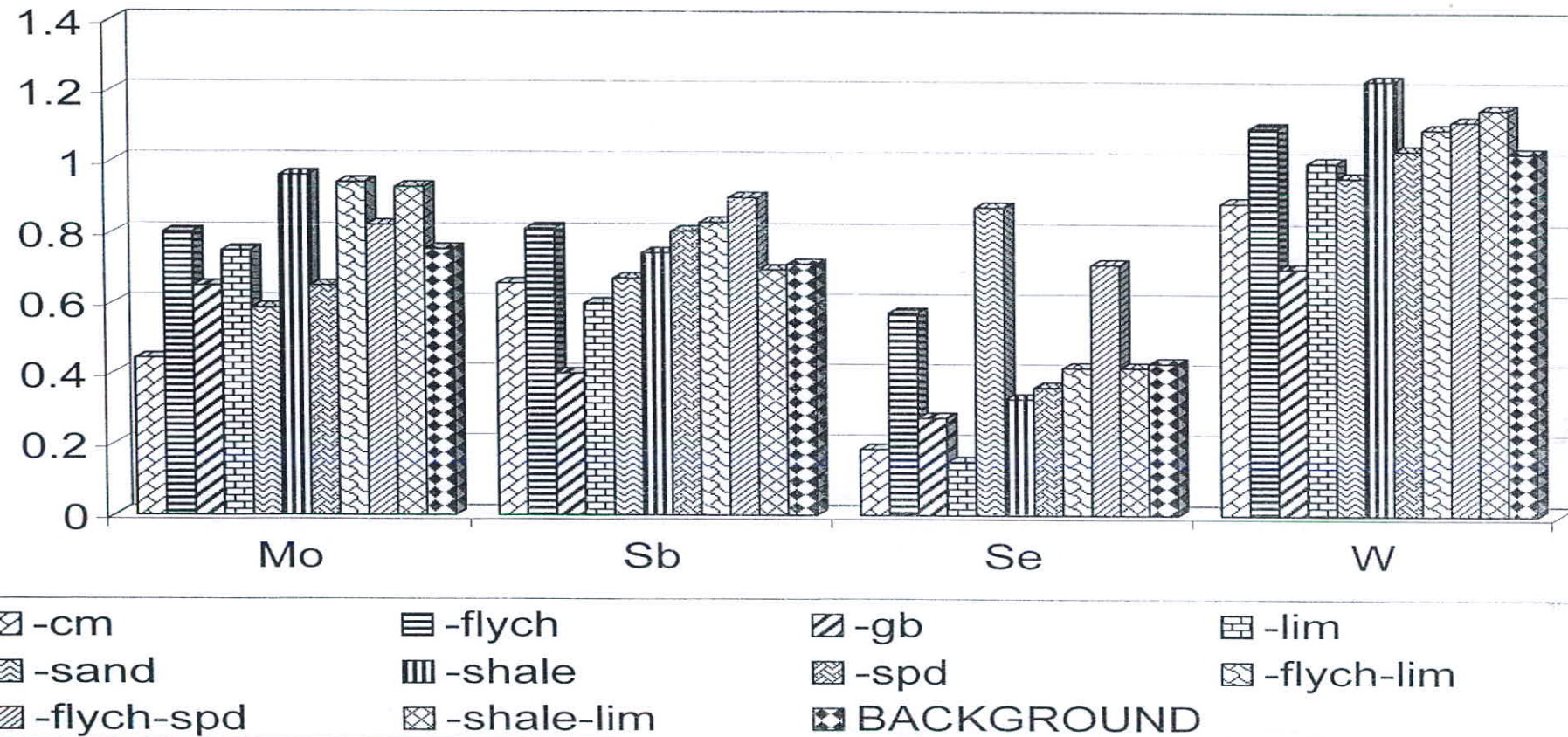
Fig(3-3):Comparative Histogram of Local Background Element in the Rock Societies



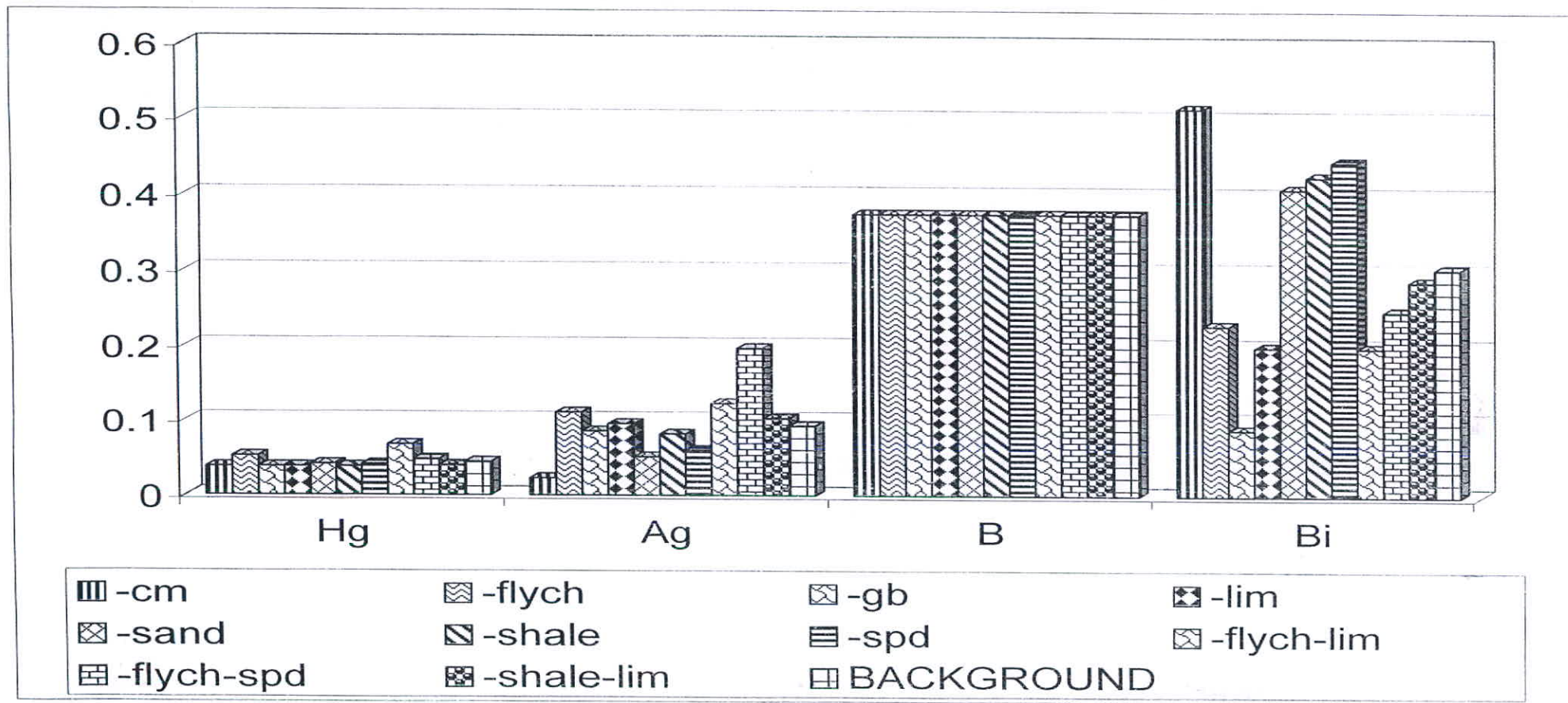
**Fig(3-4):Comparative Histogram of Local Background Element in the Rock Societies**



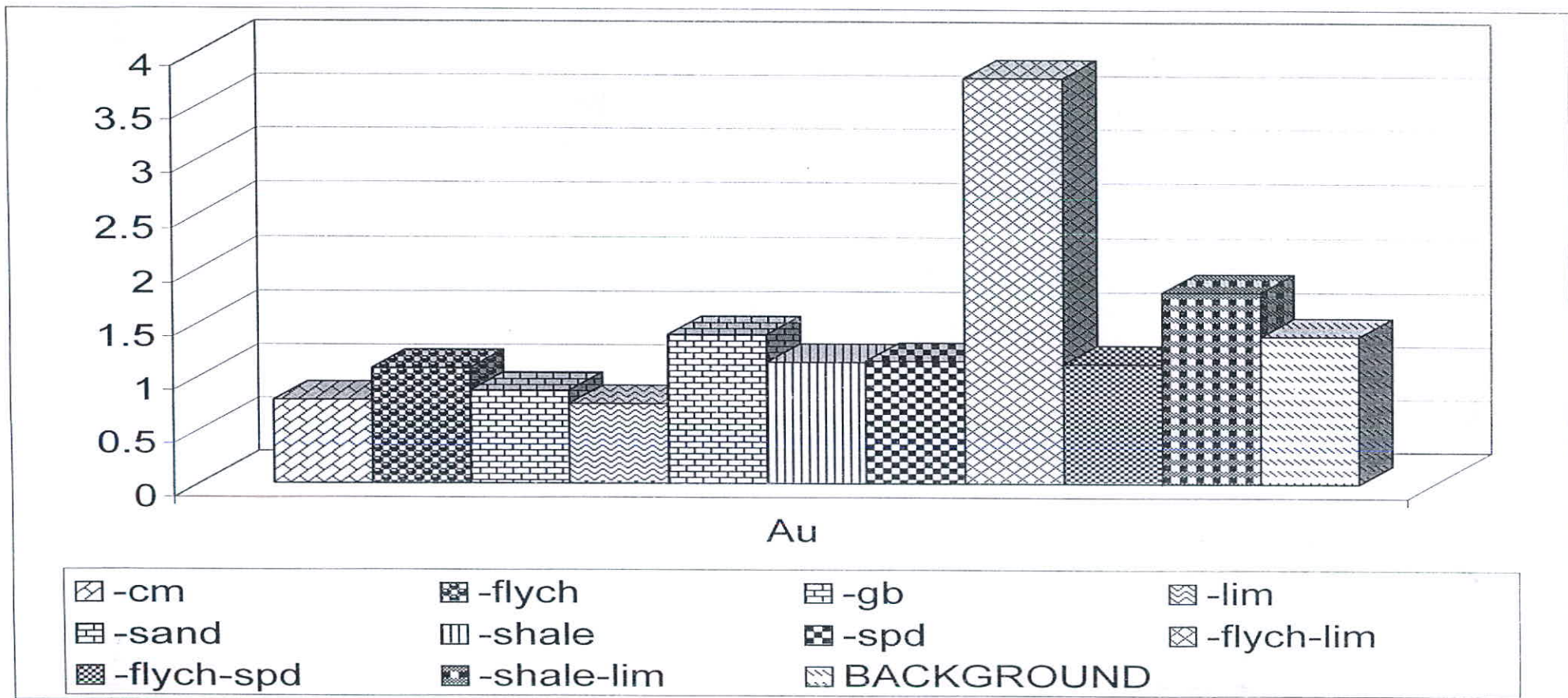
*Fig(3-5):Comparative Histogram of Local Background Element in the Rock Societies*



*Fig(3-6):Comprative Histogram of Local Background Element in the Rock Societies*



*Fig(3-7):Comparative Histogram of Local Background Element in the Rock Societies*



# فصل پنجم

## بردازش داردهای فام



## محاسبه پارامترهای آماری داده‌های خام

اولین مرحله پردازش داده‌های ژئوشیمیابی، بررسی پارامترهای آماری مربوط به تک‌تک عناصر جهت شناخت ماهیت توزیع هریک از آنها می‌باشد که با محاسبه پارامترهای آماری از قبیل میانگین، انحراف معیار، چولگی، کشیدگی، واریانس و ... می‌توان به این موضوع دست یافت. در این قسمت برای هر عنصر به عنوان یک متغیر آماری در یک جدول، تعداد نمونه‌ها، حداقل و حداکثر عیار، میانگین، میانه، انحراف معیار، چولگی و کشیدگی و نمودارهای هیستوگرام توزیع فراوانی محاسبه و ترسیم شده‌اند.

### بررسی مقادیر خارج از رده (Outliers)

هنگام بررسی مقادیر داده‌های خام به نمونه‌هایی برخورд می‌شود که در آستانه‌های بالا و پایین جامعه داده‌ها قرار گرفته و از جامعه اصلی جدا افتاده‌اند. اگر نمودار جعبه‌ای (Boxplot) آنها ترسیم شود این نمونه‌ها به نحو بارزی خودشان را از بقیه جدا می‌کنند. مقادیر خارج از رده به سه حالت مختلف زیر ممکن است بوجود آیند:

حالت اول) از یک خطای سیستماتیک به هنگام نمونه‌برداری، آماده‌سازی یا تجزیه شیمیابی نمونه‌ها ناشی شده باشند که باید از مرحله پردازش حذف یا اصلاح شوند.

حالت دوم) مشاهداتی که به صورت یک پدیده فوق‌العاده نمود پیدا می‌کنند که باید پس از بررسی اعتبار آنها در مورد حفظ یا حذف آنها تصمیم گرفت.

حالت سوم) مشاهدات فوق العاده‌ای که هیچگونه توضیح مناسبی برای آنها وجود ندارد و کارشناس اگر احساس کند که آنها به عنوان گوشه‌ای از جامعه مورد بررسی هستند می‌تواند آنها را حفظ کند.

وجود مقادیر خارج از رده در جامعه نمونه‌ها موجب افزایش واریانس جامعه و نیز همبستگی بین متغیرها وهمچنین افزایش چولگی در نمودار توزیع عناصر می‌شود. برای کاهش این تاثیر راههای مختلفی نظیر محاسبه ضریب همبستگی با استفاده از روش‌های ناپارامتری مانند روش اسپیرمن (Spearman)، حذف یا جایگزین نمودن مقادیر استفاده می‌شود در این گزارش از روش جایگزین نمودن مقادیر خارج از رده استفاده شده است. جدول (۱-۴) نمونه‌های دارای مقادیر خارج از رده را نشان می‌دهد.

#### نرمال سازی داده‌های خام :

استفاده از برخی روش‌های آماری منوط به نرمال بودن تابع توزیع متغیرهای مورد مطالعه است در حالیکه توابع توزیع از نوع لاغ نرمال است، به همین علت قبل از استفاده از این روشها داده‌های خام باید نرمال شوند. در این بخش از نوعی تبدیلات جهت نرمال کردن تابع توزیع داده‌های خام استفاده شده است. این کار شرط لازم کاربرد برخی روش‌های آماری مانند تعیین نمونه‌های آنومالی با استفاده از اضافه کردن ضرایبی از انحراف معیار به حد آستانه‌ای و یا محاسبه ضرایب همبستگی پیرسون می‌باشد. روش لاغ نرمال به صورت یک روش توصیفی برای نرمال کردن تابع توزیع جوامعی که دارای چولگی در نمودار خود هستند به کار می‌رود.

*Table(4-1) : Outlier Samples For Normal Raw Data*

Elements	Sample Number	
	Outlier (+)	Outlier (-)
Au	ID-51 , II-294 , ID-111 , ID-147	
W		
Mo		
B		
Cr	IA-221 , IA-216	
Co	IB-411	
Ni	IA-214 , IA-197	
Cu		
Zn	IB-411 , IB-410	
As		
Sr	ID-160	
Ag	ID-043 , IA-181 , ID-066 , ID-017	
Sn		
Sb		
Ba	ID-153	
Pb		
Bi		
Hg	ID-080	
Ti	IB-411	
Mn	IB-411	
Be		
Se	IB-361	

در اینجا از لگاریتم طبیعی مقادیر داده‌های خام به اضافه یا منهای یک مقدار ثابت  $\lambda$  مطابق رابطه تبدیلی زیر استفاده شده است.

$$Z = \ln(AE \pm \lambda)$$

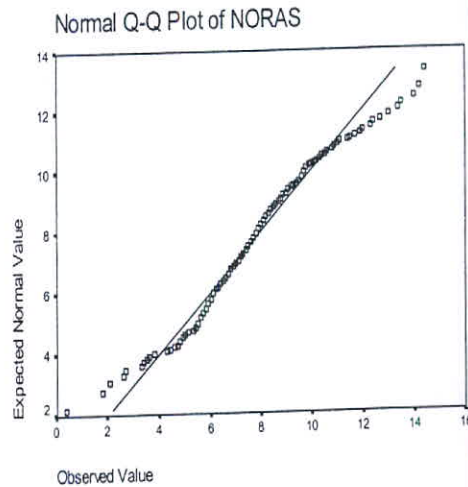
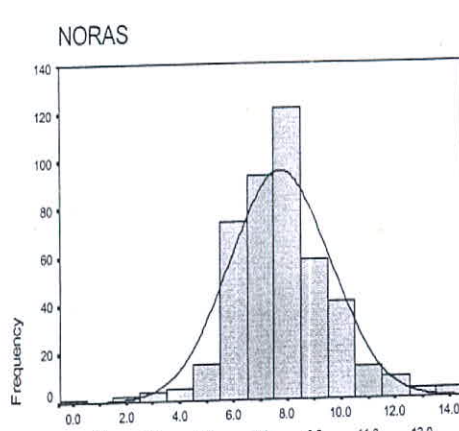
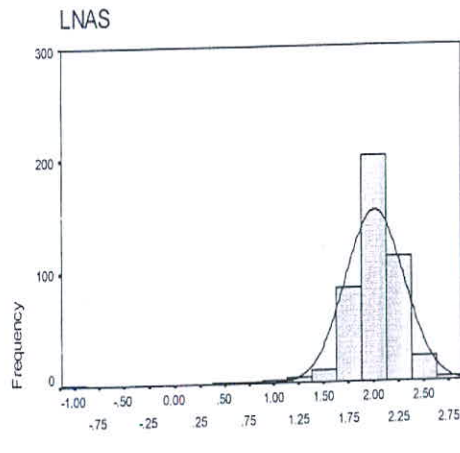
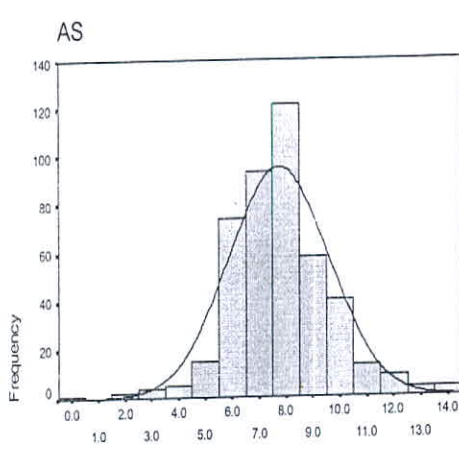
در این رابطه  $AE$  آنالیز نمونه برای هر عنصر است.

برای هر عنصر مقدار  $\lambda$  به گونه‌ای انتخاب می‌شود که پس از انتخاب داده‌ها به یک مقدار بینه از چولگی و کشیدگی در منحنی توزیع نرمال دست یافته شود. پارامترهای آماری و هیستوگرام‌های ترسیم شده برای داده‌های نرمال در شکل (۴-۱) تا (۴-۷) آورده شده است. با توجه به این پارامترهای آماری می‌توان دریافت که مقادیر چولگی و کشیدگی متغیرها در مقایسه با مقادیر متناظر مربوط به داده‌های خام نرمال نشده تا چه اندازه کاهش یافته و منحنی توزیع تجمعی آنها به صورت یک خط راست که بیانگر توزیع نرمال می‌باشد، ظاهر شده است. هیستوگرام مقادیر نرمال شده نسبت به هیستوگرام مقادیر نرمال نشده نیز بیانگر مطلب فوق می‌باشد.

*Fig(4-1):Statistical Parameters For Raw Data in Iranshahr*

### Statistics

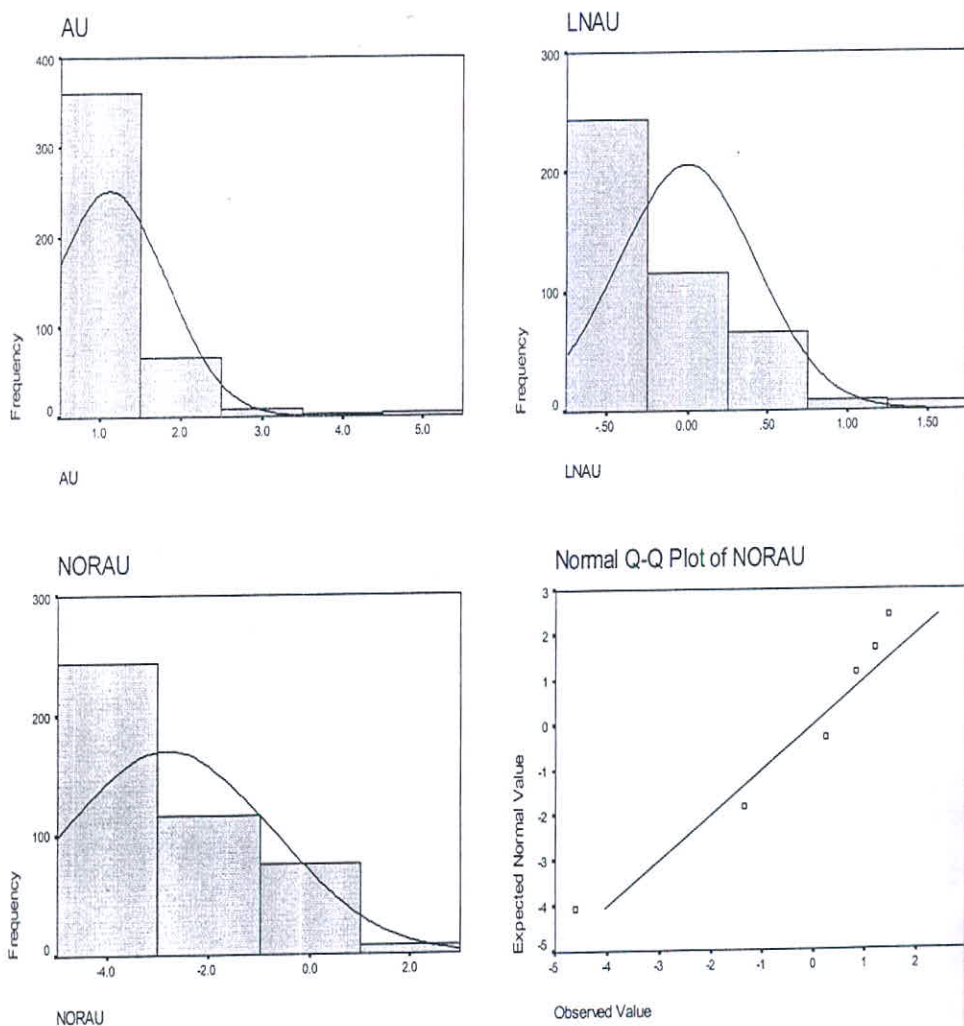
		AS	LNAS	NORAS
N	Valid	443	443	443
	Missing	0	0	0
Mean		7.738	2.0121	7.738
Median		7.700	2.0412	7.700
Std. Deviation		1.856	.2895	1.856
Skewness		.313	-3.182	.313
Std. Error of Skewness		.116	.116	.116
Kurtosis		1.794	27.583	1.794
Std. Error of Kurtosis		.231	.231	.231
Minimum		.4	-.98	.4
Maximum		14.4	2.67	14.4



Fig(4-2): Statistical Parameters For Raw Data in Iranshahr

### Statistics

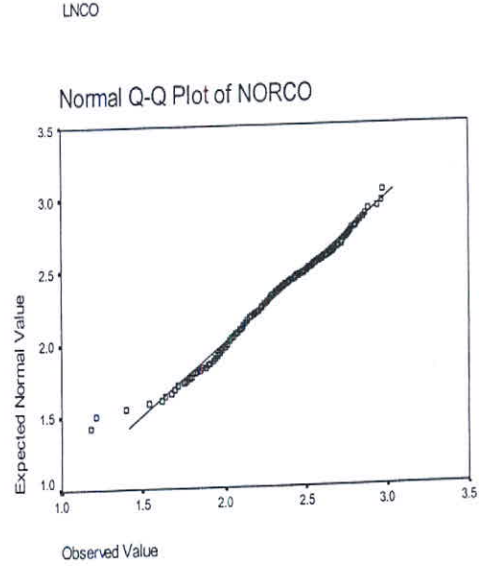
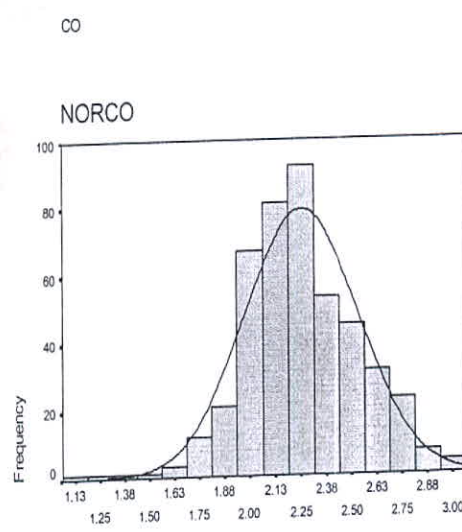
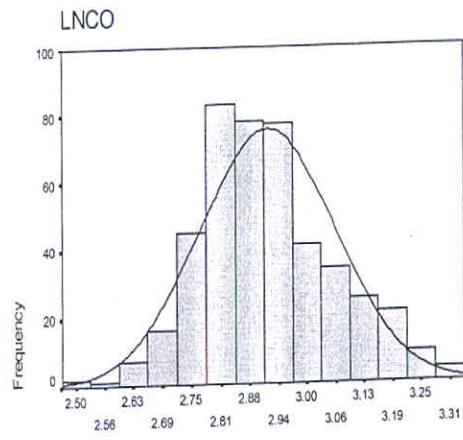
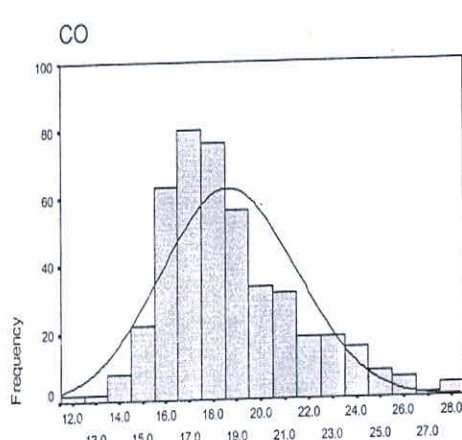
		AU	LNAU	NORAU
N	Valid	443	443	443
	Missing	0	0	0
Mean		1.117	-5.31E-03	-2.8139
Median		.750	-.2877	-4.6052
Std. Deviation		.703	.4293	2.0743
Skewness		3.000	1.673	.468
Std. Error of Skewness		.116	.116	.116
Kurtosis		11.111	2.101	-1.447
Std. Error of Kurtosis		.231	.231	.231
Minimum		.8	-.29	-4.61
Maximum		5.0	1.61	1.45



Fig(4-3): Statistical Parameters For Raw Data in Iranshahr

### Statistics

		CO	LNC0	NORCO
N	Valid	443	443	443
	Missing	0	0	0
Mean		18.644	2.9146	2.2541
Median		18.100	2.8959	2.2364
Std. Deviation		2.829	.1461	.2787
Skewness		.869	.454	.000
Std. Error of Skewness		.116	.116	.116
Kurtosis		.664	.164	.521
Std. Error of Kurtosis		.231	.231	.231
Minimum		12.0	2.48	1.18
Maximum		28.3	3.34	2.97

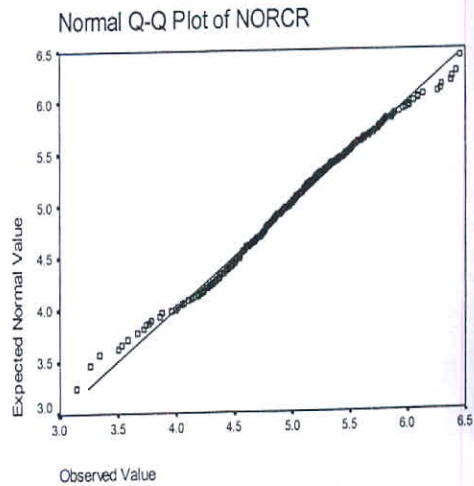
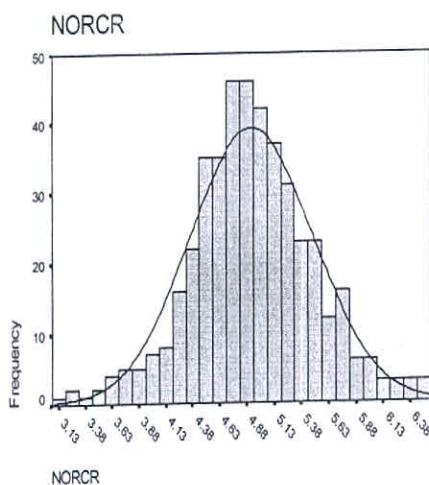
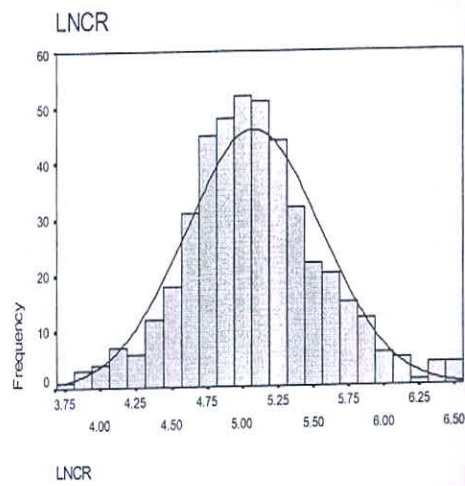
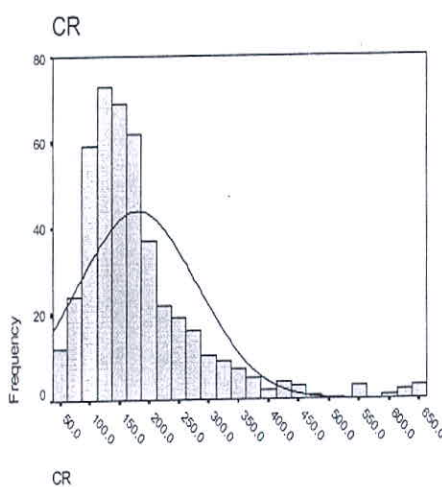


NORCO

Fig(4-4): Statistical Parameters For Raw Data in Iranshahr

## Statistics

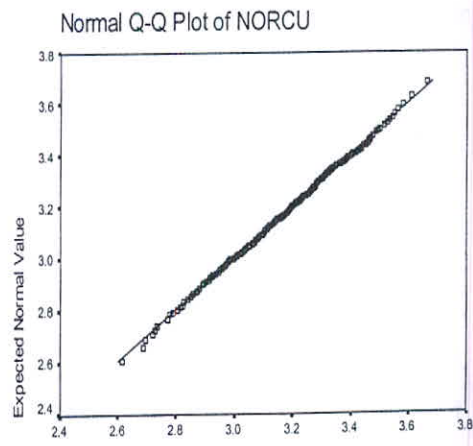
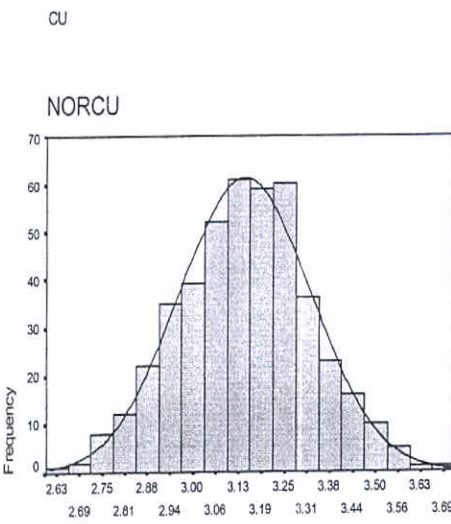
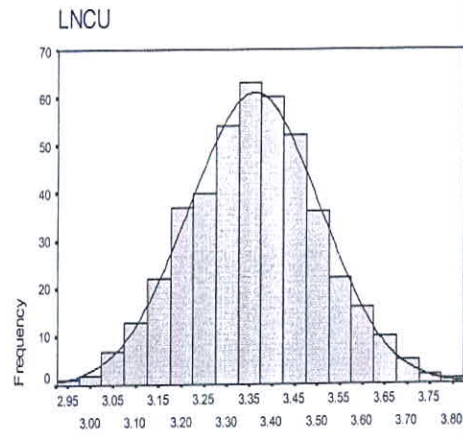
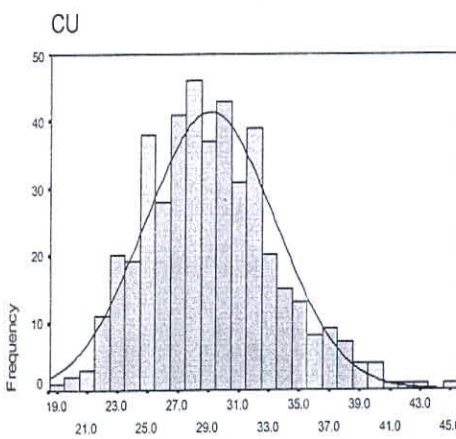
		CR	LNCR	NORCR
N	Valid	443	443	443
	Missing	0	0	0
Mean		180.986	5.0773	4.9171
Median		155.000	5.0434	4.8993
Std. Deviation		100.501	.4800	.5618
Skewness		2.086	.296	.000
Std. Error of Skewness		.116	.116	.116
Kurtosis		5.864	.444	.557
Std. Error of Kurtosis		.231	.231	.231
Minimum		44.0	3.78	3.14
Maximum		657.0	6.49	6.46



Fig(4-5): Statistical Parameters For Raw Data in Iranshahr

### Statistics

		CU	LNCU	NORCU
N	Valid	443	443	443
	Missing	0	0	0
Mean		29.117	3.3608	3.1415
Median		28.700	3.3569	3.1398
Std. Deviation		4.263	.1448	.1801
Skewness		.502	.097	.000
Std. Error of Skewness		.116	.116	.116
Kurtosis		.239	-.156	-.161
Std. Error of Kurtosis		.231	.231	.231
Minimum		19.3	2.96	2.62
Maximum		44.6	3.80	3.66

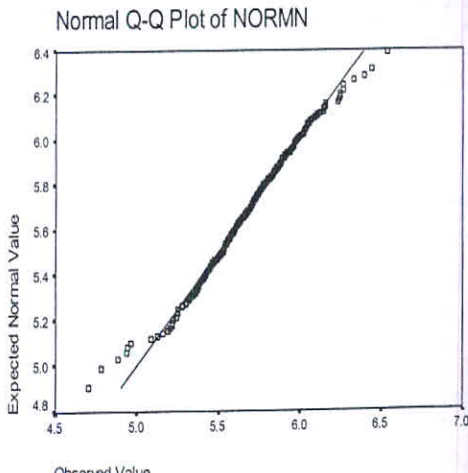
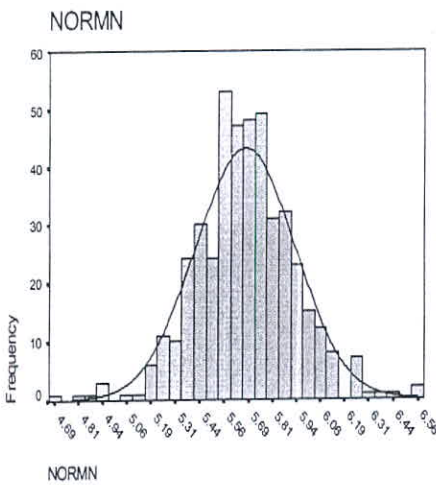
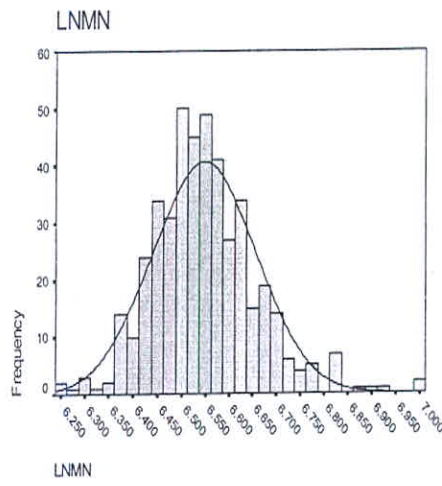
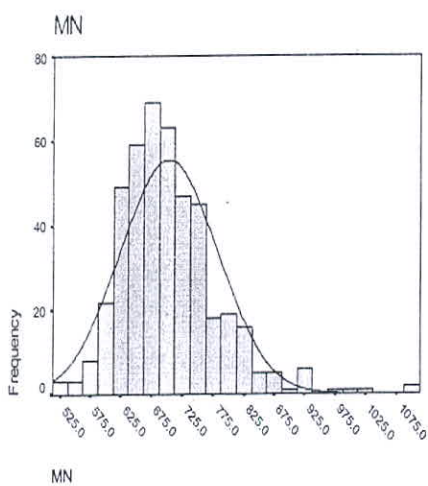


NORCU

Fig(4-6): Statistical Parameters For Raw Data in Iranshahr

### Statistics

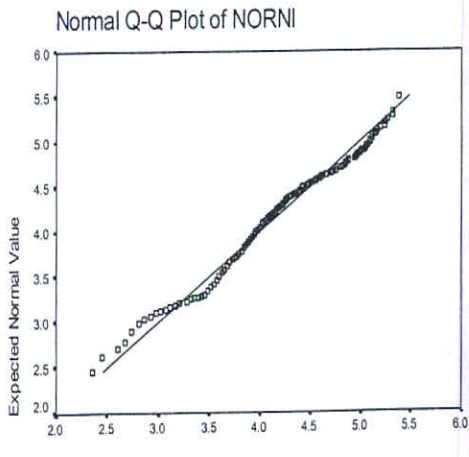
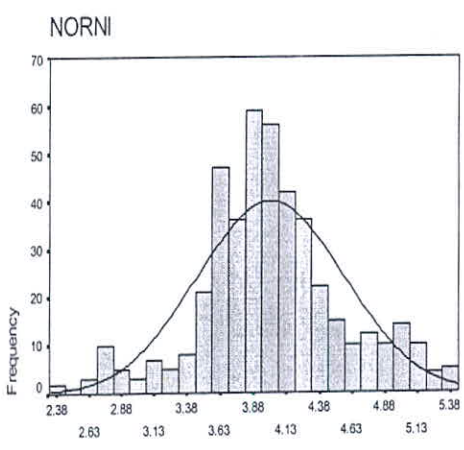
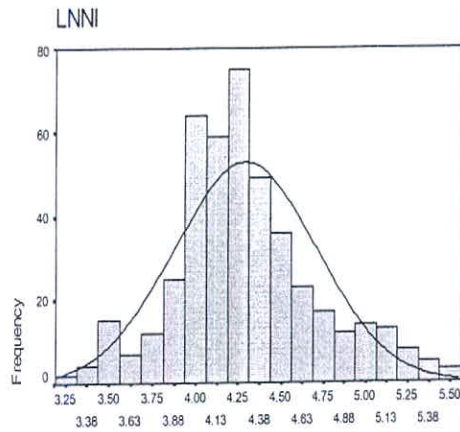
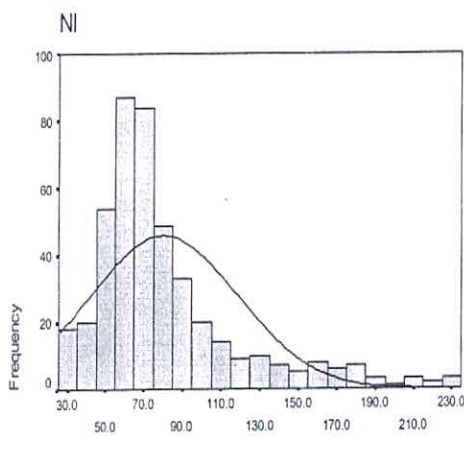
		MN	LNMN	NORMN
N	Valid	443	443	443
	Missing	0	0	0
Mean	702.463	6.5486	5.6712	
Median	693.000	6.5410	5.6719	
Std. Deviation	79.502	.1085	.2556	
Skewness	1.195	.657	.000	
Std. Error of Skewness	.116	.116	.116	
Kurtosis	3.223	1.528	1.127	
Std. Error of Kurtosis	.231	.231	.231	
Minimum	513.0	6.24	4.71	
Maximum	1090.0	6.99	6.53	



Fig(4-7):Statistical Parameters For Raw Data in Iranshahr

### Statistics

		NI	LNNI	NORNI
N	Valid	443	443	443
	Missing	0	0	0
Mean		80.219	4.2920	4.0036
Median		70.000	4.2485	3.9815
Std. Deviation		38.419	.4175	.5505
Skewness		1.697	.467	.000
Std. Error of Skewness		.116	.116	.116
Kurtosis		2.971	.361	.511
Std. Error of Kurtosis		.231	.231	.231
Minimum		27.0	3.30	2.36
Maximum		233.0	5.45	5.38



### تعیین ضریب همبستگی :

برای تعیین اینکه آیا ارتباط معنی‌داری میان تغییرات متغیرهای آماری وجود دارد، ضرایب همبستگی میان آنها محاسبه می‌شود. این عمل به دو منظور کشف همبستگی بین متغیرها و تخمین مقدار یک یا چند متغیر دیگر صورت می‌گیرد. برای بررسی، دو نوع ضریب همبستگی پیرسون و اسپیرمن به صورت ماتریس ضرایب همبستگی محاسبه شده‌اند که در جداول (۲-۴) و (۳-۴) آمده است شرط محاسبه ضریب همبستگی پیرسون، نرمال بودنتابع توزیع متغیرها می‌باشد. در این جداول، (Sig(2-Tailed) میزان معنی‌دار بودن ضرایب همبستگی طبق آزمون فرض مساوی صفر بودن ضریب همبستگی می‌باشد.

برای محاسبه ضریب همبستگی پیرسون به علت تاثیرپذیری این پارامتر از آستانه‌های بالا و پایین حتماً باید داده‌های خام نرمال شوند تا ضریب همبستگی محاسبه شوند. جدول (۲-۴) مقادیر این ضرایب را نشان می‌دهد.

بر پایه جدول ضریب همبستگی پیرسون بین جفت متغیرهای (As,Be)(0.689) و (Cr,Mn,Co)(0.699) و (Zn,Be)(0.629) و (Cr,Mn,Ti)(0.703) و (Cr,Ni)(0.726) و (Cr,Co)(0.702) و (Sb,Sn)(0.634) و (Ag,Mo)(0.638) و (Ba,Ti)(0.608) و (Pb,Be)(0.649) و (Sb,Sn)(0.635) در سطح اعتماد مطلوب ۹۹٪ می‌باشد که بیشترین ارتباط همبستگی و (W,Sb)(0.634) بین عناصر (Cr,Ni)(0.726) وجود دارد. این ضرایب بیانگر ارتباط پارازیتی بین عناصر می‌باشند.

برای محاسبه ضریب همبستگی اسپیرمن از داده‌های خام استفاده شده است و همانطور که مشاهده می‌شود، در بعضی مواقع وضعیت متفاوتی نسبت به ضریب

همبستگی پرسون دارد. این اختلاف بیشتر زمانی بروز می‌کند که مقدار داده‌های خارج از رده زیاد باشد. اما مقایسه دقیق آنها، این نکته را بیان می‌کند که اختلاف این دو ضریب همبستگی خیلی زیاد نیست، این امر نشان دهنده تاثیرپذیری کم داده‌ها از مقادیر خارج از رده است. جدول (۴-۳) مقادیر این ضرایب را نشان می‌دهد.

**Table (4-2) :Pearson Correlation for Raw Data in Itranshahr 1:100000 Sheet**

	NOR AU	NOR HG	NOR AS	NOR CO	NOR CR	NOR CU	NOR MN	NOR NI	NOR SR	NOR ZN	NOR BA	NOR BE	NOR TI	NOR AG	NOR BI	NOR MO	NOR PB	NOR SB	NOR SE	NOR SN	NOR W	
<b>NOR AU</b>	Pearson Correlation	1	0.152	0.162	-0.128	-0.111	0.101	-0.096	-0.034	0.157	0.159	0.103	0.195	-0.164	0.247	-0.209	0.155	0.043	0.048	-0.014	-0.019	0.097
	Sig. (2-tailed)	.	0.001	0.001	0.007	0.019	0.033	0.043	0.473	0.001	0.001	0.03	0	0.001	0	0	0.001	0.371	0.311	0.772	0.69	0.04
<b>NOR HG</b>	Pearson Correlation	0.152	1	0.072	-0.073	0.028	0.093	-0.059	0.141	-0.112	0.097	-0.045	0.031	-0.124	0.342	-0.341	0.298	-0.051	0.204	-0.032	0.095	0.105
	Sig. (2-tailed)	0.001	.	0.129	0.122	0.553	0.05	0.213	0.003	0.019	0.04	0.34	0.512	0.009	0	0	0	0.28	0	0.605	0.046	0.028
<b>NOR AS</b>	Pearson Correlation	0.162	0.072	1	-0.145	-0.515	0.141	-0.175	-0.335	0.421	0.359	0.499	0.689	-0.186	0.333	-0.113	0.429	0.498	0.343	-0.047	0.215	0.539
	Sig. (2-tailed)	0.001	0.129	.	0.002	0	0.003	0	-0	0	0	0	0	0	0	0.017	0	0	0	0.322	0	0
<b>NOR CO</b>	Pearson Correlation	-0.128	-0.073	-0.145	1	0.699	0.469	0.702	0.528	-0.279	0.307	-0.157	-0.164	0.608	-0.314	0.327	-0.208	-0.257	-0.144	0.008	0.035	-0.143
	Sig. (2-tailed)	0.007	0.122	0.002	.	0	0	0	0	0	0	0.001	0.001	0	0	0	0	0	0.002	0.865	0.461	0.003
<b>NOR CR</b>	Pearson Correlation	-0.111	0.028	-0.515	0.699	1	0.261	0.474	0.726	-0.524	-0.018	-0.501	-0.542	0.495	-0.365	0.305	-0.339	-0.457	-0.108	-0.106	0.024	-0.244
	Sig. (2-tailed)	0.019	0.553	0	0	-	0	0	0	0.709	0	0	0	0	0	0	0	0.023	0.026	0.608	0	
<b>NOR CU</b>	Pearson Correlation	0.101	0.093	0.141	0.469	0.261	1	0.307	0.593	0.063	0.55	-0.017	0.171	-0.008	0.061	-0.123	0.031	-0.146	-0.063	-0.187	-0.065	0.051
	Sig. (2-tailed)	0.033	0.05	0.003	0	0	.	0	0	0.188	0	0.722	0	0.868	0.202	0.01	0.515	0.002	0.183	0	0.169	0.282
<b>NOR MN</b>	Pearson Correlation	-0.096	-0.059	-0.175	0.702	0.474	0.307	1	0.188	-0.051	0.382	0.016	-0.091	0.703	-0.232	0.053	-0.1	-0.072	-0.392	0.018	-0.085	-0.327
	Sig. (2-tailed)	0.043	0.213	0	0	0	0	-	0	0.284	0	0.739	0.057	0	0	0.261	0.035	0.13	0	0.711	0.076	0
<b>NOR NI</b>	Pearson Correlation	-0.034	0.141	-0.335	0.528	0.726	0.593	0.188	1	-0.46	0.078	-0.514	-0.331	-0.002	-0.141	0.063	-0.271	-0.504	0.021	-0.139	-0.013	-0.093
	Sig. (2-tailed)	0.473	0.003	0	0	0	0	0	.	0	0.099	0	0	0.968	0.003	0.183	0	0	0.66	0.003	0.792	0.049
<b>NOR SR</b>	Pearson Correlation	0.157	-0.112	0.421	-0.279	-0.524	0.063	-0.051	-0.46	1	0.36	0.464	0.495	-0.107	0.146	-0.253	0.239	0.39	-0.183	-0.053	-0.095	0.113
	Sig. (2-tailed)	0.001	0.019	0	0	0	0.188	0.284	0	.	0	0	0	0.024	0.002	0	0	0	0	0.265	0.046	0.018
<b>NOR ZN</b>	Pearson Correlation	0.159	0.097	0.359	0.307	-0.018	0.66	0.382	0.078	0.36	1	0.39	0.529	0.164	0.225	-0.242	0.356	0.418	-0.089	-0.134	0.108	0.184
	Sig. (2-tailed)	0.001	0.04	0	0	0.709	0	0	0.099	0	.	0	0	0.001	0	0	0	0	0.005	0.023	0	
<b>NOR BA</b>	Pearson Correlation	0.103	-0.045	0.499	-0.157	-0.501	-0.017	0.016	-0.514	0.464	0.39	1	0.603	-0.055	0.189	-0.084	0.337	0.603	0.063	-0.043	0.151	0.281
	Sig. (2-tailed)	0.03	0.34	0	0.001	0	0.722	0.739	0	0	0	.	0	0.247	0	0.078	0	0	0.188	0.364	0.001	0
<b>NOR BE</b>	Pearson Correlation	0.195	0.031	0.689	-0.164	-0.542	0.171	-0.091	-0.331	0.495	0.629	0.603	1	-0.182	0.375	-0.215	0.41	0.649	0.193	0.013	0.23	0.461
	Sig. (2-tailed)	0	0.512	0	0.001	0	0	0.057	0	0	0	0	0	0	0	0	0	0	0.779	0	0	
<b>NOR TI</b>	Pearson Correlation	-0.164	-0.124	-0.186	0.608	0.495	-0.008	0.703	-0.002	-0.107	0.164	-0.055	-0.182	1	-0.336	0.246	-0.179	-0.063	-0.212	0.009	0.101	-0.218
	Sig. (2-tailed)	0.001	0.009	0	0	0	0.868	0	0.968	0.024	0.001	0.247	0	.	0	0	0.187	0	0.852	0.034	0	
<b>NOR AG</b>	Pearson Correlation	0.247	0.342	0.333	-0.314	-0.365	0.061	-0.232	-0.141	0.146	0.225	0.189	0.375	-0.336	1	-0.621	0.638	0.167	0.41	0.103	0.141	0.283
	Sig. (2-tailed)	0	0	0	0	0	0.202	0	0.003	0.002	0	0	0	0	.	0	0	0	0.031	0.003	0	
<b>NOR BI</b>	Pearson Correlation	-0.209	-0.341	-0.113	0.327	0.305	-0.123	0.053	0.063	-0.253	-0.242	-0.084	-0.215	0.246	-0.621	1	-0.386	0.009	0.078	-0.045	0.242	0.03
	Sig. (2-tailed)	0	0	0.017	0	0	0.01	0.261	0.183	0	0	0.078	0	0	0	0.187	0	0.856	0.103	0.341	0	0.525
<b>NOR MO</b>	Pearson Correlation	0.155	0.298	0.429	-0.208	-0.339	0.031	-0.1	-0.271	0.239	0.356	0.337	0.41	-0.179	0.638	-0.386	1	0.409	0.425	0.019	0.3	0.384
	Sig. (2-tailed)	0.001	0	0	0	0	0.515	0.035	0	0	0	0	0	0	0	0	0	0	0.695	0	0	
<b>NOR PB</b>	Pearson Correlation	0.043	-0.051	0.498	-0.257	-0.457	-0.146	-0.072	-0.604	0.39	0.418	0.603	0.649	-0.063	0.167	0.009	0.409	1	0.144	-0.054	0.267	0.443
	Sig. (2-tailed)	0.371	0.28	0	0	0	0.002	0.13	0	0	0	0	0	0.187	0	0.856	0	.	0.002	0.261	0	0
<b>NOR SB</b>	Pearson Correlation	0.048	0.204	0.343	-0.144	-0.108	-0.063	-0.392	0.021	-0.183	-0.089	0.063	0.193	-0.212	0.41	0.078	0.425	0.144	1	0.155	0.635	0.634
	Sig. (2-tailed)	0.311	0	0	0.002	0.023	0.183	0	0.66	0	0.06	0.188	0	0	0	0.103	0	0.002	0	0.001	0	0
<b>NOR SE</b>	Pearson Correlation	-0.014	-0.032	-0.047	0.008	-0.106	-0.187	0.018	-0.139	-0.053	-0.134	-0.043	0.013	0.009	0.103	-0.045	0.019	-0.054	0.155	1	0.067	0.041
	Sig. (2-tailed)	0.772	0.506	0.322	0.865	0.026	0	0.711	0.003	0.265	0.005	0.364	0.779	0.852	0.031	0.341	0.695	0.261	0.001	.	0.162	0.387
<b>NOR SN</b>	Pearson Correlation	-0.019	0.095	0.215	0.035	0.024	-0.065	-0.085	-0.013	-0.095	0.108	0.151	0.23	0.101	0.141	0.242	0.3	0.267	0.635	0.067	1	0.497
	Sig. (2-tailed)	0.69	0.046	0	0.461	0.608	0.169	0.076	0.792	0.046	0.023	0.001	0	0.034	0.003	0	0	0	0	0.162	.	0
<b>NOR W</b>	Pearson Correlation	0.097	0.105	0.639	-0.143	-0.244	0.051	-0.327	-0.093	0.113	0.184	0.281	0.461	-0.218	0.283	0.03	0.384	0.443	0.634	0.041	0.497	1
	Sig. (2-tailed)	0.04	0.028	0	0.003	0	0.282	0	0.049	0.018	0	0	0	0	0	0.525	0	0	0	0.387	0	

Table (4-3) : Spearman Correlation for Raw Data in Itranshahr 1:100000 Sheet

		AU	HG	AS	CO	CR	CU	MN	NI	SR	ZN	BA	BE	TI	AG	BI	MO	PB	SB	SE	SN	W		
AU	Correlation Coefficient	1	0.165	0.171	-0.147	-0.113	0.109	-0.098	0.012	0.144	0.19	0.11	0.191	-0.147	0.245	-0.19	0.156	0.026	0.049	-0.039	-0.01	0.096		
	Sig. (2-tailed)		0	0	0.002	0.017	0.022	0.039	0.002	0	0.02	0	0.002	0	0	0.001	0.589	0.303	0.409	0.841	0.044			
HG	Correlation Coefficient	0.165	1	0.134	-0.135	-0.012	0.123	-0.119	0.224	-0.152	0.117	0.038	0.068	-0.177	0.405	-0.41	0.343	-0.082	0.204	-0.046	0.106	0.111		
	Sig. (2-tailed)	0	.	0.005	0.004	0.797	0.009	0.012	0	0.001	0.014	0.429	0.156	0	0	0	0	0.084	0	0.332	0.025	0.019		
AS	Correlation Coefficient	0.171	0.134	1	-0.118	-0.453	0.161	-0.11	-0.176	0.448	0.448	0.593	0.733	-0.204	0.4	-0.155	0.487	0.496	0.293	-0.17	0.168	0.535		
	Sig. (2-tailed)	0	0.005	.	0.013	0	0.001	0.021	0	0	0	0	0	0	0	0.001	0	0	0	0	0	0		
CO	Correlation Coefficient	-0.147	-0.135	-0.118	1	0.673	0.421	0.683	0.412	-0.219	0.253	-0.301	-0.166	0.617	-0.329	0.307	-0.234	-0.262	-0.155	-0.128	-0.008	-0.167		
	Sig. (2-tailed)	0.002	0.004	0.013	.	0	0	0	0	0	0	0	0	0	0	0	0	0.001	0.007	0.862	0			
CR	Correlation Coefficient	-0.113	-0.012	-0.453	0.673	1	0.25	0.421	0.609	-0.518	-0.058	-0.598	-0.539	0.485	-0.427	0.356	-0.399	-0.447	-0.061	-0.129	0.032	-0.257		
	Sig. (2-tailed)	0.017	0.797	0	0	.	0	0	0	0	0.222	0	0	0	0	0	0	0	0.09	0.007	0.498	0		
CU	Correlation Coefficient	0.109	0.123	0.161	0.421	0.25	1	0.308	0.66	0.101	0.582	-0.009	0.208	-0.015	0.076	-0.064	0.028	-0.135	-0.071	-0.301	-0.049	0.021		
	Sig. (2-tailed)	0.022	0.009	0.001	0	0	.	0	0	0.033	0	0.857	0	0.746	0.108	0.177	0.555	0.005	0.137	0	0.308	0.652		
MN	Correlation Coefficient	-0.098	-0.119	-0.11	0.683	0.421	0.308	1	0.12	0.062	0.336	-0.013	-0.095	0.704	-0.248	0.017	-0.128	-0.099	-0.394	-0.039	-0.135	-0.313		
	Sig. (2-tailed)	0.039	0.012	0.021	0	0	0	.	0.011	0.19	0	0.783	0.045	0	0	0.722	0.007	0.037	0	0.415	0.005	0		
NI	Correlation Coefficient	0.012	0.224	-0.176	0.412	0.609	0.688	0.12	1	-0.4	0.14	-0.467	-0.193	-0.083	-0.078	0.074	-0.235	-0.431	0.071	-0.22	0.034	-0.065		
	Sig. (2-tailed)	0.806	0	0	0	0	0	0.011	.	0	0.003	0	0	0.083	0.103	0.119	0	0	0.134	0	0.478	0.173		
SR	Correlation Coefficient	0.144	-0.152	0.448	-0.219	-0.518	0.101	0.062	-0.4	1	0.43	0.649	0.559	-0.091	0.161	-0.243	0.3	0.431	-0.179	-0.057	-0.026	0.176		
	Sig. (2-tailed)	0.002	0.001	0	0	0	0.033	0.19	0	.	0	0	0	0.056	0.001	0	0	0	0	0.234	0.589	0		
ZN	Correlation Coefficient	0.19	0.117	0.448	0.253	-0.058	0.582	0.336	0.14	0.43	1	0.492	0.638	0.089	0.247	-0.206	0.373	0.41	-0.1	-0.25	0.068	0.216		
	Sig. (2-tailed)	0	0.014	0	0	0.222	0	0	0.003	0	.	0	0	0.061	0	0	0	0	0.036	0	0.065	0		
BA	Correlation Coefficient	0.11	0.038	0.593	-0.301	-0.598	-0.009	-0.013	-0.467	0.649	0.492	1	0.744	-0.107	0.362	-0.283	0.48	0.649	0.063	-0.007	0.155	0.331		
	Sig. (2-tailed)	0.02	0.429	0	0	0	0.857	0.783	0	0	0	.	0	0.025	0	0	0	0	0.184	0.876	0.001	0		
BE	Correlation Coefficient	0.191	0.068	0.733	-0.166	-0.539	0.208	-0.095	-0.193	0.559	0.638	0.744	1	-0.23	0.409	-0.184	0.456	0.635	0.192	-0.109	0.227	0.511		
	Sig. (2-tailed)	0	0.156	0	0	0	0	0.045	0	0	0	0	.	0	0	0	0	0	0	0.022	0	0		
TI	Correlation Coefficient	-0.147	-0.177	-0.204	0.617	0.485	-0.015	0.704	-0.083	-0.091	0.089	-0.107	-0.23	1	-0.367	0.193	-0.202	-0.129	-0.216	0.014	-0.006	-0.271		
	Sig. (2-tailed)	0.002	0	0	0	0	0.746	0	0.083	0.056	0.061	0.025	0	.	0	0	0	0.006	0	0.763	0.894	0		
AG	Correlation Coefficient	0.245	0.405	0.4	-0.329	-0.427	0.076	-0.248	-0.078	0.161	0.247	0.362	0.409	-0.367	1	-0.618	0.67	0.197	0.359	0.077	0.099	0.289		
	Sig. (2-tailed)	0	0	0	0	0	0.108	0	0.103	0.001	0	0	0	0	.	0	0	0	0	0.104	0.037	0		
BI	Correlation Coefficient	-0.19	-0.41	-0.155	0.307	0.356	-0.064	0.017	0.074	-0.243	-0.206	-0.283	-0.184	0.193	-0.618	1	-0.412	-0.002	0.144	-0.185	0.25	0.078		
	Sig. (2-tailed)	0	0	0.001	0	0	0.177	0.722	0.119	0	0	0	0	0	0	.	0	0.967	0.002	0	0	0		
MO	Correlation Coefficient	0.156	0.343	0.467	-0.234	-0.399	0.028	-0.128	-0.235	0.3	0.373	0.48	0.456	-0.202	0.67	-0.412	1	0.439	0.38	-0.032	0.282	0.425		
	Sig. (2-tailed)	0.001	0	0	0	0.555	0.007	0	0	0	0	0	0	0	0	.	0	0	0.5	0	0			
PB	Correlation Coefficient	0.026	-0.082	0.496	-0.262	-0.447	-0.135	-0.099	-0.431	0.431	0.41	0.649	0.635	-0.129	0.197	-0.002	0.439	1	0.126	-0.055	0.232	0.478		
	Sig. (2-tailed)	0.589	0.084	0	0	0	0.005	0.037	0	0	0	0	0	0.006	0	0.967	0	.	0.008	0.244	0	0		
SB	Correlation Coefficient	0.049	0.204	0.293	-0.155	-0.081	-0.071	-0.394	0.071	-0.179	-0.1	0.063	0.192	-0.216	0.359	0.144	0.38	0.126	1	0.114	0.612	0.605		
	Sig. (2-tailed)	0.303	0	0	0.001	0.09	0.137	0	0.134	0	0.036	0.184	0	0	0	0.002	0	0.008	.	0.016	0	0		
SE	Correlation Coefficient	-0.039	-0.046	-0.17	-0.128	-0.129	-0.301	-0.039	-0.22	-0.057	-0.25	-0.007	-0.109	0.014	0.077	-0.185	-0.032	-0.055	0.114	1	0.101	-0.005		
	Sig. (2-tailed)	0.409	0.332	0	0.007	0.007	0	0.415	0	0.234	0	0.876	0.022	0.763	0.104	0	0.5	0.244	0.016	.	0.033	0.918		
SN	Correlation Coefficient	-0.01	0.106	0.188	-0.008	0.032	-0.049	-0.135	0.034	-0.026	0.088	0.155	0.227	-0.006	0.099	0.25	0.282	0.232	0.612	0.101	1	0.504		
	Sig. (2-tailed)	0.841	0.025	0	0.862	0.498	0.308	0.005	0.478	0.589	0.065	0.001	0	0.894	0.037	0	0	0	0	0.033	.	0		
W	Correlation Coefficient	0.096	0.111	0.535	-0.167	-0.257	0.021	-0.313	-0.065	0.176	0.216	0.331	0.511	-0.271	0.289	0.078	0.425	0.478	0.605	-0.005	0.504	1		
	Sig. (2-tailed)	0.044	0.019	0	0	0	0.652	0	0.173	0	0	0	0	0	0	0.101	0	0	0	0.918	0	.		

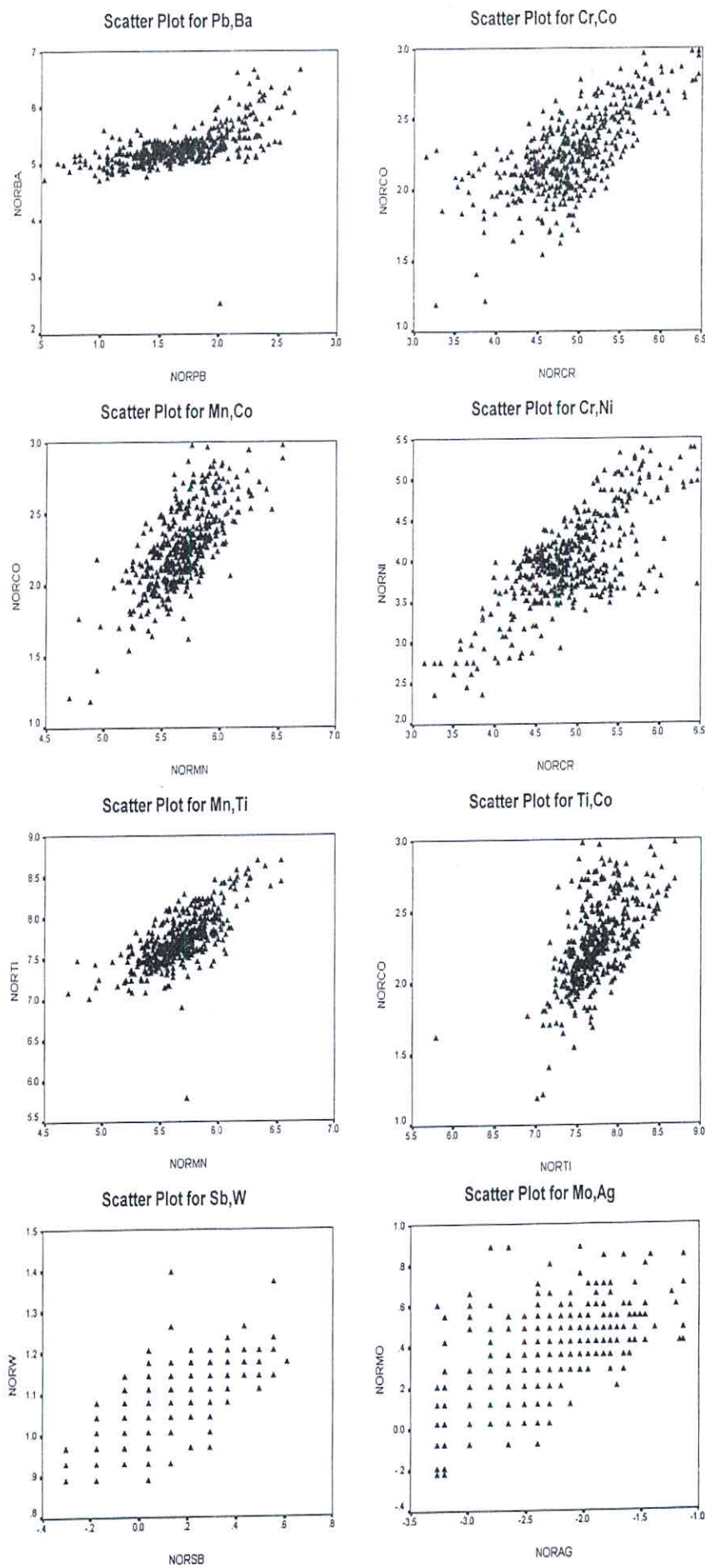
بر پایه این جدول ضریب همبستگی مشاهده شده بین عناصر (Be,As(0.733) و Ti,Mn(0.704) و Ni,Cu(0.660) و Ti,Co(0.617) و Mn,Co(0.683) و Co,Cr(0.673) و W,Sb(0.605) و Mo,Pb(0.635) و Mo,Ag(0.670) و Ba,Be(0.744) و Zn,Be(0.638) و Sn,Sb(0.612) در سطح اعتماد ۹۹٪ می‌باشد که بیشترین ارتباط همبستگی بین عناصر Ba,Be (0.744) وجود دارد. ضریب همبستگی بین جفت متغیرها به روش پرسون و اسپرمن بیانگر اختلاف تقریباً کم بین ضرایب همبستگی عناصر متناظر می‌باشد که حکایت از توزیع نسبتاً نرمال عناصر و همین طور عدم تاثیر نمونه‌های دور افتاده دارد.

یکی دیگر از راههای بررسی ارتباط تغییرات عناصر با یکدیگر، رسم نمودار پراکنش (Scatter Plot) می‌باشد. زوج مرتب‌هایی از مقادیر دو متغیر که دارای توزیع دو متغیره یکسان باشند بر روی نمودار دو بعدی ترسیم می‌گردند. هر چه پراکندگی نقاط در نمودارهای پراکنش بیشتر باشد پیوند بین متغیرها ضعیفتر است. شکل (۸-۴) پراکنش مقادیر داده‌های خام نرمال شده برای چند زوج عنصری است که بیشترین ارتباط را نشان می‌دهد. در این نمودارها زوج عنصر (Ba,Be) بیشترین همبستگی را با یکدیگر نشان می‌دهد.

### بررسی‌های آماری چند متغیره:

هر تجزیه و نحلیل چند متغیره که بر روی بیش از دو متغیر انجام گیرد، می‌تواند در قالب آنالیزهای چند متغیره بیان شود. غالب تکنیکهای چند متغیره در اصل بسط و توسعه آنالیزهای تک متغیره می‌باشند و البته بعضی از روش‌های چند متغیره تنها برای

*Fig(4-8) : Pearson Scatter Plot For Normal Raw Data*



پاسخگویی به مقاصد چند متغیره طراحی شده‌اند که از جمله این روش‌ها می‌توان به آنالیز فاکتوری اشاره کرد.

تجربه نشان داده است که چنانچه ترکیبی از متغیرها به جای یک متغیر به کار گرفته شوند و از نتایج ترکیبی آنها استفاده شود امکان تشخیص هاله‌های مرکب ژئوشیمیایی در اطراف توده‌های کانساری به مراتب افزایش می‌یابد. و از طرفی اثرات خطاهای تصادفی در بکارگیری ترکیبی متغیرها نسبتاً کاهش می‌یابد. از دیگر مزایای استفاده از روش‌های چند متغیره، کاهش تعداد متغیرها در مباحث داده‌پردازی و درنتیجه کاستن از تعداد نقشه‌های است. با استفاده از این روش‌ها امکان مقایسه متغیرها و کسب نتایج راحت‌تر خواهد بود. البته استفاده بهینه از روش‌های چند متغیره در حالتی صادق خواهد بود که در پردازش داده‌ها با تعداد زیادی متغیر روبرو باشیم و تا حدودی امکان اخذ نتیجه از متغیرها به گونه منفرد غیر ممکن و یا توام با خطای زیاد باشد. در این گزارش از روش‌های چند متغیره مانند روش‌های آنالیز خوش‌های و آنالیز فاکتوری و ... استفاده شده است.

### آنالیز خوش‌های و تفسیر آن:

به دلیل اینکه هر گروه از عناصر نسبت به یکسری از شرایط محیطی کم و بیش به طور مشابه حساسیت نشان می‌دهند، شناخت ارتباط و همبستگی ژنتیکی متقابل بین عناصر مختلف می‌تواند در شناخت دقیق‌تر تغییرات موجود در محیط‌های ژئوشیمیایی به کار گرفته شود. ضمناً تجمع ژنتیکی بعضی از عناصر ممکن است به عنوان راهنمای مستقیم در تفسیر نوع نهشته‌ای که احتمالاً در ناحیه وجود دارد، به کار رود. در کل

شناخت همبستگی ژنتیکی که در بین عناصر وجود دارد اطلاعات لازم را برای تفسیر هر

چه صحیح‌تر داده‌های ژئوشیمیایی در اختیار می‌گذارد.

آنالیز خوش‌های یک روش آماری چند متغیره است که عناصر را بر اساس شباهت

تغییرپذیری بین آنها در قالب دسته‌ها یا گروههایی طبقه‌بندی می‌کند. دلایل زیادی

برای ارزشمند بودن آنالیز خوش‌های وجود دارد، از جمله اینکه آنالیز خوش‌های می‌تواند در

یافتن گروههای واقعی کمک کند و همچنین باعث کاهش تراکم داده‌ها شود. البته باید

توجه داشت که آنالیز خوش‌های می‌تواند گروههای غیر قابل انتظاری را نیز ایجاد نماید که

بیانگر روابط جدیدی خواهند بود و باید مورد بررسی قرار گیرند. در روش آنالیز خوش‌های

از داده‌های خام نرمال شده استفاده شده است تا اثر مقادیر غیر همساز از جامعه اصلی و

نیز اثر تغییر مقیاس داده‌ها از میان بروود. نتایج حاصل از آنالیز خوش‌های عناصر مورد

مطالعه در شکل (۴-۹) آورده شده است. با توجه به شکل می‌توان سه گروه اصلی را جدا

نمود که بیانگر ارتباط پارازنزی بین متغیرها باشد.

گروه اول: شامل عناصر Cr,Ni,Mn,Ti,Co,Bi,Se

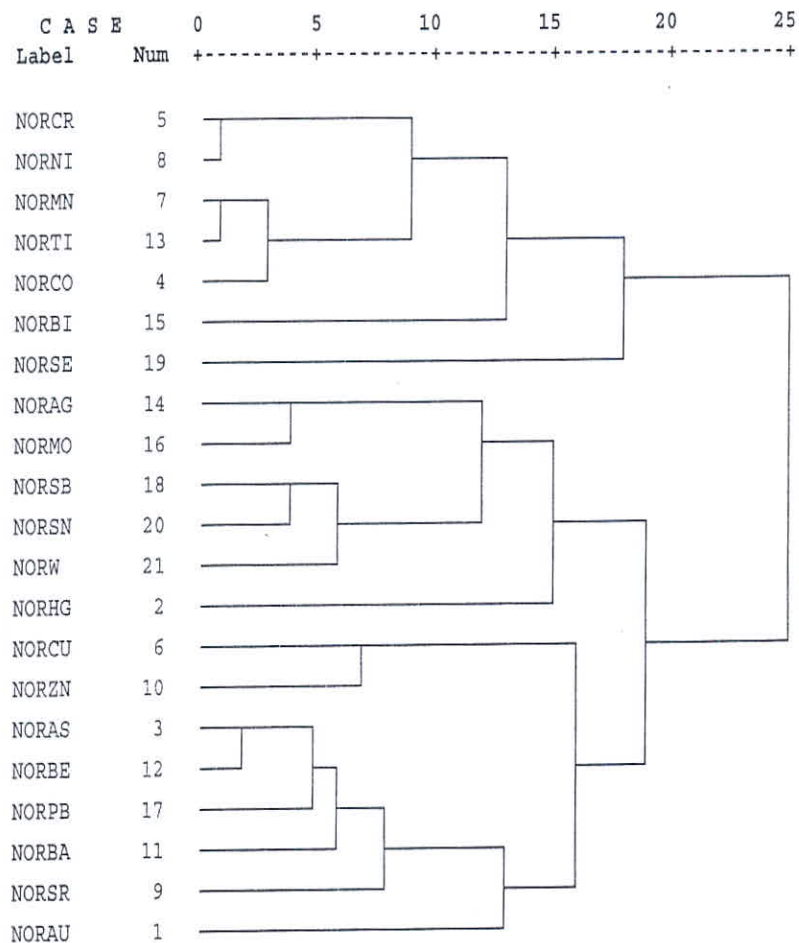
گروه دوم: شامل عناصر Ag,Mo,Sb,Sn,W,Hg

گروه سوم: شامل عناصر Cu,Zn,As,Be,Pb,Ba,Sr,Au

*Fig (4-9) : Cluster Analyse for Normal Raw Data*

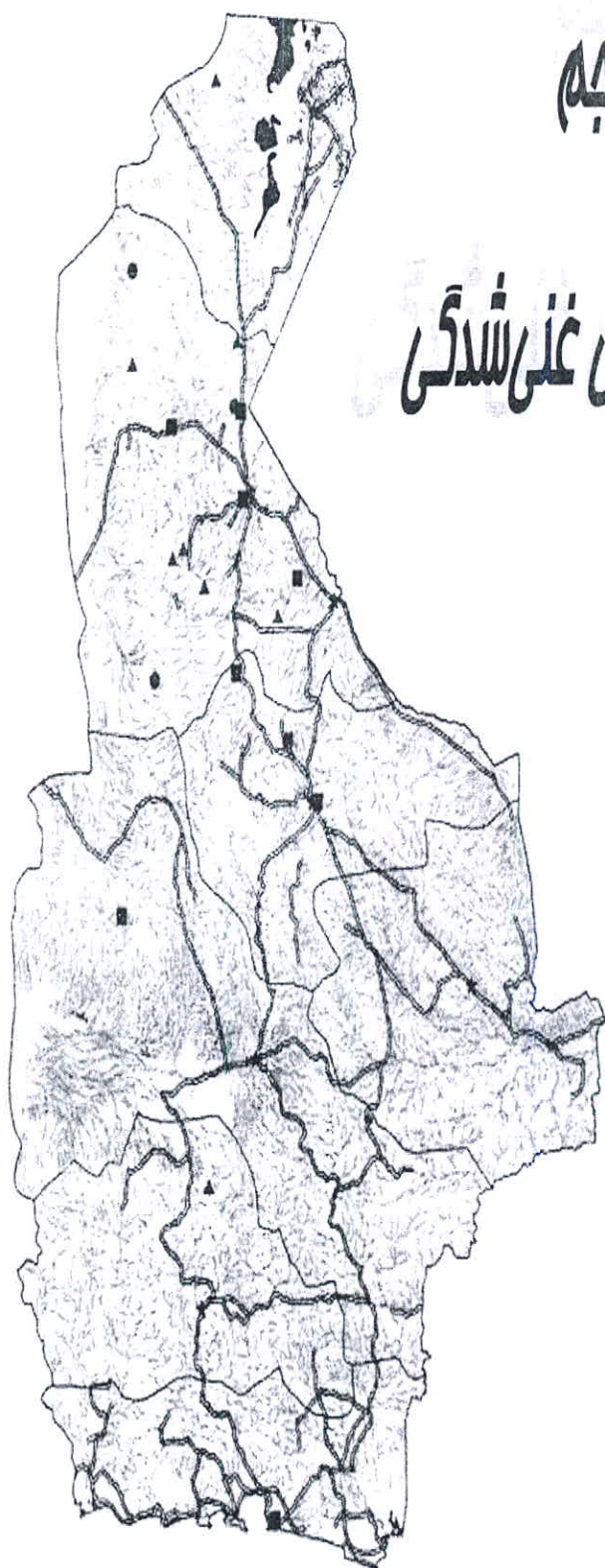
Dendrogram using Average Linkage (Within Group)

Rescaled Distance Cluster Combine



## فصل پنجم

### پردازش داده‌های غنی‌شده



### محاسبه شاخص غنی‌شدنی و همگن‌سازی جوامع:

پس از دسته‌بندی جوامع سنگی به منظور همگن‌سازی جوامع مختلف، مقدار زمینه محلی عناصر را در هر یک از جوامع سنگی محاسبه می‌گردد. بدین منظور از میانگین و یا میانه استفاده می‌شود. بدلیل اینکه میانگین خود متأثر از مقادیر حدی در تابع احتمال است و از طرفی توزیع اکثر عناصر، چوگی مثبت نشان می‌دهد، از مقوله میانه که مستقل از مقادیر می‌باشد استفاده شده است.

با به تعریف شاخص غنی‌شدنی یک عنصر خاص در یک نمونه معین عبارت است از نسبت غلظت آن عنصر در آن نمونه به غلظت میانگین یا میانه همان عنصر در جامعه‌ای که نمونه مربوطه متعلق به آن است.

شاخص غنی‌شدنی یک عنصر خاص در یک نمونه معین به مقدار غلظت آن عنصر در نمونه مربوطه و فراوانی همان عنصر در کل جامعه نمونه‌برداری بستگی دارد. بنابراین اگر فراوانی نقطه‌ای و منطقه‌ای یک عنصر هر دو با شیب ثابتی افزایش یا کاهش یابند آنچه که ثابت باقی خواهد ماند، شاخص غنی‌شدنی است. زیرا صورت و مخرج این کسر به یک نسبت افزایش و یا کاهش می‌یابند. بدین ترتیب شاخص غنی‌شدنی تا حدود زیادی مستقل از فاکتور لیتوژوژی و یا مولفه سن‌زنتیک فراوانی یک عنصر در ناحیه منشاء رسوبات آبراهه‌ای می‌باشد. بطور خلاصه می‌توان گفت شاخص غنی‌شدنی نشان دهنده نسبت غنی‌شدنی یا تهی‌شدنی یک عنصر در هر نمونه است. بدین‌جهت است عناصری که مقدار شاخص غنی‌شدنی‌شان بیشتر از واحد باشد غنی‌شدنی و آنهایی که کمتر از واحد باشد تهی‌شدنی تلقی می‌شود.

شاخص غنی‌شدنی از رابطه زیر بدست می‌آید:

$$EI = \frac{C_j}{(C_{med})j}$$

در این رابطه  $EI$  شاخص غنی‌شدنی،  $C_j$  مقدار فراوانی عنصر  $j$  در نمونه معین و  $j$

( $C_{med}$ ) میانه مقادیر عنصر  $j$  در جامعه مربوط به آن نمونه می‌باشد. پس از جایگزینی

مقادیر شاخص غنی‌شدنی به جای داده‌های خام یک جامعه کلی حاصل می‌شود که آن

را جامعه شاخص غنی‌شدنی می‌نامند.

### محاسبه پارامترهای آماری شاخص غنی‌شدنی:

حال با تشکیل جامعه شاخص غنی‌شدنی و محاسبه پارامترهای آماری ورسم

هیستوگرام تجمعی فراوانی این داده‌ها و مقایسه آنها با محاسبات وهیستوگرام‌های خام به

نظر می‌رسد که اثرات ناهمگنی که به صورت جوامع آماری مختلف در هیستوگرام بروز

کرده بود تا اندازه‌ای از بین رفته و شکل تابع توزیع همگن‌تر شده است، ولی همچنان

حال لاغ نرمال در شکل تابع توزیع مقادیر مشاهده می‌شود.

### بررسی مقادیر خارج از رده (Outliers)

هنگام بررسی مقادیر شاخص غنی‌شدنی به نمونه‌هایی بخورد می‌شود که در

استانه‌های بالا و پایین جامعه داده‌ها قرار گرفته و از جامعه اصلی جدا افتاده‌اند. اگر

نمودار جعبه‌ای (Boxplot) آنها ترسیم شود این نمونه‌ها به نحو بارزی خودشان را از

بقیه جدا می‌کنند. مقادیر خارج از رده به سه حالت مختلف زیر ممکن است بوجود آیند:

حالت اول) از یک خطای سیستماتیک به هنگام نمونه‌برداری، آمده‌سازی یا تجزیه

شیمیابی نمونه‌ها ناشی شده باشد که باید از مرحله پردازش حذف یا اصلاح شوند.

حالت دوم) مشاهداتی که به صورت یک پدیده فوق العاده نمود پیدا می‌کنند که باید

پس از بررسی اعتبار آنها در مورد حفظ یا حذف آنها تصمیم گرفت.

حالت سوم) مشاهدات فوق العاده‌ای که هیچگونه توضیح مناسبی برای آنها وجود

ندارد و کارشناس اگر احساس کند که آنها به عنوان گوشاهای از جامعه مورد بررسی

هستند می‌تواند آنها را حفظ کند.

وجود مقادیر خارج از رده در جامعه نمونه‌ها موجب افزایش واریانس جامعه و نیز

همبستگی بین متغیرها و همچنین افزایش چولگی در نمودار توزیع عناصر می‌شود. برای

کاهش این تاثیر راههای مختلفی نظیر محاسبه ضریب همبستگی یا استفاده از روش‌های

نپارامتری مانند روش اسپیرمن (Spearman)، حذف یا جایگزین نمودن مقادیر

استفاده می‌شود در این گزارش از روش جایگزین نمودن مقادیر خارج از رده استفاده شده

است. جدول (۱-۵) نمونه‌های دارای مقادیر خارج از رده را نشان می‌دهد.

### نرمال سازی شاخص‌های غنی‌شدنگی :

استفاده از برخی روش‌های آماری منوط به نرمال بودن تابع توزیع متغیرهای مورد

مطالعه است در حالیکه توابع توزیع از نوع لاغ نرمال است، به همین علت قبل از

استفاده از این روشها شاخص‌های غنی‌شدنگی باید نرمال شوند. در این بخش از نوعی

تبديلات جهت نرمال کردن تابع توزیع مقادیر شاخص غنی‌شدنگی استفاده شده است.

*Table(5-1) : Outlier Samples For Normal Enrichment Data*

Elements	Sample Number	
	Outlier (+)	Outlier (-)
Au	ID-51 , II-294 , ID-111 , ID-147	
W	ID-071	
Mo		
B		
Cr	IA-221 , IA-216, IB-411	
Co		
Ni		
Cu		
Zn	IB-411 , IB-410	
As	ID-158	
Sr	ID-160	
Ag	ID-043 , IA-192	
Sn		
Sb		
Ba		
Pb		
Bi		
Hg	ID-080	
Ti	IB-411	
Mn	IB-411	
Be		
Se	IA-227,IA-272,IA-188,IB-313	

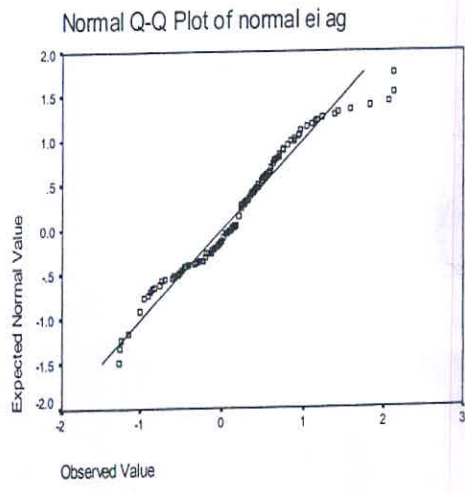
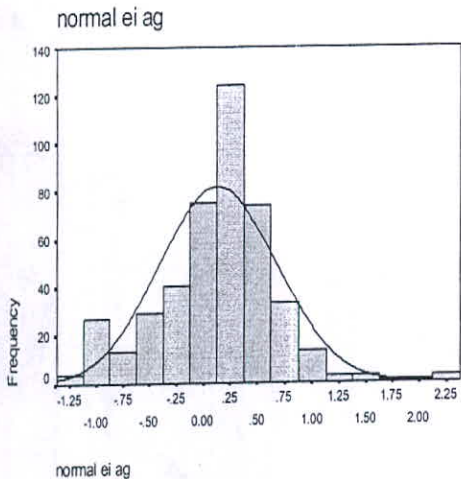
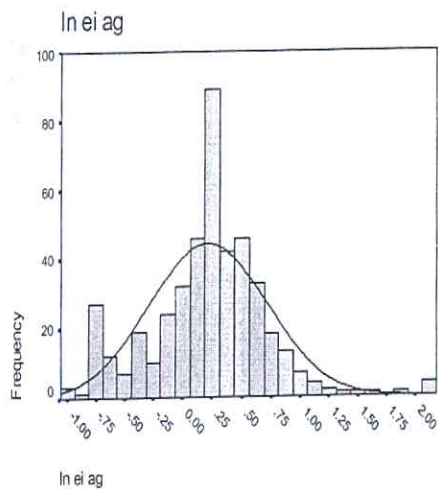
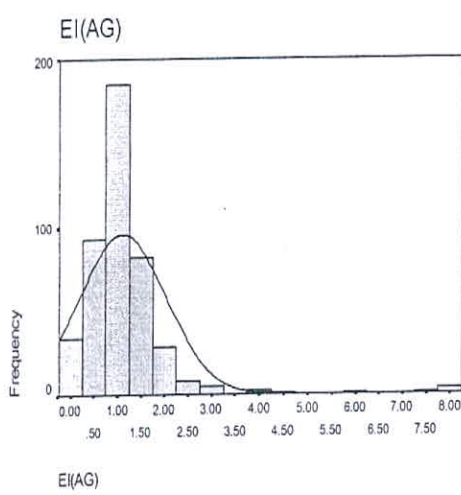
این کار شرط لازم کاربرد برخی روش‌های آماری مانند تعیین نمونه‌های آنومالی با استفاده از اضافه کردن ضرایبی از انحراف معیار به حد آستانه‌ای و یا محاسبه ضرایب همبستگی پیرسون می‌باشد. روش لاگ نرمال به صورت یک روش توصیفی برای نرمال کردنتابع توزیع جوامعی که دارای چولگی در نمودار خود هستند به کار می‌رود. در اینجا از لگاریتم طبیعی مقادیر شاخص غنی‌شدنی به اضافه یا منهای یک مقدار ثابت استفاده شده است.

پارامترهای آماری و هیستوگرام‌های ترسیم شده برای داده‌های نرمال در شکل (۱-۵) تا (۷-۵) آورده شده است. (سایر اشکال در CD آورده شده است). با توجه به این پارامترهای آماری می‌توان دریافت که مقادیر چولگی و کشیدگی متغیرها در مقایسه با مقادیر متناظر مربوط به شاخصهای غنی‌شدنی نرمال نشده تا چه اندازه کاهش یافته و منحنی توزیع تجمعی آنها به صورت یک خط راست که بیانگر توزیع نرمال می‌باشد، ظاهر شده است. هیستوگرام مقادیر نرمال شده نسبت به هیستوگرام مقادیر نرمال نشده نیز بیانگر مطلب فوق می‌باشد.

Fig(5-1):Statistical Parameters For Normal Data In Iranshahr

### Statistics

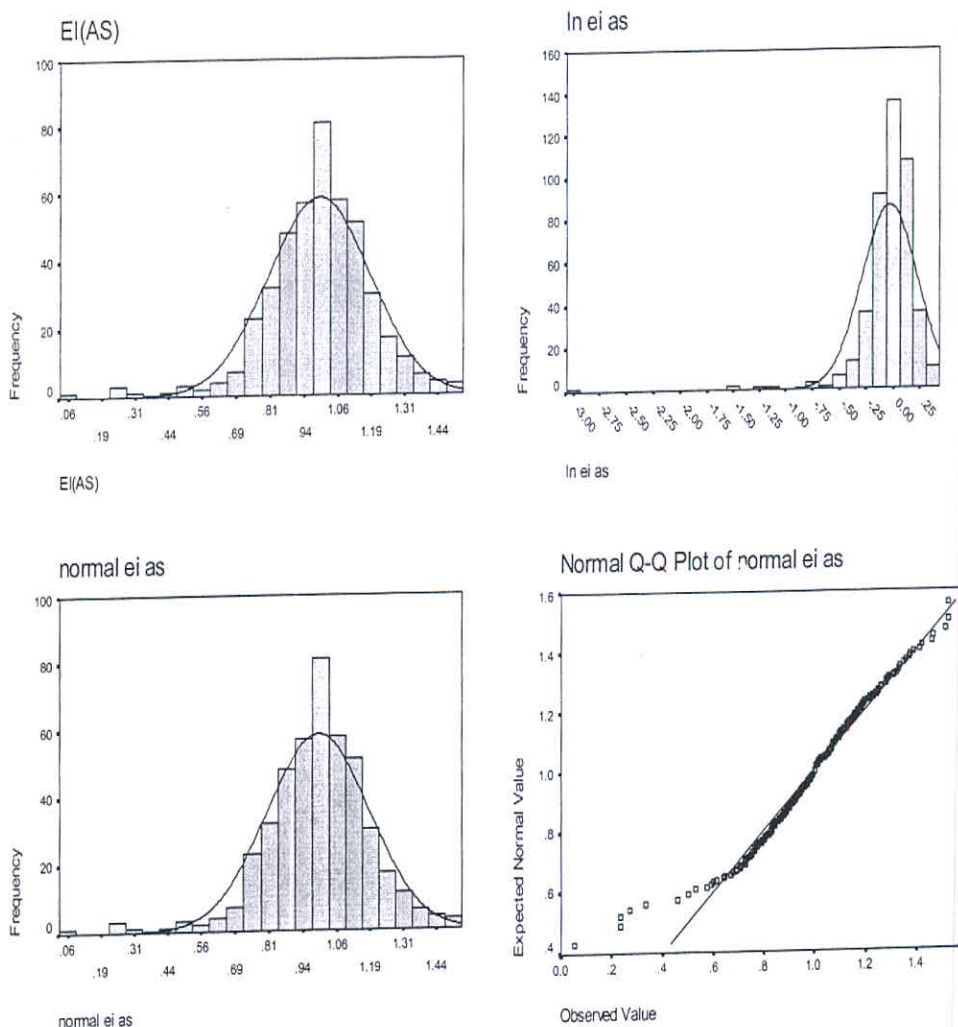
		EI(AG)	In ei ag	normal ei ag
N	Valid	443	443	443
	Missing	0	0	0
Mean		1.113	.2136	.1314
Median		1.000	.2624	.1945
Std. Deviation		.923	.4971	.5404
Skewness		4.457	.178	.000
Std. Error of Skewness		.116	.116	.116
Kurtosis		29.117	1.610	1.379
Std. Error of Kurtosis		.231	.231	.231
Minimum		.1	-1.01	-1.27
Maximum		8.2	2.14	2.13



*Fig(5-2):Statistical Parameters For Normal Data In Iranshahr*

### Statistics

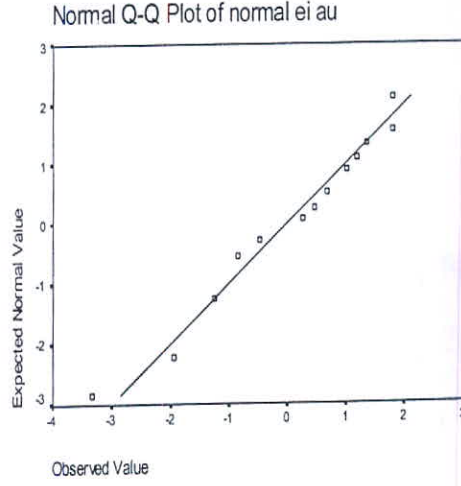
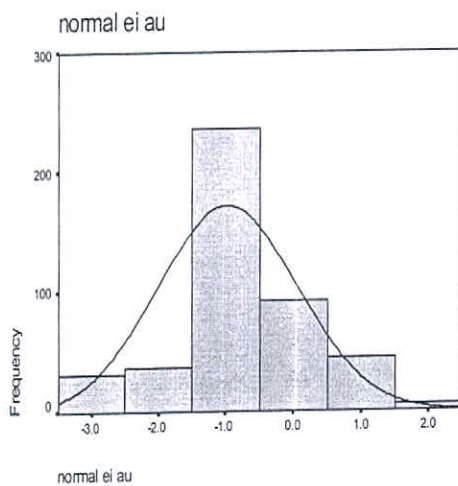
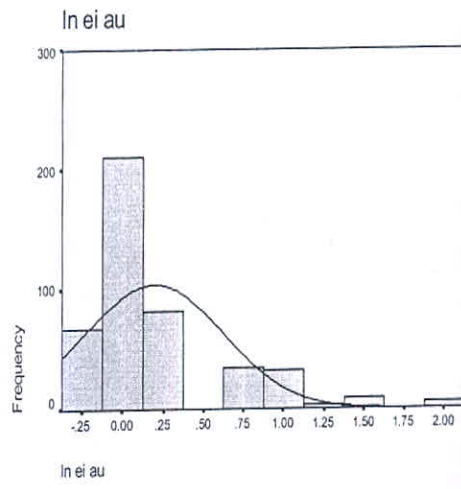
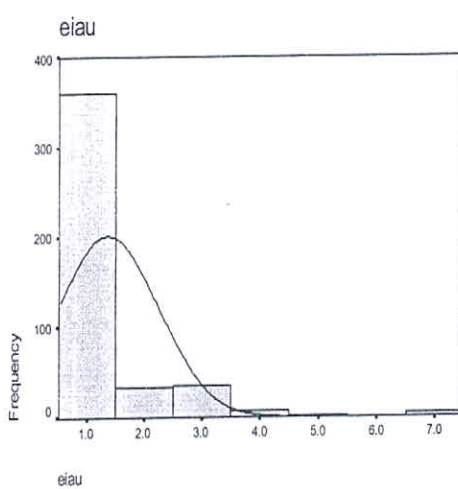
		EI(AS)	In ei as	normal ei as
N	Valid	443	443	443
	Missing	0	0	0
Mean		.994	-3.08E-02	.9940
Median		1.000	.0000	1.0000
S.d. Deviation		.188	.2569	.1882
Skewness		-.653	-4.674	-.653
S.d. Error of Skewness		.116	.116	.116
Kurtosis		2.884	42.758	2.884
S.d. Error of Kurtosis		.231	.231	.231
Minimum		.1	-2.95	.05
Maximum		1.5	.42	1.53



*Fig(5-3):Statistical Parameters For Normal Data In Iranshahr*

### Statistics

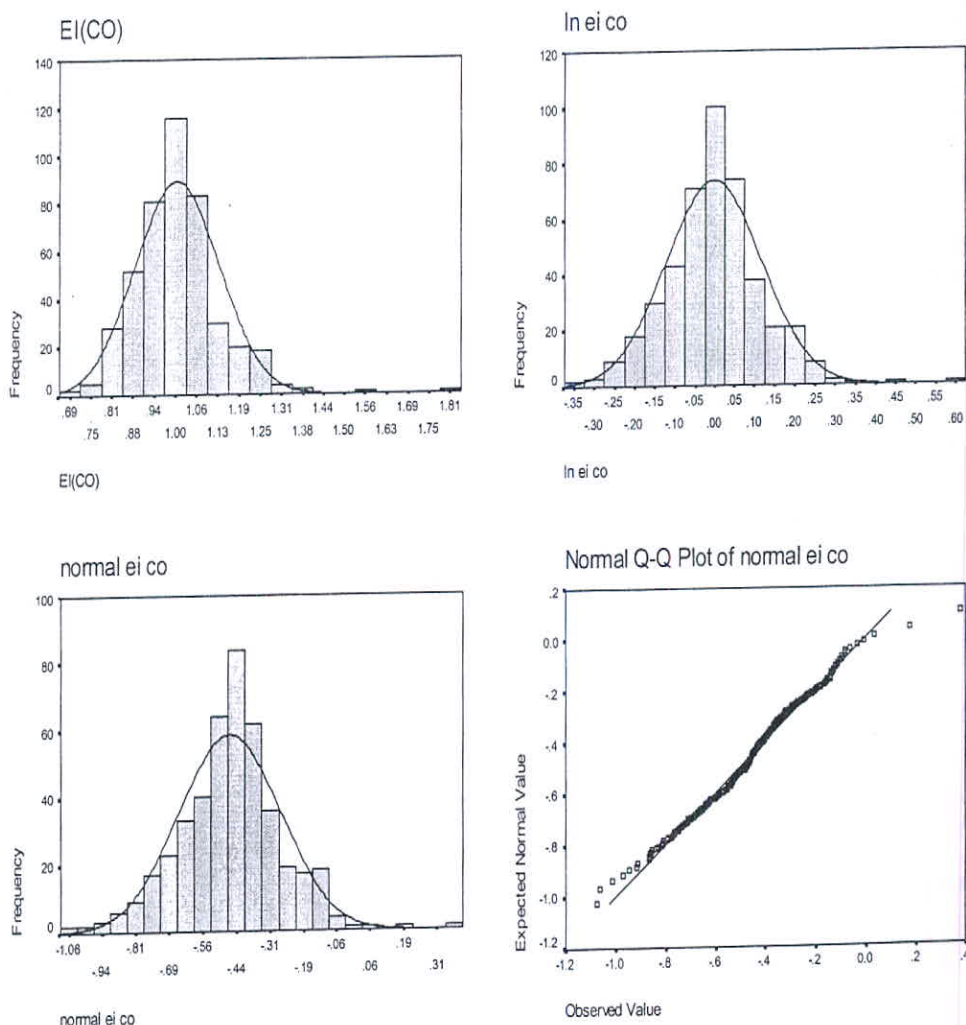
		eiau	ln eiau	normal ei au
N	Valid	443	443	443
	Missing	0	0	0
Mean		1.365	.1960	-.9744
Median		1.000	.0000	-1.2518
Std. Deviation		.877	.4258	1.0300
Skewness		3.401	1.695	.000
Std. Error of Skewness		.116	.116	.116
Kurtosis		14.810	2.687	.734
Std. Error of Kurtosis		.231	.231	.231
Minimum		.8	-.29	-3.32
Maximum		6.7	1.90	1.78



Fig(5-4): Statistical Parameters For Normal Data In Iranshahr

### Statistics

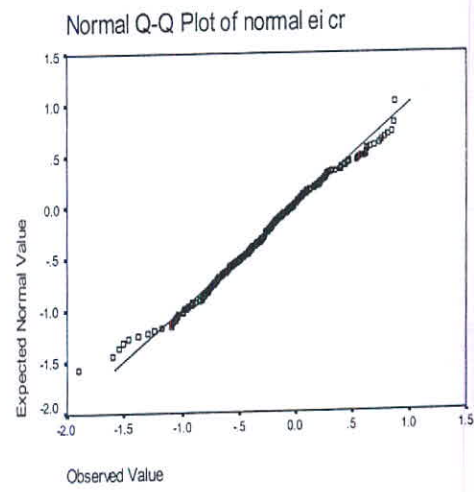
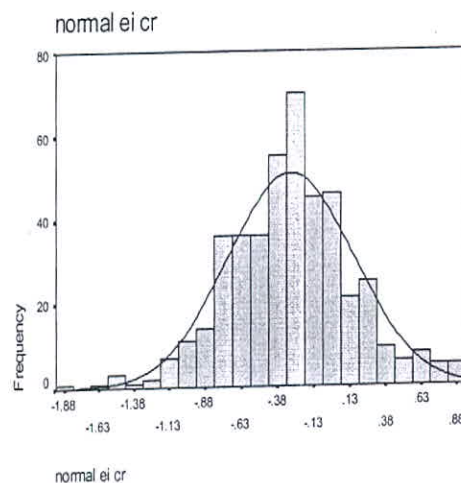
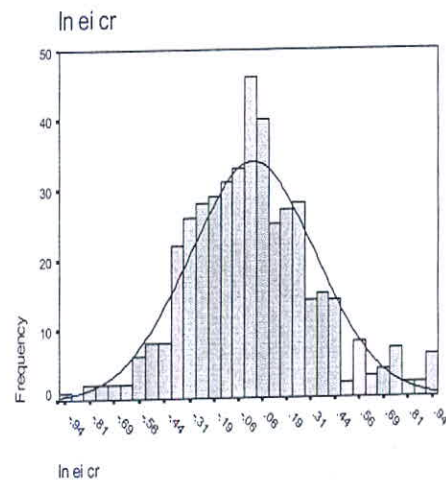
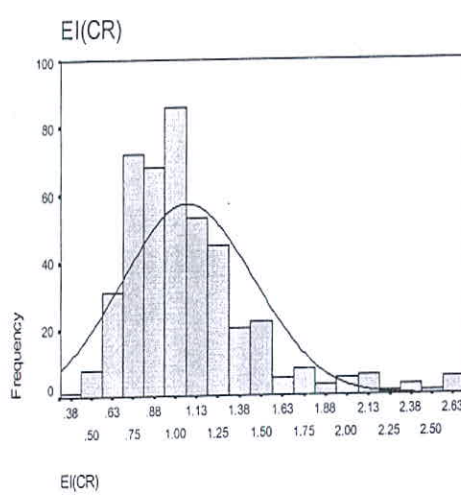
		El(CO)	In ei co	normal ei co
N	Valid	443	443	443
	Missing	0	0	0
Mean		1.005	-2.21E-03	-.4625
Median		1.000	.0000	-.4526
S.d. Deviation		.124	.1193	.1883
Skewness		1.084	.331	.000
S.d. Error of Skewness		.116	.116	.116
Kurtosis		4.854	1.693	1.229
Std. Error of Kurtosis		.231	.231	.231
Minimum		.7	-.35	-.108
Maximum		1.8	.60	.38



Fig(5-5):Statistical Parameters For Normal Data In Iranshahr

### Statistics

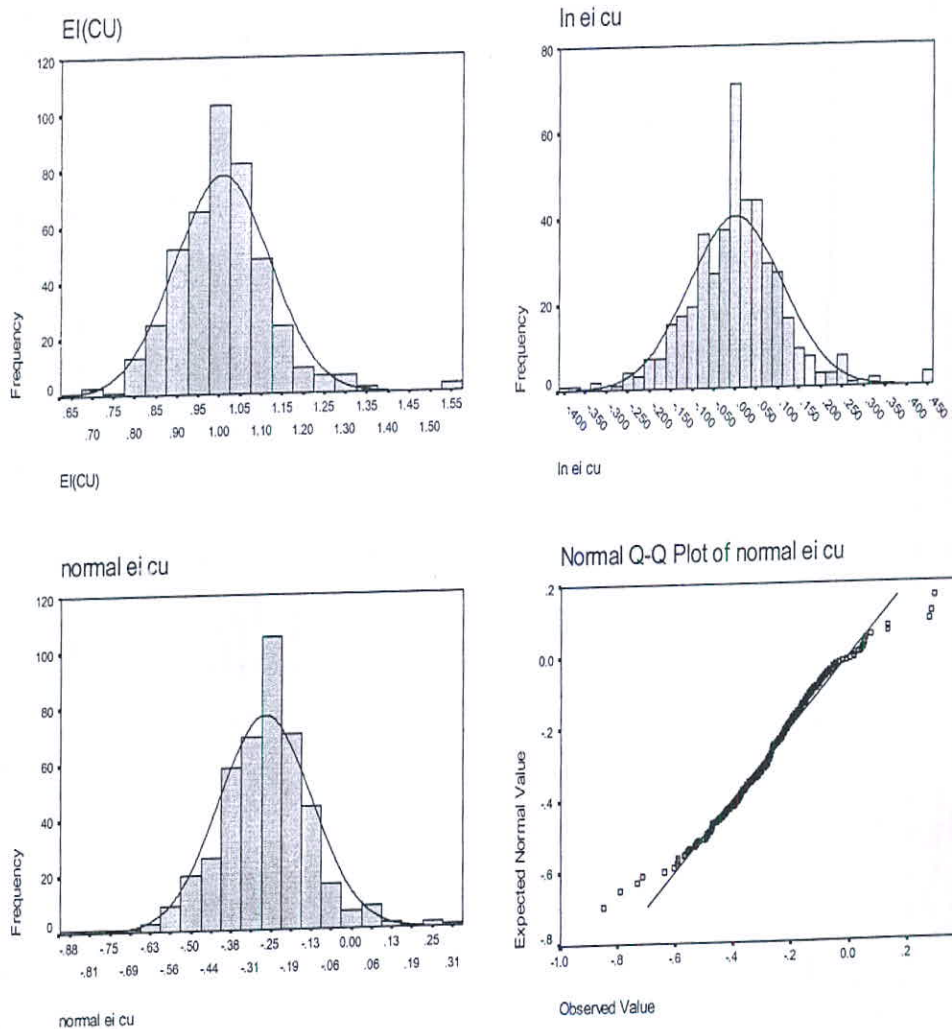
		EI(CR)	In ei cr	normal ei cr
N	Valid	443	443	443
	Missing	0	0	0
Mean		1.071	1.310E-02	-.2831
Median		1.000	.0000	-.2777
S.d. Deviation		.385	.3249	.4335
Skewness		1.584	.407	.000
S.d. Error of Skewness		.116	.116	.116
Kurtosis		3.362	.524	.661
S.d. Error of Kurtosis		.231	.231	.231
Minimum		.4	-.94	-.190
Maximum		2.6	.96	.87



Fig(5-6): Statistical Parameters For Normal Data In Iranshahr

### Statistics

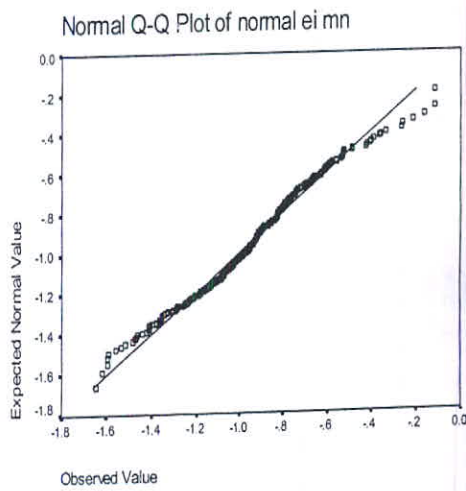
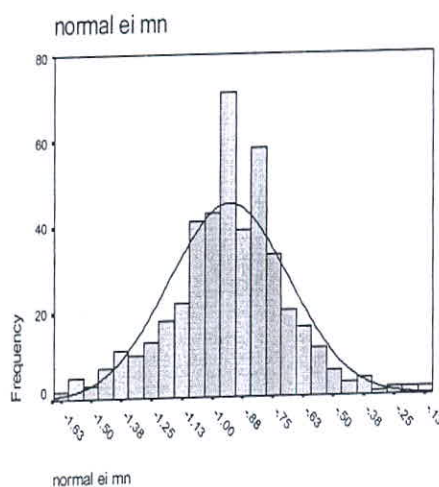
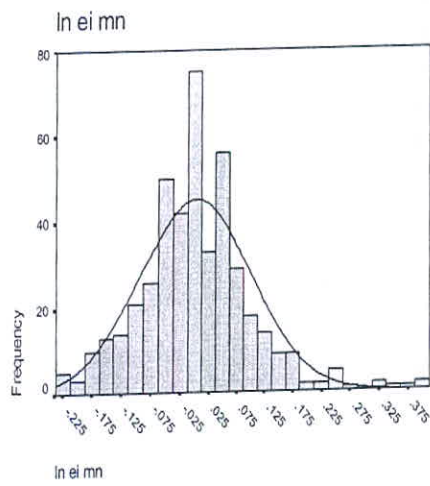
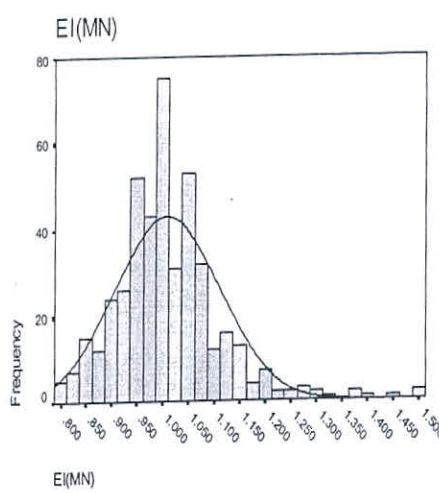
	EI(CU)	In ei cu	normal ei cu
N	Valid	443	443
	Missing	0	0
Mean	1.007	1.380E-03	-2.685
Median	1.000	.0000	-2.2679
Std. Deviation	.113	.1097	.1437
Skewness	.919	.205	.000
Std. Error of Skewness	.116	.116	.116
Kurtosis	3.798	2.164	2.100
Std. Error of Kurtosis	.231	.231	.231
Minimum	.7	-.41	-.85
Maximum	1.6	.45	.29



Fig(5-7):Statistical Parameters For Normal Data In Iranshahr

### Statistics

		EI(MN)	In ei mn	normal ei mn
N	Valid	443	443	443
	Missing	0	0	0
Mean		1.009	4.466E-03	.9311
Median		1.000	.0000	.9246
S.d. Deviation		.102	9.773E-02	.2443
Skewness		1.178	.653	.000
S.d. Error of Skewness		.116	.116	.116
Kurtosis		3.441	1.781	.944
S.d. Error of Kurtosis		.231	.231	.231
Minimum		.8	-.23	-.165
Maximum		1.5	.40	-.12



### تعیین ضریب همبستگی :

برای تعیین اینکه آیا ارتباط معنی‌داری میان تغییرات متغیرهای آماری وجود دارد، ضرایب همبستگی میان آنها محاسبه می‌شود. این عمل به دو منظور کشف همبستگی بین متغیرها و تخمین مقدار یک یا چند متغیر دیگر صورت می‌گیرد. برای بررسی، دو نوع ضریب همبستگی اسپیرمن و پیرسون به صورت ماتریس ضرایب همبستگی محاسبه شده‌اند که در جداول (۲-۵) و (۳-۵) آمده است. شرط محاسبه ضریب همبستگی پیرسون، نرمال بودنتابع توزیع متغیرها می‌باشد. در این جداول، Sig(2-Tailed) میزان معنی‌دار بودن ضرایب همبستگی طبق آزمون فرض مساوی صفر بودن ضریب همبستگی می‌باشد.

برای محاسبه ضریب همبستگی پیرسون به علت تاثیرپذیری این پارامتر از آستانه‌های بالا و پایین حتماً باید داده‌های شاخص غنی‌شدنی نرمال شوند تا ضریب همبستگی محاسبه شوند. جدول (۲-۵) مقادیر این ضرایب را نشان می‌دهد.

بر پایه جدول ضریب همبستگی پیرسون بین جفت متغیرهای Zn,Cu(0.579) و Mn,Ti(0.674) و Zn,Be(0.568) و Co,Cr(0.588) و Ti,Co(0.584) و Mn,Zn(0.592) و Sb,W(0.613) در سطح اعتماد مطلوب ۹۹٪ می‌باشد که بیشترین ارتباط همبستگی بین عناصر Mn,Ti(0.674) وجود دارد. این ضرایب بیانگر ارتباط پارازی بین عناصر می‌باشند.

برای محاسبه ضریب همبستگی اسپیرمن از داده‌های شاخص غنی‌شدنی استفاده شده است و همانطور که مشاهده می‌شود، در بعضی مواقع وضعیت متفاوتی نسبت به ضریب همبستگی پیرسون دارد. این اختلاف بیشتر زمانی بروز می‌کند که مقدار داده‌های خارج از رده زیاد باشد. اما

مقایسه دقیق آنها، این نکته را بیان می‌کند که اختلاف این دو ضریب همبستگی خیلی زیاد نیست، این امر نشان دهنده تاثیرپذیری کم داده‌ها از مقادیر خارج از رده است. جدول (۳-۵) مقادیر این ضرایب را نشان می‌دهد.

بر پایه این جدول ضریب همبستگی مشاهده شده بین عناصر (Co,Cu(0.537) و Zn,Mn(0.534) و Zn,Ti(0.675) و Cr,Co(0.541) و Mn,Ti(0.675) و Ti,Co(0.549) و Co,Mn(0.624) و Sb,W(0.602) و Zn,Cu(0.584) عناصر (Mn,Ti(0.675) وجود دارد. ضریب همبستگی بین جفت متغیرها به روش پیرسون و اسپیرمن بیانگر اختلاف تقریباً کم بین ضرایب همبستگی عناصر متناظر می‌باشد که حکایت از توزیع نسبتاً نرمال عناصر و همین طور عدم تأثیر نمونه‌های دور افتاده دارد.

یکی دیگر از راههای بررسی ارتباط تغییرات عناصر با یکدیگر، رسم نمودار پراکنش (Scatter Plot) می‌باشد. زوج مرتب‌هایی از مقادیر دو متغیر که دارای توزیع دو متغیره یکسان باشند بر روی نمودار دو بعدی ترسیم می‌گردند. هر چه پراکندگی نقاط در نمودارهای پراکنش بیشتر باشد پیوند بین متغیرها ضعیفتر است. شکل (۸-۵) پراکنش مقادیر داده‌های شاخص غنی‌شدگی نرمال شده برای چند زوج عنصری است که بیشترین ارتباط را نشان می‌دهد. در این نمودارها زوج عنصر Mn, Ti بیشترین همبستگی را با یکدیگر نشان می‌دهد.

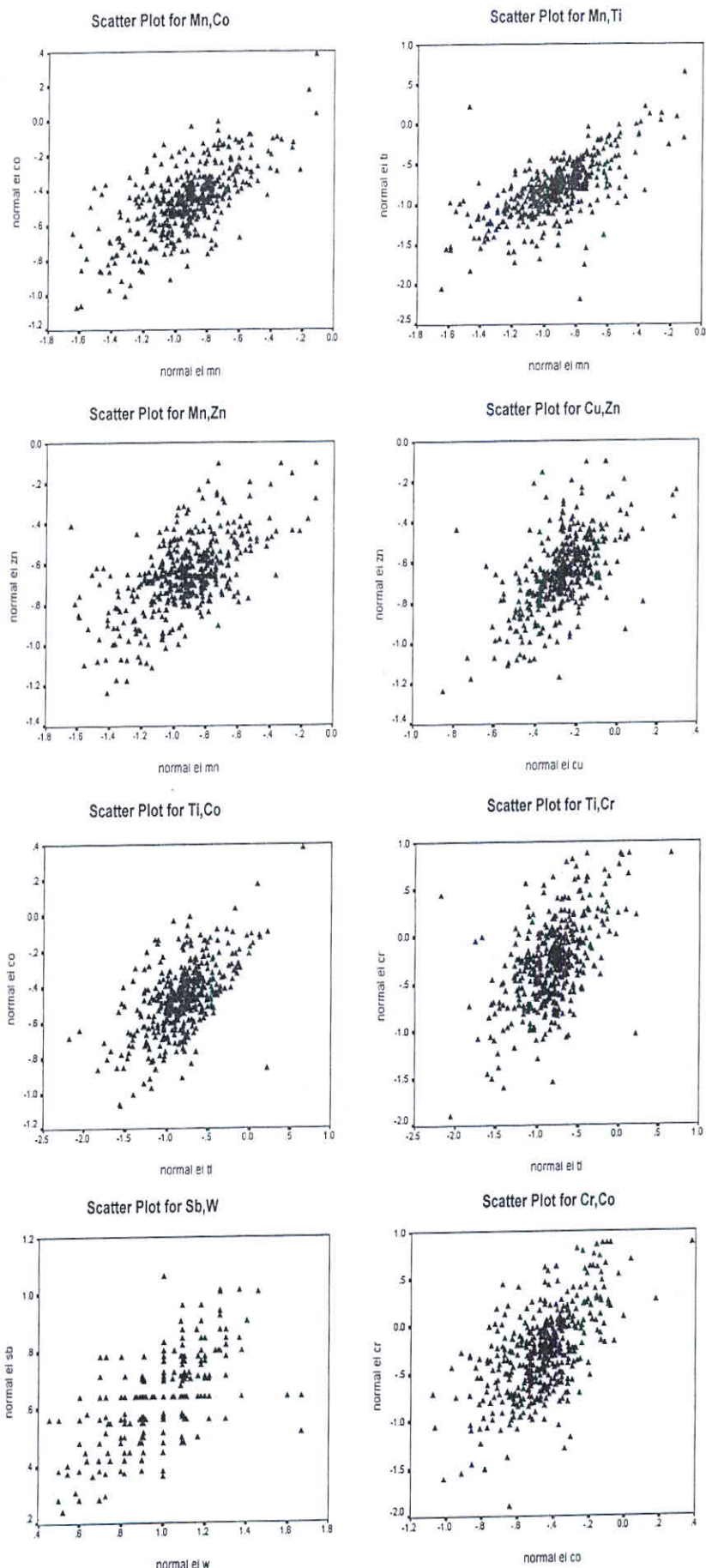
**Table (5 - 2) :Pearson Correlation for Normal Enrichment Data in Iranshahr 1:100000 Sheet**

	<b>nor ci au</b>	<b>nor ci hg</b>	<b>nor ci as</b>	<b>nor ci co</b>	<b>nor ci cr</b>	<b>nor ci cu</b>	<b>nor ci mn</b>	<b>nor ci ni</b>	<b>nor ci sr</b>	<b>nor ci zn</b>	<b>nor ci ba</b>	<b>nor ci be</b>	<b>nor ci ti</b>	<b>nor ci ag</b>	<b>Nor Ei Bi</b>	<b>nor ci mo</b>	<b>nor ci pb</b>	<b>nor ci sh</b>	<b>nor ci se</b>	<b>nor ci sn</b>	<b>nor ci w</b>	
<b>normal ci au</b>	Pearson Correlation	<b>1</b>	<b>0.098</b>	<b>0.037</b>	<b>-0.039</b>	<b>0.046</b>	<b>0.066</b>	<b>-0.027</b>	<b>0.043</b>	<b>0.022</b>	<b>0.065</b>	<b>-0.022</b>	<b>0.08</b>	<b>-0.055</b>	<b>0.132</b>	<b>-0.104</b>	<b>-0.034</b>	<b>-0.09</b>	<b>0.006</b>	<b>-0.043</b>	<b>-0.03</b>	<b>-0.002</b>
	Sig. (2-tailed)	-	<b>0.039</b>	<b>0.437</b>	<b>0.414</b>	<b>0.339</b>	<b>0.165</b>	<b>0.573</b>	<b>0.37</b>	<b>0.65</b>	<b>0.169</b>	<b>0.641</b>	<b>0.092</b>	<b>0.244</b>	<b>0.005</b>	<b>0.029</b>	<b>0.476</b>	<b>0.059</b>	<b>0.896</b>	<b>0.369</b>	<b>0.533</b>	<b>0.962</b>
<b>normal ci hg</b>	Pearson Correlation	<b>0.098</b>	<b>1</b>	<b>0.065</b>	<b>0.023</b>	<b>0.081</b>	<b>0.01</b>	<b>0.005</b>	<b>0.043</b>	<b>-0.059</b>	<b>-0.008</b>	<b>-0.054</b>	<b>-0.078</b>	<b>0.002</b>	<b>0.156</b>	<b>-0.19</b>	<b>0.135</b>	<b>-0.145</b>	<b>0.046</b>	<b>-0.06</b>	<b>-0.025</b>	<b>0.018</b>
	Sig. (2-tailed)	<b>0.039</b>	-	<b>0.17</b>	<b>0.635</b>	<b>0.087</b>	<b>0.839</b>	<b>0.924</b>	<b>0.371</b>	<b>0.212</b>	<b>0.874</b>	<b>0.259</b>	<b>0.1</b>	<b>0.97</b>	<b>0.001</b>	<b>0</b>	<b>0.004</b>	<b>0.002</b>	<b>0.336</b>	<b>0.209</b>	<b>0.593</b>	<b>0.704</b>
<b>normal ci as</b>	Pearson Correlation	<b>0.037</b>	<b>0.065</b>	<b>1</b>	<b>0.033</b>	<b>-0.304</b>	<b>0.197</b>	<b>-0.073</b>	<b>-0.124</b>	<b>0.191</b>	<b>0.186</b>	<b>0.337</b>	<b>0.503</b>	<b>-0.037</b>	<b>0.184</b>	<b>0.033</b>	<b>0.226</b>	<b>0.301</b>	<b>0.4</b>	<b>-0.084</b>	<b>0.257</b>	<b>0.463</b>
	Sig. (2-tailed)	<b>0.437</b>	<b>0.17</b>	-	<b>0.484</b>	<b>0</b>	<b>0</b>	<b>0.125</b>	<b>0.009</b>	<b>0</b>	<b>0</b>	<b>0</b>	<b>0</b>	<b>0.435</b>	<b>0</b>	<b>0.483</b>	<b>0</b>	<b>0</b>	<b>0</b>	<b>0.077</b>	<b>0</b>	<b>0</b>
<b>normal ci co</b>	Pearson Correlation	<b>-0.039</b>	<b>0.023</b>	<b>0.033</b>	<b>1</b>	<b>0.568</b>	<b>0.531</b>	<b>0.671</b>	<b>0.465</b>	<b>-0.108</b>	<b>0.515</b>	<b>0.097</b>	<b>0.107</b>	<b>0.584</b>	<b>-0.035</b>	<b>0.094</b>	<b>0.126</b>	<b>0.025</b>	<b>-0.068</b>	<b>-0.107</b>	<b>0.066</b>	<b>-0.009</b>
	Sig. (2-tailed)	<b>0.414</b>	<b>0.635</b>	<b>0.484</b>	-	<b>0</b>	<b>0</b>	<b>0</b>	<b>0</b>	<b>0.023</b>	<b>0</b>	<b>0.041</b>	<b>0.024</b>	<b>0</b>	<b>0.463</b>	<b>0.049</b>	<b>0.008</b>	<b>0.597</b>	<b>0.154</b>	<b>0.025</b>	<b>0.163</b>	<b>0.847</b>
<b>normal ci cr</b>	Pearson Correlation	<b>0.046</b>	<b>0.081</b>	<b>-0.304</b>	<b>0.588</b>	<b>1</b>	<b>0.12</b>	<b>0.454</b>	<b>0.502</b>	<b>-0.272</b>	<b>0.161</b>	<b>-0.219</b>	<b>-0.283</b>	<b>0.529</b>	<b>-0.132</b>	<b>0.097</b>	<b>-0.019</b>	<b>-0.135</b>	<b>-0.126</b>	<b>-0.164</b>	<b>-0.009</b>	<b>-0.094</b>
	Sig. (2-tailed)	<b>0.339</b>	<b>0.087</b>	<b>0</b>	<b>0</b>	-	<b>0.011</b>	<b>0</b>	<b>0.005</b>	<b>0.042</b>	<b>0.687</b>	<b>0.004</b>	<b>0.008</b>	<b>0.001</b>	<b>0.855</b>	<b>0.047</b>						
<b>normal ci cu</b>	Pearson Correlation	<b>0.066</b>	<b>0.01</b>	<b>0.197</b>	<b>0.531</b>	<b>0.12</b>	<b>1</b>	<b>0.492</b>	<b>0.387</b>	<b>0.192</b>	<b>0.579</b>	<b>0.174</b>	<b>0.294</b>	<b>0.243</b>	<b>0.024</b>	<b>-0.159</b>	<b>0.031</b>	<b>0.009</b>	<b>-0.197</b>	<b>-0.149</b>	<b>-0.109</b>	<b>0.013</b>
	Sig. (2-tailed)	<b>0.165</b>	<b>0.839</b>	<b>0</b>	<b>0</b>	<b>0.011</b>	-	<b>0</b>	<b>0</b>	<b>0</b>	<b>0</b>	<b>0</b>	<b>0</b>	<b>0.614</b>	<b>0.001</b>	<b>0.52</b>	<b>0.847</b>	<b>0</b>	<b>0.002</b>	<b>0.022</b>	<b>0.779</b>	
<b>normal ci mn</b>	Pearson Correlation	<b>-0.027</b>	<b>0.005</b>	<b>-0.073</b>	<b>0.671</b>	<b>0.454</b>	<b>0.492</b>	<b>1</b>	<b>0.139</b>	<b>0.031</b>	<b>0.592</b>	<b>0.198</b>	<b>0.091</b>	<b>0.674</b>	<b>-0.048</b>	<b>-0.099</b>	<b>0.126</b>	<b>0.079</b>	<b>-0.344</b>	<b>-0.107</b>	<b>-0.063</b>	<b>-0.254</b>
	Sig. (2-tailed)	<b>0.573</b>	<b>0.924</b>	<b>0.125</b>	<b>0</b>	<b>0</b>	<b>0</b>	-	<b>0.003</b>	<b>0.52</b>	<b>0</b>	<b>0</b>	<b>0.056</b>	<b>0</b>	<b>0.312</b>	<b>0.037</b>	<b>0.008</b>	<b>0.055</b>	<b>0</b>	<b>0.024</b>	<b>0.187</b>	<b>0</b>
<b>normal ci ni</b>	Pearson Correlation	<b>0.043</b>	<b>0.043</b>	<b>-0.124</b>	<b>0.465</b>	<b>0.502</b>	<b>0.387</b>	<b>0.139</b>	<b>1</b>	<b>-0.199</b>	<b>0.117</b>	<b>-0.3</b>	<b>-0.069</b>	<b>-0.063</b>	<b>-0.049</b>	<b>-0.035</b>	<b>-0.132</b>	<b>-0.227</b>	<b>-0.091</b>	<b>-0.145</b>	<b>-0.125</b>	<b>0.035</b>
	Sig. (2-tailed)	<b>0.37</b>	<b>0.371</b>	<b>0.009</b>	<b>0</b>	<b>0</b>	<b>0</b>	<b>0.003</b>	-	<b>0</b>	<b>0.014</b>	<b>0</b>	<b>0.146</b>	<b>0.182</b>	<b>0.303</b>	<b>0.461</b>	<b>0.005</b>	<b>0</b>	<b>0.055</b>	<b>0.002</b>	<b>0.009</b>	<b>0.468</b>
<b>normal ci sr</b>	Pearson Correlation	<b>0.022</b>	<b>-0.059</b>	<b>0.191</b>	<b>-0.108</b>	<b>-0.272</b>	<b>0.192</b>	<b>0.031</b>	<b>-0.199</b>	<b>1</b>	<b>0.272</b>	<b>0.257</b>	<b>0.266</b>	<b>0.047</b>	<b>-0.01</b>	<b>-0.137</b>	<b>0.102</b>	<b>0.2</b>	<b>-0.131</b>	<b>-0.03</b>	<b>0.011</b>	<b>0.018</b>
	Sig. (2-tailed)	<b>0.65</b>	<b>0.212</b>	<b>0</b>	<b>0.023</b>	<b>0</b>	<b>0</b>	<b>0.52</b>	<b>0</b>	-	<b>0</b>	<b>0</b>	<b>0.319</b>	<b>0.841</b>	<b>0.004</b>	<b>0.032</b>	<b>0</b>	<b>0.006</b>	<b>0.534</b>	<b>0.824</b>	<b>0.708</b>	
<b>normal ci zn</b>	Pearson Correlation	<b>0.065</b>	<b>-0.008</b>	<b>0.186</b>	<b>0.515</b>	<b>0.161</b>	<b>0.579</b>	<b>0.592</b>	<b>0.117</b>	<b>0.272</b>	<b>1</b>	<b>0.359</b>	<b>0.568</b>	<b>0.418</b>	<b>0.06</b>	<b>-0.139</b>	<b>0.205</b>	<b>0.343</b>	<b>-0.204</b>	<b>-0.146</b>	<b>0.081</b>	<b>0.024</b>
	Sig. (2-tailed)	<b>0.169</b>	<b>0.874</b>	<b>0</b>	<b>0</b>	<b>0.001</b>	<b>0</b>	<b>0</b>	<b>0.014</b>	<b>0</b>	-	<b>0</b>	<b>0</b>	<b>0.209</b>	<b>0.003</b>	<b>0</b>	<b>0</b>	<b>0</b>	<b>0.002</b>	<b>0.09</b>	<b>0.621</b>	
<b>normal ci ba</b>	Pearson Correlation	<b>-0.022</b>	<b>-0.054</b>	<b>0.337</b>	<b>0.097</b>	<b>-0.219</b>	<b>0.174</b>	<b>0.198</b>	<b>-0.3</b>	<b>0.257</b>	<b>0.359</b>	<b>1</b>	<b>0.43</b>	<b>0.157</b>	<b>-0.003</b>	<b>0.084</b>	<b>0.153</b>	<b>0.489</b>	<b>0.061</b>	<b>-0.074</b>	<b>0.24</b>	<b>0.167</b>
	Sig. (2-tailed)	<b>0.641</b>	<b>0.259</b>	<b>0</b>	<b>0.041</b>	<b>0</b>	<b>0.001</b>	<b>0.944</b>	<b>0.076</b>	<b>0.001</b>	<b>0</b>	<b>0.09</b>	<b>0.119</b>	<b>0</b>	<b>0</b>							
<b>normal ci be</b>	Pearson Correlation	<b>0.08</b>	<b>-0.078</b>	<b>0.503</b>	<b>0.107</b>	<b>-0.283</b>	<b>0.294</b>	<b>0.091</b>	<b>-0.069</b>	<b>0.266</b>	<b>0.568</b>	<b>0.43</b>	<b>1</b>	<b>-0.002</b>	<b>0.115</b>	<b>0.022</b>	<b>0.106</b>	<b>0.457</b>	<b>0.126</b>	<b>0.012</b>	<b>0.253</b>	<b>0.296</b>
	Sig. (2-tailed)	<b>0.092</b>	<b>0.1</b>	<b>0</b>	<b>0.024</b>	<b>0</b>	<b>0</b>	<b>0.056</b>	<b>0.146</b>	<b>0</b>	<b>0</b>	<b>0</b>	<b>-0.959</b>	<b>0.015</b>	<b>0.647</b>	<b>0.026</b>	<b>0</b>	<b>0.008</b>	<b>0.794</b>	<b>0</b>	<b>0</b>	
<b>normal ci ti</b>	Pearson Correlation	<b>-0.055</b>	<b>0.002</b>	<b>-0.037</b>	<b>0.584</b>	<b>0.529</b>	<b>0.243</b>	<b>0.674</b>	<b>-0.063</b>	<b>0.047</b>	<b>0.418</b>	<b>0.157</b>	<b>-0.002</b>	<b>1</b>	<b>-0.165</b>	<b>0.077</b>	<b>0.087</b>	<b>0.102</b>	<b>-0.151</b>	<b>-0.137</b>	<b>0.122</b>	<b>-0.1</b>
	Sig. (2-tailed)	<b>0.244</b>	<b>0.97</b>	<b>0.435</b>	<b>0</b>	<b>0</b>	<b>0</b>	<b>0</b>	<b>0.182</b>	<b>0.319</b>	<b>0</b>	<b>0.001</b>	<b>0.959</b>	-	<b>0</b>	<b>0.108</b>	<b>0.069</b>	<b>0.032</b>	<b>0.001</b>	<b>0.004</b>	<b>0.01</b>	<b>0.036</b>
<b>normal ci ag</b>	Pearson Correlation	<b>0.132</b>	<b>0.156</b>	<b>0.184</b>	<b>-0.035</b>	<b>-0.132</b>	<b>0.024</b>	<b>-0.048</b>	<b>-0.049</b>	<b>-0.01</b>	<b>0.06</b>	<b>-0.003</b>	<b>0.115</b>	<b>-0.165</b>	<b>1</b>	<b>-0.34</b>	<b>0.474</b>	<b>-0.067</b>	<b>0.293</b>	<b>0.144</b>	<b>0.063</b>	<b>0.115</b>
	Sig. (2-tailed)	<b>0.005</b>	<b>0.001</b>	<b>0</b>	<b>0.463</b>	<b>0.005</b>	<b>0.614</b>	<b>0.312</b>	<b>0.303</b>	<b>0.841</b>	<b>0.209</b>	<b>0.944</b>	<b>0.015</b>	<b>0</b>	<b>-0</b>	<b>0</b>	<b>0.161</b>	<b>0</b>	<b>0.002</b>	<b>0.183</b>	<b>0.015</b>	
<b>Normal Ei Bi</b>	Pearson Correlation	<b>-0.104</b>	<b>-0.19</b>	<b>0.033</b>	<b>0.094</b>	<b>0.097</b>	<b>-0.159</b>	<b>-0.099</b>	<b>-0.035</b>	<b>-0.137</b>	<b>-0.139</b>	<b>0.084</b>	<b>0.022</b>	<b>0.077</b>	<b>-0.34</b>	<b>1</b>	<b>-0.155</b>	<b>0.27</b>	<b>0.286</b>	<b>-0.137</b>	<b>0.386</b>	<b>0.213</b>
	Sig. (2-tailed)	<b>0.029</b>	<b>0</b>	<b>0.483</b>	<b>0.049</b>	<b>0.042</b>	<b>0.001</b>	<b>0.037</b>	<b>0.461</b>	<b>0.004</b>	<b>0.003</b>	<b>0.076</b>	<b>0.647</b>	<b>0.108</b>	<b>0</b>	<b>.</b>	<b>0.001</b>	<b>0</b>	<b>0</b>	<b>0.004</b>	<b>0</b>	
<b>normal ci mo</b>	Pearson Correlation	<b>-0.034</b>	<b>0.135</b>	<b>0.226</b>	<b>0.126</b>	<b>-0.019</b>	<b>0.031</b>	<b>0.126</b>	<b>-0.132</b>	<b>0.102</b>	<b>0.205</b>	<b>0.153</b>	<b>0.106</b>	<b>0.087</b>	<b>0.474</b>	<b>-0.155</b>	<b>1</b>	<b>0.233</b>	<b>0.338</b>	<b>0.014</b>	<b>0.267</b>	<b>0.223</b>
	Sig. (2-tailed)	<b>0.476</b>	<b>0.004</b>	<b>0</b>	<b>0.008</b>	<b>0.687</b>	<b>0.52</b>	<b>0.008</b>	<b>0.005</b>	<b>0.032</b>	<b>0</b>	<b>0.001</b>	<b>0.026</b>	<b>0.069</b>	<b>0</b>	<b>0.001</b>	<b>-</b>	<b>0</b>	<b>0</b>	<b>0.771</b>	<b>0</b>	
<b>normal ci pb</b>	Pearson Correlation	<b>-0.09</b>	<b>-0.145</b>	<b>0.301</b>	<b>0.025</b>	<b>-0.135</b>	<b>0.009</b>	<b>0.079</b>	<b>-0.227</b>	<b>0.2</b>	<b>0.343</b>	<b>0.489</b>	<b>0.457</b>	<b>0.102</b>	<b>-0.067</b>	<b>0.27</b>	<b>0.233</b>	<b>1</b>	<b>0.141</b>	<b>-0.1</b>	<b>0.328</b>	<b>0.358</b>
	Sig. (2-tailed)	<b>0.059</b>	<b>0.002</b>	<b>0</b>	<b>0.597</b>	<b>0.004</b>	<b>0.847</b>	<b>0.095</b>	<b>0</b>	<b>0</b>	<b>0</b>	<b>0</b>	<b>0.032</b>	<b>0.161</b>	<b>0</b>	<b>-</b>	<b>0.003</b>	<b>0.036</b>	<b>0</b>	<b>0</b>		
<b>normal ci sb</b>	Pearson Correlation	<b>0.006</b>	<b>0.046</b>	<b>0.4</b>	<b>-0.068</b>	<b>-0.126</b>	<b>-0.197</b>	<b>-0.344</b>	<b>-0.091</b>	<b>-0.131</b>	<b>-0.204</b>	<b>0.081</b>	<b>0.126</b>	<b>-0.151</b>	<b>0.293</b>	<b>0.286</b>	<b>0.338</b>	<b>0.141</b>	<b>1</b>	<b>0.189</b>	<b>0.577</b>	<b>0.613</b>
	Sig. (2-tailed)	<b>0.896</b>	<b>0.336</b>	<b>0</b>	<b>0.154</b>	<b>0.008</b>	<b>0</b>	<b>0</b>	<b>0.055</b>	<b>0.006</b>	<b>0</b>	<b>0.09</b>	<b>0.008</b>	<b>0.001</b>	<b>0</b>	<b>0</b>	<b>0.003</b>	<b>-</b>	<b>0</b>	<b>0</b>	<b>0</b>	
<b>normal ci se</b>	Pearson Correlation	<b>-0.043</b>	<b>-0.06</b>	<b>-0.084</b>	<b>-0.107</b>	<b>-0.164</b>	<b>-0.149</b>	<b>-0.107</b>	<b>-0.145</b>	<b>-0.03</b>	<b>-0.146</b>	<b>-0.074</b>	<b>0.012</b>	<b>-0.137</b>	<b>0.144</b>	<b>-0.137</b>	<b>0.014</b>	<b>-0.1</b>	<b>0.189</b>	<b>1</b>	<b>0.073</b>	<b>0.083</b>
	Sig. (2-tailed)	<b>0.369</b>	<b>0.209</b>	<b>0.077</b>	<b>0.025</b>	<b>0.001</b>	<b>0.002</b>	<b>0.024</b>	<b>0.002</b>	<b>0.534</b>	<b>0.002</b>	<b>0.119</b>	<b>0.794</b>	<b>0.004</b>	<b>0.002</b>	<b>0.004</b>	<b>0.771</b>	<b>0.036</b>	<b>0</b>	<b>-</b>	<b>0.127</b>	<b>0.081</b>
<b>normal ci sn</b>	Pearson Correlation	<b>-0.03</b>	<b>-0.025</b>	<b>0.257</b>	<b>0.066</b>	<b>-0.009</b>	<b>-0.109</b>	<b>-0.063</b>	<b>-0.125</b>	<b>0.011</b>	<b>0.081</b>	<b>0.24</b>	<b>0.253</b>	<b>0.122</b>	<b>0.063</b>	<b>0.386</b>	<b>0.267</b>	<b>0.328</b>	<b>0.577</b>	<b>0.073</b>	<b>1</b>	<b>0.469</b>
	Sig. (2-tailed)	<b>0.533</b>	<b>0.593</b>	<b>0</b>	<b>0.163</b>	<b>0.855</b>	<b>0.022</b>	<b>0.187</b>	<b>0.009</b>	<b>0.824</b>	<b>0.09</b>	<b>0</b>	<b>0</b>									

**Table (5-3) : Spearman Correlation for Enrichment Data in Iranshahr 1:100000 Sheet**

		EI(AU)	EI(HG)	EI(AS)	EI(CO)	EI(CR)	EI(CU)	EI(MN)	EI(NI)	EI(SR)	EI(Z.N)	EI(BA)	EI(BE)	EI(TI)	EI(AG)	EI(BI)	EI(MO)	EI(PB)	EI(SB)	EI(SE)	EI(SN)	EI(W)
EI(AU)	Correlation Coefficient	1	0.119	0.053	-0.027	0.032	0.033	-0.004	0.027	0.058	0.065	-0.017	0.077	-0.048	0.157	-0.108	-0.02	-0.062	0.01	-0.021	-0.045	0.014
	Sig. (2-tailed)	.	0.012	0.264	0.577	0.502	0.486	0.932	0.576	0.225	0.173	0.718	0.107	0.31	0.001	0.023	0.668	0.192	0.828	0.654	0.349	0.776
EI(HG)	Correlation Coefficient	0.119	1	0.036	0.013	0.095	-0.064	-0.001	0.018	-0.123	-0.076	-0.09	-0.095	0.027	0.14	-0.209	0.151	-0.148	0.044	-0.091	-0.006	0.042
	Sig. (2-tailed)	0.012	.	0.452	0.782	0.045	0.181	0.978	0.703	0.009	0.112	0.058	0.045	0.569	0.003	0	0.001	0.002	0.353	0.057	0.899	0.379
EI(AS)	Correlation Coefficient	0.053	0.036	1	0.121	-0.24	0.151	0.01	-0.115	0.217	0.251	0.396	0.506	0.002	0.192	0.051	0.282	0.309	0.344	-0.096	0.235	0.403
	Sig. (2-tailed)	0.264	0.452	.	0.011	0	0.001	0.828	0.016	0	0	0	0	0.964	0	0.286	0	0	0	0.044	0	0
EI(CO)	Correlation Coefficient	-0.027	0.013	0.121	1	0.541	0.537	0.624	0.463	-0.013	0.464	0.055	0.117	0.549	-0.061	0.072	0.126	0.011	-0.042	-0.123	0.027	0.005
	Sig. (2-tailed)	0.577	0.782	0.011	.	0	0	0	0	0.788	0	0.251	0.014	0	0.197	0.131	0.008	0.818	0.377	0.01	0.566	0.919
EI(CR)	Correlation Coefficient	0.032	0.095	-0.24	0.541	1	0.123	0.406	0.485	-0.263	0.09	-0.301	-0.291	0.489	-0.156	0.127	-0.047	-0.169	-0.064	-0.175	-0.028	-0.056
	Sig. (2-tailed)	0.502	0.045	0	0	.	0.009	0	0	0	0.058	0	0	0	0.001	0.007	0.325	0	0.181	0	0.563	0.238
EI(CU)	Correlation Coefficient	0.033	-0.064	0.151	0.537	0.123	1	0.485	0.428	0.386	0.584	0.236	0.278	0.255	-0.025	-0.099	0.036	0.049	-0.194	-0.145	-0.068	-0.007
	Sig. (2-tailed)	0.486	0.181	0.001	0	0.009	.	0	0	0	0	0	0	0	0.602	0.038	0.45	0.3	0	0.002	0.156	0.891
EI(MN)	Correlation Coefficient	-0.004	-0.001	0.01	0.624	0.406	0.485	1	0.159	0.183	0.534	0.232	0.085	0.675	-0.069	-0.151	0.134	0.043	-0.323	-0.101	-0.105	-0.225
	Sig. (2-tailed)	0.932	0.978	0.828	0	0	0	.	0.001	0	0	0	0.074	0	0.148	0.001	0.005	0.363	0	0.033	0.027	0
EI(NI)	Correlation Coefficient	0.027	0.018	-0.115	0.463	0.485	0.428	0.159	1	-0.121	0.154	-0.296	-0.023	-0.022	-0.071	0.006	-0.162	-0.199	-0.071	-0.168	-0.142	0.024
	Sig. (2-tailed)	0.576	0.703	0.016	0	0	0	0.001	.	0.011	0.001	0	0.63	0.644	0.138	0.895	0.001	0	0.135	0	0.003	0.615
EI(SR)	Correlation Coefficient	0.058	-0.123	0.217	-0.013	-0.263	0.386	0.183	-0.121	1	0.42	0.46	0.389	0.11	-0.006	-0.173	0.103	0.201	0.163	-0.028	0.056	0
	Sig. (2-tailed)	0.225	0.009	0	0.788	0	0	0	0.011	.	0	0	0	0.02	0.905	0	0.03	0	0.001	0.559	0.236	0.992
EI(ZN)	Correlation Coefficient	0.065	-0.076	0.251	0.464	0.09	0.584	0.534	0.154	0.42	1	0.456	0.55	0.399	0.05	-0.142	0.194	0.324	-0.173	-0.102	0.06	0.047
	Sig. (2-tailed)	0.173	0.112	0	0	0.058	0	0	0.001	0	.	0	0	0	0.293	0.003	0	0	0	0.032	0.206	0.326
EI(BA)	Correlation Coefficient	-0.017	-0.09	0.396	0.055	-0.301	0.236	0.232	-0.296	0.46	0.456	1	0.54	0.124	0.044	-0.057	0.185	0.472	0.011	-0.04	0.178	0.114
	Sig. (2-tailed)	0.718	0.058	0	0.251	0	0	0	0	0	.	0	0.009	0.352	0.231	0	0	0.826	0.405	0	0.016	0
EI(BE)	Correlation Coefficient	0.077	-0.095	0.506	0.117	-0.291	0.278	0.085	-0.023	0.389	0.55	0.54	1	-0.014	0.152	-0.019	0.107	0.451	0.093	0.014	0.23	0.295
	Sig. (2-tailed)	0.107	0.045	0	0.014	0	0	0.074	0.63	0	0	0	.	0.763	0.001	0.689	0.024	0	0.051	0.774	0	0
EI(TI)	Correlation Coefficient	-0.048	0.027	0.002	0.549	0.489	0.255	0.675	-0.022	0.11	0.399	0.124	-0.014	1	-0.188	0.002	0.109	0.014	-0.147	-0.133	0.047	-0.131
	Sig. (2-tailed)	0.31	0.569	0.964	0	0	0	0	0.644	0.02	0	0.009	0.763	.	0	0.968	0.021	0.774	0.002	0.005	0.322	0.006
EI(AG)	Correlation Coefficient	0.157	0.14	0.192	-0.061	-0.156	-0.025	-0.069	-0.071	-0.006	0.05	0.044	0.152	-0.188	1	-0.356	0.516	0.002	0.273	0.203	0.077	0.111
	Sig. (2-tailed)	0.001	0.003	0	0.197	0.001	0.602	0.148	0.138	0.905	0.293	0.352	0.001	0	.	0	0	0.964	0	0	0.104	0.02
EI(BI)	Correlation Coefficient	-0.108	-0.209	0.051	0.072	0.127	-0.099	-0.151	0.006	-0.173	-0.142	-0.057	-0.019	0.002	-0.356	1	-0.204	0.254	0.292	-0.221	0.339	0.245
	Sig. (2-tailed)	0.023	0	0.286	0.131	0.007	0.038	0.001	0.895	0	0.003	0.231	0.689	0.968	0	.	0	0	0	0	0	0
EI(MO)	Correlation Coefficient	-0.02	0.151	0.282	0.126	-0.047	0.036	0.134	-0.162	0.103	0.194	0.185	0.107	0.109	0.516	-0.204	1	0.221	0.323	0.058	0.268	0.223
	Sig. (2-tailed)	0.668	0.001	0	0.008	0.325	0.45	0.005	0.001	0.03	0	0	0.024	0.021	0	0	.	0	0	0.219	0	0
EI(PB)	Correlation Coefficient	-0.062	-0.148	0.309	0.011	-0.169	0.049	0.043	-0.199	0.201	0.324	0.472	0.451	0.014	0.002	0.254	0.221	1	0.153	-0.078	0.314	0.349
	Sig. (2-tailed)	0.192	0.002	0	0.818	0	0.3	0.363	0	0	0	0	0.774	0.964	0	0	.	0.001	0.103	0	0	0
EI(SB)	Correlation Coefficient	0.01	0.044	0.344	-0.042	-0.064	-0.194	-0.323	-0.071	-0.163	-0.173	0.011	0.093	-0.147	0.273	0.292	0.323	0.153	1	0.167	0.544	0.602
	Sig. (2-tailed)	0.828	0.353	0	0.377	0.181	0	0	0.135	0.001	0	0.826	0.051	0.002	0	0	0	0.001	0	0	0	0
EI(SE)	Correlation Coefficient	-0.021	-0.091	-0.096	-0.123	-0.175	-0.145	-0.101	-0.168	-0.028	-0.102	-0.04	0.014	-0.133	0.203	-0.221	0.058	-0.078	0.167	1	0.054	0.079
	Sig. (2-tailed)	0.654	0.057	0.044	0.01	0	0.002	0.033	0	0.559	0.032	0.405	0.774	0.005	0	0	0.219	0.103	0	.	0.261	0.097
EI(SN)	Correlation Coefficient	-0.045	-0.006	0.235	0.027	-0.028	-0.058	-0.105	-0.142	0.056	0.06	0.178	0.23	0.047	0.077	0.339	0.268	0.314	0.544	0.054	1	0.489
	Sig. (2-tailed)	0.349	0.899	0	0.566	0.563	0.156	0.027	0.003	0.236	0.206	0	0.322	0.104	0	0	0	0	0	0.261	.	0
EI(W)	Correlation Coefficient	0.014	0.042	0.403	0.005	-0.056	-0.007	-0.225	0.024	0	0.047	0.114	0.295	-0.131	0.111	0.245	0.223	0.349	0.602	0.079	0.489	1
	Sig. (2-tailed)	0.776	0.379	0	0.919	0.238	0.891	0	0.615	0.992	0.326	0.016	0	0.006	0.02	0	0	0	0	0.097	0	.

*Fig (5-8) : Pearson Scatter Plot For Normal Enrichment Data*



## بررسی‌های آماری چند متغیره:

هر تجزیه و تحلیل چند متغیره که بر روی بیش از دو متغیر انجام گیرد، می‌تواند در قالب آنالیزهای چند متغیره بیان شود. غالباً تکنیک‌های چند متغیره در اصل بسط و توسعه آنالیزهای تک متغیره می‌باشند و البته بعضی از روش‌های چند متغیره تنها برای پاسخ‌گویی به مقاصد چند متغیره طراحی شده‌اند که از جمله این روش‌ها می‌توان به آنالیز فاکتوری اشاره کرد. تجربه نشان داده است که چنانچه ترکیبی از متغیرها به جای یک متغیر به کار گرفته شوند و از نتایج ترکیبی آنها استفاده شود امکان تشخیص هاله‌های مرکب زئوشیمیایی در اطراف توده‌های کانساری به مراتب افزایش می‌یابد. واژ طرفی اثرات خطاهای تصادفی در بکارگیری ترکیبی متغیرها نسبتاً کاهش می‌یابد. از دیگر مزایای استفاده از روش‌های چند متغیره، کاهش تعداد متغیرها در مباحث داده‌پردازی و درنتیجه کاستن از تعداد نقشه‌های است. با استفاده از این روش‌ها امکان مقایسه متغیرها و کسب نتایج راحت‌تر خواهد بود. البته استفاده بهینه از روش‌های چند متغیره در حالتی صادق خواهد بود که در پردازش داده‌ها با تعداد زیادی متغیر روبرو باشیم و تا حدودی امکان اخذ نتیجه از متغیرها به گونه منفرد غیر ممکن و یا توأم با خطای زیاد باشد. در این گزارش از روش‌های چند متغیره مانند روش‌های آنالیز خوش‌های و آنالیز فاکتوری و ... استفاده شده است.

## آنالیز خوش‌های و تفسیر آن:

به دلیل اینکه هر گروه از عناصر نسبت به یکسری از شرایط محیطی کم و بیش به طور مشابه حساسیت نشان می‌دهند، شناخت ارتباط و همبستگی زننده متقابل بین عناصر مختلف می‌تواند در شناخت دقیق‌تر تغییرات موجود در محیط‌های زئوشیمیایی به کار گرفته شود. ضمناً تجمع

ژنتیکی بعضی از عناصر ممکن است به عنوان راهنمای مستقیم در تفسیر نوع نهشته‌ای که احتمالاً

در ناحیه وجود دارد، به کار رود. در کل شناخت همبستگی ژنتیکی که در بین عناصر وجود دارد

اطلاعات لازم را برای تفسیر هر چه صحیح‌تر داده‌های ژئوشیمیایی در اختیار می‌گذارد.

آنالیز خوشه‌ای یک روش آماری چند متغیره است که عناصر را بر اساس شباهت تغییرپذیری

بین آنها در قالب دسته‌ها یا گروههایی طبقه‌بندی می‌کند. دلایل زیادی برای ارزشمند بودن آنالیز

خوشه‌ای وجود دارد، از جمله اینکه آنالیز خوشه‌ای می‌تواند در یافتن گروههای واقعی کمک کند و

همچنین باعث کاهش تراکم داده‌ها شود. البته باید توجه داشت که آنالیز خوشه‌ای می‌تواند

گروههای غیر قابل انتظاری را نیز ایجاد نماید که بیانگر روابط جدیدی خواهد بود و بایدمورد

بررسی قرار گیرند. در روش آنالیز خوشه‌ای از داده‌های شاخص غنی شدگی نرمال شده استفاده

شده است تا اثر مقادیر غیر همساز از جامعه اصلی و نیز اثر تغییر مقیاس داده‌ها از میان برود

نتایج حاصل از آنالیز خوشه‌ای عناصر مورد مطالعه در شکل (۹-۵) آورده شده است. با توجه به

شکل می‌توان سه گروه اصلی را جدا نمود که بیانگر ارتباط پارازیتی بین متغیرها باشد.

گروه اول: شامل عناصر Mn,Ti,Co,Cr,Ni,Zn,Cu می‌باشد.

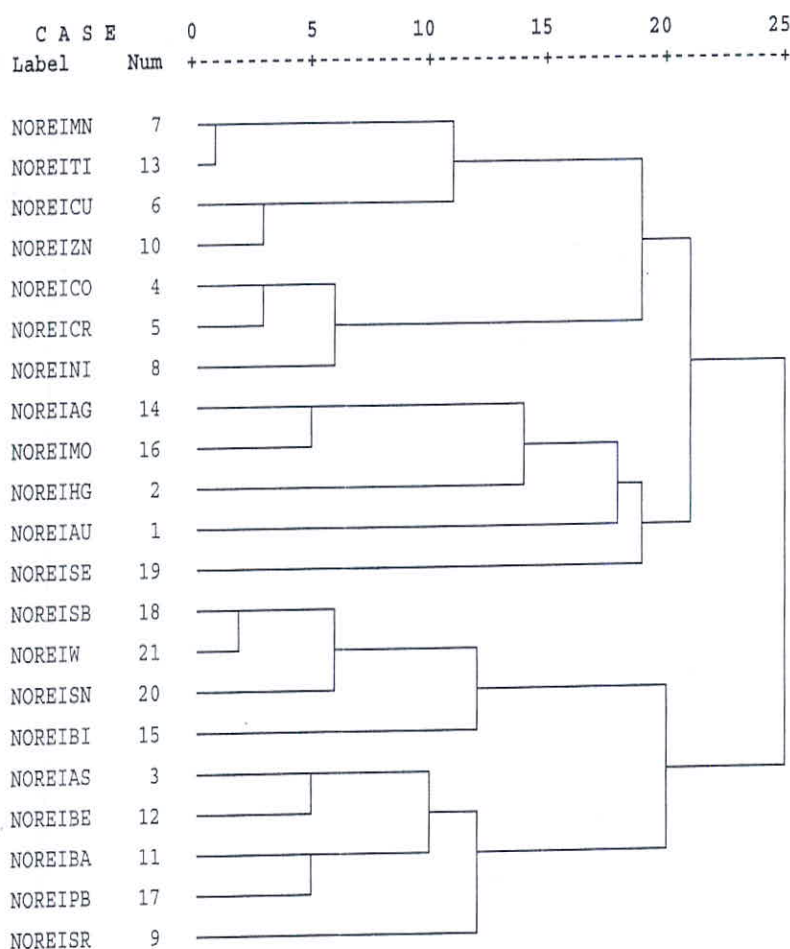
گروه دوم: شامل عناصر Se,Au,Mo,Ag,Hg می‌باشد.

گروه سوم: شامل عناصر Sb,As,Sn,W,Bi,Pb,Ba,Be,Sr می‌باشد.

Fig (5-9) : Cluster Analyse for Iranshahr Sheet (Normal Enrichment Data)

Dendrogram using Complete Linkage

Rescaled Distance Cluster Combine



## آنالیز فاکتوری:

آنالیز آماری نیز یک روش دیگر برای بررسی و مطالعه همزمان تغییرات متغیرهای مورد بررسی در یک نقطه و انعکاس نحوه تغییرات آنها و در نتیجه روشنی برای کاهش تعداد متغیرهای مورد بررسی است. به این ترتیب که بر اساس مدل خاصی بنام فاکتور ارتباط پیچیده بین متغیرها تعیین می‌گردد. آنالیز فاکتوری شامل محاسبه ماتریس ضرایب همبستگی بین متغیرها، تعیین متغیرهایی که به نظر می‌رسد وابستگی ضعیفی باسایر متغیرها دارند (با استخراج فاکتورها)، تعیین تعداد فاکتورها و روش محاسبه آنها و بالاخره دوران و اعمال تبدیلاتی خاص بر روی فاکتورها می‌باشد. مهمترین مساله در آنالیز فاکتوری اصل بیان همبستگی بین مقادیر غلظت عناصر به منظور نمایش الگوی تغییرات همزمان آنها در یک مکان است. بدین منظور در جهت کلاسمن از تعداد داده‌ها از آنالیز فاکتوری استفاده گردیده است. هدف از به کار گیری آنالیز فاکتوری عبارت است از :

- (۱) تشخیص و تعیین فاکتورها (تجزیه)
- (۲) تعیین سهم نسبتی هر یک از فاکتورها در بوجود آمدن تغییرات توزیع عناصر در واقع هدف از تجزیه و تحلیل فاکتوری تشخیص اصلی‌ترین متغیرهای کنترل شده از متغیرهایی با نقش کمتر است. در این صورت می‌توان با حداقل تعداد متغیرهای فاکتوری، حداقل تغییرپذیری بین داده‌ها را توجیه کرد و سهم نسبی هر یک از متغیرهای فاکتوری را در توجیه تغییرپذیری مشخص نمود. به تجربه ثابت شده است که آنالیز فاکتوری تفکیک مناسبی برای کاهش داده‌ها در اکتشافات زئوشیمیایی است به طوری که با استفاده از امتیازات فاکتوری به جای متغیرهای اولیه می‌توان مشاهدات صحرائی و کل تمرکز آنومالیها را تغییر داد.

بدین منظور ابتدا باید میزان اعتبار آنالیز فاکتوری بر روی مقادیر شاخص غنی‌شده‌گی نرمال

بررسی شود. در این راه از آزمونهای Bartlett، KMO بهره‌گرفته می‌شود. هر چه مقدار KMO به

عدد یک نزدیکتر باشد، دلالت بر تایید بیشتر آنالیز فاکتوری دارد (به طور استاندارد KMO باید از

(۰/۶ بیشتر باشد) که با توجه به جدول (۴-۵) مقدار KMO معادل ۰/۷۲۴ حد مناسبی می‌باشد

که آنچام آنالیز فاکتوری را تایید می‌نماید.

همچنین عدم رد آزمون کرویت که به آزمون فرض ماتریس واحد بودن ماتریس ضرایب

همبستگی اشاره می‌کند. به این معنی است که کلیه متغیرها مستقل از یکدیگر عمل می‌کنند. با

توجه به جدول (۴-۵) عناصر Cr, Sb, Co, Mn, Zn, Ni, Be, Bi از بیشترین ضرایب برخوردار بوده

و بیشترین مشارکت را در این روش دارا می‌باشند.

در آنالیز فاکتوری به روش مولفه‌های اصلی (PCA)، برآورد ماتریس ضرایب همبستگی بدست

می‌آید. با محاسبه مقادیر ویژه این ماتریس مقادیر بزرگتر از یک جدا شده و برای آنها بردارهای

ویژه محاسبه می‌گردد. در جدولی که تحت عنوان Total Variance Explained آمده است.

مقادیر ویژه، درصد واریانس و درصد تجمعی واریانس متناظر با عوامل، محاسبه شده و سپس

مقادیر بزرگتر از یک استخراج و دوران داده شده‌اند، که با توجه به جدول (۵-۵) بیشترین تغییر

پذیری محیط (واریانس) مربوط به مولفه‌های اول و دوم به ترتیب ۰/۳۰۷ و ۰/۵۰۴ می‌باشد.

نمودار مقادیر ویژه که بر حسب اهمیت از بزرگترین تا کوچکترین مقادیر ردیف شده‌اند.

در شکل (۱۰-۵) آورده شده است.

Table(5-4): Results of Factor Analyse in Iranshahr 1:100000 Sheet

### KMO and Bartlett's Test

Kaiser-Meyer-Olkin Measure of Sampling Adequacy.		.724
Bartlett's Test of Sphericity	Approx. Chi-Square	4264.97
	df	210
	Sig.	.000

### Communalities

	Initial	Extraction
normal ei au	1.000	.287
normal ei hg	1.000	.525
normal ei as	1.000	.604
normal ei co	1.000	.836
normal ei zn	1.000	.789
normal ei ni	1.000	.813
normal ei sr	1.000	.421
normal ei ba	1.000	.580
normal ei be	1.000	.711
normal ei ti	1.000	.768
normal ei ag	1.000	.686
normal ei bi	1.000	.717
normal ei mo	1.000	.657
normal ei pb	1.000	.607
normal ei sb	1.000	.817
normal ei se	1.000	.665
normal ei sn	1.000	.650
normal ei w	1.000	.687
normal ei cr	1.000	.788
normal ei cu	1.000	.733
normal ei mn	1.000	.825

Extraction Method: Principal Component Analysis.

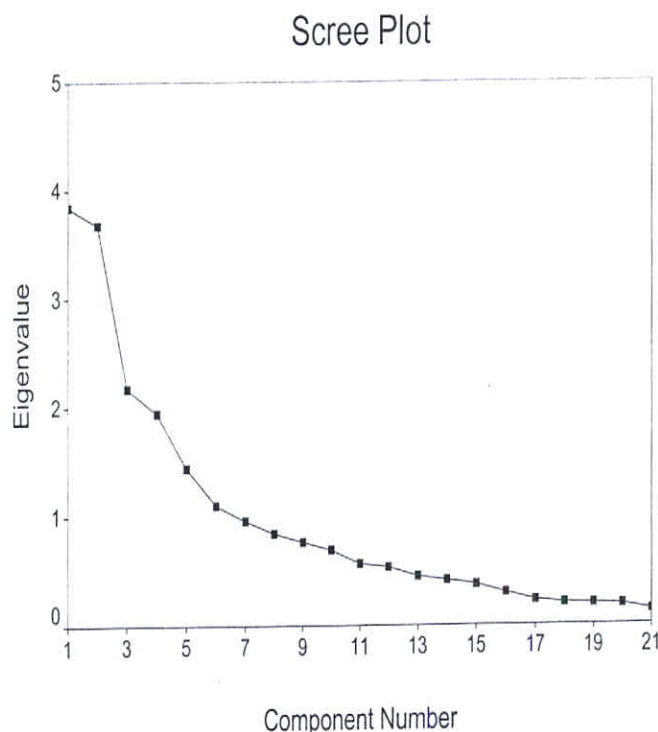
*Table(5-5): Factor Analysis for Iranshahr 1:100000 Sheet*

**Total Variance Explained**

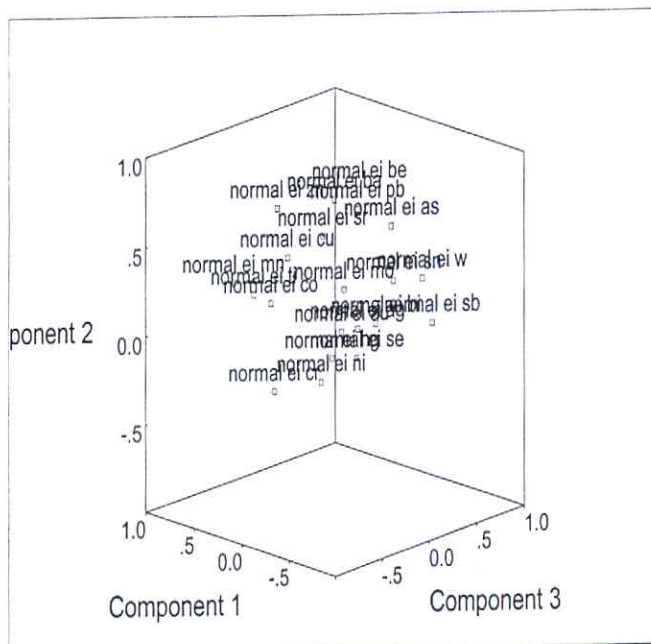
Component	Initial Eigenvalues			Extraction Sums of Squared Loadings			Rotation Sums of Squared Loadings		
	Total	% of Variance	Cumulative %	Total	% of Variance	Cumulative %	Total	% of Variance	Cumulative %
1	3.844	18.307	18.307	3.844	18.307	18.307	3.298	15.707	15.707
2	3.676	17.504	35.810	3.676	17.504	35.810	3.062	14.581	30.288
3	2.170	10.335	46.145	2.170	10.335	46.145	2.883	13.729	44.016
4	1.943	9.251	55.396	1.943	9.251	55.396	1.922	9.152	53.168
5	1.436	6.837	62.233	1.436	6.837	62.233	1.802	8.580	61.748
6	1.098	5.228	67.461	1.098	5.228	67.461	1.200	5.713	67.461
7	.960	4.572	72.033						
8	.841	4.006	76.039						
9	.765	3.644	79.683						
10	.692	3.297	82.980						
11	.566	2.696	85.675						
12	.534	2.542	88.217						
13	.450	2.142	90.359						
14	.415	1.975	92.333						
15	.373	1.776	94.110						
16	.299	1.426	95.535						
17	.227	1.082	96.617						
18	.200	.954	97.571						
19	.195	.927	98.498						
20	.184	.876	99.374						
21	.131	.626	100.000						

Extraction Method: Principal Component Analysis.

Fig (5-10): Results of Factor Analyse in Iranshahr 1:100000 Sheet



Component Plot in Rotated Space



از آنجا که اغلب یک یا چند عامل ویژه چند متغیره را کنترل می‌کنند، روش‌هایی بوجود آمده‌اند

که بدون تغییر میزان اشتراک تفسیر عوامل را ساده‌تر می‌سازند. این روش‌ها همان دوران عوامل هستند که به دو روش عمود و مایل صورت می‌گیرند. دورانهای عاملی عمود استقلال میان عاملها را حفظ کرده اما دورانهای مایل عاملها را به هم وابسته می‌نمایند. در این فصل با استفاده از روش Varimax که دوران متعلم است بر روی ضرایب عاملی دوران صورت می‌گیرد. مقادیری با قدر مطلق نسبتاً بزرگ و یا صفر به ستونهای ماتریس ضرایب عاملها اختصاص یافته‌اند. در نتیجه عواملی ایجاد شده‌اند که یا شدیداً به متغیرها وابسته‌اند یا مستقل از آنها هستند و سبب ساده شدن تفسیر عاملها می‌گردند.

با استفاده از این روش می‌توان عناصری را که در هر عامل از اهمیت بیشتری برخوردارند تعیین کرد. با توجه به جدول (۶-۵) شش فاکتور جدا شده‌است.

فاکتور اول: این فاکتور بیشتر تحت تاثیر عناصر Cr,Co,Ti,Mn می‌باشد.

فاکتور دوم: این فاکتور تحت تاثیر عناصر Ba,Zn,Be,Sr,As,Pb می‌باشد.

فاکتور سوم: این فاکتور تحت تاثیر عناصر Sb,W,Sn می‌باشد.

فاکتور چهارم: این فاکتور تحت تاثیر عناصر Ag,Bi,Mo می‌باشد.

فاکتور پنجم: این فاکتور تحت تاثیر عناصر Ni,Cu می‌باشد.

فاکتور ششم: این فاکتور تحت تاثیر عناصر Se,Hg می‌باشد.

اشکال (۲۲-۶) الی (۲۷-۶) نقشه‌های حاصل از آنالیز فاکتوری داده‌های غنی‌شدنگی می‌باشد.

Table(5-6): Results of Factor Analyse in Iranshahr 1:100000 Sheet

## Component Matrix

	Component					
	1	2	3	4	5	6
normal ei zn	.833	.148	-.258	3.74E-02	4.44E-02	-5.9E-02
normal ei mn	.813	-.287	-3.8E-02	-8.3E-03	-.278	-6.4E-02
normal ei co	.800	-.221	.335	.123	3.28E-02	-.133
normal ei cu	.691	-7.0E-02	-.205	.190	.389	-.145
normal ei ti	.682	-.185	.201	-.175	-.435	8.91E-02
normal ei as	.190	.678	-6.1E-02	.148	.259	.125
normal ei w	1.66E-02	.665	.400	.129	.255	-4.9E-02
normal ei sb	-.199	.641	.542	.264	-1.2E-02	-5.3E-02
normal ei be	.408	.604	-.275	-4.2E-02	.294	-.123
normal ei pb	.307	.602	-8.1E-03	-.375	-7.1E-02	6.96E-02
normal ei sn	.108	.600	.504	-7.0E-02	-.140	-7.8E-03
normal ei ba	.381	.524	-.238	-.274	-.134	.102
normal ei bi	-1.4E-02	.204	.578	-.565	.116	9.33E-02
normal ei cr	.447	-.519	.546	8.40E-02	-7.5E-02	9.16E-02
normal ei sr	.182	.278	-.541	-.133	-9.0E-03	2.53E-02
normal ei ag	-3.8E-02	.274	-.112	.740	-.210	-6.9E-02
normal ei mo	.208	.410	6.42E-02	.479	-.457	5.97E-02
normal ei ni	.273	-.404	.329	.296	.601	-.137
normal ei se	-.249	.110	-9.6E-03	.188	-.236	-.707
normal ei hg	2.12E-03	-4.7E-02	1.69E-02	.459	-8.7E-02	.552
normal ei au	1.57E-02	-7.1E-03	-.113	.272	.239	.378

## Rotated Component Matrix

	Component					
	1	2	3	4	5	6
normal ei ti	.855	6.54E-02	-2.0E-02	-7.4E-02	-.160	-4.7E-03
normal ei mn	.845	.179	-.240	7.44E-02	.114	-4.5E-02
normal ei co	.794	4.54E-03	.101	5.31E-03	.441	-2.0E-02
normal ei cr	.696	-.465	3.82E-02	-.133	.228	.133
normal ei be	-2.5E-02	.765	.235	5.60E-02	.255	-4.4E-02
normal ei ba	.174	.685	.165	-4.4E-02	-.227	7.42E-03
normal ei zn	.552	.615	-7.4E-02	.125	.290	3.40E-02
normal ei sr	-7.1E-02	.600	-.206	6.66E-02	-9.8E-02	4.86E-03
normal ei pb	.138	.598	.378	-.191	-.222	-5.2E-02
normal ei as	-.147	.538	.455	.152	.144	.204
normal ei sb	-.186	-7.6E-02	.849	.228	-4.5E-02	-3.9E-02
normal ei w	-.157	.186	.771	5.15E-02	.174	8.50E-03
normal ei sn	.134	.125	.761	-1.4E-02	-.171	-8.8E-02
normal ei ag	-8.7E-02	1.04E-02	.153	.805	3.58E-02	7.69E-02
normal ei bi	8.36E-02	-6.5E-02	.519	-.645	-.129	-6.6E-02
normal ei mo	.245	.135	.340	.638	-.222	8.06E-02
normal ei ni	.171	-.313	1.77E-02	-9.7E-02	.814	.115
normal ei cu	.361	.392	-.155	8.61E-02	.643	6.88E-02
normal ei se	-.176	-.121	5.79E-02	.383	3.63E-03	-.685
normal ei hg	5.30E-02	-.155	1.93E-02	.328	-8.0E-02	.620
normal ei au	-.112	3.66E-02	4.4E-02	.110	.157	.484

### آنالیز ویژگی فاکتورها:

همان گونه که در مبحث آنالیز فاکتوری بیان شد. برای بررسی و مطالعه همزمان تغییرات متغیرهای مورد بررسی در یک نقطه و انکاس نحوه تغییرات آنها بایستی از تعداد داده‌ها کاسته شود. در آنالیز فاکتوری از ۲۲ متغیر (عنصر) اندازه‌گیری شده، ۶ متغیر فاکتوری بدست آمده که می‌توان این متغیرها را مهمترین متغیرهای کنترل کننده در نظر گرفت. برای انکاس بهینه اطلاعات و داده‌ها و نیز تحلیل و تفسیر داده‌ها می‌توان این متغیرهای فاکتوری را به حداقل رساند تا حداکثر تغییرپذیری بین داده‌ها را توجیه نمود.

آنالیز ویژگی روش دیگری برای کاهش این متغیرها است و در واقع هدف از آنالیز ویژگی کاهش متغیرها و داده‌ها به‌نحوی که انکاس دهنده اکثر تغییرات باشد. این متغیر می‌تواند به عنوان برآیند تمام متغیرهای اولیه محسوب گردد. شکل (۶-۲۸) نقشه آنالیز ویژگی این فاکتورها می‌باشد.

### جداسازی آنومالی‌ها از جامعه زمینه به روش P.N

در برداشت‌های اکتشافی توزیع فراوانی داده‌ها به علت چولگی زیاد اغلب لاغ نرمال می‌باشد. در این برداشت‌ها مقادیر بزرگ تابع توزیع آنومالی‌ها را تشکیل می‌دهند. این مقادیر که از بقیه داده‌ها (زمینه) قابل تفکیک هستند می‌توانند معرف مناطق امیدبخش برای پیدایش کانی‌سازی اقتصادی باشند.

روش P.N یکی از روش‌های آماری مختلفی است که جدایش و تشخیص مناطق آنومالی از زمینه ارائه شده است. در این روش فقط مقدار اندازه‌گیری شده برای نمونه مورد توجه قرار

می‌گیرد و موقعیت فضایی نقاط نمونه‌برداری در نظر گرفته نمی‌شود. پایه و اساس این روش، حساب احتمالات است. منطق روش P.N در جدایش مقادیر آنومالی بر دو اصل بنا شده است: یکی افزایش مقدار متغیر و دیگری افزایش فراوانی نسبی آن. بنابراین شدت هر آنومالی تابع دو عامل است.

۱- احتمال پیدایش نمونه‌ای با مقادیر مطلوب مورد نظر ( $P$ )، که هر چه این احتمال کوچکتر باشد شدت آنومالی در نمونه معرف آن بیشتر خواهد بود.

۲- تعداد نمونه‌های برداشت شده ( $N$ )، که هر چه این مقدار کوچکتر باشد شدت آنومالی قوی‌تر است.

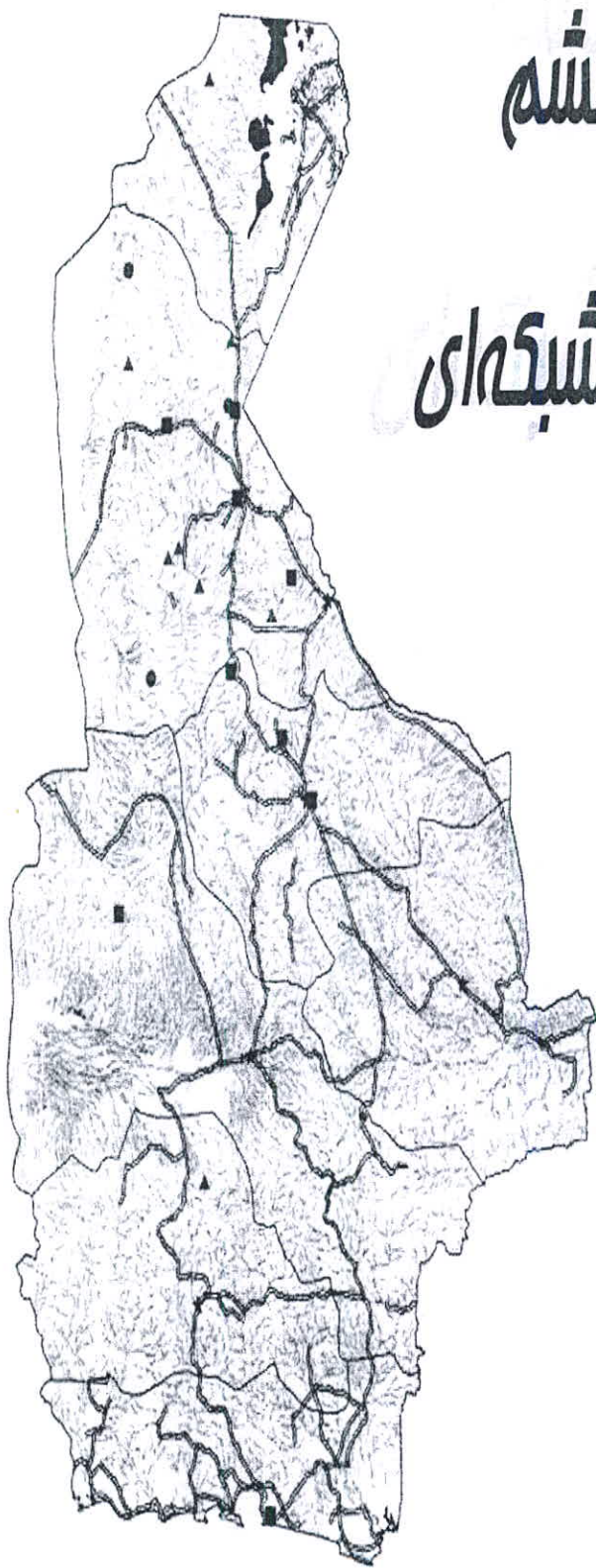
بنابراین حاصل ضرب دو عامل فوق یعنی  $P.N$  می‌تواند به عنوان معیاری برای انتخاب آنومالی‌ها محسوب گردد، بدیهی است هر چه این مقدار کوچکتر از واحد باشد آنومالی‌ها دارای شدت بیشتری می‌باشند. مقدار  $P$  برای هر عنصر در هر نمونه برابر احتمال رخداد عیارهای بزرگتر یا مساوی مقدار متغیر مورد بررسی در نمونه مورد نظر است.

معمولأً برای آنکه با مقادیر عددی خیلی کوچک برخورد نشود به جای  $N$  می‌توان از مقدار  $P.N/1$  استفاده کرد. در این صورت هر چه مقدار  $N/1$  بزرگتر از واحد باشد آنومالی مورد نظر با اهمیت‌تر است. نکته مهمی که در روش P.N باید به آن توجه نمود این است که این روش نسبت به تابع توزیع بسیار حساس می‌باشد، زیرا مقادیر احتمال پیدایش براساس تابع توزیع نرمال محاسبه می‌شود لذا لازم است که یا داده‌ها دارای توزیع نرمال باشند و یا با استفاده از روش‌های تبدیل، به توزیع نرمال تبدیل شوند. نتایج حاصل از روش P.N در جدول (۷-۵) و شکل (۲۷-۶) آمده است.

*Table (5-7) : Anomaly Samples by 1/(P.N) Method*

# فصل ششم

## تەمین شىكەرى



## تخمین شبکه‌ای داده‌ها:

بهینه‌سازی پژوهه‌های اکتشافی و کاهش هزینه‌های این پژوهه‌ها از جمله اهدافی است که جهت

نیل به آن از تکنیکهای آماری مختلفی استفاده می‌شود.

تخمین شبکه یکی از روش‌هایی است که با استفاده از داده‌های مربوط به نقاط نمونه‌برداری،

تخمین‌هایی در مورد نقاطی که از آنها نمونه‌برداری صورت نگرفته انجام می‌دهد. با توجه به

گسترده‌گی مناطق تحت پوشش اکتشافات به روش رسوبات آبراهه‌ای و نیز چگالی پایین

نمونه‌برداری بخصوص در ایران روش تخمین شبکه کارآیی بهتری دارد.

تخمین شبکه به روش‌هایی است که امکان می‌دهد تا نتایج حاصل از تخمین اطلاعاتی که مستقیماً

از سلولها بدست می‌آید را به سایر سلولها نسبت دهنند. این اطلاعات عموماً شامل فراوانی عناصر

و شاخص‌های غنی‌شده مربوط به آنها می‌شوند.

در چنین حالتی افزایش تعداد سلولهایی که در مورد آنها داده‌ای بدست می‌آید، موجب

می‌گردد تا ارتباط منطقی بین فراوانی یک عنصر در سلولها ظاهر گشته و امکان ارزیابی منطقه

بندی موجود در نقشه توزیع یک عنصر فراهم گردد برای مثال اگر آنومالی توسط مقادیر زمینه

محصور گردد. در این صورت این مدل تغییرات تدریجی از حد زمینه به حد آستانه و از حد آستانه

به آنومالی موجب افزایش اعتبار آنومالی خواهد گردید.

تبديل یک شبکه نامنظم نمونه‌برداری به یک شبکه منظم از امتیازات دیگر تخمین شبکه

است. مهمترین ویژگی رسوبات آبراهه‌ای به منظور ارزیابی پتانسیل کانی‌سازی می‌تواند ناشی از

این واقعیت باشد که مقدار هر متغیر در رسوبات رودخانه‌ای دارای خاصیت برداری است و جهت

این بردار به طریقی است که همواره فقط برای ناحیه بالادست خود صادق است به عبارت دیگر

ارقام حاصل از بررسی رسوبات آبراههای برخلاف سایر روش‌های ژئوشیمیایی خاصیت جهت یافتنگی

دارند و همواره انعکاس دهنده تغییرات در بالادست خود می‌باشند.

روش تخمین شبکه به نحوی طراحی گردیده که این اثر مهم را به حساب آورد. این تکنیک بر

اساس برداری بودن داده‌های رسوبات آبراههای بنا گردیده است، بدین صورت که داده‌های حاصل

از برداشت رسوبات آبراههای فقط شامل اطلاعات حوضه آبریز بالادست خود بوده و نمی‌تواند در

تخمین نقطه‌ای که در پائین دست آنها قرار دارد، شرکت کند. لذا برای درون‌یابی چنین داده‌های

جهت‌دار، ابتدا باید مرز حوضه آبریز مربوط به نمونه‌ها مشخص شده، سپس جهت داده‌ها که

می‌تواند در تخمین شرکت نماید مشخص شود. بدین صورت امکان معرفی ساختار تغییرپذیری

داده‌ها فراهم می‌گردد. بدیهی است بیشترین انطباق بین یک شکل هندسی با حوضه آبریز را در

یک چند ضلعی غیرمنتظم یافت. این چند ضلعیها یا به اصطلاح پلی گونه‌ها با استفاده از نقشه‌های

توپوگرافی و تصاویر ماهواره‌ای برای حوضه هر نمونه ترسیم می‌گردد.

برای نیل به این مقصود یک Extention تحت بسته نرم‌افزاری Arcview طراحی گردیده که به

صورت نیمه اتوماتیک بوده و با بهره‌گیری از نقشه‌های توپوگرافی و تصاویر ماهواره‌ای در حداقل

زمان و به بهترین نحو حوضه‌ها را ترسیم نموده و تا حد امکان حوضه‌های آبریز را اصلاح می‌نماید.

در روش تخمین شبکه‌ای ابتدا نقشه مورد نظر بوسیله شبکه‌ای از سلول‌های هم بعد پوشانده

می‌شود که بعد شبکه به مقیاس برداشته و دقت مورد نیاز بستگی دارد. عموماً در برگه‌های

۱/۱۰۰۰۰۰ تاکنون با شبکه‌های  $250 \times 250$  این تخمین انجام می‌گرفت که در این پروژه برای

اولین بار در ایران از شبکه‌های  $30 \times 30$  استفاده شده که به طور قابل توجهی به دقت این نقشه‌ها

می‌افزاید. در نهایت سه نوع وزن (شامل فاصله، مساحت و نسبت مساحت اشغال شده از سلول

مورد تخمین به مجموع مساحت‌های اشغال شده) برای هر سلول محاسبه گردیده و با توجه به این

وزان مقدار یک متغیر در هر یک از سلولهای شبکه تخمین زده می‌شود. نقش هر یک از وزنهای

سه‌گانه به شرح زیر است:

(۱) وزنی که می‌تواند منعکس کننده فاصله بین موقعیت نمونه و مرکز سلول شبکه مورد تخمین باشد. در این مورد عکس مجدوّر فاصله به عنوان وزن مورد نظر به کاربرده می‌شود.

(۲) وزنی که می‌تواند منعکس کننده نسبت آن قسمت از مساحت یک پلی‌گون که درون سلول خاصی واقع شده است به کل مساحت پلی‌گون باشد.

(۳) وزنی که می‌تواند منعکس کننده نسبت سهم مساحت یک پلی‌گون خاص به جمع مساحت پلی‌گونهای مختلفی که با مساحت‌های گوناگون سلول شبکه خاصی را اشغال می‌کند، باشد.

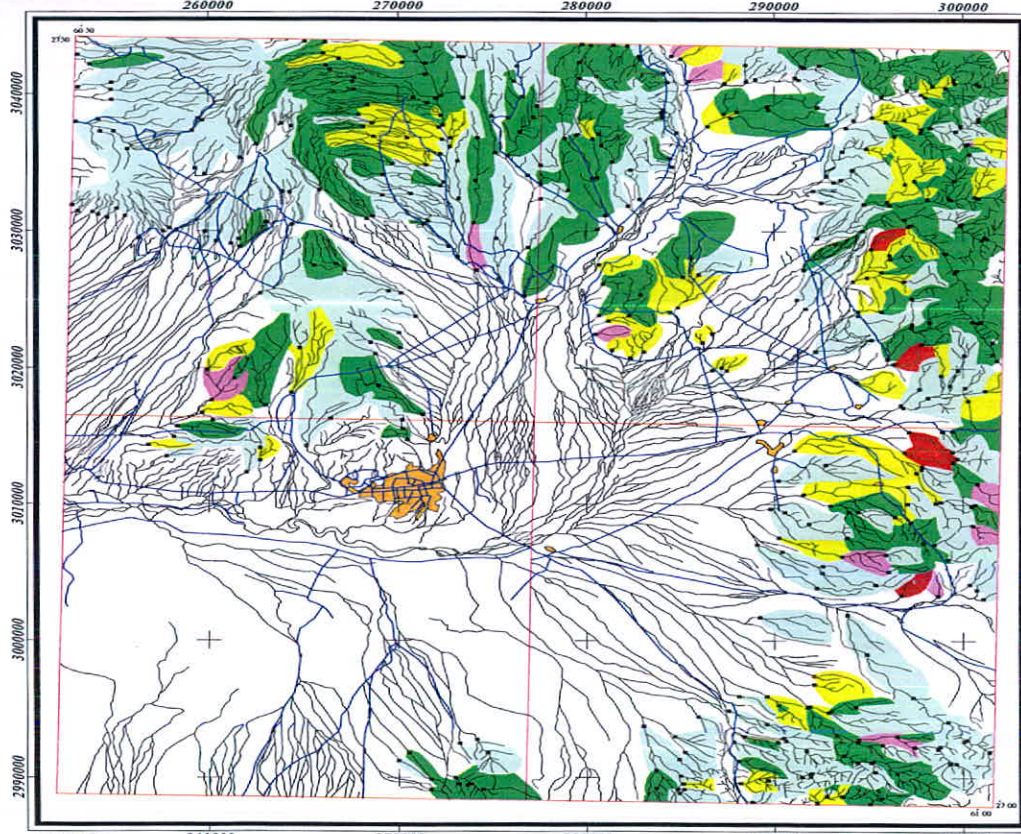
برای این منظور همین Extention دارای گزینه‌ای است که می‌تواند موارد آورده شده در بالا را محاسبه و انجام دهد، لذا در این پژوهه توسط این Extention یک بار داده‌های خام و یک بار داده‌های شاخص غنی‌شدگی مورد تخمین قرار گرفتند.

اشکال (۱-۶) الی (۲۱-۶) نقشه‌های داده خام و غنی‌شدگی هر عنصر را نشان می‌دهند. همچنین اشکال (۲۲-۶) الی (۲۷-۶) نقشه‌های حاصل از آنالیز فاکتوری داده‌های غنی‌شدگی می‌باشد.

شکل (۲۸-۶) نیز نقشه حاصل از محاسبه به روش P.N می‌باشد.

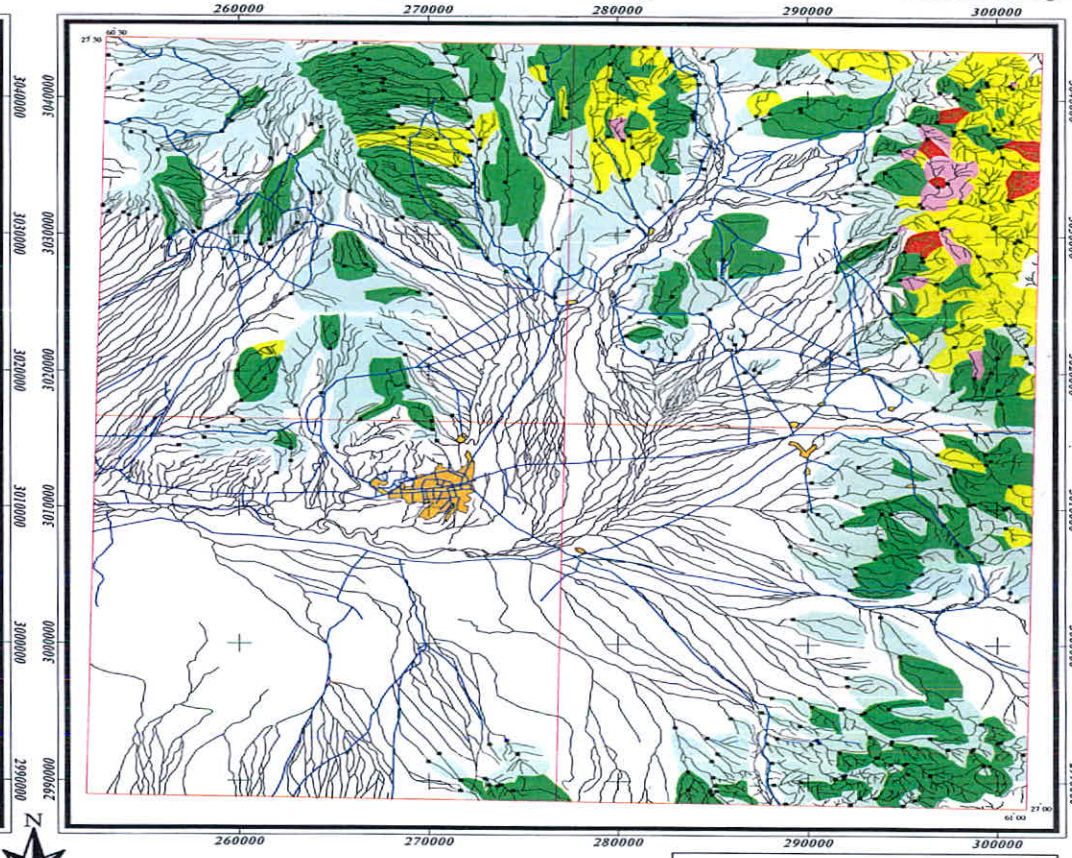
شکل (۲۹-۶) نیز نقشه حاصل از آنالیز ویژگی داده‌های آنالیز فاکتوری می‌باشد.

Anomaly Map of Enrichment Ag In Iranshahr Sheet  
(Number Sheet 8144)



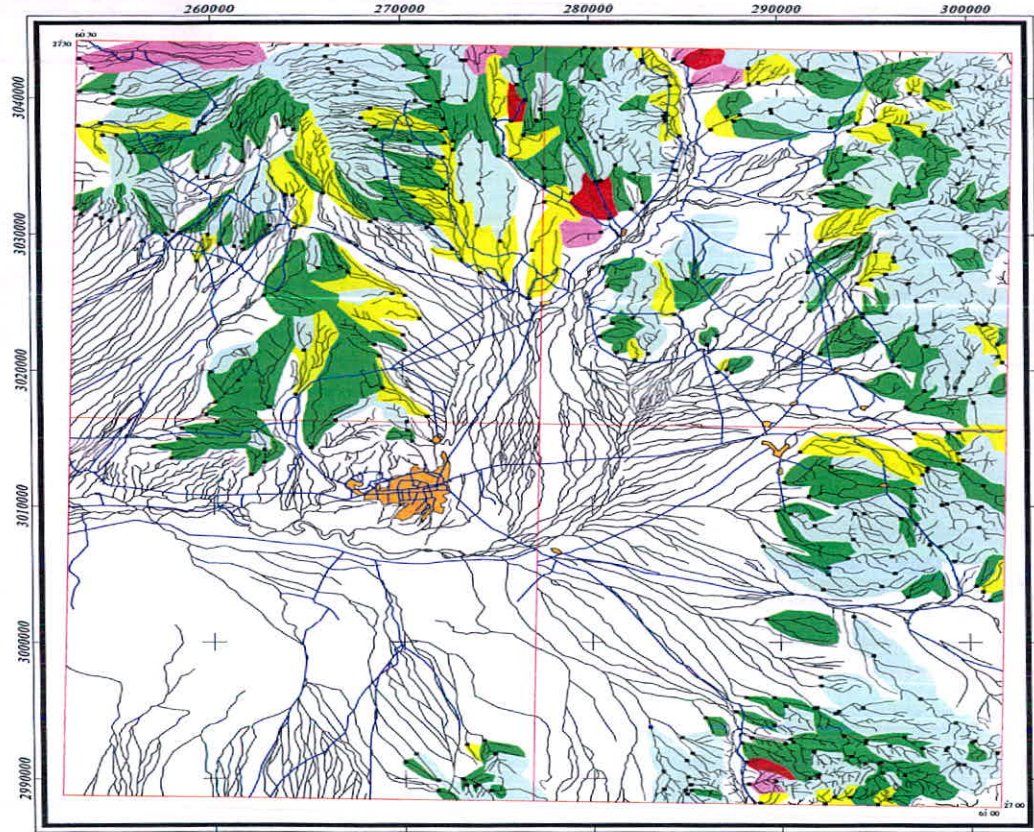
5 0 5 10 15 20 Km  
Scale 1:400,000

Anomaly Map of Raw Ag In Iranshahr Sheet  
(Number Sheet 8144)



نقشه آنومالی ژئوشیمیایی عنصر نقره  
برای داده‌های خام و غنی شده

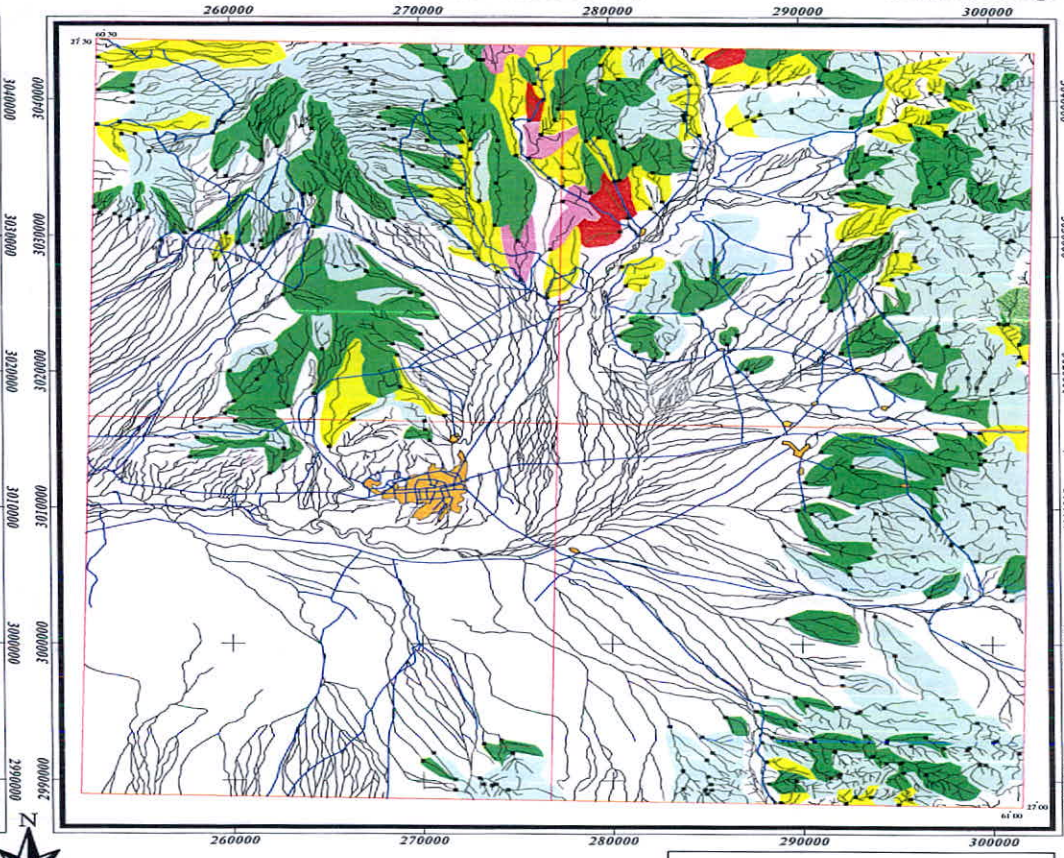
Anomaly Map of Enrichment As In Iranshahr Sheet  
(Number Sheet 8144 )



	Frequency Percent
City	0 - 50
Road	50 - 84
Sample Site	84 - 97.5
Drainage	97.5 - 99
	99 - 100

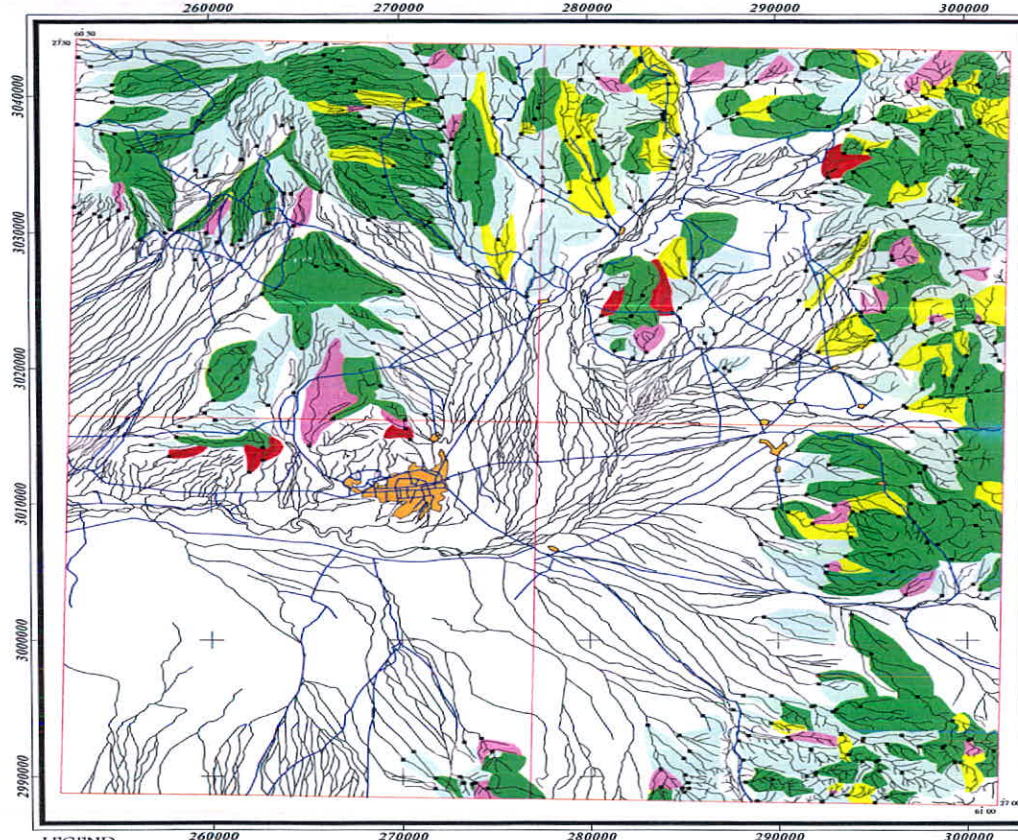


Anomaly Map of Raw As In Iranshahr Sheet  
(Number Sheet 8144 )



نقشه آنالیز ڈوشیمیابی عنصر آرسنیک  
برای داده های خام و غنی شده

Anomaly Map of Enrichment Au In Iranshahr Sheet  
(Number Sheet 8144)

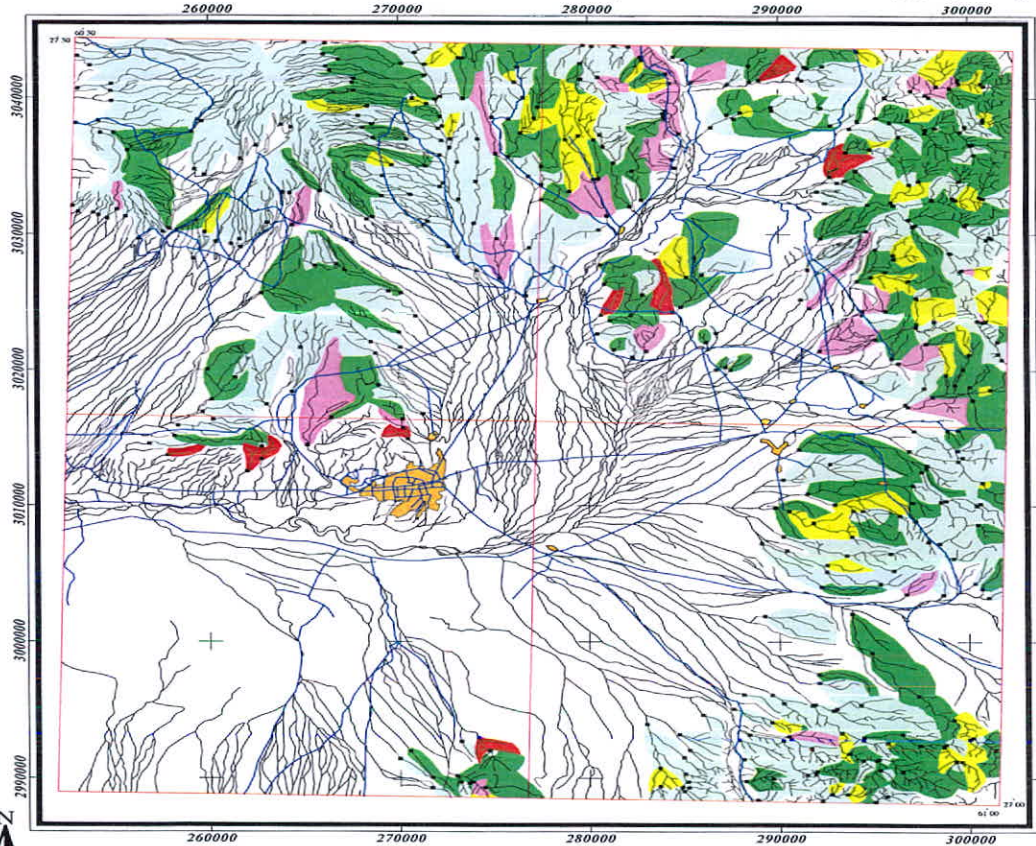


City	Frequency Percent
Road	0 - 50
Sample Site	50 - 84
Drainage	84 - 97.5
	97.5 - 99
	99 - 100



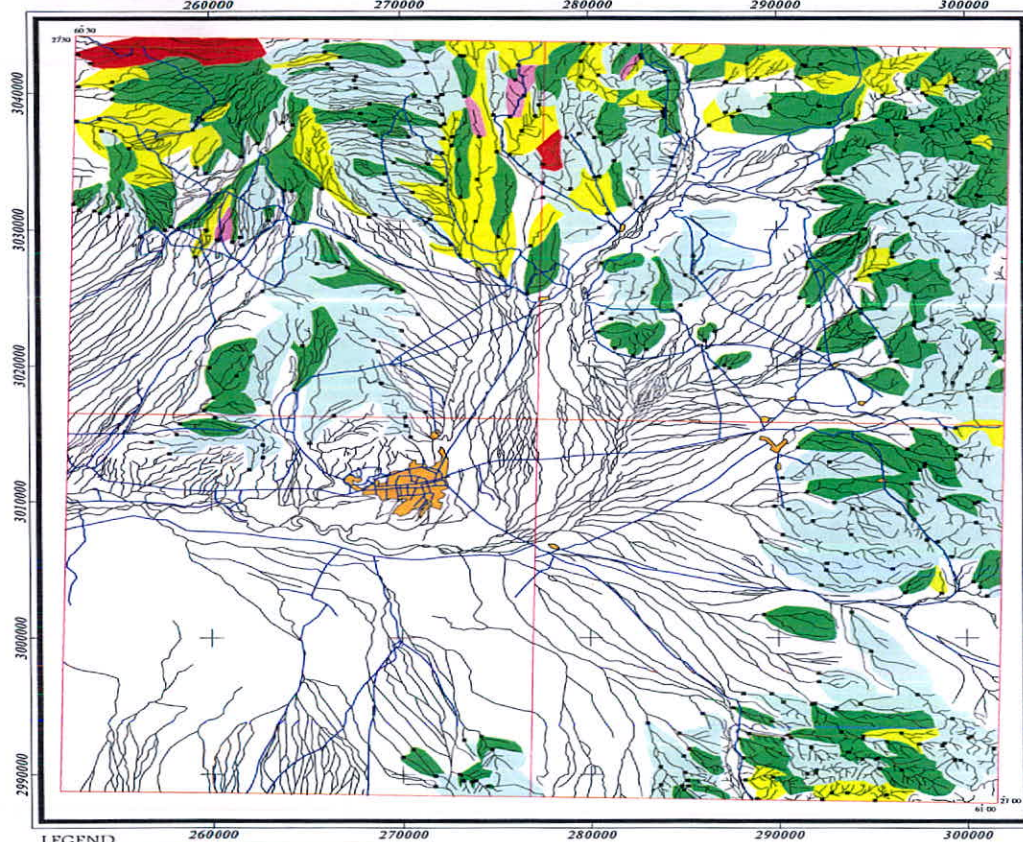
Scale 1:400,000

Anomaly Map of Raw Au In Iranshahr Sheet  
(Number Sheet 8144)



نقشه آنالیز ژئوشیمیایی عنصر طلا  
برای داده‌های خام و غنی شده

Anomaly Map of Enrichment Ba In Iranshahr Sheet  
(Number Sheet 8144 )

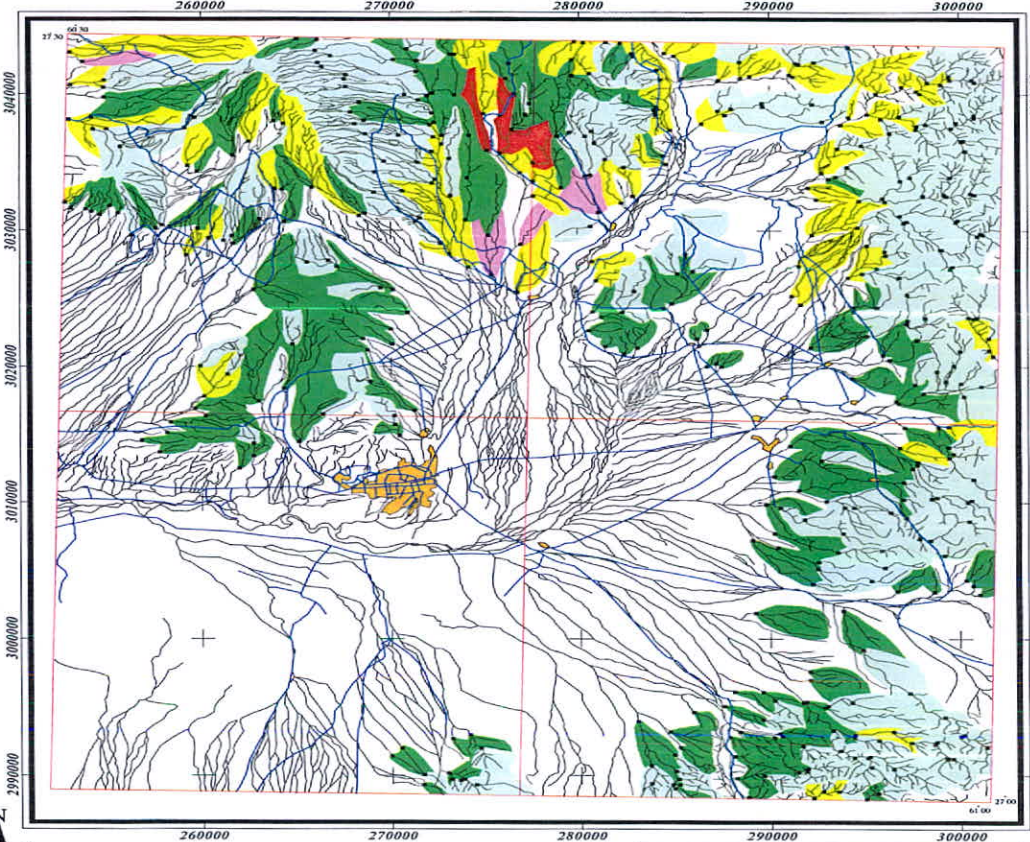


	Frequency Percent
City	0 - 50
Road	50 - 84
Sample Site	84 - 97.5
Drainage	97.5 - 99
	99 - 100



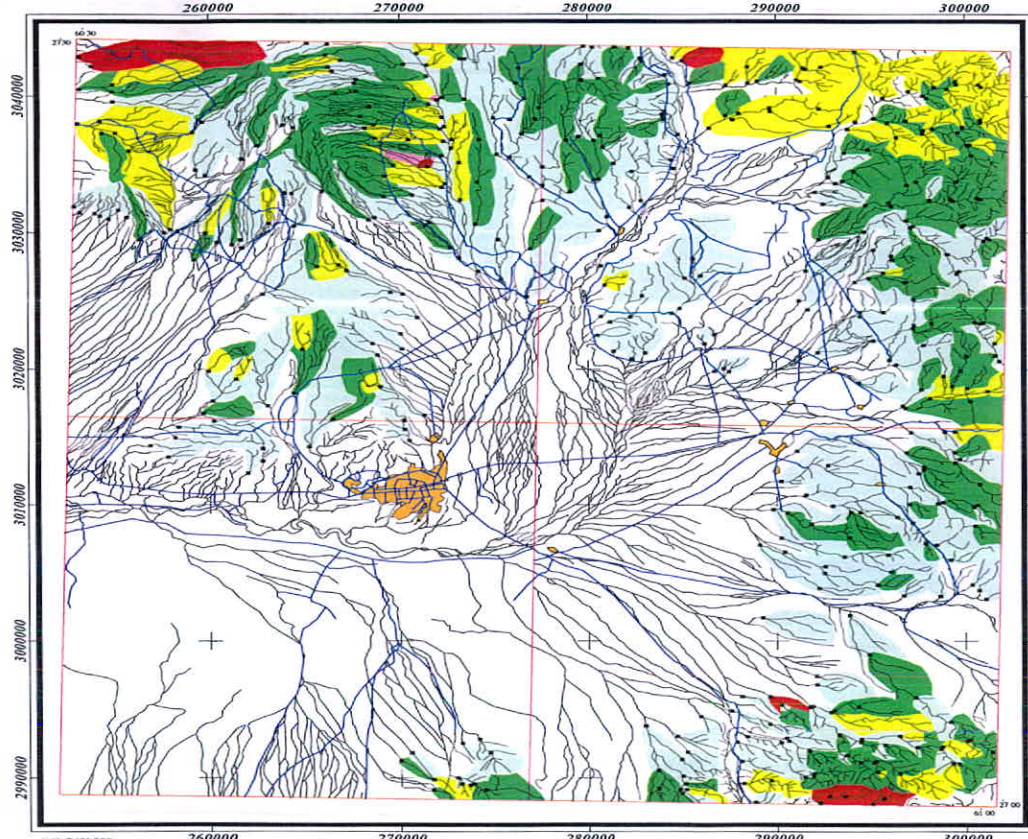
Scale 1:400,000

Anomaly Map of Raw Ba In Iranshahr Sheet  
(Number Sheet 8144 )



نقشه آنومالی ڈاؤشیمیابی عنصر باریم  
برای داده‌های خام و غنی شده

Anomaly Map of Enrichment Be In Iranshahr Sheet  
(Number Sheet 8144 )

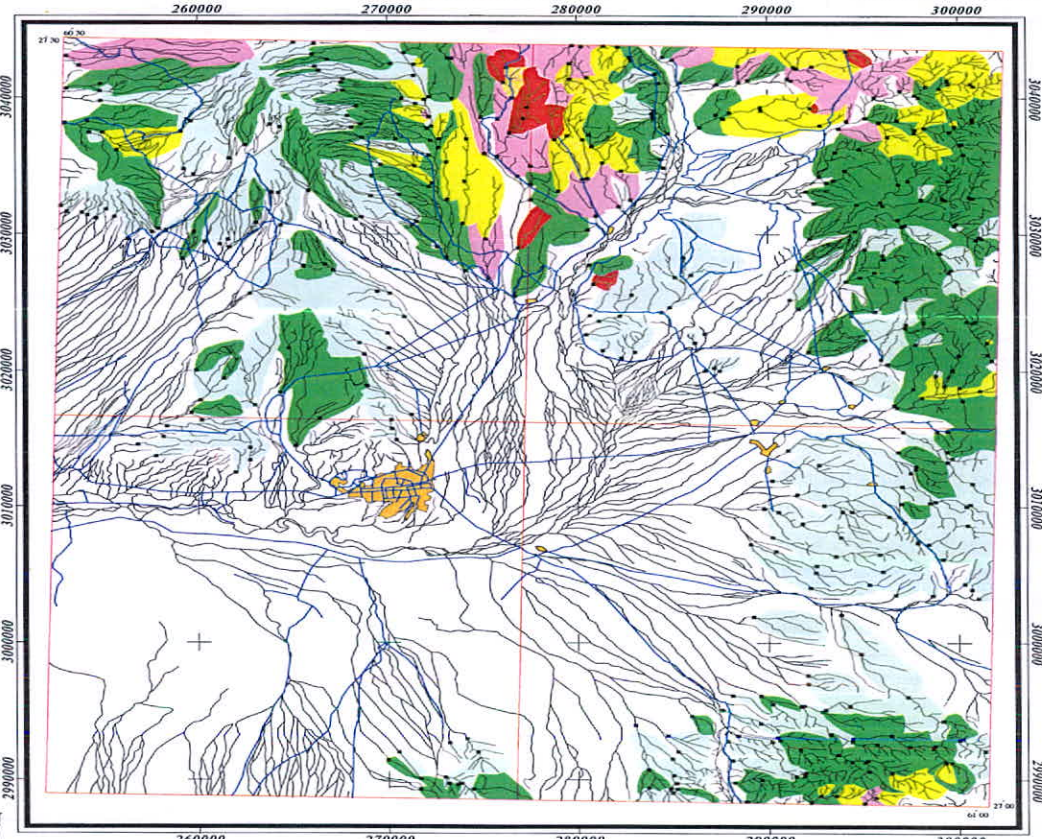


City	
Road	
Sample Site	
Drainage	



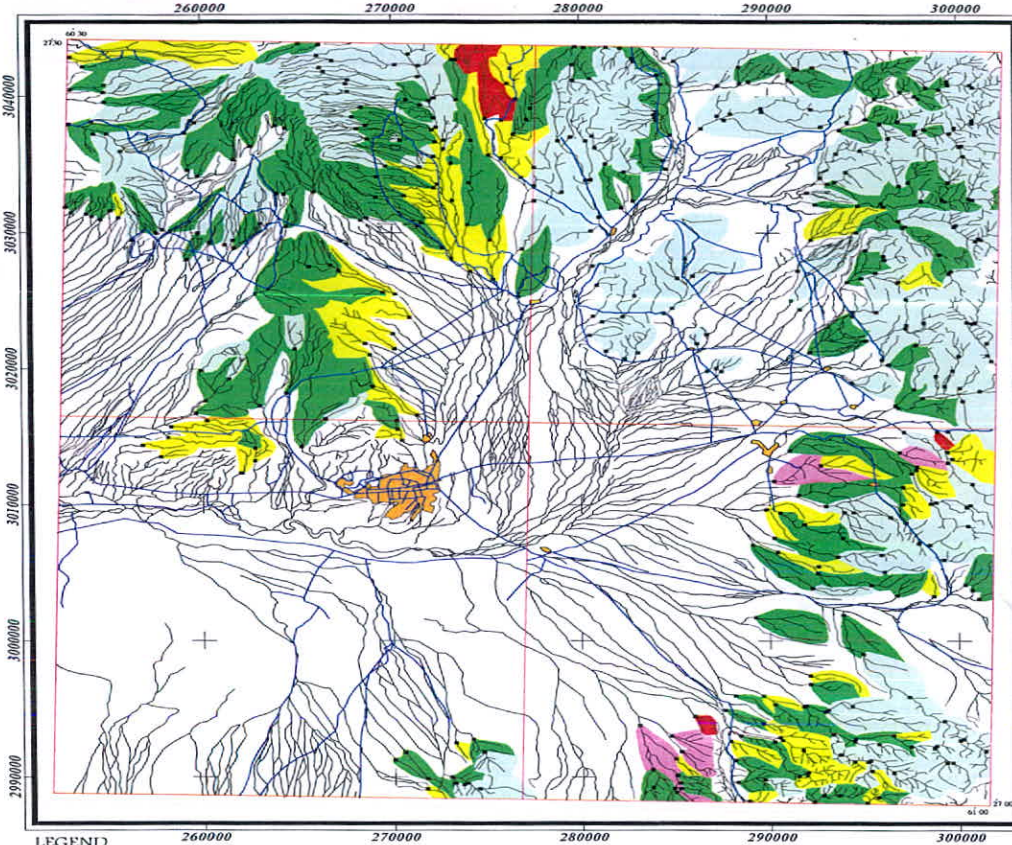
Scale 1:400,000

Anomaly Map of Raw Be In Iranshahr Sheet  
(Number Sheet 8144 )



نقشه آنومالی ژئوشیمیایی عنصر برلیم  
برای داده‌های خام و غنی شده

Anomaly Map of Enrichment Bi In Iranshahr Sheet  
(Number Sheet 8144 )

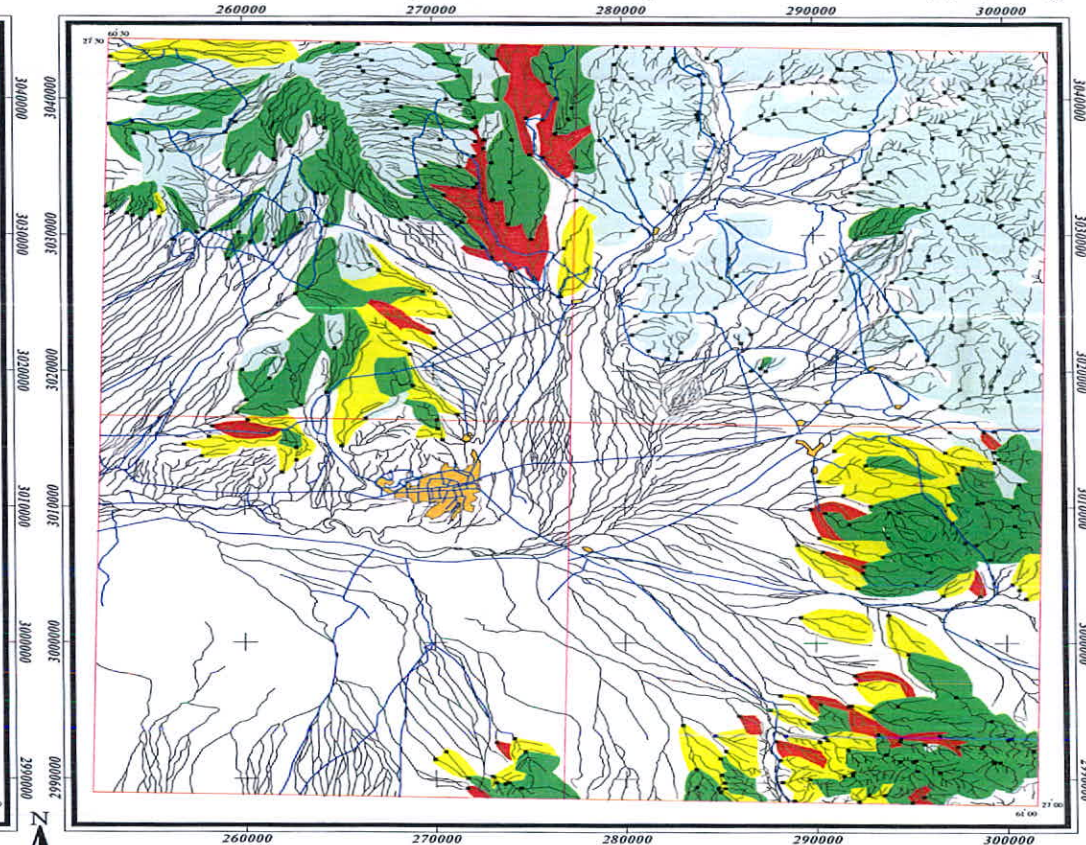


LEGEND	
City	Frequency Percent
Road	0 - 50
Sample Site	50 - 84
Drainage	84 - 97.5
	97.5 - 99
	99 - 100



Scale 1:400,000

Anomaly Map of Raw Bi In Iranshahr Sheet  
(Number Sheet 8144 )

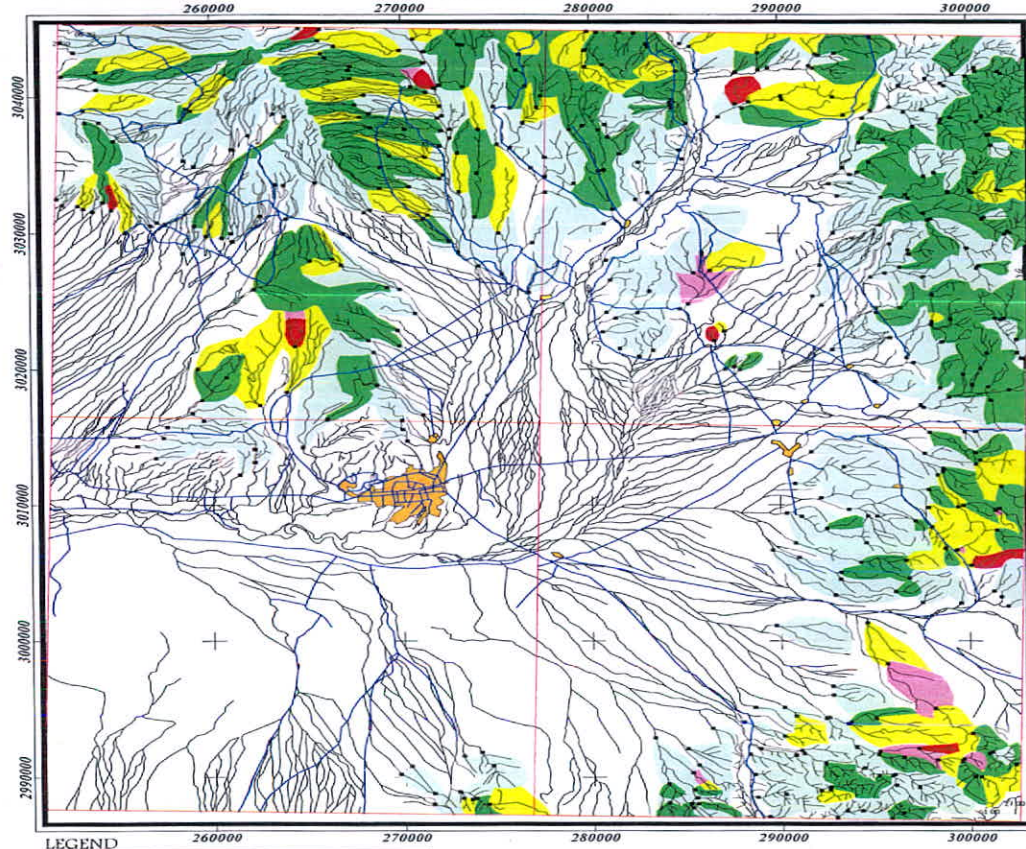


نقشه آنومالی ڈوشیمیابی عنصر بیسموت  
برای داده های خام و غنی شده

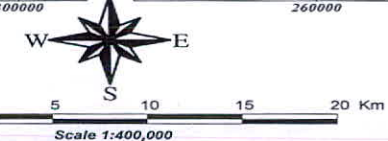
۱۳۸۲

شکل (۶-۶)

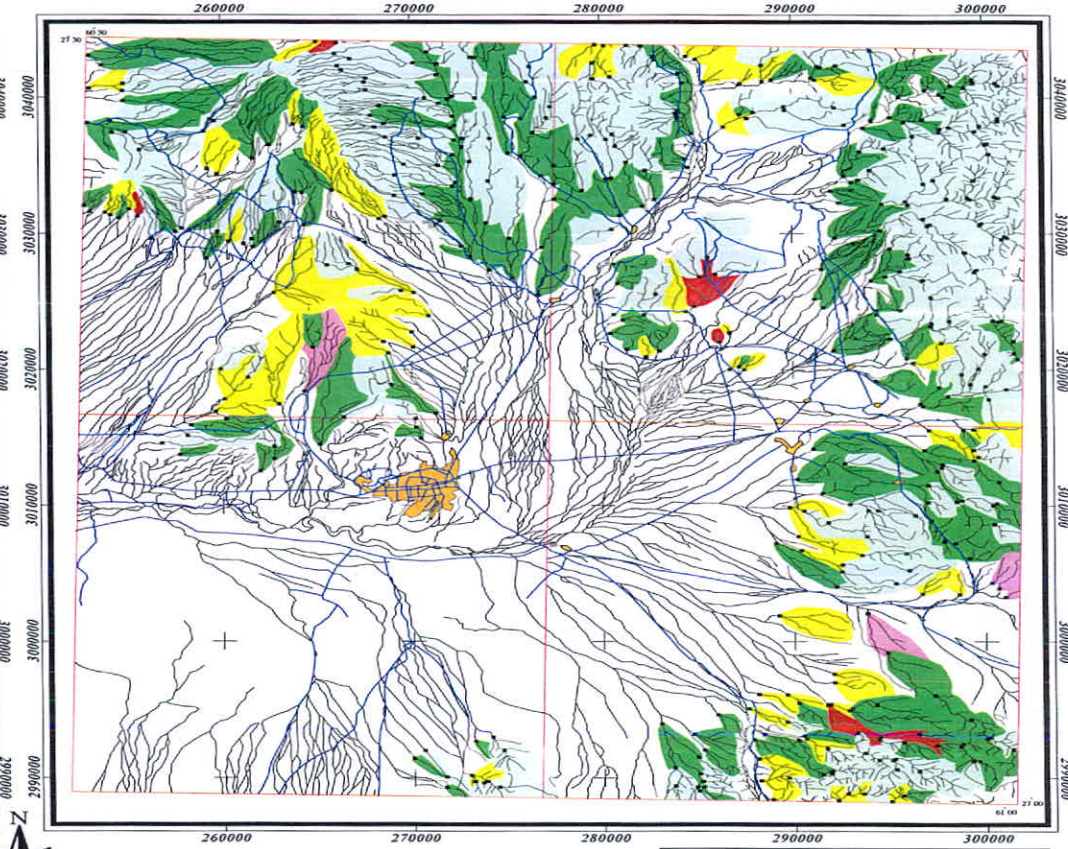
Anomaly Map of Enrichment Co In Iranshahr Sheet  
(Number Sheet 8144 )



	Frequency Percent
City	0 - 50
Road	50 - 84
Sample Site	84 - 97.5
Drainage	97.5 - 99
	99 - 100

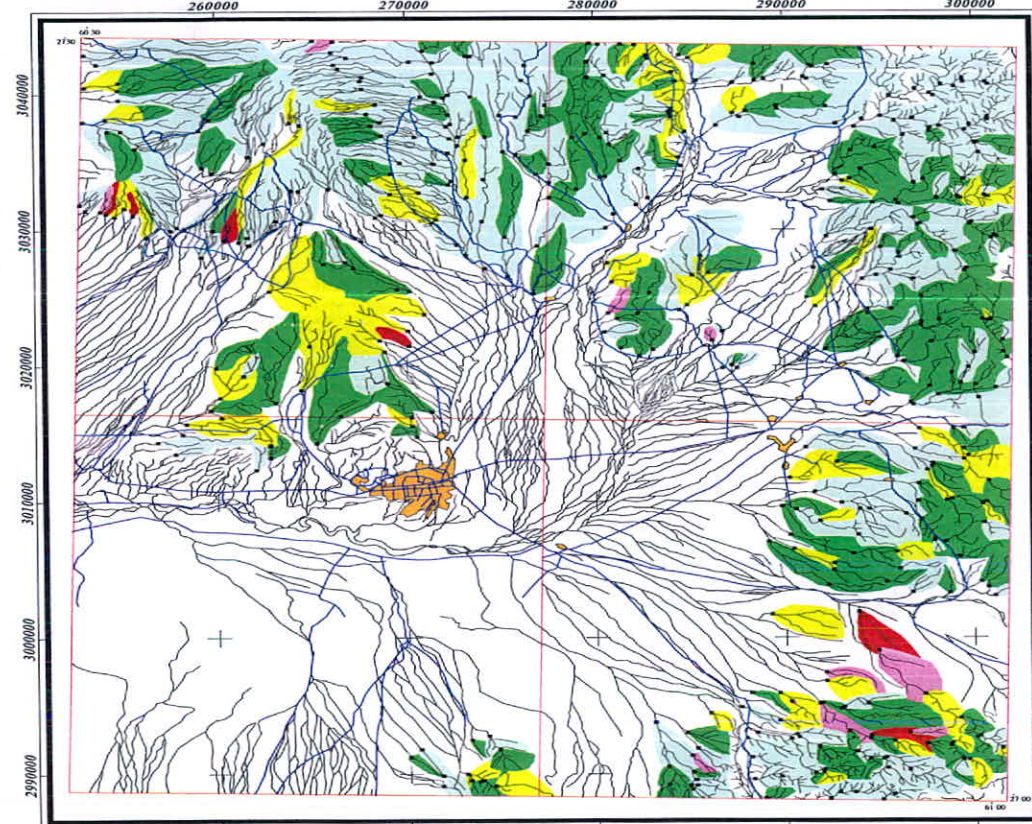


Anomaly Map of Raw Co In Iranshahr Sheet  
(Number Sheet 8144 )

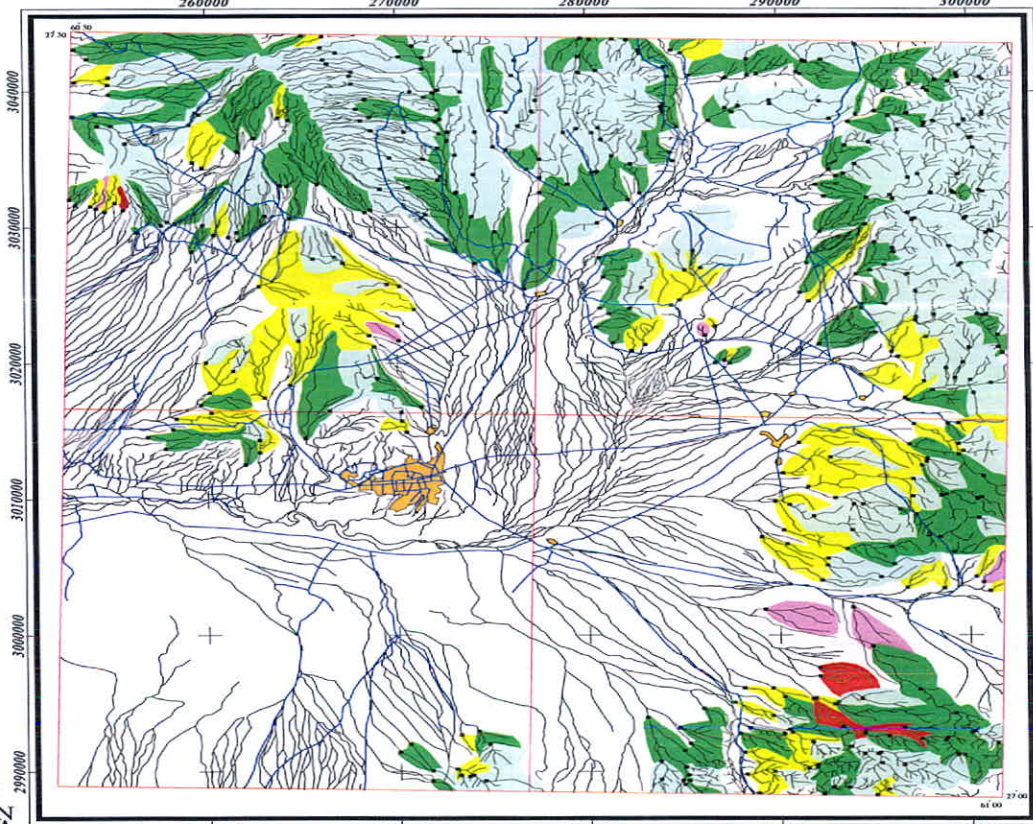


نقطه آنومالی ژئوشیمیایی عنصر کبالت برای داده های خام و غنی شده	شکل (۷-۶)
۱۳۸۲	(۷-۶)

Anomaly Map of Enrichment Cr In Iranshahr Sheet  
(Number Sheet 8144 )



Anomaly Map of Raw Cr In Iranshahr Sheet  
(Number Sheet 8144 )



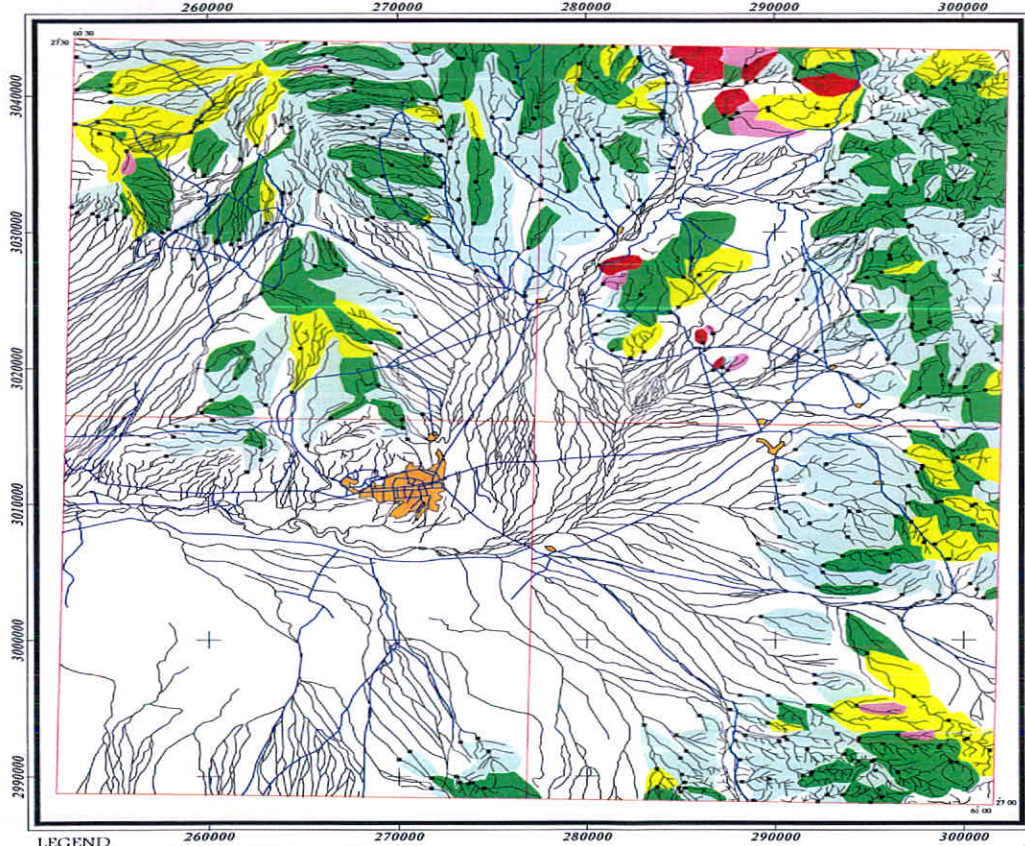
	Frequency Percent
City	0 - 50
Road	50 - 84
Sample Site	84 - 97.5
Drainage	97.5 - 99
	99 - 100



5 0 5 10 15 20 Km  
Scale 1:400,000

نقشه آنومالی ژئوشیمیایی عنصر کرم  
برای داده‌های خام و غنی شده

Anomaly Map of Enrichment Cu In Iranshahr Sheet  
(Number Sheet 8144 )

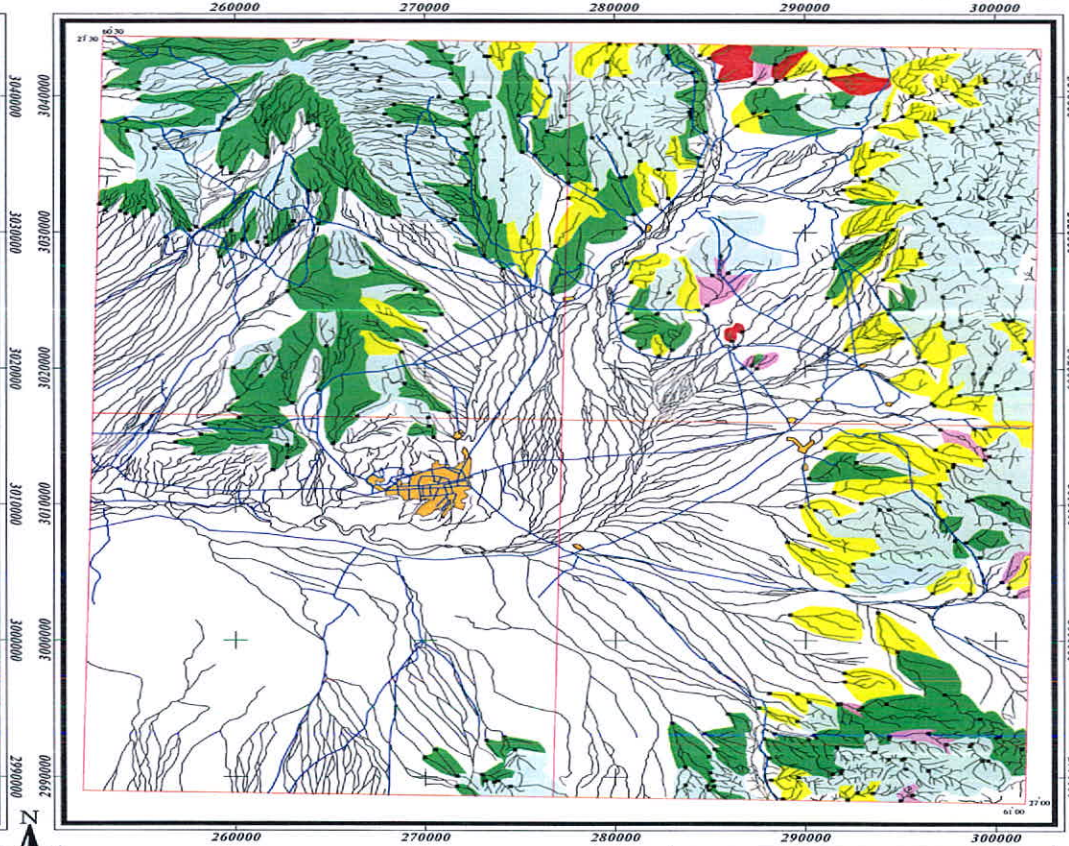


	Frequency Percent
	0 - 50
	50 - 84
	84 - 97.5
	97.5 - 99
	99 - 100



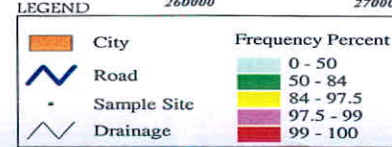
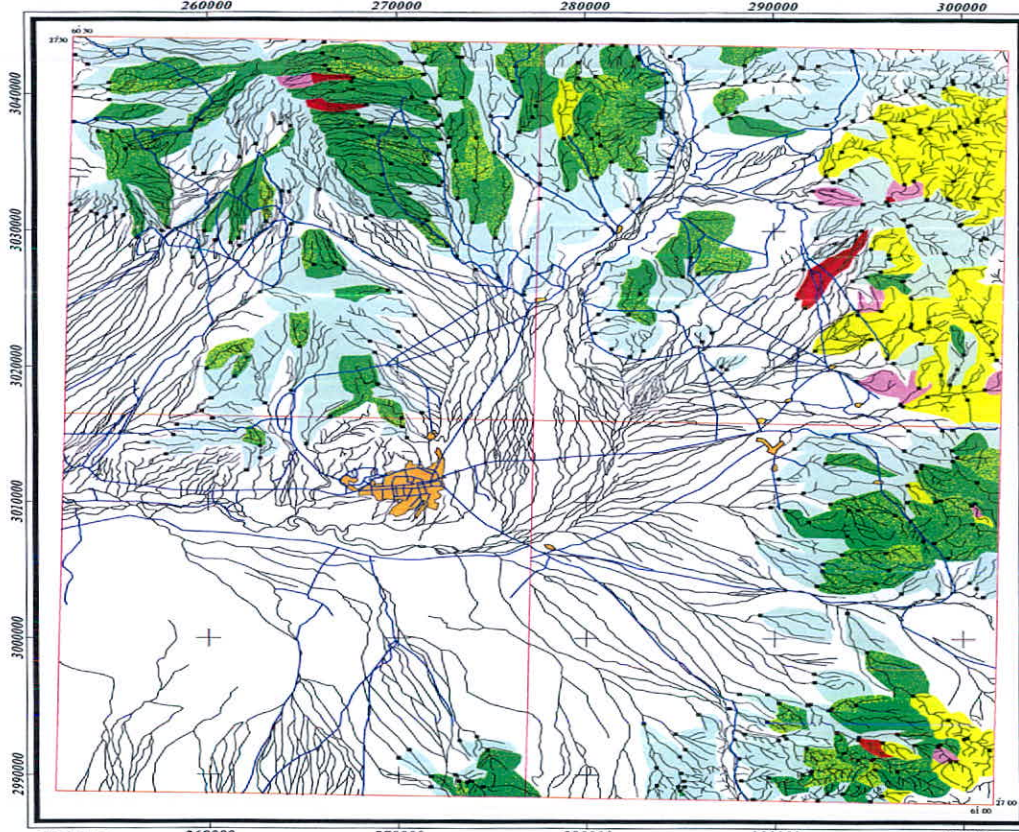
Scale 1:400,000

Anomaly Map of Raw Cu In Iranshahr Sheet  
(Number Sheet 8144 )

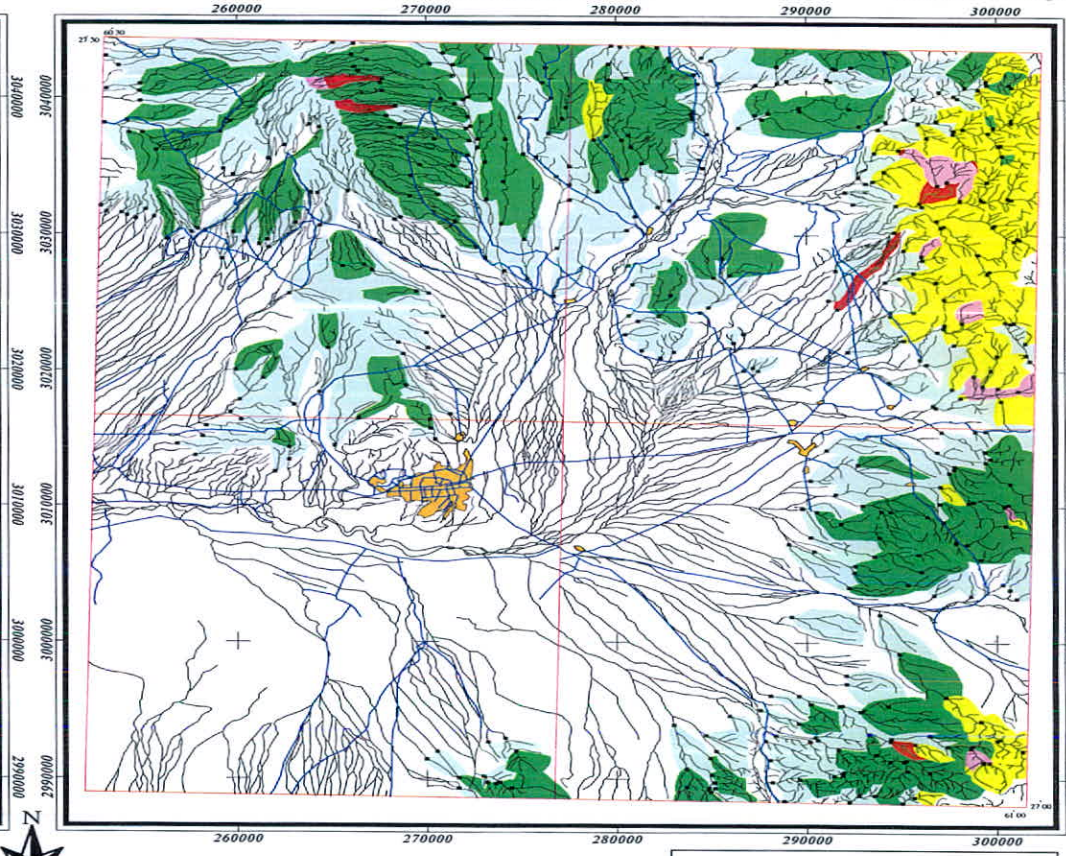


نقشه آنومالی ژئوشیمیایی عنصر مس  
برای داده های خام و غنی شده

Anomaly Map of Enrichment Hg In Iranshahr Sheet  
(Number Sheet 8144 )

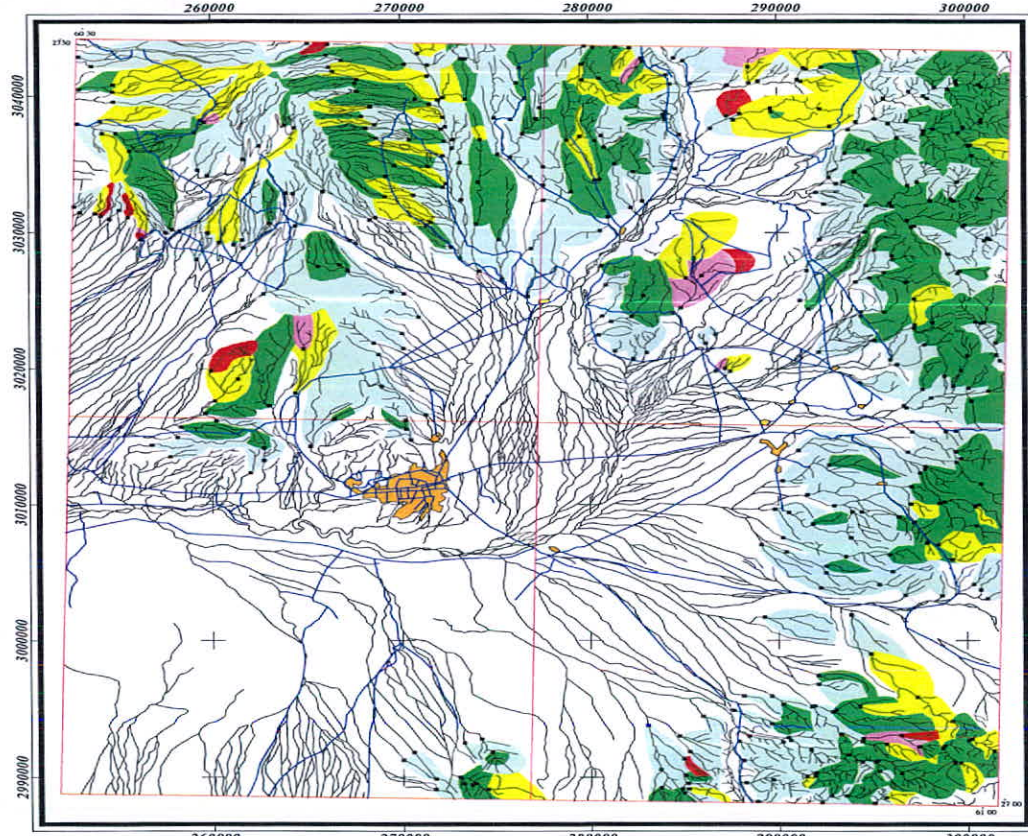


Anomaly Map of Raw Hg In Iranshahr Sheet  
(Number Sheet 8144 )



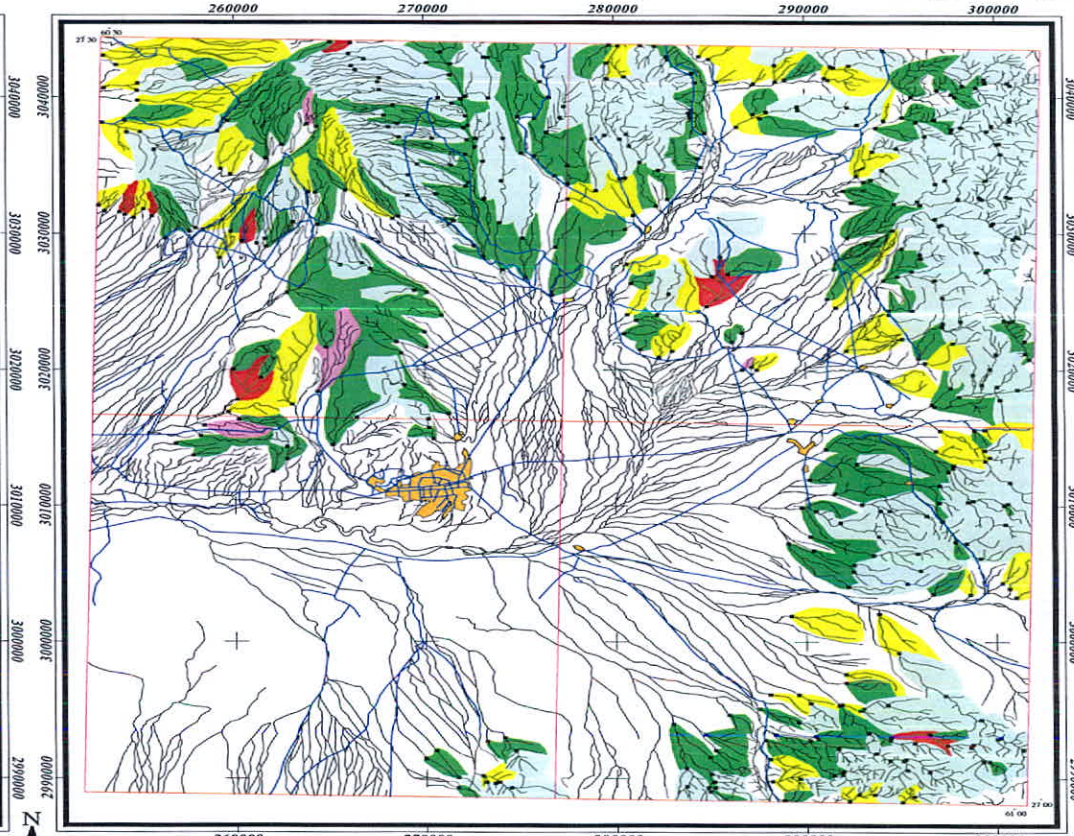
نقشه آنومالی ذوشیمیابی عنصر جیوه  
برای داده های خام و غنی شده

Anomaly Map of Enrichment Mn In Iranshahr Sheet  
(Number Sheet 8144 )



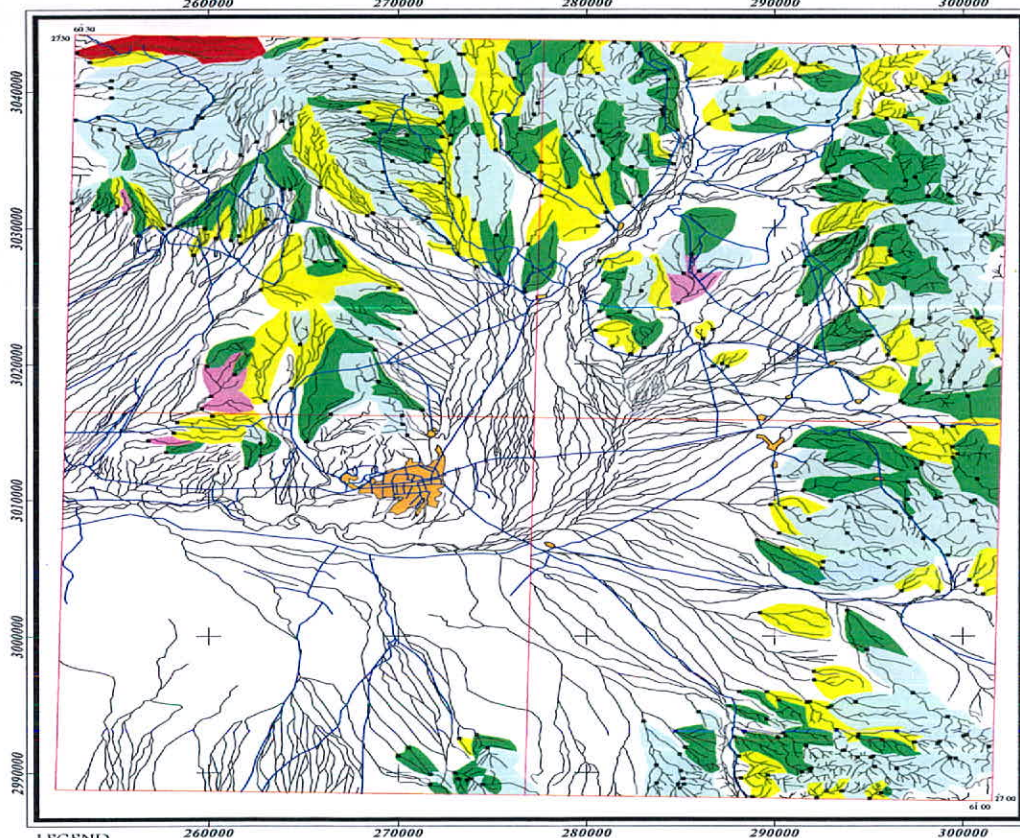
Scale 1:400,000

Anomaly Map of Raw Mn In Iranshahr Sheet  
(Number Sheet 8144 )



نقشه آنالیز ژئوشیمیایی عنصر منگنز  
برای داده‌های خام و غنی شده

Anomaly Map of Enrichment Mo In Iranshahr Sheet  
(Number Sheet 8144 )

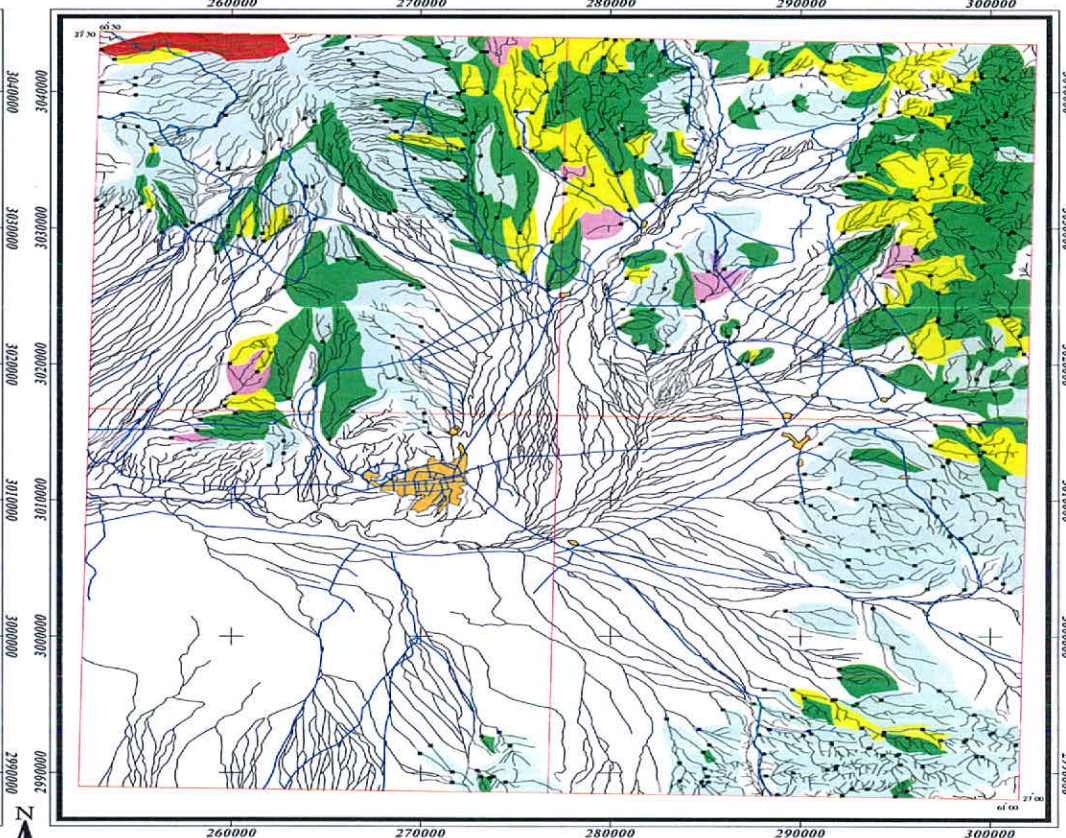


	Frequency Percent
City	0 - 50
Road	50 - 84
Sample Site	84 - 97.5
Drainage	97.5 - 99
	99 - 100



Scale 1:400,000  
5 0 5 10 15 20 Km

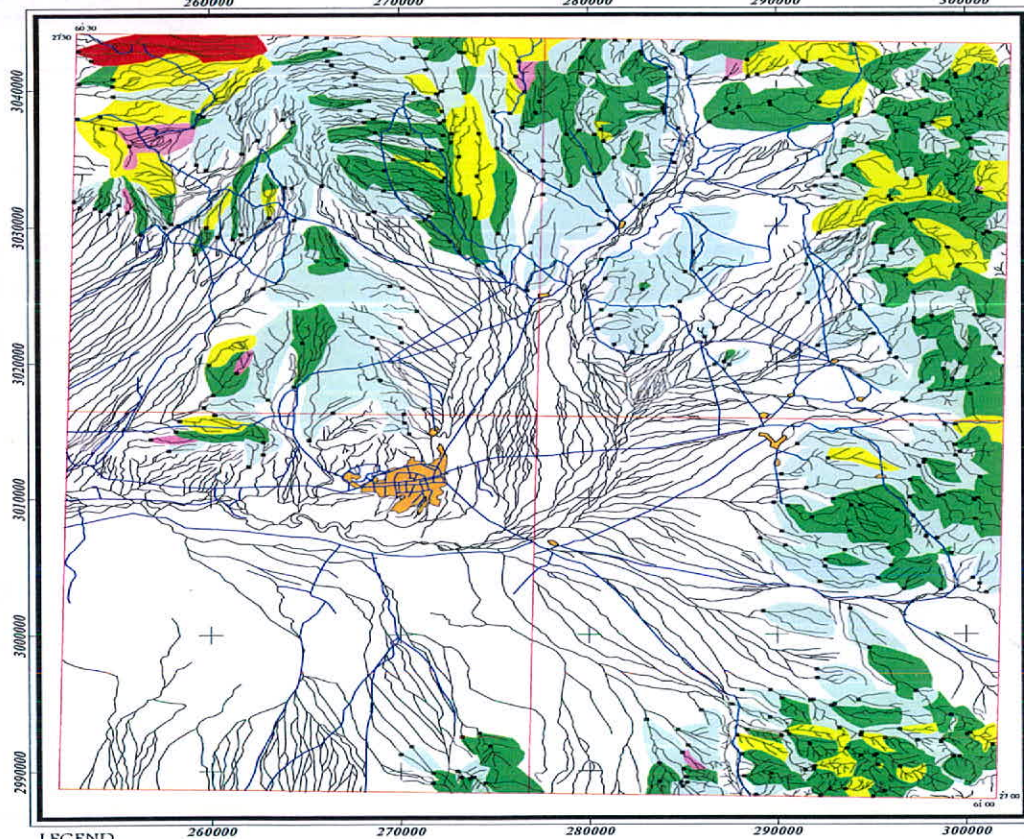
Anomaly Map of Raw Mo In Iranshahr Sheet  
(Number Sheet 8144 )



نقشه آنومالی ڈوشیمیایی عصر مولیبدن  
برای اداده‌های خام و غنی شده



Anomaly Map of Enrichment Pb In Iranshahr Sheet  
(Number Sheet 8144 )



	Frequency Percent
City	0 - 50
Road	50 - 84
Sample Site	84 - 97.5
Drainage	97.5 - 99
	99 - 100



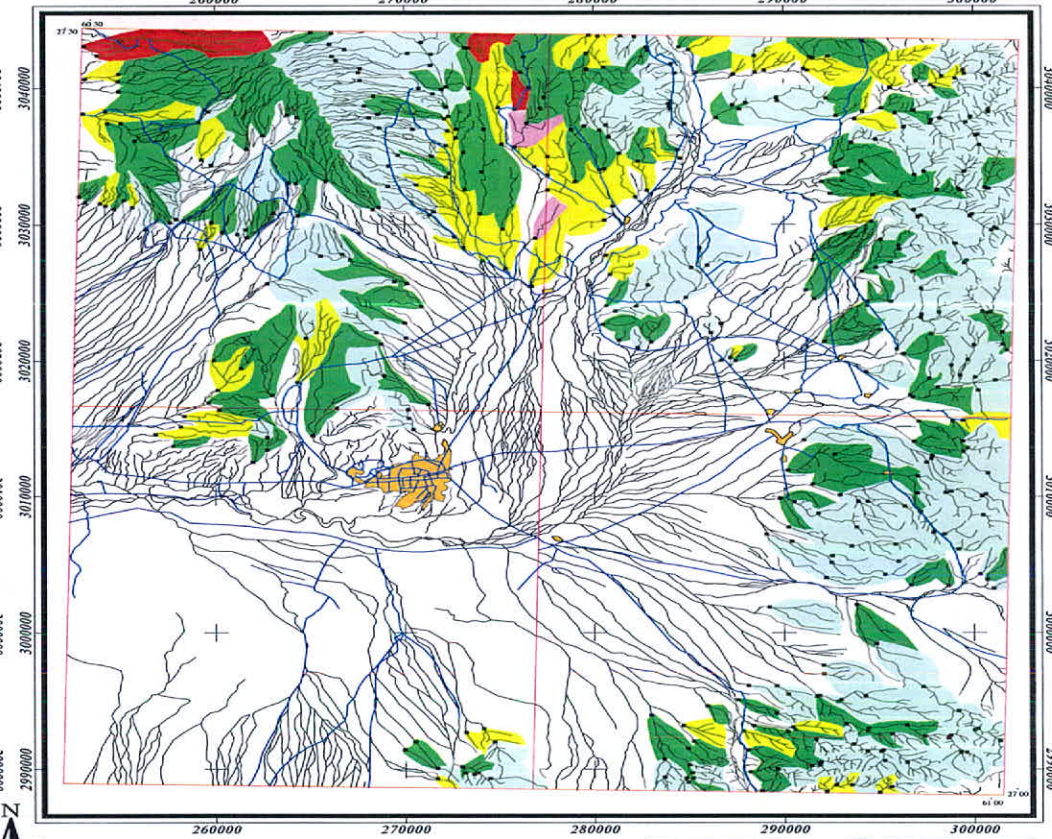
W E

N S

NE SE NW SW

5 0 5 10 15 20 Km  
Scale 1:400,000

Anomaly Map of Raw Pb In Iranshahr Sheet  
(Number Sheet 8144 )

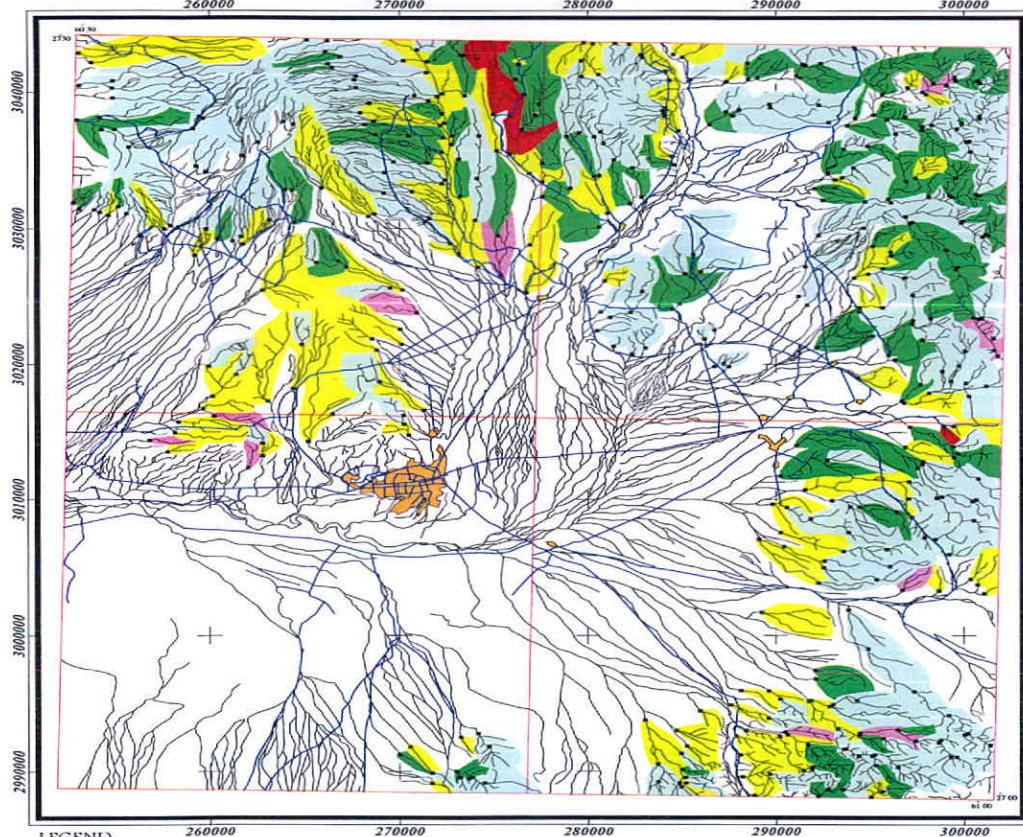


نقشه آنومالی ڈوشیمیابی عنصر سرب  
برای داده های خام و غنی شده

۱۳۸۲

شکل (۱۴-۶)

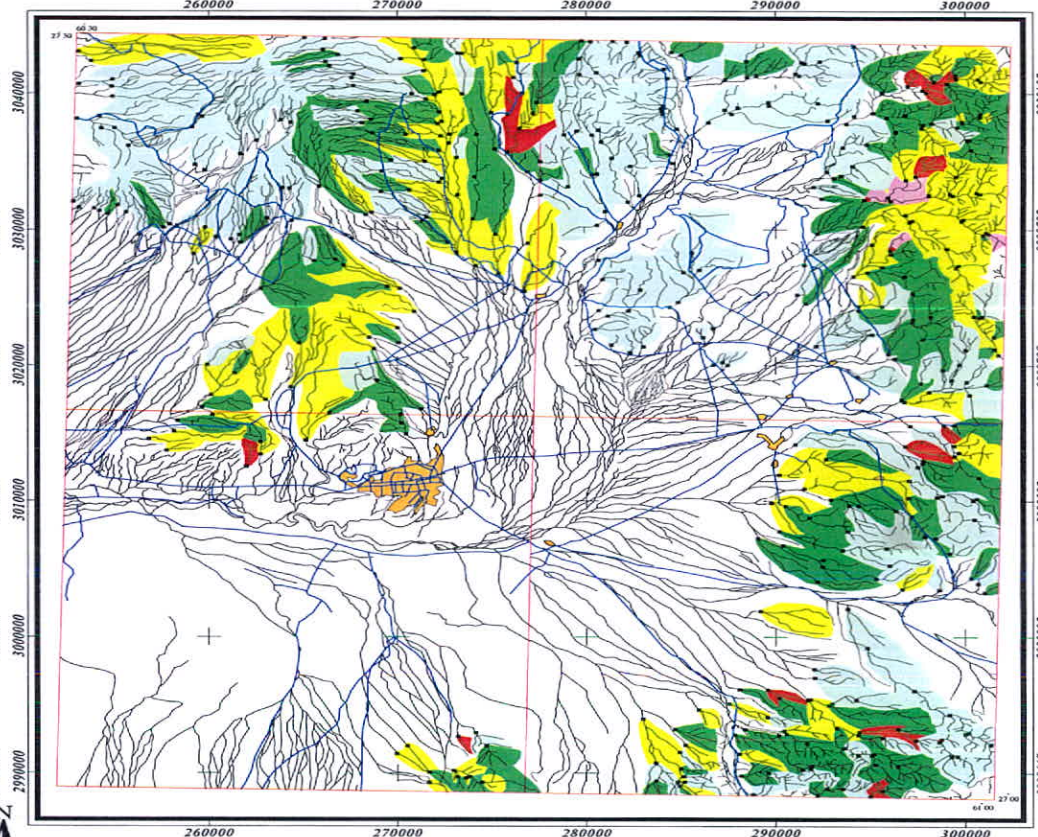
Anomaly Map of Enrichment Sb In Iranshahr Sheet  
(Number Sheet 8144)



	Frequency Percent
City	0 - 50
Road	50 - 84
Sample Site	84 - 97.5
Drainage	97.5 - 99
	99 - 100

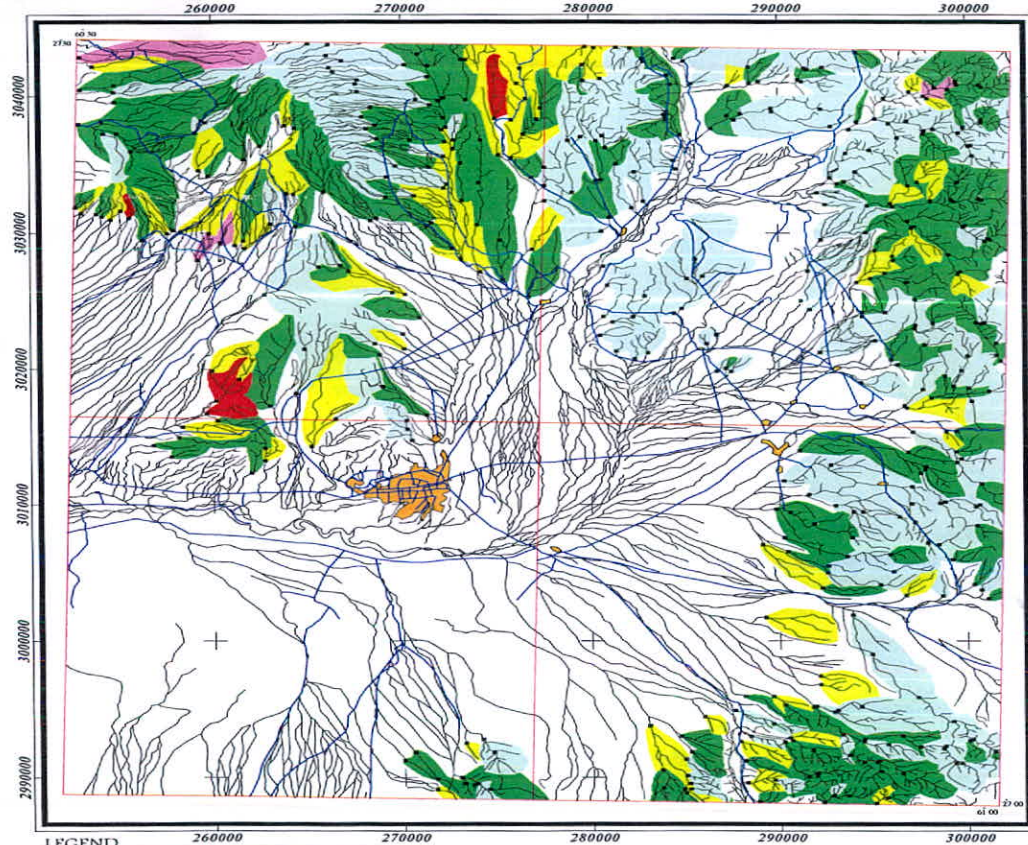


Anomaly Map of Raw Sb In Iranshahr Sheet  
(Number Sheet 8144)



نقشه آنومالی ڈوشیمیای عصر آتیسوان  
برای داده‌های خام و غنی شده

Anomaly Map of Enrichment Sn In Iranshahr Sheet  
(Number Sheet 8144 )

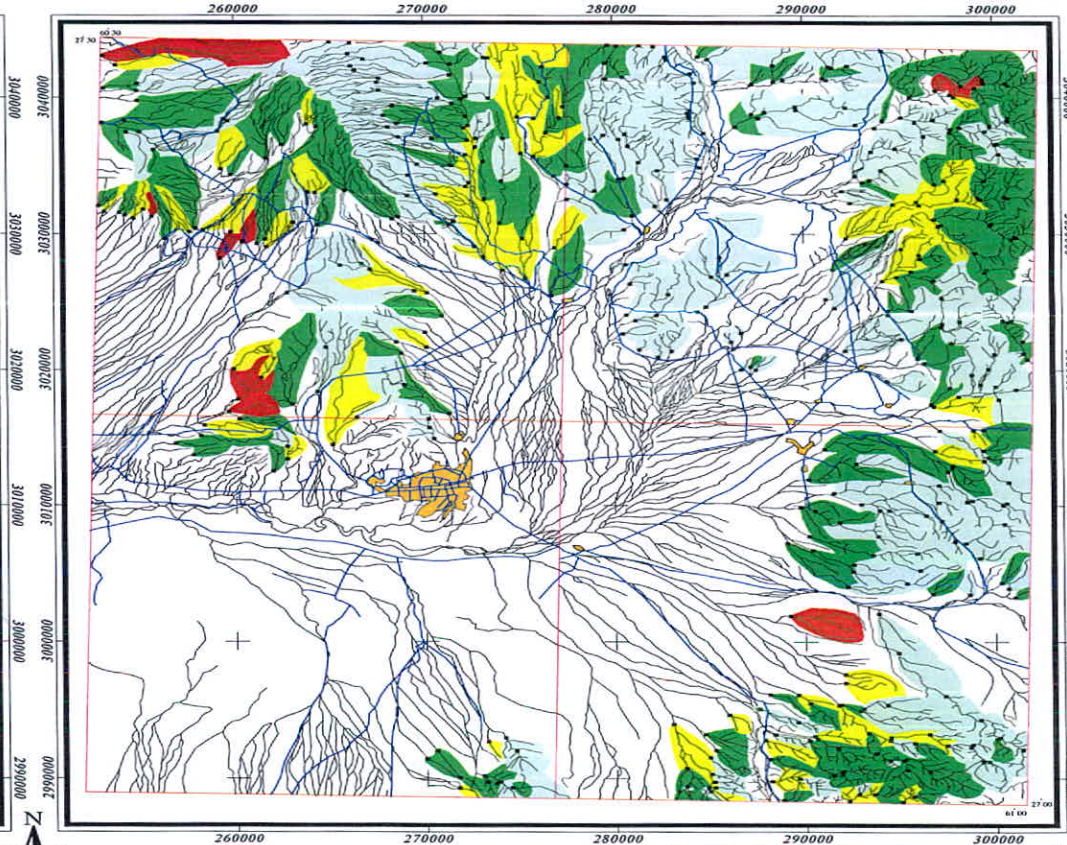


	Frequency Percent
City	0 - 50
Road	50 - 84
Sample Site	84 - 97.5
Drainage	97.5 - 99
	99 - 100



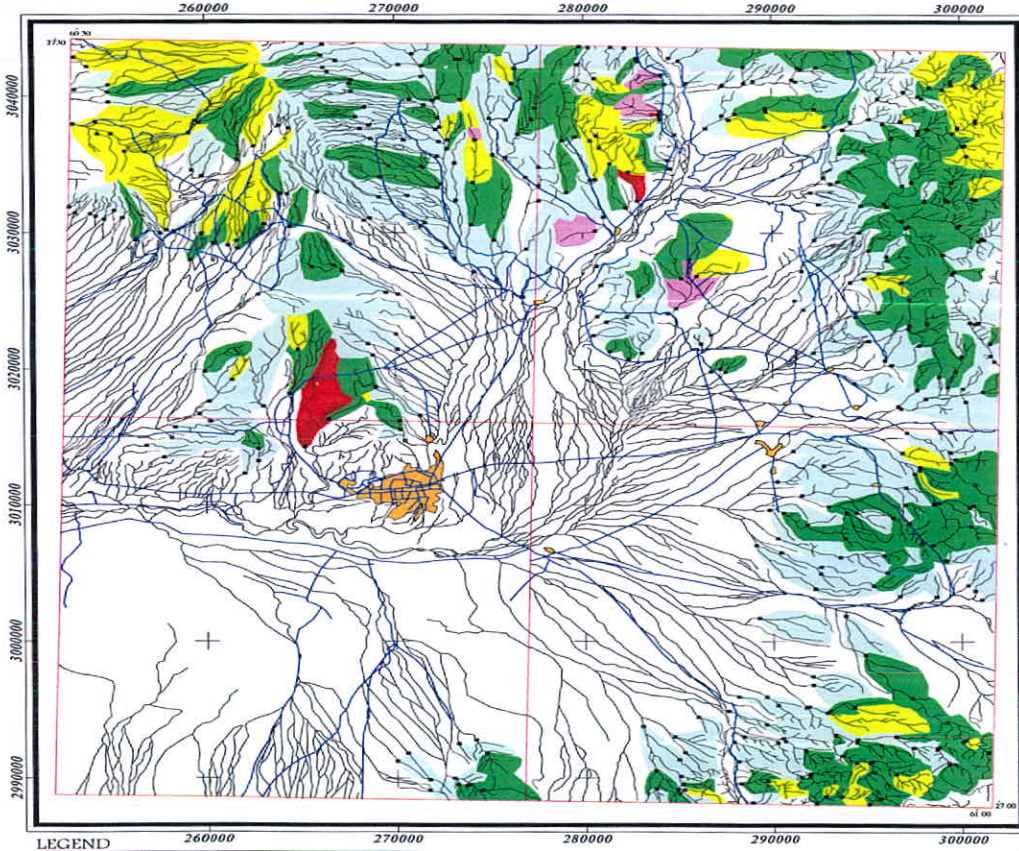
Scale 1:400,000

Anomaly Map of Raw Sn In Iranshahr Sheet  
(Number Sheet 8144 )



نقشه آنومالی ژئوشیمیایی عنصر قلع  
برای داده‌های خام و غنی شده

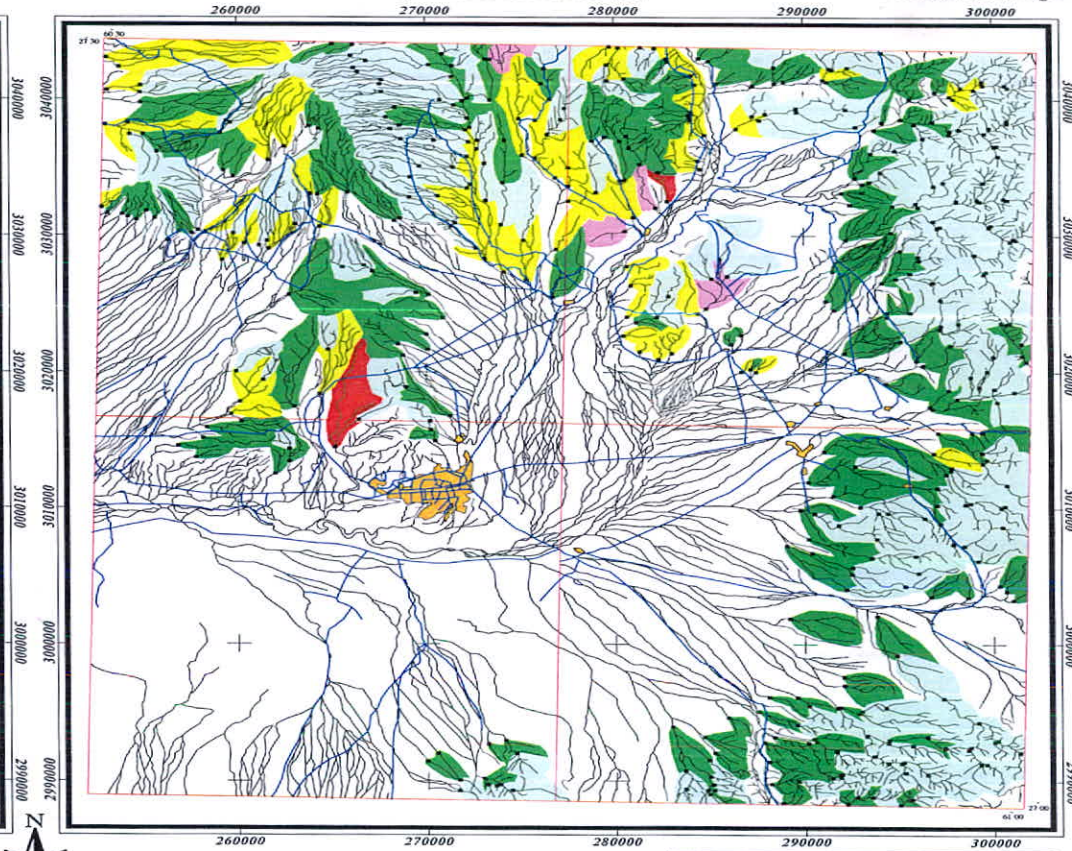
Anomaly Map of Enrichment Sr In Iranshahr Sheet  
(Number Sheet 8144 )



**LEGEND**

- City
- Road
- Sample Site
- Drainage

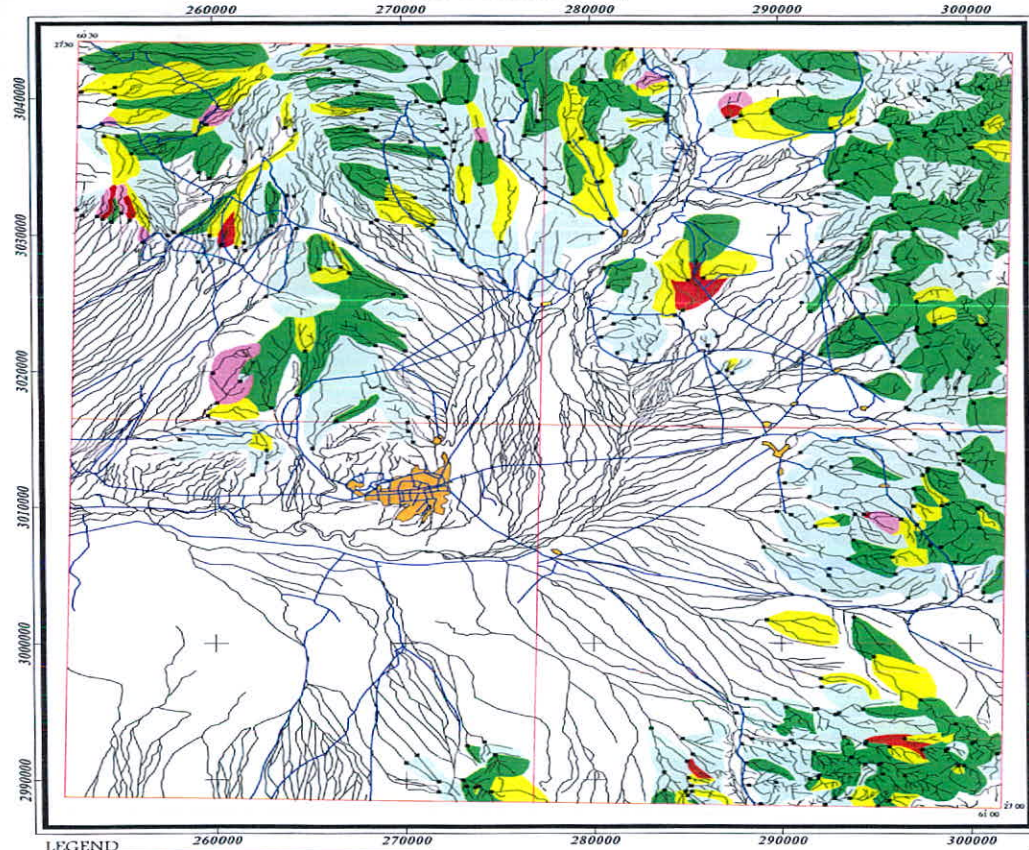
Anomaly Map of Raw Sr In Iranshahr Sheet  
(Number Sheet 8144 )



Scale 1:400,000

نقشه آنومالی ذوشیمایی عنصر استر انسیم  
برای داده‌های خام و غنی شده

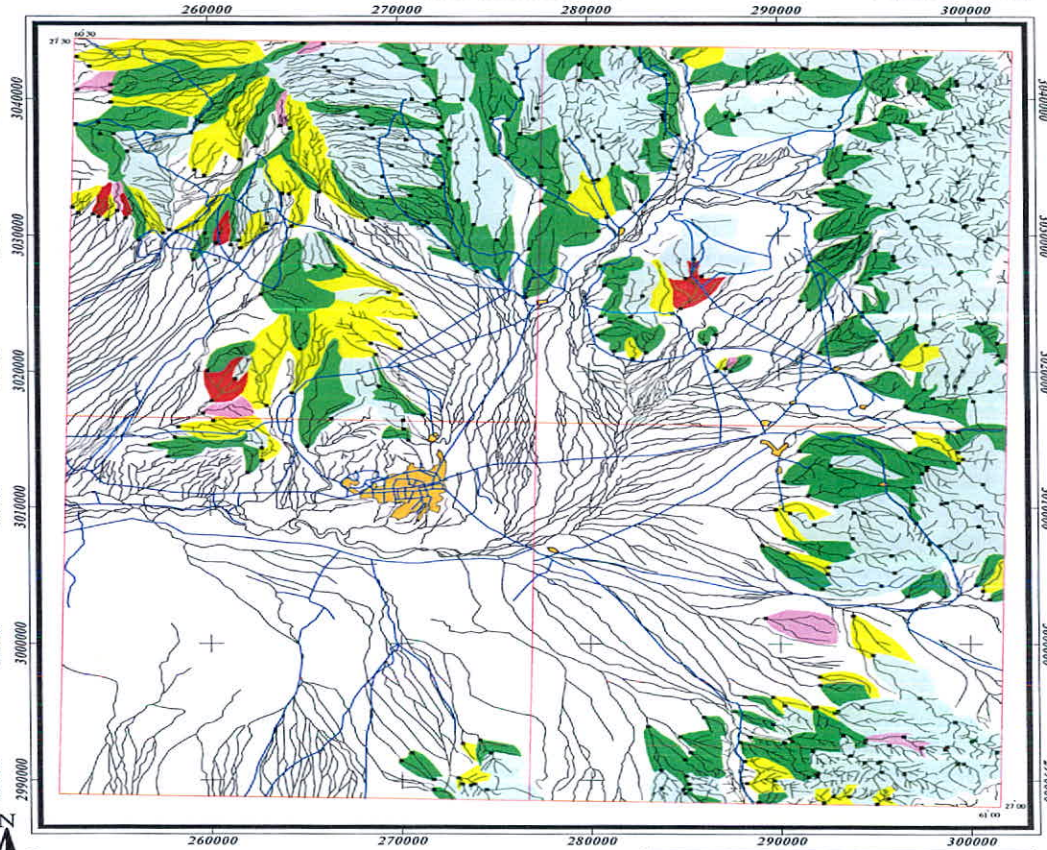
Anomaly Map of Enrichment Ti In Iranshahr Sheet  
(Number Sheet 8144 )



	Frequency Percent
City	0 - 50
Road	50 - 84
Sample Site	84 - 97.5
Drainage	97.5 - 99
	99 - 100



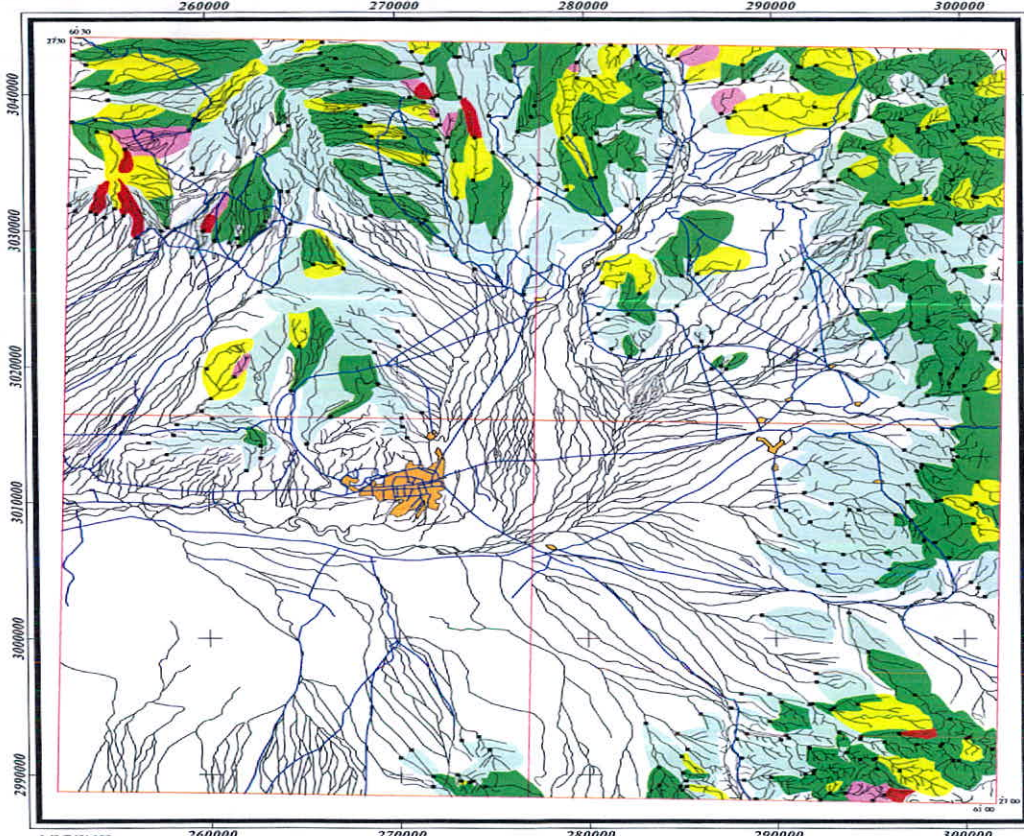
Anomaly Map of Raw Ti In Iranshahr Sheet  
(Number Sheet 8144 )



نقشه آنومالی ژئوشیمیایی عنصر تیتانیم  
برای داده‌های خام و غنی شده



Anomaly Map of Enrichment Zn In Iranshahr Sheet  
(Number Sheet 8144 )

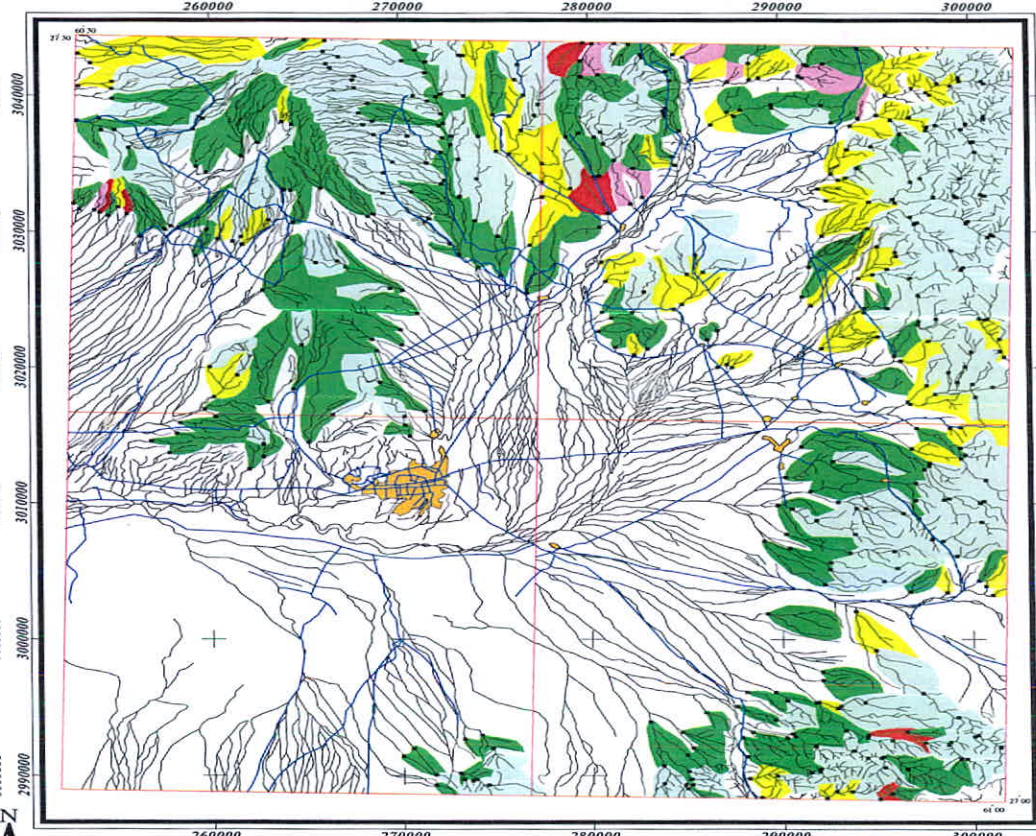


	Frequency Percent
City	0 - 50
Road	50 - 84
Sample Site	84 - 97.5
Drainage	97.5 - 99
	99 - 100



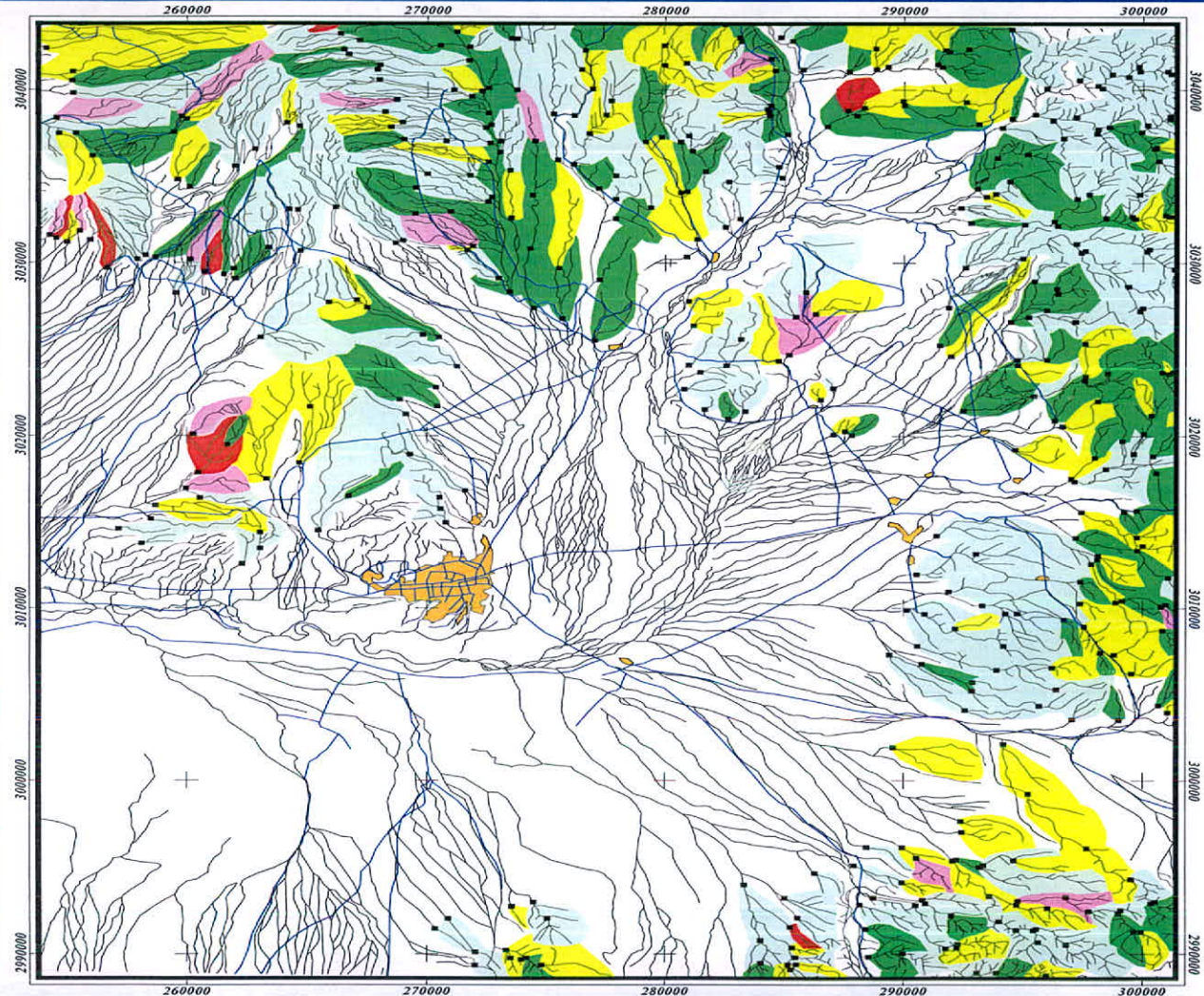
Scale 1:400,000

Anomaly Map of Raw Zn In Iranshahr Sheet  
(Number Sheet 8144 )



نقشه آنومالی ژئوشیمیایی عنصر روی  
برای داده های خام و غنی شده

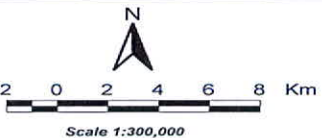
شکل (۲۱-۶) ۱۳۸۲



**Distribution map of Factor 1 for Iranshahr Sheet**  
**(Factor 1 : Co-Cr-Ti-Mn)**

LEGEND

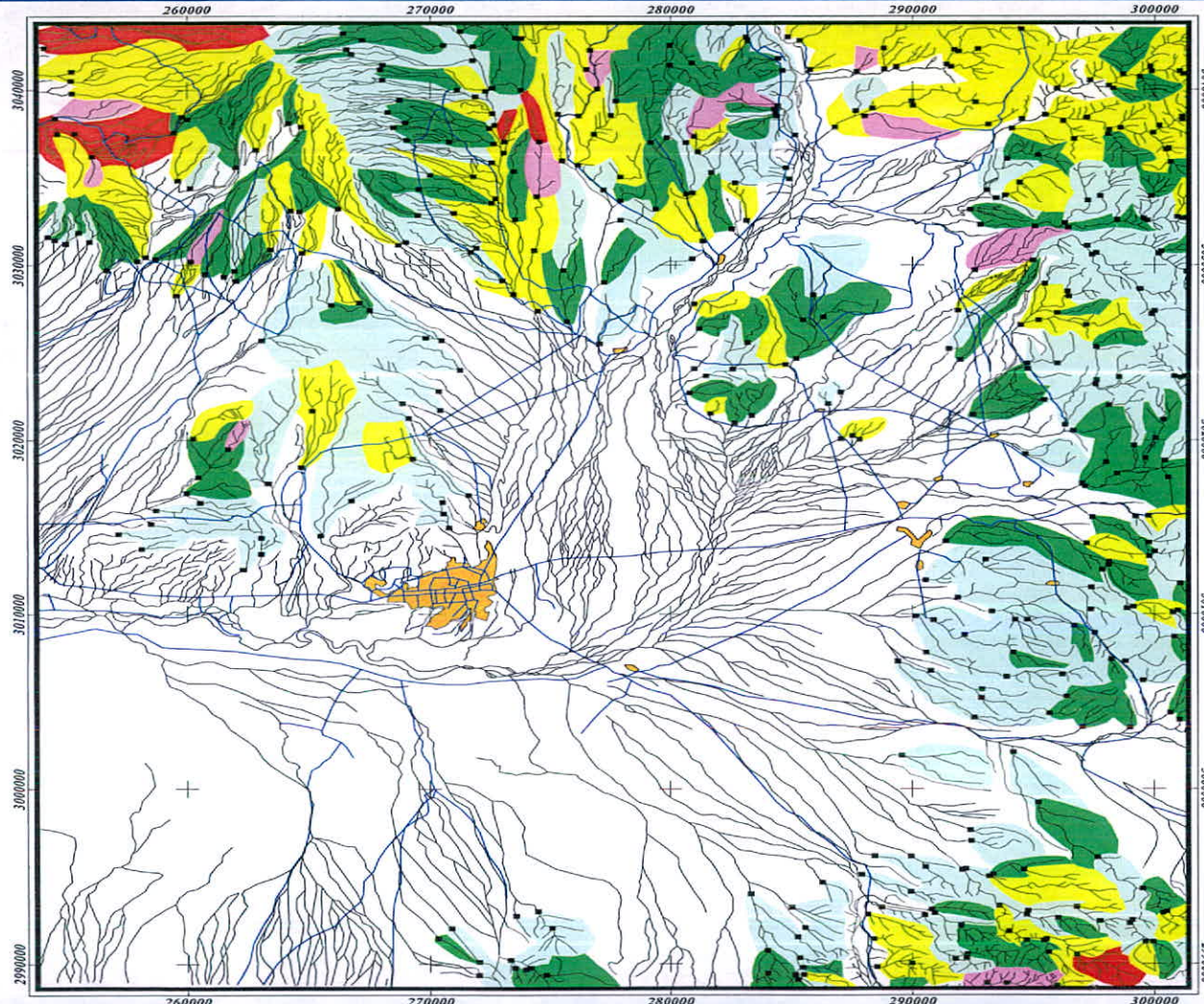
City		-3.13 - -0.069
Road		-0.069 - 0.394
Sample Site		0.394 - 1.5
Drainage		1.5 - 2.7
		2.7 - 5.46



نقشه پرائیندگی فاکتوری شماره ۱

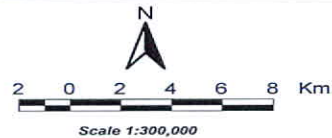
۱۳۸۲

شکل (۲۲-۶)



**Distribution map of Factor 2 for Iranshahr Sheet**  
**(Factor 2 : Pb-Ba-Zn-Be-Sr-As)**

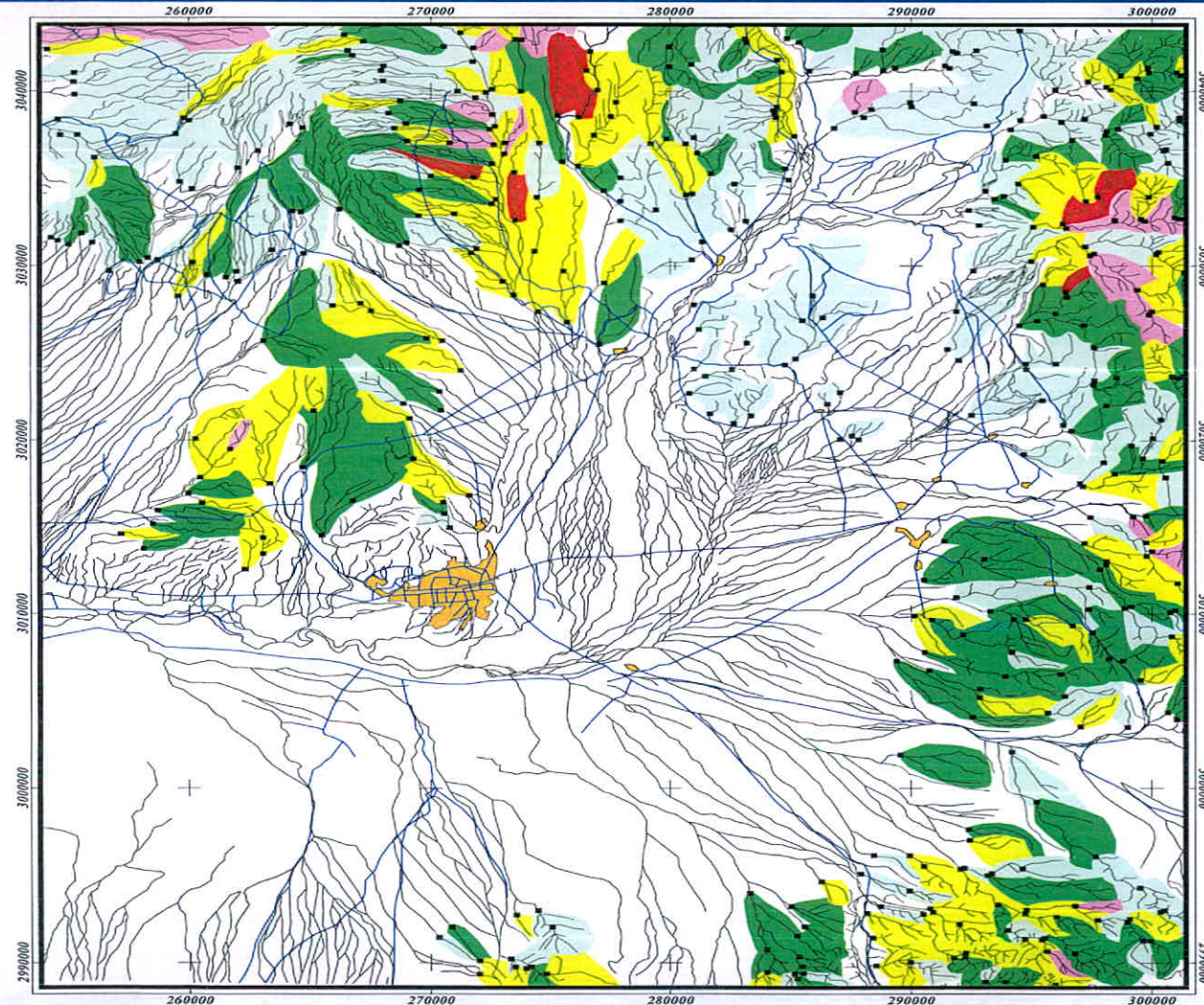
LEGEND



نقشه پراکندگی فاکتوری شماره ۲

۱۳۸۲

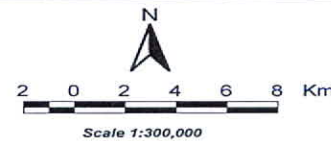
شکل (۲۳-۶)



**Distribution map of Factor 3 for Iranshahr Sheet**  
**(Factor 3 : Sb-W-Sn)**

LEGEND

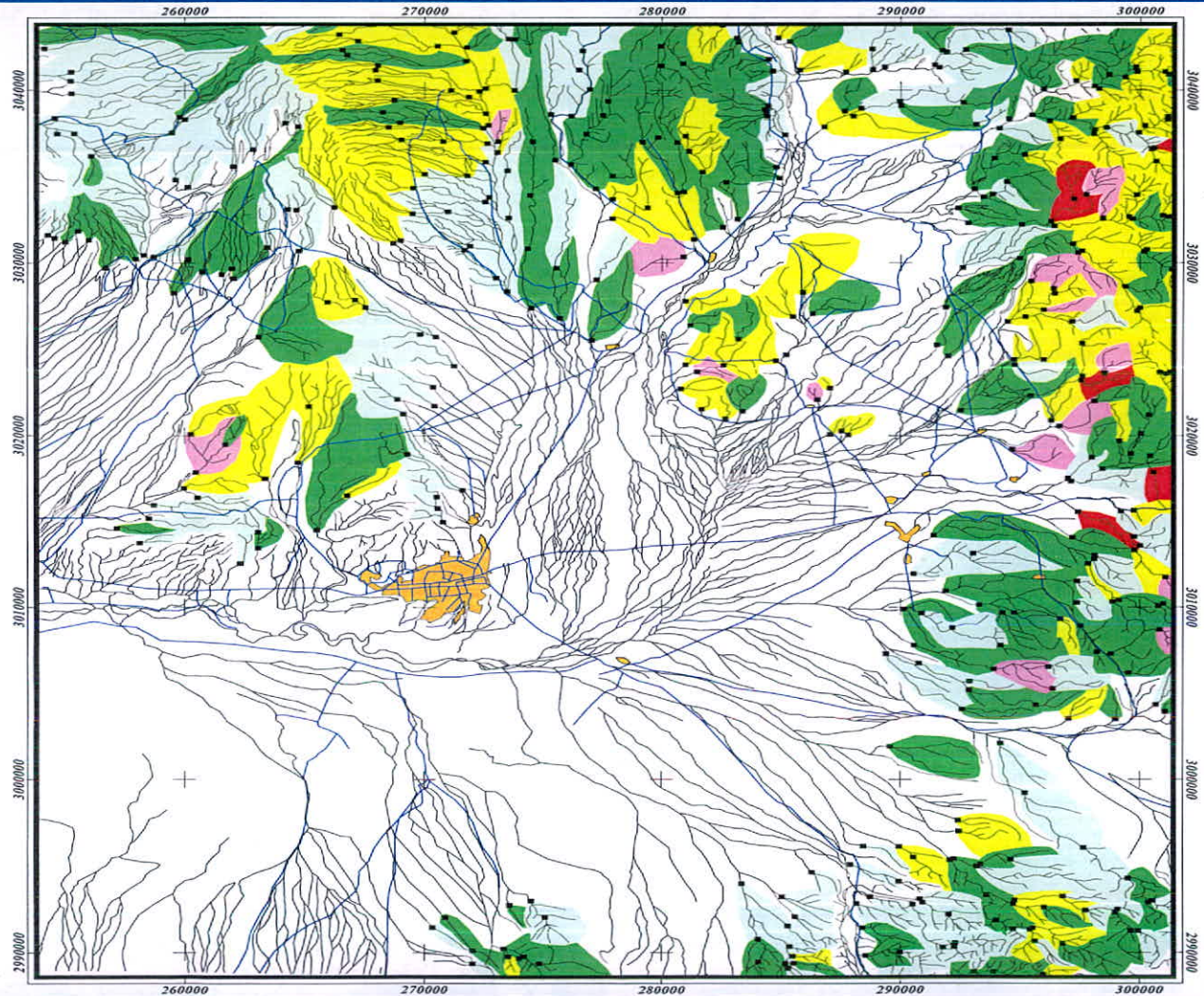
	City		Factor 3
	Road		-3.78 - -0.169
	Sample Site		-0.169 - 0.4
	Drainage		0.4 - 1.5
			1.5 - 2
			2 - 3.09



نقشه پراکندگی فاکتوری شماره ۳

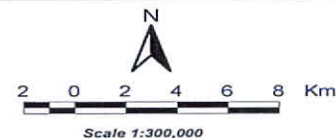
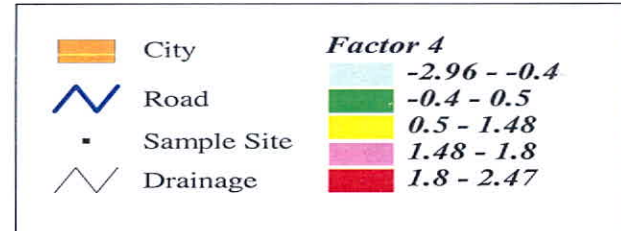
۱۳۸۲

شکل (۲۴-۶)



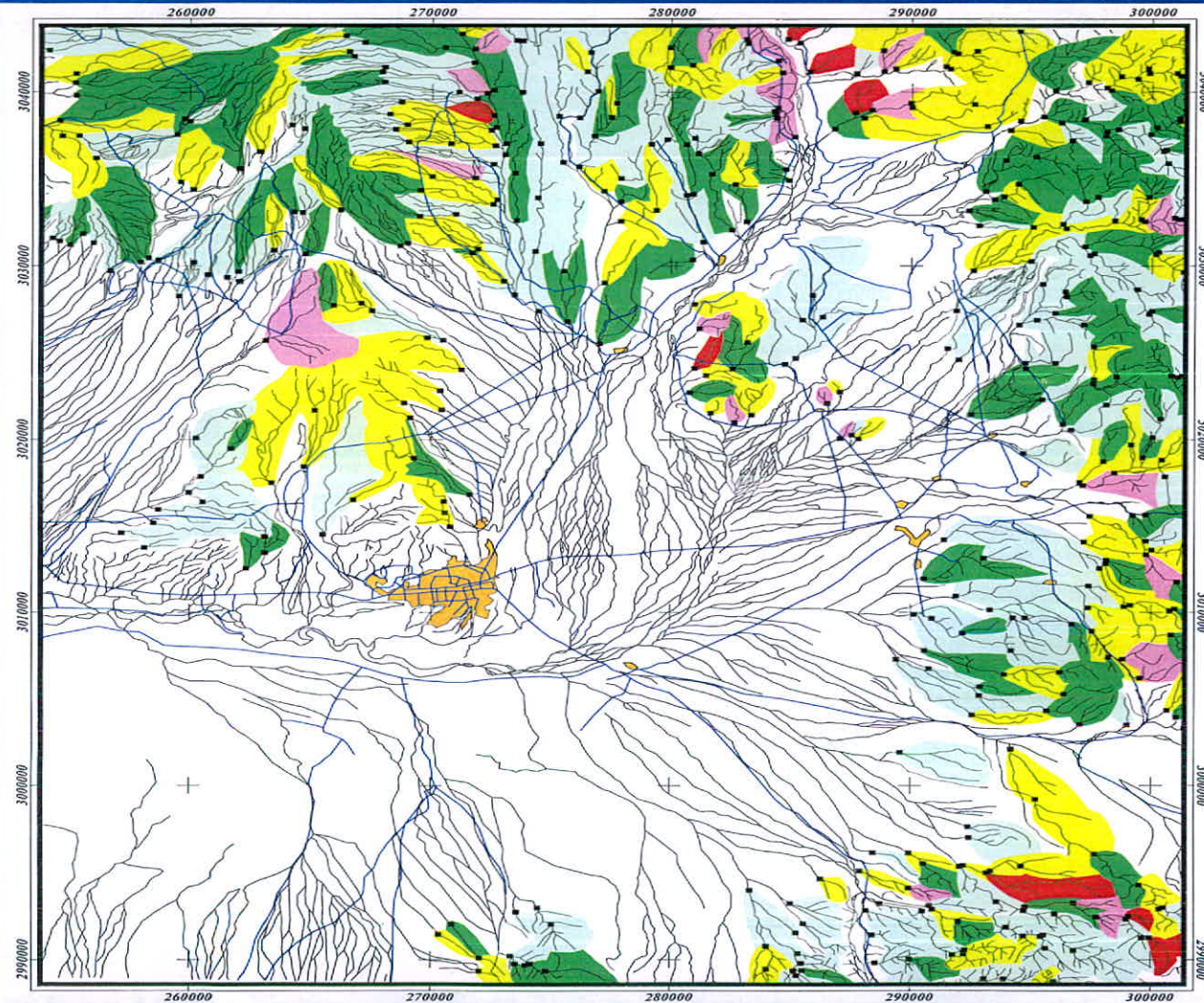
**Distribution map of Factor 4 for Iranshahr Sheet**  
**(Factor 4 : Ag-Bi-Mo)**

LEGEND

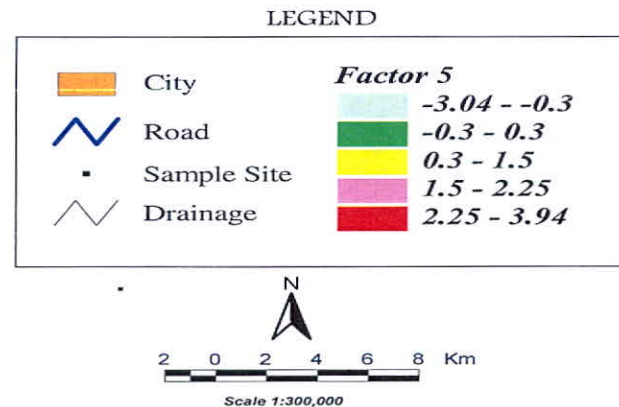


نقشه پراکندگی فاکتوری شماره ۴

۱۳۸۲	شکل (۲۵-۶)
------	------------

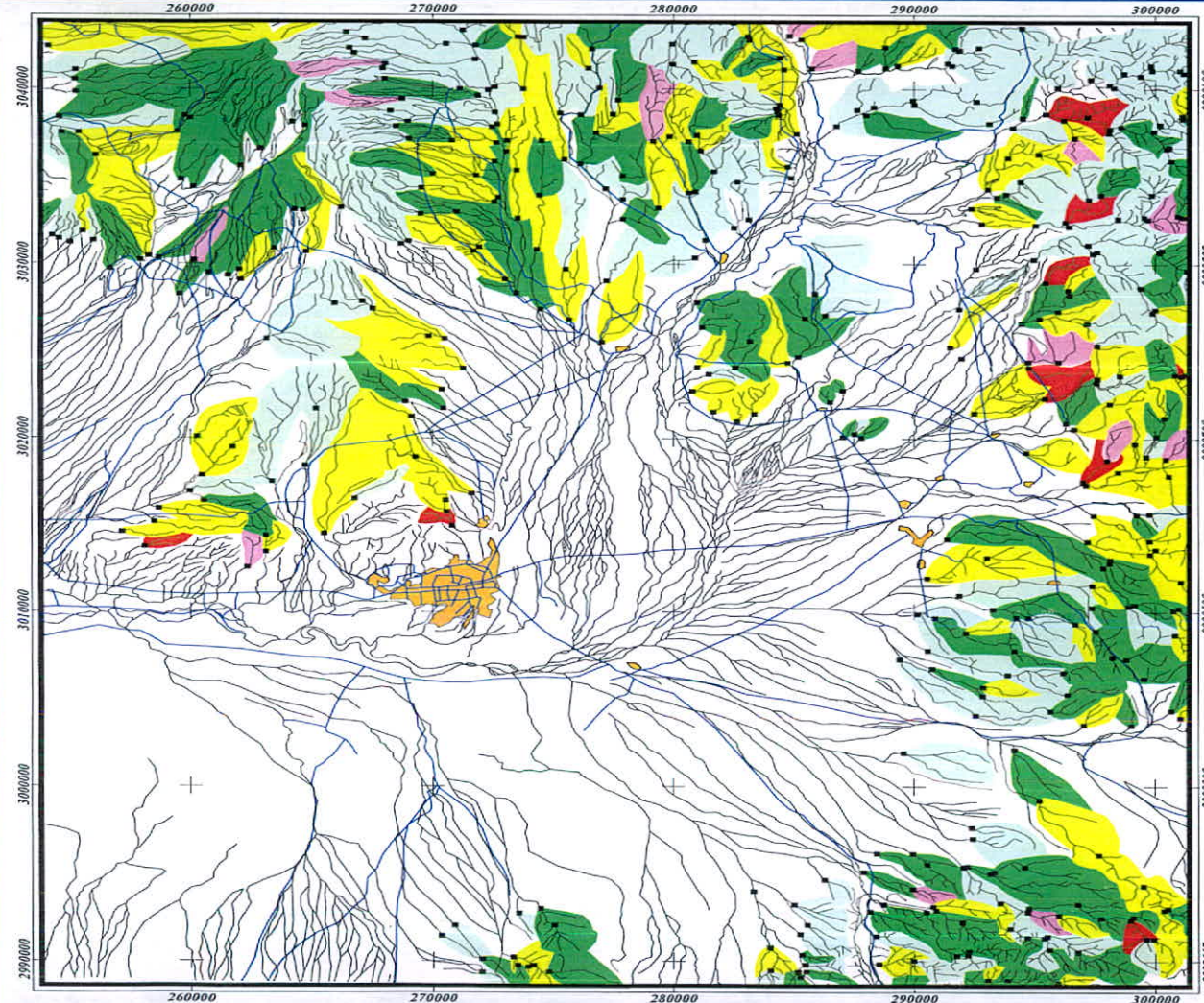


**Distribution map of Factor 5 for Iranshahr Sheet**  
**(Factor 5 : Ni-Cu)**



نقشه پراکندگی فاکتوری شماره ۵

۱۳۸۲	(۲۶-۶)
------	--------



*Distribution map of Factor 6 for Iranshahr Sheet  
(Factor 6 : Se-Hg)*

LEGEND

City	-3.22 - -0.3
Road	-0.3 - 0.3
Sample Site	0.3 - 1.42
Drainage	1.42 - 1.9
	1.9 - 3.24



2 0 2 4 6 8 Km  
Scale 1:300,000

نقشه پراکندگی فاکتوری شماره ۶

۱۳۸۲

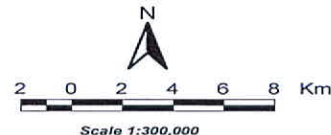
شکل (۲۷-۶)



*Map of data 1/pn for Iranshahr Sheet*

LEGEND

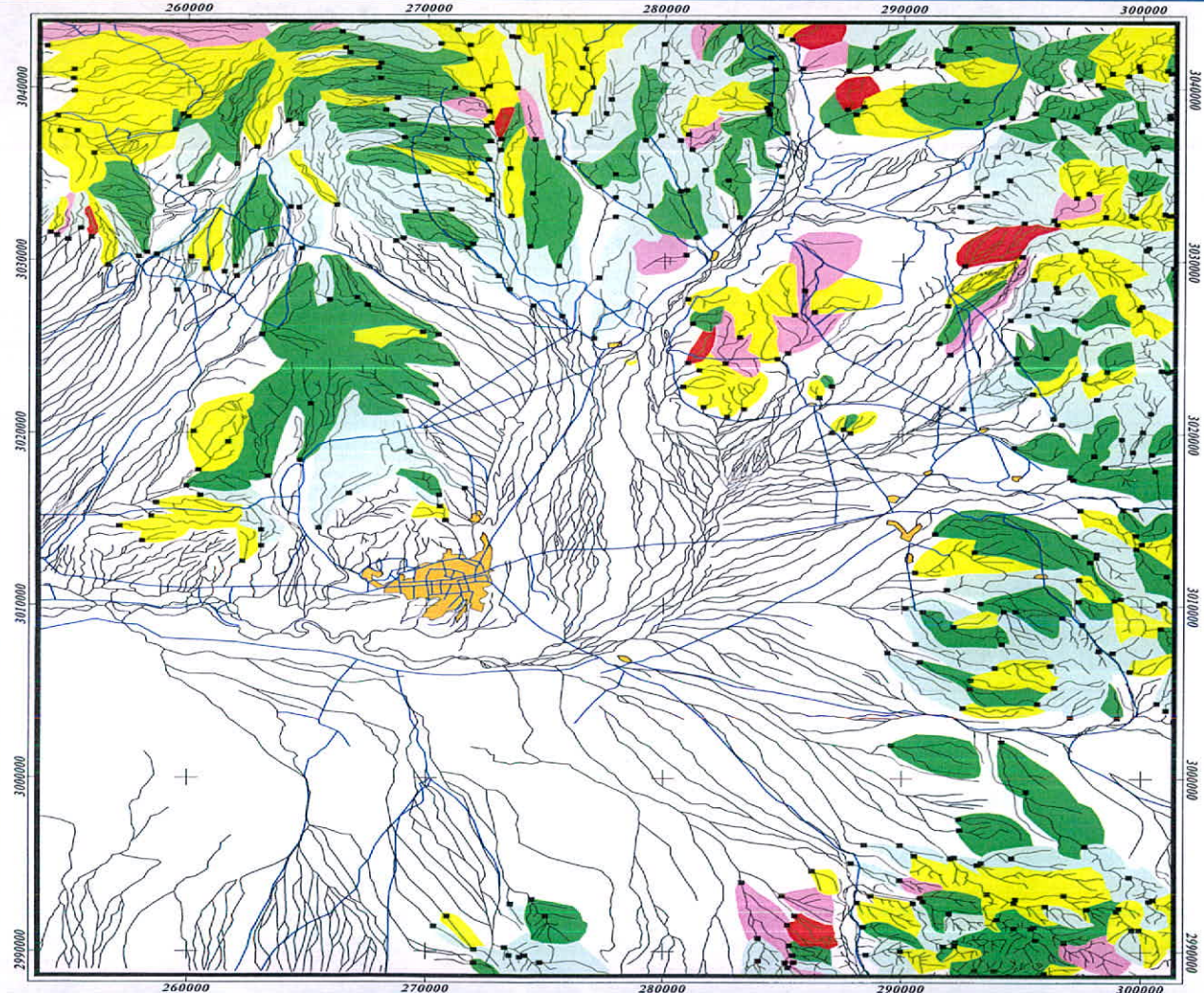
PN	
City	0.08 - 0.17
Road	0.17 - 0.34
Sample Site	0.34 - 12
Drainage	12 - 29
	29 - 37



نقشه پراکندگی مقادیر PN

۱۳۸۲

شکل (۲۸-۶)

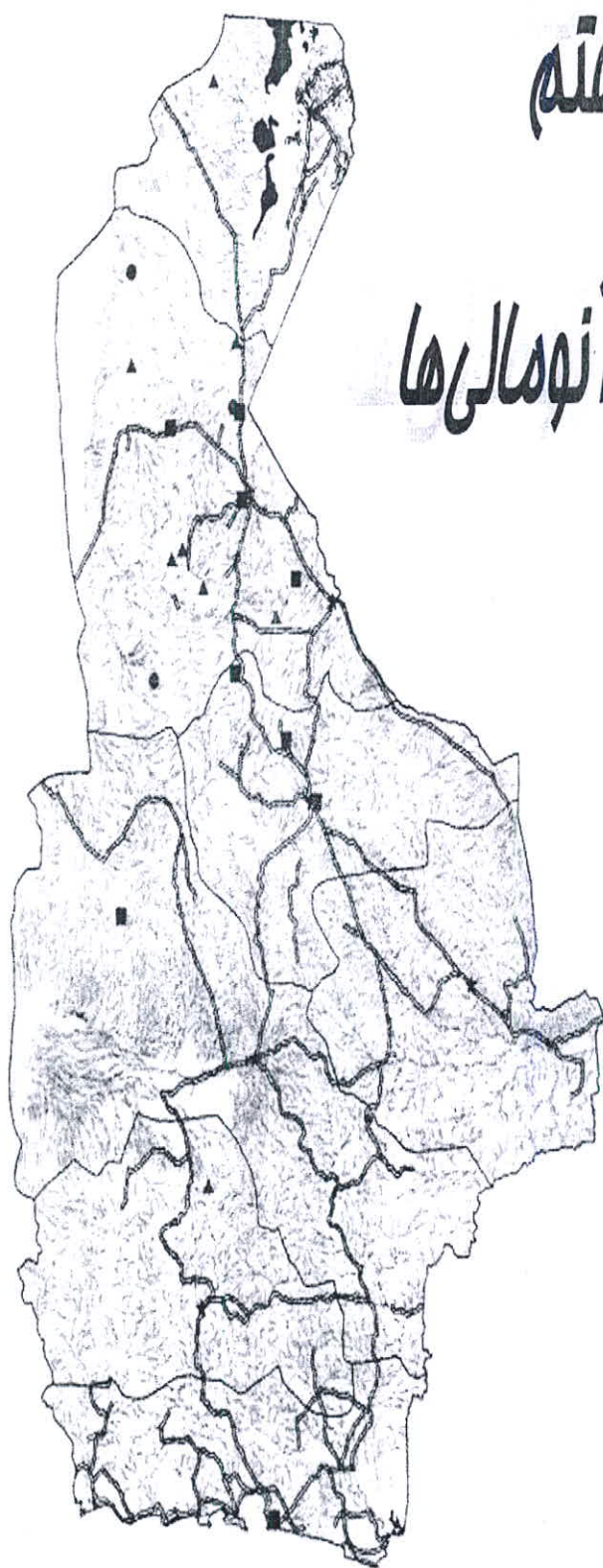


نقشه آنالیز ویژگی فاکتورها

۱۳۸۲	شکل (۲۹-۶)
------	------------

فُصل هفتَم

فاز كتّل آنهمالی‌ها



## فاز کنترل آنومالی‌های ژئوشیمیایی

در اکتشافات ژئوشیمیایی با مقیاس ناحیه‌ای، که به منظور کشف هاله‌های ثانوی کانسارهای احتمالی انجام می‌پذیرد، معمولاً ابتدا منطقه وسیعی تحت پوشش اکتشافی قرار می‌گیرد. این پروسه سبب کشف آنومالی‌های ظاهری موجود در محیط‌های ثانویه می‌شود. این آنومالی‌ها در اثر عوامل متعددی بوجود می‌آیند که عبارتند از:

تأثیر سنگ بالادست

آلودگی‌های مختلف موجود در محیط (صنعتی، کشاورزی و ...)

آلوده شدن نمونه ضمن نمونه‌برداری و آماده‌سازی

ناهمگنی موجود در نمونه آنالیز شده

عوامل کانه‌زایی

از طرفی به دلیل اینکه در روش ژئوشیمیایی هر عنصر مستقیماً مورد آنالیز قرار می‌گیرد توجهی به فاز پیدایش آن نمی‌شود، از اینرو هاله‌های ثانوی کشف شده نمی‌توانند همیشه معرف کانی‌سازی باشند. بنابراین برای تمییز دادن آنومالی‌های واقعی (که در ارتباط با پدیده کانی‌سازی بوده و دارای مولفه اپی‌زنیک قابل ملاحظه می‌باشند)، از انواع کاذب مرتبط با پدیده‌های سنگ‌زایی (مؤلفه سین‌زنیک) باید به کنترل زمینی آنها پرداخت.

روشهای مختلفی برای کنترل آنومالی‌ها وجود دارد که می‌توان به کمک آنها آنومالی‌های مقدماتی ژئوشیمیایی عناصر را تأیید یا باطل کرد. این روشها عبارتند از:

۱- نمونه‌برداری کانی‌سنگین از محدوده آنومالی‌ها

۲- بررسی مناطق دگرسان شده و زونهای مینرالیزه احتمالی

۳- برداشت نمونه از سیستمهای درزه و شکاف پر شده توسط مواد معدنی

### ردیابی کانی سنگین

با پیشرفت علم اکتشاف بویژه اکتشافات ژئوشیمیایی در کشف کانسارهای ناشناخته و پنهان روش بی‌جوبی کانی سنگین به عنوان یکی از کارآمدترین روش‌های اکتشافی مطرح است. ارزش مشاهدات کانیهای سنگین که جز، کانیهای فرعی سازنده سنگ هستند و ممکن است در مناطق فاقد کانی سازی نیز پیدا شوند به اندازه عناصر ردیاب نیست ولی می‌تواند معرف محیط و بستر مناسب وقوع کانی سازی باشد که برای مثال به چند مورد آن اشاره می‌شود.

**الف) طلا (Au):** مشاهده ذرات طلا در کنسانتره کانی سنگین می‌تواند حاکی از مناطق امید باشد. ارتباط طلا با آرسنوبیریت و تعدادی از کانیهای سولفوالت دیگر می‌تواند در تعیین مناطق امید بخش مؤثر واقع شود. در نهشته‌های اپی ترمال دانه ریز بندرت ممکن است طلا در نمونه تغليظ شده کانی سنگین معمولی یافت شود. در صورت پیدا شدن و همراهی آن با سینابر و استیبنیت اهمیت منطقه اکتشافی دو چندان می‌شود.

**ب) شلیت (Caw<sub>04</sub>):** همراهی قابل توجه شلیت و طلا بعنوان مثال در کمربندهای گرینستون دنیا گزارش شده است و شلیت بعنوان یک کانی ردیاب شناخته می‌شود.  
**ج) باریت (BaSO<sub>4</sub>):** باریت به صورت باطله در بسیاری از کانسارهای فلزات پایه وجود دارد. وجود آن در در بخش تغليظ یافته کانی سنگین دلالت بر وجود احتمالی چنین نهشته‌هایی است و با توجه به وسعت هاله‌های آنها می‌تواند بسیار مفید واقع شود.

د) تورمالین ( $(\text{Fe}_3\text{Al}_6\text{OH}_4(\text{BO}_3)_3(\text{Si}_6\text{O}_{18})$ ) : این کانی ممکن است حاصل آلتراسیون

هیدروترمال باشد. بنابراین راهنمای مناسبی برای تشخیص آلتراسیون و کانه‌زایی است. پیدایش تورمالین در بعضی از مجموعه‌های پاراژنزی مانند مولبیدینیت، آرسنوبیریت و فلورورین می‌تواند به تعیین دقیق‌تر مناطق امید بخش کمک کند.

ه) ایلمنیت : این کانی از نظر پیدایش به همراه مگنتیت در سنگ‌های آذرین یا زیک و سنگ‌های

آلکالن دیده می‌شود. گاه‌ها نیز همراه با فلدسپات‌ها، بیوتیت و ایلمنوروتیل در پگماتیتها دیده می‌شود. این کانی در نتیجه دگرسانی هیدروترمالی سنگ‌های آذرین به لوکوکسن تبدیل می‌شود. ایلمنیت از کانیهای اصلی ماسه‌های تیتانیوم‌دار نیز مشاهده می‌شود.

و) کرونودوم ( $\text{Al}_2\text{O}_3$ ) : این کانی از گروه اکسیدها بوده و در ترکیب خود دارای آثاری از عناصر

$\text{Cr}$ ,  $\text{Fe}$ ,  $\text{Ti}$ ,  $\text{Mn}$  می‌باشد. کرونودوم در سنگ‌های مگنتیت‌دار درونی غنی از آلومینیوم و فقیر از سیلیس نظیر کرونودوم سینیت و آنوروزیت‌ها همراه با فلدسپات‌ها دیده می‌شود.

ز) گارنت ( $\text{Mg}_3\text{Al}_2\text{Si}_3\text{O}_{12}$ ) : این کانی شامل یک گروه از کانیهای است که اغلب در شرایط

کن tact متأسوماتیک تشکیل می‌گردند. انواع گروسولاریت و آندرادیت، سیلیکات‌های کلیسم‌دار (دیوپسید و هدنبرژیت، ولاستونیت، اکتینولیت و کلریت) را در اسکارنهای همراهی می‌کند. اغلب کانسارهای گارنت در تماس ماقماهای اسیدی با سنگ‌های دگرگونی تشکیل می‌شود به ویژه در شرایطی که دگرگونی‌های مذکور به صورت گزنولیت در سنگ‌های آذرین وجود دارند.

## بزرگی هاله‌های کانی سنگین

ترکیب سنگ شناسی، بزرگی رخنمون در ناحیه منشا، هوازدگی شیمیایی و مکانیکی از عوامل موثر در توسعه هاله‌های کانی سنگین به شمار می‌روند که در مورد اخیر به شرایط آب و هوایی و نیز ژئومورفولوژی منطقه بستگی دارند. به این ترتیب بر حسب شیب توپوگرافی ممکن است ذرات طلا و ولفرامیت تا دهها کیلومتر از ناحیه منشا فاصله بگیرند و برخی کانیها در همان یک کیلومتر اول مسیر تا ۹۰ درصد مقدار اولیه کاهش پیدا کنند. در منطقه آبریز سعی گردید تا نمونه‌های کانی سنگین در حوضه بالا دست نمونه‌هایی که آنومالی ژئوشیمیایی دارند به گونه‌ای برداشت گردند که بیشترین پوشش سطحی را فراهم کنند و در مناطقی که آنومالی طلا اندازه‌گیری شده بود نمونه‌برداری با تراکم بیشتری صورت گرفت.

## نمونه‌برداری کانیهای سنگین

در یک پروژه اکتشافی به روش کانی سنگین طراحی ایستگاههای نمونه‌برداری و تعیین محل نمونه‌برداری نقش مهمی را در هدایت اکتشاف کانسارها ایفا می‌کند. توجه خاص به شرایط زمین شناختی منطقه، مسائل تکتونیکی، ویژگی‌های رخسارهای سنگی، گسترش پلاسراها و سایر پارامترهای تأثیرگذار بر کانسارها می‌توانند روش اکتشافی مورد نظر را هدف‌دار سازد.

در راستای طراحی و نمونه‌برداری از رسوبات آبرفتی آبراهه‌ها سعی گردیده که ایستگاههای نمونه‌برداری در مرز جدایش ارتفاعات با نقاط پست، محل پیچش آبراهه‌ها، محل اتصال آبراهه‌ها، گودالهای آبراهه‌ای، مرکز ثقل آبریزها، جبهه مقابل جریان آب و بطور کلی هر محلی که احتمال کاهش سرعت جریان آب و بر جای گذاشته شدن کانیهای سنگین می‌رود در نظر گرفته شوند.

پس از ایستگاه‌گذاری‌ها نمونه‌ها از عمق ۱۰ تا ۱۵ سانتیمتری به پائین در محل تمرکز رسوبات غیر همگن با الک ۲۰ مش و در حجم ۴ تا ۵ لیتر برداشت گردیدند. در مواردی که محل نمونه‌برداری خیس بوده و امکان الک کردن وجود نداشته نمونه‌ها به صورت در هم و در حجمی حدود ۷ تا ۱۰ لیتر و از رسوبات درشت دانه برداشت گردیده است. همچنین برای محدوده‌های دارای آنومالی عنصر طلا سعی شد که نمونه‌ها بدون الک شدن و در حجم ۳۰ تا ۵۰ لیتر برداشت شود که این نمونه‌ها داخل آب الک شدند.

در مواردی هم که عرض بستر آبراهه‌ها عریض می‌باشد و همچنین از حوضه‌هایی که شدت آنومالی ژئوشیمیایی و یا تعداد عناصر پاراژنر در آنها بیشتر بوده سعی بر آن شده که تعداد بیشتری نمونه کانی‌سنگین برداشت گردد.

در کل در محدوده ورقه ۱۰۰۰۰۰ ایرانشهر با توجه به عملیات اکتشافی صورت گرفته ۶۲ نمونه از بستر آبراهه‌های منطقه به روش کانی‌سنگین برداشت شده است.

### آماده سازی نمونه‌ها

در بخش آنالیز نمونه‌های کانی‌سنگین، نخستین بخش را تغليظ نمونه‌های آبرفتی برداشت شده تشکیل می‌دهد. بطوری که نمونه‌های کانی‌سنگین برداشت شده نخست حجم سنگی و سپس گل شوی می‌شوند که هدف از این عمل جداسازی ذرات معلق و رس و سیلت است. پس از انجام عمل گل شوی نمونه‌ها روی پنهایی بزرگ و کوچک منتقل شده و طی دو مرحله بر پایه خاصیت اختلاف وزن مخصوص کانیها و غوطه‌ور نمودن نمونه‌ها در آب و انجام حرکات دورانی و اصل قانون گریز از مرکز ذرات سبک تر جداسازی می‌شوند و این عمل آنقدر ادامه می‌یابد تا به حجم

دلخواه و معینی از نمونه تغییط شده دست یافته شود. بطوری که مقدار باقیمانده روی پن کوچک

تقریباً از ذرات کانی‌سنگین تشکیل شده که بعد از خشک کردن مجدداً حجم سنجی می‌گردد.

پس از این مرحله نمونه‌ها بطور جداگانه درون مایع سنگین بروموفرم ریخته می‌شود تا بر

اساس وزن مخصوص بخش‌های سبک و سنگین از یکدیگر جدا گردد. بخش‌های سبک با یگانی و

بخش‌های سنگین پس از حجم سنجی مجدد توسط آهنرباهای دستی با شدت مغناطیس‌های

مختلف مورد جدایش قرار می‌گیرد که بر این اساس نمونه‌ها به ۳ بخش کانیهای غیر

مغناطیسی (NM)، کانیهای مغناطیس ضعیف (AV) و کانیهای مغناطیس قوی (AA) تقسیم بندی

می‌شوند که هر کدام با استفاده از میکروسکوپ بیناکولار مورد مطالعه قرار می‌گیرند. بطوری که

کانیهای مطالعه شده به دو گروه کانیهای سنگ‌ساز و کانسارساز تقسیم بندی می‌شوند.

در مطالعه نمونه‌های کانی‌سنگین توسط میکروسکوپ بیناکولار تعداد هر یک از ذرات

کانی‌سنگین شمارش گردیده که با دانستن وزن مخصوص نمونه رسوب و کانی‌سنگین و حجم

سنじ می‌توان مقدار آنها را طبق رابطه زیر به ppm و درصد تبدیل کرد.

$$\text{مقدار کانی‌سنگین بر حسب ppm در هز نمونه} = \frac{X.Y.B.D.10^6}{A.C.D'}$$

X : درصد کانی محاسبه شده.

Y : حجم کانی‌سنگین پس از جدایش با برموفرم.

B : حجم نمونه باقیمانده پس از شستشو.

D : وزن مخصوص کانی مورد محاسبه.

$D'$ : وزن مخصوص رسوب آبرفتی.

A : حجم اولیه نمونه.

C : حجم انتخابی نمونه برای برموفرم.

بدیهی است که اندازه دانه‌های مطالعه شده و نوع گردشده‌گی کانیهای سنگین سهم به سزاپی در شناخت کانسارها و موقعیت آنها نسبت به محل نمونه‌برداری می‌تواند داشته باشد. جداول (۱-۷) الی (۹-۷) نتایج حاصل از مطالعات کانی‌سنگین با توجه به موقعیت جغرافیایی نمونه‌ها، عناصر آنومال بدست آمده از پردازش داده‌های ژئوشیمیایی، شاخص غنی‌شده‌گی، عیار عناصر آنومال و سنگهای بالادست هر نمونه را نشان می‌دهد.

### نمونه‌های مینرالیزه

این نمونه‌ها از محلهای آلتراسیون، کانی‌رایی و مناطقی که با توجه به شرایط خاص زمین‌شناسی و تکتونیک منطقه احتمال استعداد کانی‌زایی در این گونه مناطق وجود دارد و مناطقی که نسبت به عناصر مختلف ناهنجاری نشان داده‌اند، برداشت شده است. در برگه ۱۰۰۰۰۱: ایرانشهر تعداد ۱۷ نمونه مینرالیزه برداشت شده است. داده‌های خام حاصل از آنالیز نمونه‌های مینرالیزه در جدول (۲۰-۷) آورده شده است.

همچنین نتایج مطالعات کانی‌سنگین تمام نمونه‌ها در جداول (۱۰-۷) الی (۱۹-۷) آمده است.

جدول (۱-۲): مشخصات نمونه‌های نانی سنگین برداشت شده در پرسه ۲۰۰۰ متر از سطح زمین

ردیف	شماره نمونه	مشخصات	عنصر	شدت انومالی	شاخص غنی شدگی	عیار (ppm)	نمونه مینرالیزه	مطالعه کانی سنگین	سنگ بالا دست
۱	IA-251H	27:01:247N,60:50:555E	Co Cr Mn Pb Ti	97.5-100	1.2 2.6 1.4 1.7 1.4	22.4 30 927 15.5 6540		فلیش، آهک پلازیک، اسپیلیت، دیاباز	
۲	IA-179H	27:13:690N,60:58:599E							فلیش، دیاباز
۳	IA-235H	27:00:008N,60:54:388E	Be	97.5-100	1.4	1.1	IA-235X	مگنتیت، هماتیت، زیرکن، الیزیست، آناتار، روتبیل، باریت، اسفن، لوکوکسن، کلسیت، کانیهای آلترا، ویتریت	فلیش، کالردملانٹ، اسپیلیت، دیاباز
۴	IA-234H	27:00:193N,60:50:719E	Zn Be	97.5-100	1.2 1.4	64.5		مگنتیت، هماتیت، پیریت اکسید، زیرکن، باریت، اسفن، لوکوکسن، پیرولوزیت، کلسیت، کانیهای آلترا، ویتریت	فلیش، کالردملانٹ، اسپیلیت، دیاباز
۵	IA-182H	27:13:280N,60:57:586E							فلیش
۶	IA-181H	27:13:988N,60:57:101E	Ag Bi	97.5-100	8.2 45	1 0.5	IA-181X	مگنتیت، هماتیت، پیریت اکسید، الیزیست، زیرکن، آپاتیت، باریت، آناتاز، اسفن، لوکوکسن، پیرولوزیت، کلسیت، کانیهای آلترا، ویتریت	فلیش، اسپیلیت، دیاباز
۷	IA-185H	27:12:766N,60:59:310E	Ag	97.5-100	4.7	0.1	IA-185X	مگنتیت، هماتیت، گارنت، پیریت اکسید، الیزیست، آپاتیت، زیرکن، روتبیل، باریت، آناتاز، لوکوکسن، کلسیت، کانیهای آلترا، ویتریت	افیولیت، اسپیلیت، دیاباز

جدول (۲-۷): مشخصات نمونه‌های کانی سنگین برداشت شده در برگه ۱۰۰۰۰۱ ایرانشهر

ردیف	شماره نمونه	مشخصات	عصر	شدت انومالی	شاخص غنی شدگی	عیار (ppm)	نامه میزرا لیزه	مطالعه کانی سنگین	سنگ بالا دست
۸	IA-214H	27:02:236N,60:58:309E	Co	97.5-100	1.2	28.3			آهک پلازیک، کالردملانژ
									مگنتیت، هماتیت، الیزیست، پیریت اکسید، زیرکن، آپاتیت، روتبیل، باریت، لوکوکسن، سینابر، پیریت، کلسیت، کانیهای آلترا، ویتریت
۹	IA-216H	27:02:646N,60:57:037E	Ni	97.5-100	2.6	330			آهک پلازیک، کالردملانژ
									مگنتیت، هماتیت، گارنت، پیریت اکسید، الیون، الیزیست، زیرکن، روتبیل، باریت، آناتاز، لوکوکسن، پیریت، کلسیت، کانیهای آلترا، ویتریت
									آهک پلازیک، کالردملانژ
									مگنتیت، هماتیت، پیریت اکسید، الیزیست، زیرکن، باریت، آناتاز، لوکوکسن، پیروولوزیت، کلسیت، کانیهای آلترا، مس طبیعی، ویتریت
									فلیش، آهک پلازیک، کالردملانژ
									آهک پلازیک، کالردملانژ
۱۰	IA-221H	27:02:526N,60:55:961H	Ag, Co, Cr, Mn, Zn	97.5-100	1.2	25.3 1150 37.4 836 72.5			آهک پلازیک، کالردملانژ
									آهک پلازیک، کالردملانژ
									آهک پلازیک، کالردملانژ
									آهک پلازیک، کالردملانژ
									آهک پلازیک، کالردملانژ
									آهک پلازیک، کالردملانژ
۱۱	IA-222H	27:02:405N,60:55:721E	Hg	97.5-100	6.9	0.3			آهک پلازیک، کالردملانژ
									آهک پلازیک، کالردملانژ
۱۲	IA-220H	27:02:756N,60:54:966E						این نمونه با توجه به لیتوولوزی مناسب برداشت شده است	فلیش، آهک پلازیک، کالردملانژ، اسپیلیت، ذیاباز
									فلیش، آهک پلازیک، کالردملانژ، اسپیلیت، ذیاباز
۱۳	ID-044H	27:21:777N,60:56:299E	Au	97.5-100	2.7	2	ID-044X1	مگنتیت، هماتیت، پیریت اکسید، زیرکن، باریت، آناتاز، اسفن، لوکوکسن، پیروولوزیت، کلسیت، کانیهای آلترا، ویتریت	فلیش، آهک نومولیتی، شیل
									فلیش، آهک نومولیتی، شیل
۱۴	ID-043H	27:22:153N,60:55:876E	Ag	97.5-100	8.2	1.7		مگنتیت، هماتیت، گارنت، الیزیست، زیرکن، آناتاز، آپاتیت، روتبیل، باریت، لوکوکسن، کلسیت، کانیهای آلترا، کانیهای سبک، ویتریت	فلیش، سنگهای اسپیلیتی
									فلیش، سنگهای اسپیلیتی

جدول (۳-۷): مشخصات نمونه‌های کانی سنگین پرداشت شده در برگه ۱/۱۰۰۰۰ ایرانشهر

ردیف	شماره نمونه	مختصات	عرضه شدت انومالی	شاخص غنی شدگی	عیار (ppm)	نموده مینرالیزه	متال‌های کانی سنگین	سنگ بالا دست
۱۵	IB-314H	27:28:347N,60:44:306E						شیل، ماسه سنگ، آهک، کنگلومرا
۱۶	IB-315H	27:28:262N,60:44:224E						شیل، ماسه سنگ، مارن، کنگلومرا
۱۷	IB-319H	27:27:259N,60:44:064E						شیل، ماسه سنگ، مارن، کنگلومرا، آهک
۱۸	IB-355H	27:24:866N,60:41:908E						سیلت استون، ماسه سنگ، کنگلومرا
۱۹	IB-358H	27:26:216N,60:42:000E						سیلت استون، ماسه سنگ، کنگلومرا
۲۰	IB-361H	27:27:000N,60:41:666E						سیلت استون، ماسه سنگ، کنگلومرا
۲۱	IB-422H	27:24:598N,60:34:247E						ماسه سنگ، کنگلومرا

جدول (۴-۷): مشخصات نمونه‌های کانی سنگین برداشت شده در برگه ۰۰۱۰/۱۱ ایرانشهر

ردیف	شماره نمونه	مختصات	عنصر	شدت انومالی	شاخص غنی شدگی	عیار (ppm)	نامه میترالیزه	معطالعه کانی سنگین	سنگ بالا دست
۲۱	سیلت استون، ماسه سنگ ، کنگلومرا ، مادستون	97.5-100	As	IB-441H	27:24:738N,60:33:936E	9.1.3	مگنتیت، هماتیت، ایلمنیت، گارنت، الیزیست، مارتبیت، کرندوم، پیریت اکسید، الیوین، زیرکن، روتیل، باریت، آناتاز، اسفن، لوکوکسن، کلسیت، کانیهای آلترا، ویتریت		
			Ba			4581.9			
			Be			1.21.3			
			Pb			18.81.6			
			W			1.31.3			
۲۲	سیلت استون، ماسه سنگ ، کنگلومرا ، مادستون	97.5-100	Cu	IB-432H	27:25:596N,60:31:814E	32.11.3	مگنتیت، هماتیت، ایلمنیت، گارنت، پیریت اکسید، الیوین، زیرکن، روتیل، باریت، اسفن، لوکوکسن، کلسیت، کانیهای آلترا، ویتریت		
			Pb			18.11.5			
			Zn			68.71.3			
۲۳	سیلت استون، ماسه سنگ ، کنگلومرا	97.5-100	Ag	IB-398H	27:15:611N,60:34:667E	0.12.6	مگنتیت، هماتیت، ایلمنیت، گارنت، الیوین، پیریت اکسید، زیرکن، باریت، آناتاز، اسفن، لوکوکسن، کرندوم، پیریت، کلسیت، کانیهای آلترا، ویتریت		
			Mo			1.62.7			
			Sn			1.71.5			
			Tl			65101.4			
			Mn			10301.4	مگنتیت، هماتیت ، ایلمنیت، گارنت، الیوین، الیزیست، مارتبیت، کرندوم، پیریت اکسید، زیرکن، آبتابیت، روتیل، باریت، آناتاز، اسفن، کرندوم، لوکوکسن، کلسیت، کانیهای آلترا، کانیهای سبک، ویتریت		
۲۴	ماسه سنگ ، کنگلومرا	97.5-100	Tl	IB-400H	27:16:946N,60:34:718E	60901.3			
			Zn			60.11.1	مگنتیت، هماتیت، ایلمنیت، گارنت، الیوین، پیریت اکسید، زیرکن، روتیل، باریت، آناتاز، اسفن، لوکوکسن، پیریت، کلسیت، کانیهای آلترا، کانیهای سبک، ویتریت		
۲۵	سیلت استون، ماسه سنگ ، کنگلومرا	97.5-100	Pb	IB-399H	27:16:390N,60:35:298E	16.71.4			
			Zn			60.11.1	مگنتیت، هماتیت، ایلمنیت، گارنت، الیزیست، مارتبیت، کرندوم، پیریت اکسید، الیوین، زیرکن، روتیل، باریت، آناتاز، اسفن، لوکوکسن، پیریت، کلسیت، کانیهای آلترا، ویتریت		
۲۶	ماسه سنگ ، کنگلومرا	97.5-100	Ba	IB-404H	27:21:915N,60:34:676E	1.40.9	مگنتیت، هماتیت، ایلمنیت، گارنت، الیزیست، مارتبیت، کرندوم، پیریت اکسید، الیوین، زیرکن، آناتاز، کلسیت، کانیهای آلترا، ویتریت		
			Sn			1.51.4			
			Cr			3742.4			
			Ti			71001.5			
۲۷	ماسه سنگ ، کنگلومرا	97.5-100	Zn	IB-406H	27:22:272N,60:34:319E	68.51.3	مگنتیت، هماتیت ، ایلمنیت، الیوین، پیریت اکسید، زیرکن، آناتاز، اسفن، روتیل، باریت، لوکوکسن، کرندوم، کلسیت، کانیهای آلترا، ویتریت		
			Au			34			
۲۸	ماسه سنگ ، کنگلومرا								

جدول (۵-۷): مشخصات نمونه‌های کانی سنگین برداشت شده در برگه ۱۰۰۰۰۱/۱ ایرانشهر

ردیف	شماره نمونه	محضنات	عصر	شدت انومالی	شاخص غنی شدگی	عیار(ppm)	تمو نه مینرالیزه	مطالعه کانی سنگین			
۱۱	IB-410H	Zn	27:21:993N,60:32:194E	97.5-100	1.4	86.2		مگنتیت، هماتیت، ایلمنیت، گارنت، الیوین، پیریت اکسید، زیرکن، آپاتیت، روتیل، باریت، آناتاز، اسفن، لوکوکسن، کلسیت، کانیهای آلتزه، کانیهای سبک، ویتریت	سنگ بالا دست		
۱۲	IB-411H	Co Cr Mn Mo Pb Sn Ti Zn	27:22:419N,60:31:767E	97.5-100	1.7	7700		مگنتیت، هماتیت، ایلمنیت، گارنت، الیزیست، کرندوم، پیریت اکسید، طلا، الیوین، زیرکن، روتیل، باریت، آناتاز، اسفن، کرندوم، لوکوکسن، کلسیت، کانیهای آلتزه، کانیهای سبک، ویتریت	سنگ ، کنگلومرا		
۱۳	IB-414H	Cr Mn Ti Zn	27:23:009N,60:30:889E	97.5-100	1.5	1410		مگنتیت، هماتیت، ایلمنیت، گارنت، الیوین، الیزیست، هارتیت، طلا، کرندوم، پیریت اکسید، زیرکن، روتیل، باریت، آناتاز، اسفن، لوکوکسن، کلسیت، کانیهای آلتزه، کانیهای سبک، ویتریت	سنگ ، کنگلومرا		
۱۴	IB-415H	Cr Ti Zn	27:23:098N,60:30:753E	97.5-100	1.8	6508		مگنتیت، هماتیت، ایلمنیت، الیوین، پیریت اکسید، زیرکن، آناتاز، اسفن، روتیل، باریت، لوکوکسن، کرندوم، کلسیت، کانیهای آلتزه، کانیهای سبک، ویتریت	سنگ ، کنگلومرا		
۱۵	IB-433H	Zn Pb	27:25:656N,60:31:824E	97.5-100	1.2	332		مگنتیت، هماتیت، گارنت، الیوین، پیریت اکسید، زیرکن، آناتاز، اسفن، روتیل، باریت، آناتاز، اسفن، لوکوکسن، کرندوم، کلسیت، کانیهای آلتزه، ویتریت	سنگ استون، ماسه سنگ ، کنگلومرا ، مادستون		
۱۶	IB-442H	As Ba Sn Be Mo Pb W	27:29:254N,60:30:083E	97.5-100	1.3	16.9		مگنتیت، هماتیت، ایلمنیت، گارنت، الیوین، پیریت اکسید، زیرکن، باریت، آناتاز، اسفن، لوکوکسن ، کلسیت، کانیهای آلتزه، ویتریت	سنگ استون، ماسه سنگ ، کنگلومرا ، مادستون		
۱۷	ID-005H							این نمونه با توجه به لیتو لوژی مناسب برداشت شده است	فلیش	ID-005X	27:28:481N,60:57:967E

جدول (۷-۶): مشخصات نمونه‌های کانی سنتگین برداشت شده در برگه ۱/۱۰۰۰۰ ایرانشهر

ردیف	شماره نمونه	مختصات	عنصر	شدت انومالی	شاخص غنی شدگی	عیار(ppm)	نحوه مینرالیزه	مطالعه کانی سنتگین	سنگ بالا دست
۳۶	ID-006H	27:28:441N,60:57:552E	Au	97.5-100	2.7	2		مگنتیت، هماتیت، ایلمنیت، گارنت، زیرکن، الیزیست، آناتاز، روتیل، باریت، لوکوکسن، کانیهای آنتره، پیرولوژیت، ویتریت	فلیش، شیل، آهک پلازیک، آندزیت، اسپلیلت
۳۷	ID-007H	27:28:082N,60:57:177E	Se	97.5-100	9	1.8		مگنتیت، هماتیت، گارنت، زیرکن، دوتیل، باریت، لوکوکسن، پیریت، کلسیت، کانیهای آنتره	فلیش
۳۸	ID-157H	27:28:587N,60:49:766E	Ag	97.5-100	2	0.1			آهک ، کنگلومرا
			AS		1.3	9.6			
			Au		2.7	2			
			Cu		1.5	39.2			
۳۹	ID-158H	27:29:438N,60:49:793E	AS	97.5-100	1.5	14.2			آهک ، کنگلومرا
			Be		1.3	1.2			
			Cu		1.6	398			
			Ni		2	116			
			Zn		1.3	66.4			
۴۰	ID-159H	27:29:842N,60:49:299E	Ag	97.5-100	1.2	0.1			آهک ، کنگلومرا
			As		1.3	9.7			
			Cu		1.3	33.1			
			Ni		1.47	99			
۴۱	ID-039H	27:24:013N,60:56:282E	Hg	97.5-100	5.3	0.3		مگنتیت، هماتیت، ایلمنیت، گارنت، الیزیست، زیرکن، آناتاز، دوتیل، باریت، لوکوکسن، سینابور، کلسیت، کانیهای آنتره، پیرولوژیت	فلیش، شیل، آهک پلازیک، آندزیت، اسپلیلت
۴۲	ID-111H	27:19:381N,60:49:409E	Au	97.5-100	6.7	18		مگنتیت، هماتیت، ایلمنیت، گارنت، الیزیست، مارنتیت، طلا، کرندوم، پیریت اکسید، زیرکن، دوتیل، باریت، آناتاز، اسفن، لوکوکسن، کلسیت، کانیهای آنتره، کانیهای سبک، ویتریت	کنگلومرا

ردیف	شماره نمونه	مختصات	نفخس	شدت انومالی	شاخص غنی شدگی	عیار(ppm)	نحوه میترالیزه	مطالعه کانی سنگین	ستگ بالا دست
۱۳	ID-117H	27:18:55N,60:50:718E	Cu	97.5-100	1.3	39.6		مگنتیت، هماتیت، ایلمنیت، گارنت، الیوین، پیریت‌اکسید، زیرکن، باریت، لوکوکسن، سیناپر، کلسیت، کانیهای آنتره، ویتریت	گابرو
۱۴	ID-115H	27:18:147N,60:50:397E	Co Cr Cu Ni	97.5-100	1.3	26.2		مگنتیت، هماتیت، گارنت، الیزیست، هارقیت، طلا، کرندوم، پیریت‌اکسید، زیرکن، روتیل، باریت، آناتاز، اسفن، کرندوم، لوکوکسن، کلسیت، کانیهای آنتره، کانیهای سبک، ویتریت	گابرو
					1.9	124			
					1.4	42.5			
					1.8	189			
۱۵	ID-036H	27:23:996N,60:57:496E	Se	97.5-100	16	2.4		مگنتیت، هماتیت، ایلمنیت، گارنت، زیرکن، آپاتیت، الیزیست، آناتاز، روتیل، باریت، لوکوکسن، کانیهای آنتره، ویتریت	فلیش، شیل، آهک پلازیک، آندزیت، اسپولیت
۱۶	ID-037H	27:24:755N,60:57:080E						این نمونه با توجه به لیتلولوزی مناسب برداشت شده است	فلیش، شیل، آهک پلازیک، آندزیت، اسپولیت
۱۷	ID-038H	27:24:715N,60:56:735E						این نمونه با توجه به لیتلولوزی مناسب برداشت شده است	فلیش، شیل، آهک پلازیک، آندزیت، اسپولیت
۱۸	ID-112H	27:17:243N,60:51:250E	Cu	97.5-100	1.3	35.1		مگنتیت، هماتیت، گارنت، پیریت‌اکسید، الیوین، زیرکن، روتیل، باریت، آناتاز، لوکوکسن، پیریت، کلسیت، کانیهای آنتره، ویتریت	دیباذ
۱۹	ID-113H	27:17:123N,60:50:820E	Mn Cu	97.5-100	1.3	850		مگنتیت، هماتیت، گارنت، پیریت‌اکسید، زیرکن، باریت، آناتاز لوکوکسن، کلسیت، کانیهای آنتره، ویتریت	دیباذ
					1.4	37.6			

ردیف	شماره نمونه	محضات	عنصر	شدت انومالی	شاخص فتن شدگی	عیار (ppm)	نوع نماینده مینرالیزه	مطالعه کانی سنجکن	سنجک بالا دست
۵۰	II-296H		Au	97.5-100	4	3		مگنتیت، هماتیت، ایلمنیت، گارنت، الیوین، پیریت اکسید، زیرکن، باریت، آناتاز، اسفن، لوکوکسن، کلسیت، کانیهای آلتره، ویتریت	کنگلومرا
۵۱	II-296AH		Au	97.5-100	4	3		مگنتیت، هماتیت، ایلمنیت، گارنت، پیریت اکسید، الیوین، زیرکن، رو تیل، باریت، آناتاز، اسفن، لوکوکسن، کلسیت، کانیهای آلتره، ویتریت	کنگلومرا
۵۲	II-296BH		Au	97.5-100	4	3		مگنتیت، هماتیت، ایلمنیت، گارنت، الیوین، پیریت اکسید، زیرکن، رو تیل، باریت، آناتاز، اسفن، لوکوکسن، کلسیت، کانیهای آلتره، کانیهای سبک، ویتریت	کنگلومرا
۵۳	II-295H		Au	97.5-100	6.7	5		مگنتیت، هماتیت، ایلمنیت، گارنت، پیریت اکسید، الیوین، زیرکن، الیزیست، آناتاز، اسفن، پیریت، رو تیل، باریت، لوکوکسن، کلسیت، کانیهای آلتره، کانیهای سبک، ویتریت	کنگلومرا
۵۴	II-294H		Au	97.5-100	6.7	51		مگنتیت، هماتیت، ایلمنیت، الیزیست، گارنت، پیریت اکسید، الیوین، زیرکن، رو تیل، باریت، آناتاز، اسفن، لوکوکسن، کلسیت، کانیهای آلتره، ویتریت	کنگلومرا
۵۵	II-233H						II-233X	این نمونه با توجه به لیتوژئی مناسب برداشت شده است	فلیش، کلاردملانز، دیاباز، اسمولیت
۵۶	II-261H		NI	97.5-100	2	144	II-261X	مگنتیت، هماتیت، گارنت، زیرکن، الیزیست، آناتاز، اسفن، رو تیل، باریت، لوکوکسن، کلسیت، کانیهای آلتره، ویتریت	فلیش، دیاباز، اسمولیت

ردیف	شماره تعقوبه	مختصات	عمر	شدت انواعی	شاخص غنی شدگی	عیار(ppm)	نموده میترالزه	مطالعه کانی سنگین	سنگ بالا دست	
۵۷	II-266H	27:03:862N,60:53:092E	Cr	97.5-100	2.4	6.3	II-266X	مگنتیت، هماتیت، پیریت اکسید، الیزیست، زیرکن، باریت، اسفن، آناتاز، لوکوکسن، پیرولوزیت، کلسیت، کانیهای آلترا، ویتریت	فلیش، کلار-دملانز، دیباز، اسپیلیت	
۵۸	ID-125H	27:70:480N,60:47:053E	Cu	97.5-100	1.24	32.1		مگنتیت، هماتیت، ایلمنیت، گارنت، زیرکن، آیاتیت، آناتاز، روتیل، باریت، لوکوکسن، سیناپر، کرندوم، کلسیت، کانیهای آلترا، ویتریت	شیل، ماسه سنگ، کنگلومرا، آهک	
۵۹	ID-110H	27:19:653N,60:49:655E	Co Mo Mn Ti Sr	97.5-100	1.27	25.1			مگنتیت، هماتیت، گارنت، زیرکن، آیاتیت، آناتاز، روتیل، باریت، لوکوکسن، کلسیت، کانیهای آلترا، ویتریت	کنگلومرا، گابرو
					2.4	1.2				
					1.29	911				
					1.79	6810				
					1.72	464				
۶۰	ID-123H	27:19:212N,60:47:046E	Au Cr Ni	97.5-100	4	4			مگنتیت، هماتیت، ایلمنیت، گارنت، پیریت اکسید، الیوین، الیزیست، زیرکن، روتیل، باریت، آناتاز، اسفن، لوکوکسن، کلسیت، کانیهای آلترا، پیرولوزیت، ویتریت	کنگلومرا، آهک
					1.78	139				
					2.03	65				
۶۱	ID-051H	27:19:169N,60:54:590E	Au	97.5-100	117.33	88			مگنتیت، هماتیت، ایلمنیت، گارنت، سریانثین، الیزیست، مارتیت، کرندوم، پیریت اکسید، طلا، الیوین، زیرکن، روتیل، باریت، آناتاز، کرندوم، لوکوکسن، کلسیت، کانیهای آلترا	فلیش، شیل، آهک پلازیک و نومولیتی، آندزیت، اسپیلیت
۶۲	ID-051AH	27:19:561N,60:54:958E	Au	97.5-100	117.33	88			مگنتیت، هماتیت، ایلمنیت، گارنت، سریانثین، الیزیست، مارتیت، کرندوم، پیریت اکسید، طلا، الیوین، زیرکن، روتیل، باریت، آناتاز، سیناپر، کرندوم، لوکوکسن، کلسیت، کانیهای آلترا، سرب طبیعی، مس طبیعی	فلیش، شیل، آهک پلازیک و نومولیتی، آندزیت، اسپیلیت

Table (7-10) : Results of Heavy Mineral Studies in Iranshahr Sheet

FIELD NO.	IA-222	IA-234	IA-266	IA-221	IA-181	IA-044
Total Volume cc A	4500	4000	3000	4500	5000	4500
Panned Volume cc B	1.9	0.6	1	1.3	1.5	3
Study Volume cc C	1.9	0.6	1	1.3	1.5	3
Heavy Volume cc Y	1.1	0.2	0.5	0.6	0.9	1.8
Magnetite	60.78	8.29	69.07	19.34	79.25	33.15
Hematite	82.29	26.83	36.82	35.77	53.02	113.62
Ilmenite	0.00	0.00	0.00	0.00	0.00	0.00
Garnet	15.64	0.01	0.01	0.01	1.01	0.01
Pyroxene	82.13	20.40	35.00	34.00	60.48	86.40
Amphibole	23.47	2.55	42.00	27.20	22.68	21.60
Biotite	0.01	0.00	0.00	0.01	0.00	0.00
Pyrite oxide	0.01	0.01	0.01	0.01	0.01	0.01
Serpentine	0.00	0.00	0.00	0.00	0.00	0.00
Olivin	0.00	0.00	0.00	0.00	0.00	0.00
Oligiste	2.03	0.00	0.01	0.01	0.01	0.00
Martite	0.00	0.00	0.00	0.00	0.00	0.00
Spinel	0.00	0.00	0.00	0.00	0.00	0.00
Scheelite	0.01	0.00	0.00	0.00	0.00	0.00
Zircon	0.11	0.02	0.08	0.06	0.08	0.18
Apatite	0.00	0.01	0.00	0.00	0.01	0.00
Rutile	0.01	0.01	0.01	0.01	0.07	0.16
Chalcopyrite	0.00	0.00	0.00	0.00	0.00	0.00
Barite	0.11	0.02	0.08	0.06	0.08	0.18
Anatase	0.01	0.00	0.01	0.01	0.01	0.01
Sphene	0.00	0.01	0.01	0.00	0.01	0.01
Andalusite	0.00	0.00	0.00	0.00	0.00	0.00
Leucoxene	0.07	0.01	0.05	0.01	0.05	0.12
Cerussite	0.00	0.00	0.00	0.00	0.00	0.00
Galena	0.00	0.00	0.00	0.00	0.00	0.00
Malachite	0.00	0.00	0.00	0.00	0.00	0.00
Cinnabar	0.00	0.00	0.00	0.00	0.00	0.00
Gold	0.00	0.00	0.00	0.00	0.00	0.00
Orpiment	0.00	0.00	0.00	0.00	0.00	0.00
Kyanite	0.00	0.00	0.00	0.00	0.00	0.00
Corundum	0.00	0.00	0.00	0.00	0.00	0.00
Pyrite	0.01	0.00	0.00	0.00	0.00	0.00
Calcite	0.01	0.01	0.01	0.01	0.01	0.11
Altered minerals	79.27	13.97	52.05	59.24	45.95	264.12
Light minerals	0.00	0.00	0.00	0.00	0.00	0.00
Pyrolusite	0.00	0.01	0.00	0.00	0.00	0.00
Native copper	0.00	0.00	0.00	0.01	0.00	0.00
Native lead	0.00	0.00	0.00	0.00	0.00	0.00
Pyromorphite	0.00	0.00	0.00	0.00	0.00	0.00
Witherite	0.10	0.02	0.07	0.06	0.08	0.17
Chlorite	0.00	0.00	0.00	0.00	0.00	0.00
Muscovite	0.00	0.00	0.00	0.00	0.00	0.00
Mimetite	0.00	0.00	0.00	0.00	0.00	0.00
Strontianite	0.00	0.00	0.00	0.00	0.00	0.00
Vanadinite	0.00	0.00	0.00	0.00	0.00	0.00

Table (7-11) : Results of Heavy Mineral Studies in Iranshahr Sheet

FIELD NO.	IA-235	IA-182	IA-214	ID-159	IB-406	IB-415
Total Volume cc A	3500	4000	5000	5000	4500	5000
Panned Volume cc B	6.2	1.6	3.4	1.8	9.5	36
Study Volume cc C	6.2	1.6	3.4	1.8	9.5	36
Heavy Volume cc Y	4.5	0.5	2.6	0.3	8.8	34
Magnetite	0.67	0.06	436.36	14.92	1134.54	5389.27
Hematite	973.85	47.34	136.76	15.15	987.48	3576.80
Ilmenite	0.00	0.00	0.00	0.00	11.03	319.60
Garnet	0.00	0.01	2.08	0.01	375.47	816.00
Pyroxene	416.57	47.25	140.40	20.16	70.40	0.01
Amphibole	0.01	0.01	0.01	2.88	0.00	0.00
Biotite	0.00	0.00	0.00	0.00	0.00	0.00
Pyrite oxide	0.00	0.00	0.01	0.48	0.01	0.01
Serpentine	0.00	0.00	0.00	0.00	0.00	0.00
Olivin	0.01	0.00	0.00	0.00	309.76	673.20
Oligiste	0.01	0.01	0.01	0.01	0.00	0.00
Martite	0.00	0.00	0.00	0.00	0.00	0.00
Spinel	0.00	0.00	0.00	0.00	0.00	0.00
Scheelite	0.00	0.00	0.00	0.00	0.00	0.00
Zircon	0.58	0.06	0.23	0.03	0.88	3.06
Apatite	0.00	0.00	0.01	0.00	0.00	0.01
Rutile	0.01	0.01	0.01	0.02	0.78	2.72
Chalcopyrite	0.00	0.00	0.00	0.00	0.00	0.00
Barite	0.58	0.06	0.23	0.03	0.88	3.06
Anatase	0.00	0.01	0.00	0.01	0.01	0.01
Sphene	0.01	0.00	0.00	0.00	0.01	2.38
Andalusite	0.00	0.00	0.00	0.00	0.00	0.00
Leucoxene	0.01	0.01	0.01	0.02	0.59	0.01
Cerussite	0.00	0.00	0.00	0.00	0.00	0.00
Galena	0.00	0.00	0.00	0.00	0.00	0.00
Malachite	0.00	0.00	0.00	0.00	0.00	0.00
Cinnabar	0.00	0.00	0.01	0.00	0.00	0.00
Gold	0.00	0.00	0.00	0.00	0.00	0.00
Orpiment	0.00	0.00	0.00	0.00	0.00	0.00
Kyanite	0.00	0.00	0.00	0.00	0.00	0.00
Corundum	0.00	0.00	0.00	0.00	0.01	0.01
Pyrite	0.00	0.00	0.01	0.00	0.00	0.00
Calcite	0.35	0.01	0.14	0.00	0.01	1.84
Altered minerals	417.34	60.83	121.84	28.10	376.05	1164.84
Light minerals	0.00	0.00	0.00	0.00	0.00	0.01
Pyrolusite	0.00	0.01	0.00	0.01	0.00	0.00
Native copper	0.00	0.00	0.00	0.00	0.00	0.00
Native lead	0.00	0.00	0.00	0.00	0.00	0.00
Pyromorphite	0.00	0.00	0.00	0.00	0.00	0.00
Wetherite	0.54	0.05	0.22	0.01	0.82	2.86
Chlorite	0.00	0.00	0.00	0.00	0.00	0.00
Muscovite	0.00	0.00	0.00	0.00	0.00	0.00
Mimetite	0.00	0.00	0.00	0.00	0.00	0.00
Strontianite	0.00	0.00	0.00	0.00	0.00	0.00
Vanadinite	0.00	0.00	0.00	0.00	0.00	0.00

Table (7-12) : Results of Heavy Mineral Studies in Iranshahr Sheet

FIELD NO.	IB-410	IB-319	IB-399	IA-251	IA-185	IA-233
Total Volume cc A	6000	5000	6000	3000	4500	4000
Panned Volume cc B	9.1	4.5	28	1.5	5.7	2.7
Study Volume cc C	9.1	4.5	28	1.5	5.7	2.7
Heavy Volume cc Y	6.6	3.5	24	0.6	4.9	0.9
Magnetite	820.51	456.88	1160.32	77.70	95.89	0.12
Hematite	405.02	184.10	3787.20	29.46	412.38	42.61
Ilmenite	5.17	0.01	28.20	0.00	0.00	0.00
Garnet	132.00	168.00	240.00	1.12	0.01	0.00
Pyroxene	3.30	63.00	18.00	50.40	470.40	36.45
Amphibole	0.01	0.01	0.00	42.00	58.80	48.60
Biotite	0.00	0.00	0.00	0.00	0.00	0.01
Pyrite oxide	0.01	0.01	300.00	0.01	0.01	0.00
Serpentine	0.00	0.00	0.00	0.00	0.00	0.00
Olivin	181.50	23.10	198.00	0.00	0.00	0.00
Oligiste	0.00	0.01	0.00	0.00	10.19	0.00
Martite	0.00	0.00	0.00	0.00	0.00	0.00
Spinel	0.00	0.00	0.00	0.00	0.00	0.00
Scheelite	0.00	0.01	0.00	0.00	0.00	0.00
Zircon	0.50	0.32	1.80	0.09	0.49	0.10
Apatite	0.01	0.01	0.00	0.00	0.01	0.00
Rutile	0.44	0.28	0.01	0.01	0.44	0.00
Chalcopyrite	0.00	0.00	0.00	0.00	0.00	0.00
Barite	0.50	0.32	1.80	0.09	0.49	0.10
Anatase	0.01	0.01	0.01	0.00	0.01	0.01
Sphene	0.01	0.00	0.01	0.00	0.00	0.00
Andalusite	0.00	0.00	0.00	0.00	0.00	0.00
Leucoxene	0.33	0.01	0.01	0.06	0.33	0.00
Cerussite	0.00	0.00	0.00	0.00	0.00	0.00
Galena	0.00	0.00	0.00	0.00	0.00	0.00
Malachite	0.00	0.00	0.00	0.00	0.00	0.00
Cinnabar	0.00	0.00	0.00	0.00	0.00	0.00
Gold	0.00	0.00	0.00	0.00	0.00	0.00
Orpiment	0.00	0.00	0.00	0.00	0.00	0.00
Kyanite	0.00	0.00	0.00	0.00	0.00	0.00
Corundum	0.00	0.00	0.00	0.00	0.00	0.00
Pyrite	0.00	0.00	0.01	0.00	0.00	0.00
Calcite	0.01	0.01	0.01	0.01	0.01	0.06
Altered minerals	284.13	218.61	1189.20	73.86	421.73	133.79
Light minerals	0.01	0.14	0.80	0.00	0.00	0.00
Pyrolusite	0.00	0.00	0.00	0.00	0.00	0.00
Native copper	0.00	0.00	0.00	0.00	0.00	0.00
Native lead	0.00	0.00	0.00	0.00	0.00	0.00
Pyromorphite	0.00	0.00	0.00	0.00	0.00	0.00
Witherite	0.46	0.29	1.68	0.08	0.46	0.09
Chlorite	0.00	0.00	0.00	0.00	0.00	0.00
Muscovite	0.00	0.00	0.00	0.00	0.00	0.00
Mimetite	0.00	0.00	0.00	0.00	0.00	0.00
Strontianite	0.00	0.00	0.00	0.00	0.00	0.00
Vanadinite	0.00	0.00	0.00	0.00	0.00	0.00

*Table (7-13) : Results of Heavy Mineral Studies in Iranshahr Sheet*

FIELD NO.	IA-261	IA-179	ID-038	ID-036	ID-006	ID-158
Total Volume cc A	3500	4500	5000	6000	4500	5000
Panned Volume cc B	2.3	1.1	1.5	1.3	1.8	2.6
Study Volume cc C	2.3	1.1	1.5	1.3	1.8	2.6
Heavy Volume cc Y	1.5	0.3	0.3	0.5	1.1	1.5
Magnetite	213.12	0.03	34.81	41.44	20.26	26.42
Hematite	117.22	12.62	15.15	28.49	69.43	85.21
Ilmenite	0.00	0.00	0.01	0.01	0.00	0.00
Garnet	0.01	0.00	0.29	0.43	1.76	0.01
Pyroxene	100.29	10.80	15.12	19.50	105.60	97.20
Amphibole	66.86	10.80	4.32	13.00	52.80	0.01
Biotite	0.00	0.00	0.01	0.00	0.00	0.00
Pyrite oxide	0.00	0.60	3.60	0.01	0.01	2.70
Serpentine	0.00	0.00	0.00	0.00	0.00	0.00
Olivin	0.00	0.00	0.00	0.00	0.00	0.00
Oligiste	2.90	0.01	0.01	0.01	0.01	0.01
Martite	0.00	0.00	0.00	0.00	0.00	0.00
Spinel	0.00	0.00	0.00	0.00	0.00	0.00
Scheelite	0.00	0.00	0.00	0.00	0.00	0.00
Zircon	0.19	0.03	0.03	0.04	0.11	0.14
Apatite	0.00	0.00	0.00	0.01	0.01	0.00
Rutile	0.17	0.01	0.02	0.03	0.10	0.12
Chalcopyrite	0.00	0.00	0.00	0.00	0.00	0.00
Barite	0.19	0.03	0.03	0.04	0.11	0.14
Anatase	0.01	0.01	0.01	0.01	0.01	0.01
Sphene	0.01	0.00	0.00	0.00	0.00	0.00
Andalusite	0.00	0.00	0.00	0.00	0.00	0.00
Leucoxene	0.13	0.01	0.01	0.03	0.07	0.09
Cerussite	0.00	0.00	0.00	0.00	0.00	0.00
Galena	0.00	0.00	0.00	0.00	0.00	0.00
Malachite	0.00	0.00	0.00	0.00	0.00	0.00
Cinnabar	0.00	0.00	0.00	0.00	0.00	0.00
Gold	0.00	0.00	0.00	0.00	0.00	0.00
Orpiment	0.00	0.00	0.00	0.00	0.00	0.00
Kyanite	0.00	0.00	0.00	0.00	0.00	0.00
Corundum	0.00	0.00	0.00	0.00	0.00	0.00
Pyrite	0.00	0.01	0.00	0.00	0.00	0.00
Calcite	0.01	0.02	0.00	0.00	0.00	0.01
Altered minerals	131.27	43.24	18.02	22.28	69.01	180.99
Light minerals	0.00	0.00	0.00	0.00	0.00	0.00
Pyrolusite	0.00	0.00	0.00	0.00	0.01	0.00
Native copper	0.00	0.00	0.00	0.00	0.00	0.00
Native lead	0.00	0.00	0.00	0.00	0.00	0.00
Pyromorphite	0.00	0.00	0.00	0.00	0.00	0.00
Witherite	0.18	0.03	0.01	0.01	0.01	0.00
Chlorite	0.00	0.00	0.00	0.00	0.00	0.00
Muscovite	0.00	0.00	0.00	0.00	0.00	0.00
Mimetite	0.00	0.00	0.00	0.00	0.00	0.00
Strontianite	0.00	0.00	0.00	0.00	0.00	0.00
Vanadinite	0.00	0.00	0.00	0.00	0.00	0.00

Table (7-14) : Results of Heavy Mineral Studies in Iranshahr Sheet

FIELD NO.	ID-110	ID-005	ID-039	ID-125	IA-043	ID-007
Total Volume cc A	6000	4000	6000	5500	4500	3500
Panned Volume cc B	6	1.7	1.3	3.7	2.2	0.5
Study Volume cc C	6	1.7	1.3	3.7	2.2	0.5
Heavy Volume cc Y	4.9	1.1	0.3	2.3	1.1	0.1
Magnetite	473.80	121.08	22.02	242.61	75.97	21.31
Hematite	463.93	81.00	18.41	158.37	96.43	6.01
Ilmenite	0.00	0.00	0.01	0.01	0.00	0.00
Garnet	39.20	0.01	0.28	20.07	1.47	0.01
Pyroxene	176.40	69.30	16.80	90.33	77.00	6.86
Amphibole	0.01	34.65	0.21	30.11	33.00	3.43
Biotite	0.00	0.00	0.00	0.00	0.00	0.00
Pyrite oxide	0.01	1.93	0.35	2.51	0.01	0.01
Serpentine	0.00	0.00	0.00	0.00	0.00	0.00
Olivin	0.00	0.01	0.00	0.00	0.00	0.00
Oligiste	0.00	0.01	0.01	0.01	0.01	0.00
Martite	0.00	0.00	0.00	0.00	0.00	0.00
Spinel	0.00	0.00	0.00	0.00	0.00	0.00
Scheelite	0.00	0.00	0.00	0.00	0.00	0.00
Zircon	0.37	0.12	0.02	0.19	0.11	0.01
Apatite	0.01	0.00	0.00	0.01	0.01	0.00
Rutile	0.33	0.01	0.01	0.17	0.10	0.01
Chalcopyrite	0.00	0.00	0.00	0.00	0.00	0.00
Barite	0.37	0.12	0.02	0.19	0.11	0.01
Anatase	0.01	0.01	0.01	0.01	0.01	0.00
Sphene	0.00	0.00	0.00	0.00	0.00	0.00
Andalusite	0.00	0.00	0.00	0.00	0.00	0.00
Leucoxene	0.25	0.01	0.01	0.13	0.01	0.01
Cerussite	0.00	0.00	0.00	0.00	0.00	0.00
Galena	0.00	0.00	0.00	0.00	0.00	0.00
Malachite	0.00	0.00	0.00	0.00	0.00	0.00
Cinnabar	0.00	0.00	0.01	0.01	0.00	0.00
Gold	0.00	0.00	0.00	0.00	0.00	0.00
Orpiment	0.00	0.00	0.00	0.00	0.00	0.00
Kyanite	0.00	0.00	0.00	0.00	0.00	0.00
Corundum	0.00	0.00	0.00	0.01	0.00	0.00
Pyrite	0.00	0.00	0.00	0.00	0.00	0.01
Calcite	0.01	0.00	0.01	0.11	0.07	0.01
Altered minerals	186.45	93.31	16.97	110.53	69.74	6.52
Light minerals	0.00	0.00	0.00	0.00	0.01	0.00
Pyrolusite	0.00	0.01	0.01	0.00	0.00	0.00
Native copper	0.00	0.00	0.00	0.00	0.00	0.00
Native lead	0.00	0.00	0.00	0.00	0.00	0.00
Pyromorphite	0.00	0.00	0.00	0.00	0.00	0.00
Witherite	0.01	0.01	0.00	0.01	0.10	0.00
Chlorite	0.00	0.00	0.00	0.00	0.00	0.00
Muscovite	0.00	0.00	0.00	0.00	0.00	0.00
Mimetite	0.00	0.00	0.00	0.00	0.00	0.00
Strontianite	0.00	0.00	0.00	0.00	0.00	0.00
Vanadinite	0.00	0.00	0.00	0.00	0.00	0.00

*Table (7-15) : Results of Heavy Mineral Studies in Iranshahr Sheet*

FIELD NO.	ID-113	IB-442	II-296	IB-398	ID-117	ID-037
Total Volume cc A	6000	4500	6000	5000	6000	5000
Panned Volume cc B	1.9	15.5	25	16	2.2	1.8
Study Volume cc C	1.9	15.5	25	16	2.2	1.8
Heavy Volume cc Y	1.2	14.5	24	15	1.3	0.8
Magnetite	108.78	1168.38	2817.92	1243.20	89.79	92.83
Hematite	88.37	1898.28	2545.84	2430.12	79.78	50.50
Ilmenite	0.00	0.01	0.01	0.01	0.01	0.01
Garnet	0.96	541.33	528.00	168.00	1.21	0.77
Pyroxene	36.00	541.33	264.00	378.00	81.90	34.56
Amphibole	21.60	0.01	0.01	0.00	0.91	0.58
Biotite	0.00	0.00	0.00	0.00	0.00	0.00
Pyrite oxide	0.01	0.01	0.01	0.01	0.01	19.20
Serpentine	0.00	0.00	0.00	0.00	0.00	0.00
Olivin	0.00	148.87	0.01	138.60	0.01	0.01
Oligiste	0.00	0.00	0.00	0.00	0.00	0.01
Martite	0.00	0.00	0.00	0.00	0.00	0.00
Spinel	0.00	0.00	0.00	0.00	0.00	0.00
Scheelite	0.00	0.00	0.00	0.00	0.00	0.00
Zircon	0.09	1.45	1.80	1.35	0.10	0.07
Apatite	0.00	0.00	0.00	0.00	0.00	0.00
Rutile	0.08	1.29	1.60	1.20	0.09	0.06
Chalcopyrite	0.00	0.00	0.00	0.00	0.00	0.00
Barite	0.09	1.45	1.80	1.35	0.10	0.07
Anatase	0.01	0.01	0.01	0.01	0.00	0.01
Sphene	0.00	0.01	0.01	0.01	0.00	0.00
Andalusite	0.00	0.00	0.00	0.00	0.00	0.00
Leucoxene	0.06	0.97	1.20	0.01	0.01	0.05
Cerussite	0.00	0.00	0.00	0.00	0.00	0.00
Galena	0.00	0.00	0.00	0.00	0.00	0.00
Malachite	0.00	0.00	0.00	0.00	0.00	0.00
Cinnabar	0.00	0.00	0.00	0.00	0.01	0.01
Gold	0.00	0.00	0.00	0.00	0.00	0.00
Orpiment	0.00	0.00	0.00	0.00	0.00	0.00
Kyanite	0.00	0.00	0.00	0.00	0.00	0.00
Corundum	0.00	0.00	0.00	0.01	0.00	0.00
Pyrite	0.00	0.00	0.00	0.01	0.00	0.00
Calcite	0.01	0.01	0.01	0.01	0.06	0.01
Altered minerals	57.06	832.30	817.20	684.90	67.67	53.81
Light minerals	0.00	0.00	0.00	0.00	0.00	0.00
Pyrolusite	0.00	0.00	0.00	0.00	0.00	0.01
Native copper	0.00	0.00	0.00	0.00	0.00	0.00
Native lead	0.00	0.00	0.00	0.00	0.00	0.00
Pyromorphite	0.00	0.00	0.00	0.00	0.00	0.00
Witherite	0.01	1.35	1.68	1.26	0.01	0.00
Chlorite	0.00	0.00	0.00	0.00	0.00	0.00
Muscovite	0.00	0.00	0.00	0.00	0.00	0.00
Mimetite	0.00	0.00	0.00	0.00	0.00	0.00
Strontianite	0.00	0.00	0.00	0.00	0.00	0.00
Vanadinite	0.00	0.00	0.00	0.00	0.00	0.00

Table (7-16) : Results of Heavy Mineral Studies in Iranshahr Sheet

FIELD NO.	IA-216	ID-112	IB-432	ID-157	ID-123	IB-358
Total Volume cc A	5000	5500	3000	5000	6000	5000
Panned Volume cc B	2	2.3	2.4	5	3.3	4.7
Study Volume cc C	2	2.3	2.4	5	3.3	4.7
Heavy Volume cc Y	1.2	1	1.4	3.9	2.4	4
Magnetite	159.13	70.64	135.37	72.73	217.56	372.96
Hematite	55.55	66.95	220.92	443.10	151.49	437.63
Ilmenite	0.00	0.00	0.01	0.01	0.01	0.01
Garnet	1.06	1.02	2.80	0.01	1.92	208.00
Pyroxene	87.12	61.09	105.00	168.48	100.80	93.60
Amphibole	0.79	0.76	21.00	0.01	1.44	0.00
Biotite	0.00	0.00	0.00	0.00	0.00	0.00
Pyrite oxide	0.01	0.01	0.01	7.02	0.01	0.01
Serpentine	0.00	0.00	0.00	0.00	0.00	0.00
Olivin	0.01	8.40	46.20	92.66	1.58	3.43
Oligiste	1.37	0.00	0.00	0.01	0.01	0.00
Martite	0.00	0.00	0.00	0.00	0.00	0.00
Spinel	0.00	0.00	0.00	0.00	0.00	0.00
Scheelite	0.00	0.00	0.00	0.00	0.00	0.00
Zircon	0.11	0.08	0.21	0.35	0.18	0.36
Apatite	0.00	0.00	0.00	0.00	0.00	0.00
Rutile	0.01	0.07	0.19	0.31	0.16	0.32
Chalcopyrite	0.00	0.00	0.00	0.00	0.00	0.00
Barite	0.11	0.08	0.21	0.35	0.18	0.36
Anatase	0.01	0.01	0.00	0.01	0.01	0.00
Sphene	0.00	0.00	0.01	0.00	0.01	0.01
Andalusite	0.00	0.00	0.00	0.00	0.00	0.00
Leucoxene	0.01	0.05	0.01	0.01	0.12	0.24
Cerussite	0.00	0.00	0.00	0.00	0.00	0.00
Galena	0.00	0.00	0.00	0.00	0.00	0.00
Malachite	0.00	0.00	0.00	0.00	0.00	0.00
Cinnabar	0.00	0.00	0.00	0.00	0.00	0.00
Gold	0.00	0.00	0.00	0.00	0.00	0.00
Orpiment	0.00	0.00	0.00	0.00	0.00	0.00
Kyanite	0.00	0.00	0.00	0.00	0.00	0.00
Corundum	0.00	0.00	0.00	0.00	0.00	0.00
Pyrite	0.01	0.00	0.00	0.00	0.00	0.00
Calcite	0.01	0.01	0.01	0.01	0.01	0.01
Altered minerals	62.71	59.51	159.74	341.87	142.92	197.04
Light minerals	0.00	0.00	0.00	0.00	0.00	0.00
Pyrolusite	0.00	0.00	0.00	0.00	0.01	0.00
Native copper	0.00	0.00	0.00	0.00	0.00	0.00
Native lead	0.00	0.00	0.00	0.00	0.00	0.00
Pyromorphite	0.00	0.00	0.00	0.00	0.00	0.00
Witherite	0.10	0.01	0.20	0.01	0.01	0.34
Chlorite	0.00	0.00	0.00	0.00	0.00	0.00
Muscovite	0.00	0.00	0.00	0.00	0.00	0.00
Mimetite	0.00	0.00	0.00	0.00	0.00	0.00
Strontianite	0.00	0.00	0.00	0.00	0.00	0.00
Vanadinite	0.00	0.00	0.00	0.00	0.00	0.00

Table (7-17) : Results of Heavy Mineral Studies in Iranshahr Sheet

FIELD NO.	II-296A	IB-314	IA-220	II-294	IB-361	II-295
Total Volume cc A	6000	5000	5000	6000	4500	5500
Panned Volume cc B	12	2	1.2	8	2.6	6
Study Volume cc C	12	2	1.2	8	2.6	6
Heavy Volume cc Y	11	1.1	0.5	6.9	1.8	4.9
Magnetite	1130.10	127.64	24.86	625.49	145.04	443.03
Hematite	1041.48	76.38	33.66	653.29	235.65	426.44
Ilmenite	0.01	0.00	0.00	0.01	2.63	0.01
Garnet	352.00	19.36	6.40	110.40	67.20	92.65
Pyroxene	66.00	29.04	24.00	124.20	50.40	138.98
Amphibole	0.00	7.26	4.80	0.01	1.68	3.47
Biotite	0.00	0.01	0.01	0.00	0.00	0.00
Pyrite oxide	0.01	1.21	0.01	0.01	0.01	0.01
Serpentine	0.00	0.00	0.00	0.00	0.00	0.00
Olivin	145.20	0.80	0.01	91.08	36.96	114.66
Oligiste	0.00	0.00	0.00	0.01	0.00	0.01
Martite	0.00	0.00	0.00	0.00	0.00	0.00
Spinel	0.00	0.00	0.00	0.00	0.00	0.00
Scheelite	0.00	0.00	0.00	0.00	0.00	0.00
Zircon	0.83	0.10	0.05	0.52	0.18	0.40
Apatite	0.00	0.01	0.00	0.00	0.01	0.00
Rutile	0.73	0.09	0.01	0.46	0.01	0.36
Chalcopyrite	0.00	0.00	0.00	0.00	0.00	0.00
Barite	0.83	0.10	0.05	0.52	0.18	0.40
Anatase	0.01	0.01	0.00	0.01	0.01	0.01
Sphene	0.01	0.00	0.00	0.01	0.00	0.01
Andalusite	0.00	0.00	0.00	0.00	0.00	0.00
Leucoxene	0.55	0.01	0.01	0.35	0.01	0.27
Cerussite	0.00	0.00	0.00	0.00	0.00	0.00
Galena	0.00	0.00	0.00	0.00	0.00	0.00
Malachite	0.00	0.00	0.00	0.00	0.00	0.00
Cinnabar	0.00	0.00	0.00	0.00	0.00	0.00
Gold	0.00	0.00	0.00	0.00	0.00	0.00
Orpiment	0.00	0.00	0.00	0.00	0.00	0.00
Kyanite	0.00	0.00	0.00	0.00	0.00	0.00
Corundum	0.00	0.00	0.00	0.00	0.00	0.01
Pyrite	0.00	0.00	0.00	0.00	0.00	0.00
Calcite	0.50	0.06	0.03	0.31	0.01	0.24
Altered minerals	380.05	82.57	46.83	286.70	103.32	203.39
Light minerals	0.00	0.01	0.00	0.00	0.00	0.01
Pyrolusite	0.00	0.00	0.00	0.00	0.00	0.00
Native copper	0.00	0.00	0.00	0.00	0.00	0.00
Native lead	0.00	0.00	0.00	0.00	0.00	0.00
Pyromorphite	0.00	0.00	0.00	0.00	0.00	0.00
Witherite	0.77	0.01	0.04	0.48	0.17	0.37
Chlorite	0.00	0.00	0.01	0.00	0.00	0.00
Muscovite	0.00	0.00	0.00	0.00	0.00	0.00
Mimetite	0.00	0.00	0.00	0.00	0.00	0.00
Strontianite	0.00	0.00	0.00	0.00	0.00	0.00
Vanadinite	0.00	0.00	0.00	0.00	0.00	0.00

*Table (7-18) : Results of Heavy Mineral Studies in Iranshahr Sheet*

*Table (7-19) : Results of Heavy Mineral Studies in Iranshahr Sheet*

*Table (7-20) : Analytical Results of Rock Sample in Itranshahr Sheet*

SAMPLE	Au	As	Co	Cr	Cu	Mn	Mo	Ni	Pb	Sr	Zn	Ba	Be	Ti	Fe	Hg	Ag	B	Bi	Sb	Sn	W
UNITS	ppb	ppm	ppm	ppm	ppm	ppm	ppm	ppm	ppm	ppm												
DETECTION	1	0.5	0.2	2	0.2	5	0.1	2	0.2	0.1	0.2	0.2	0.2	10	100	0.05	0.01	0.5	0.1	0.1	0.2	0.1
METHOD	FA3	IC3E	IC3M	IC3M	IC3M	IC3M	IC3M	IC3M	IC3M	IC3M	IC3M											
IA.44X	2	<	28.8	195	23.2	1240	0.7	95	<	221	57.3	79.3	0.4	9160	59400	<	0.06	<	<	0.5	2.2	0.7
IA.44X2	<	0.9	6.2	39	94.8	465	1.5	18	<	601	58.3	17.1	<	1190	14400	<	<	<	0.1	0.3	<	<
IA.181X	1	66	39.1	52	40	2940	1	77	22.2	172	136	263	2.3	4910	52100	<	0.16	<	1	2.9	2.4	6.2
IA.185X	<	1.3	8.1	74	6.2	201	1	77	2.7	68.4	7.1	72.5	<	382	9220	0.25	<	<	0.7	0.5	0.3	0.9
IA.221X	<	13.7	32.7	72	47.6	1120	1.1	45	0.8	151	81.5	102	0.7	12600	82700	<	0.05	<	<	1	1.5	1
IA.221X1	<	<	39.7	98	41.6	1470	0.8	46	<	175	86.2	25.5	0.6	12500	81900	<	<	<	<	0.7	1.4	0.7
IA.221X2	<	4.3	5.6	12	13	1140	11	9	10.9	212	53.7	435	1.1	2160	25300	<	<	<	<	0.5	1.9	0.9
IA.222X	2	3.8	7.8	13	48	636	49.1	10	15.6	201	52	60.2	0.6	3710	33100	<	<	<	0.1	0.7	1	1.6
IA.233X	3	7.2	79.2	1510	24.8	621	1.4	1750	<	15.4	36.2	5.7	<	103	48800	<	<	<	<	0.3	<	<
IA.235X	<	<	30.4	67	72.1	1180	1	35	<	575	82	149	1.1	12600	68300	<	<	<	0.4	0.4	1.5	2.1
IA.251X	2	5.5	31.8	44	254	812	1.7	35	4.3	106	83	70.8	0.3	5550	85900	<	<	<	<	0.2	0.7	<
IA.261X	4	5.4	2.5	61	452	62	6	5	8.8	365	167	13.7	<	941	172000	<	1.26	<	0.7	<	0.3	<
IA.266X	2	2	6.4	17	2750	188	1.9	10	1.9	15.5	88.7	8.8	<	267	14700	<	0.61	<	<	0.1	0.5	0.4
ID.5X	<	3.7	3.1	14	35	1090	2.3	15	12.2	231	29.2	74.4	0.5	471	8540	<	<	<	0.2	0.2	1.4	0.3
ID.36X	4	16.6	38.8	113	145	2810	8.4	165	26.2	165	109	263	1.9	4570	56300	<	<	<	0.6	1.1	2.4	3.4
ID.39X	<	20.3	13.8	41	311	2230	1	17	3.5	92.1	40	41.4	0.6	2270	49700	<	<	<	<	1.1	0.5	2.1
ID.404X	3	3.3	4.3	23	16.8	2970	1.5	19	5.6	317	30.6	145	0.8	1390	32700	<	<	<	<	0.2	0.7	0.4

## پردازش داده‌های کانی سنگین

در برگه ۱:۱۰۰۰۰ مکسان کانیهای مگنتیت، هماتیت، ایلمنیت، گارنت، پیروکسن، آمفیبول، اکسیدپیریت، الیوین، الیثیست، مارتیت، اسپینل، زیرکن، طلا، آپاتیت، روتیل، کالکوپیریت، باریت، آناتاز، اسفن، لوکوکسن، سینابر، کلسیت، کانیهای آلتره و ویتریت در نمونه‌های کانی سنگین مشاهده شدند. با توجه به اینکه تعداد کانیهایی که در نمونه‌ها مشاهده شده‌اند، متفاوت است ارزش آنها نیز متفاوت است. نمودارهای هیستوگرام فراوانی این متغیرها و پارامترهای آماری آنها در شکل‌های (۱-۷) الی (۵-۷) نشان داده شده است ولی در مورد بعضی متغیرها به علت کمی تعداد موارد اندازگیری شده روند تغییرات در هیستوگرام چندان مشخص نیست، بنابراین این متغیرها از ادامه پردازش حذف شدند.

پارامترهای آماری، هیستوگرامها و نمودارهای توزیع تجمعی در مورد متغیرهای شکل‌های (۱-۷) الی (۵-۷) نشانگر توزیع لاغ نرمال این متغیرهاست. در اکثر این متغیرها وجود جوامع آماری به وضوح قابل مشاهده است.

## آنالیز خوشهای متغیرهای کانی سنگین

آنالیز خوشهای روش آماری چند متغیره است که عناصر را بر اساس شباهت تغییرپذیری بین آنها در قالب دسته‌ها یا گروههایی طبقه‌بندی می‌کنند. در نتیجه آنالیز خوشهای می‌تواند در پیدا کردن گروههای واقعی که کانی‌سازی منطقه را به نحوه مطلوبتری آشکار می‌سازند، کمک کند. برای گروه بندی داده‌ها در گروههای مختلف از روش خوشه‌بندی سلسله مراتبی استفاده شده است. این روش با محاسبه فاصله هر عضو از سایر اعضاء شروع می‌شود و از ماتریس همبستگی

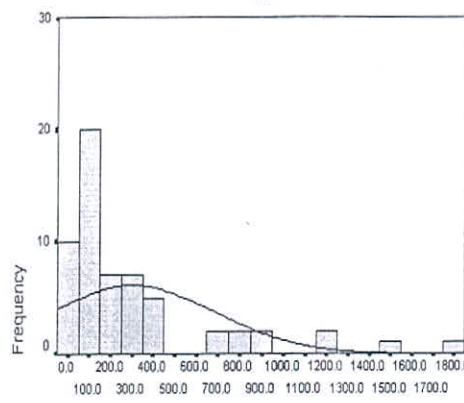
*Fig (7-1) : Statistical Parameters and Histograms of Heavy Minerals in Iranshar*

### Statistics

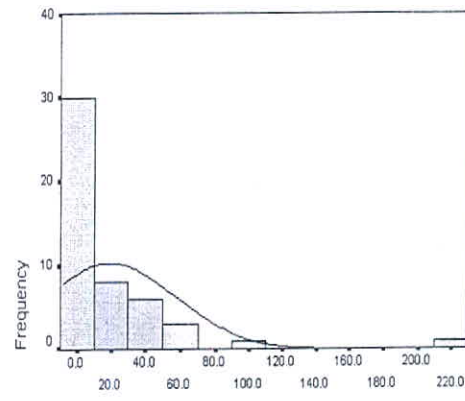
		ALTERED MI	AMPHIBOLE	APATITE	BARITE
N	Valid	59	49	22	59
	Missing	1	11	38	1
Mean		301.3507	19.2947	.0205	.5741
Median		142.9200	3.4300	.0100	.1900
Mode		6.52 <sup>a</sup>	.01	.01	.11
Std. Deviation		384.43634	37.97207	.04904	.94644
Skewness		2.099	3.981	4.690	3.238
Std. Error of Skewness		.311	.340	.491	.311
Kurtosis		4.317	19.787	22.000	13.023
Std. Error of Kurtosis		.613	.668	.953	.613
Minimum		6.52	.01	.01	.01
Maximum		1771.68	229.50	.24	5.53

a. Multiple modes exist. The smallest value is shown

ALTERED\_MINERAL



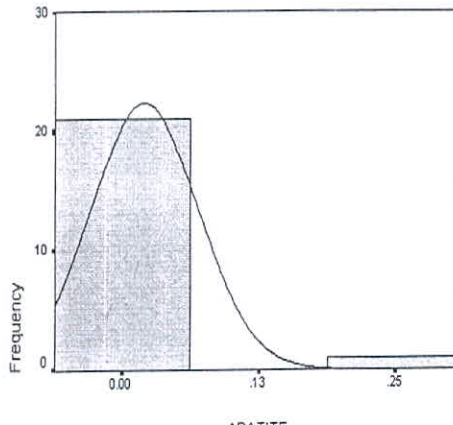
AMPHIBOLE



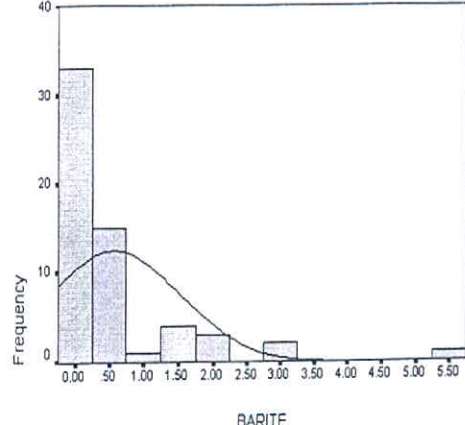
ALTERED\_MINERAL

AMPHIBOLE

APATITE



BARITE



APATITE

BARITE

Fig (7-2) : Statistical Parameters and Histograms of Heavy Minerals in Iranshar

### Statistics

		GARNET	HEMATITE	ILMENITE	LEUCOXENE
N	Valid	56	59	31	58
	Missing	4	1	29	2
Mean		140.0355	724.4585	15.8629	.2855
Median		5.7500	151.4900	.0100	.0500
Mode		.01	15.15	.01	.01
Std. Deviation		276.02610	1329.33204	57.95382	.59503
Skewness		2.849	3.277	5.129	3.924
Std. Error of Skewness		.319	.311	.421	.314
Kurtosis		9.658	13.360	27.418	18.911
Std. Error of Kurtosis		.628	.613	.821	.618
Minimum		.01	6.01	.01	.01
Maximum		1473.33	7749.73	319.60	3.68

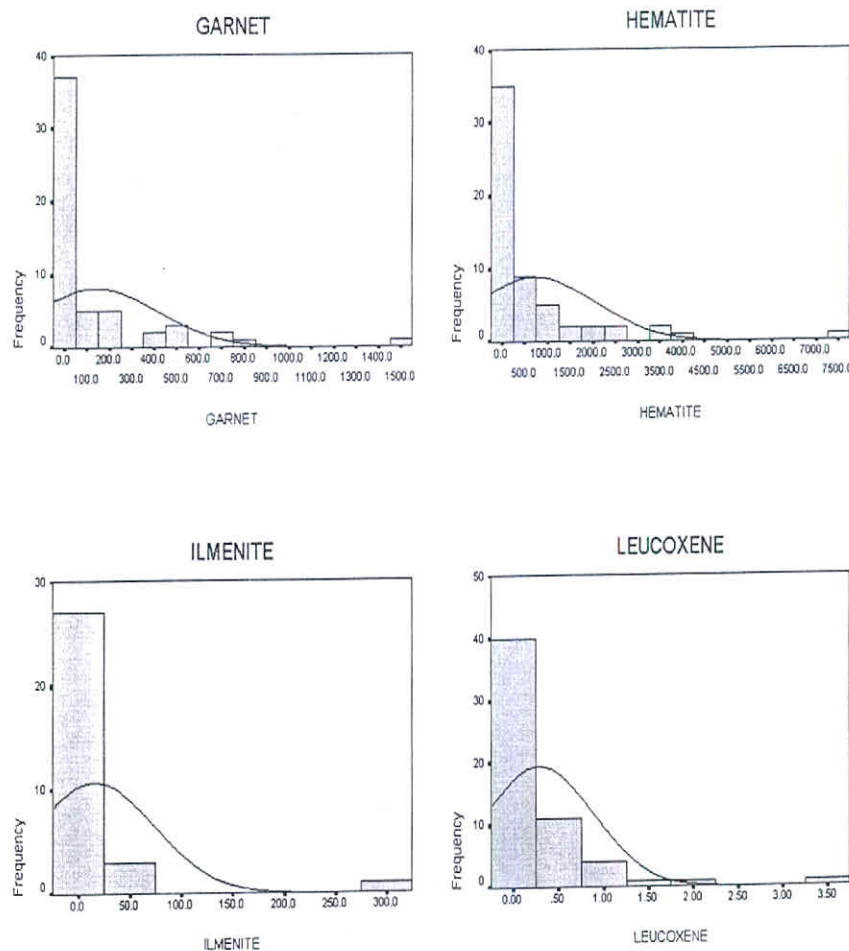


Fig (7-3) : Statistical Parameters and Histograms of Heavy Minerals in Iranshar

### Statistics

		LIGHT MINERAL	MAGNETITE	OLIGISTE	OLIVIN
N	Valid	13	59	28	34
	Missing	47	1	32	26
Mean		.0808	715.8234	.5975	179.3121
Median		.0100	135.3700	.0100	52.8000
Mode		.01	.03 <sup>a</sup>	.01	.01
Std. Deviation		.21907	1597.70439	2.00231	277.50707
Skewness		3.451	4.434	4.439	2.091
Std. Error of Skewness		.616	.311	.441	.403
Kurtosis		12.110	23.319	21.109	4.161
Std. Error of Kurtosis		1.191	.613	.858	.788
Minimum		.01	.03	.01	.01
Maximum		.80	10303.02	10.19	1149.87

a. Multiple modes exist. The smallest value is shown

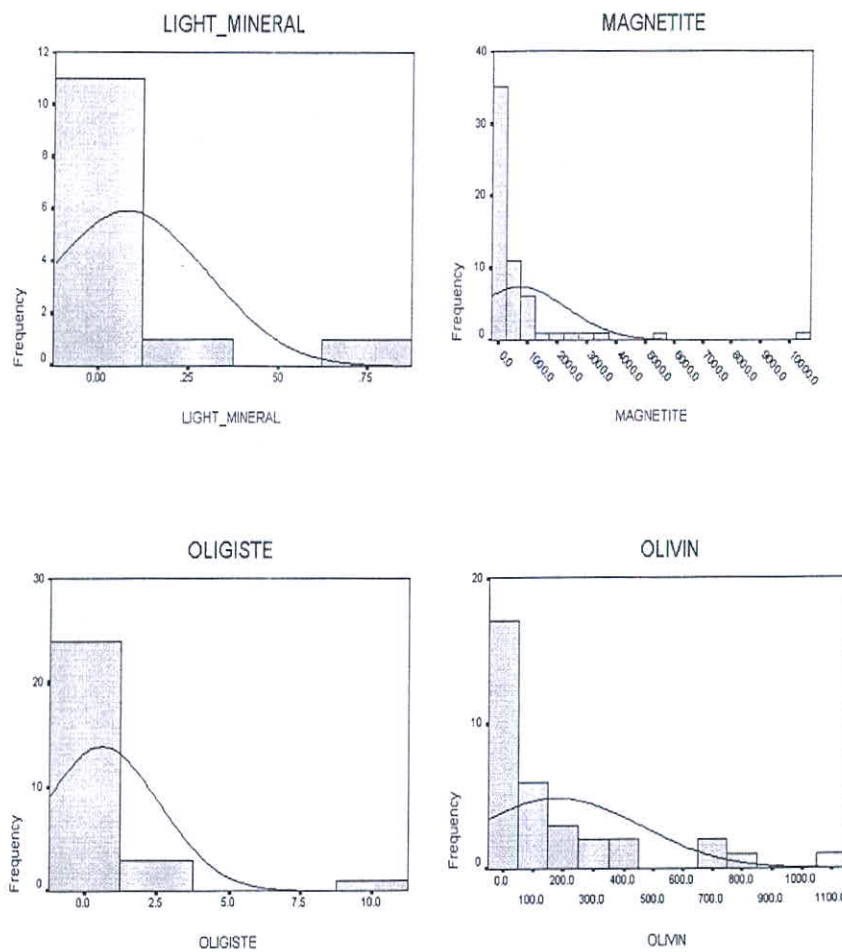


Fig (7-4) : Statistical Parameters and Histograms of Heavy Minerals in Iranshar

### Statistics

		PYRITE_OXIDE	PYROXENE	RUTILE	ZIRCON
N	Valid	55	58	58	59
	Missing	5	2	2	1
Mean		631.02	108.9169	.4653	.5741
Median		.0100	70.7250	.1400	.1900
Mode		.01	50.40	.01	.11
Std. Deviation		40.43777	125.89478	.84639	.94644
Skewness		7.359	2.194	3.333	3.238
Std. Error of Skewness		.322	.314	.314	.311
Kurtosis		54.408	4.450	13.572	13.023
Std. Error of Kurtosis		.634	.618	.618	.613
Minimum		.01	.01	.01	.01
Maximum		300.00	541.33	4.91	5.53

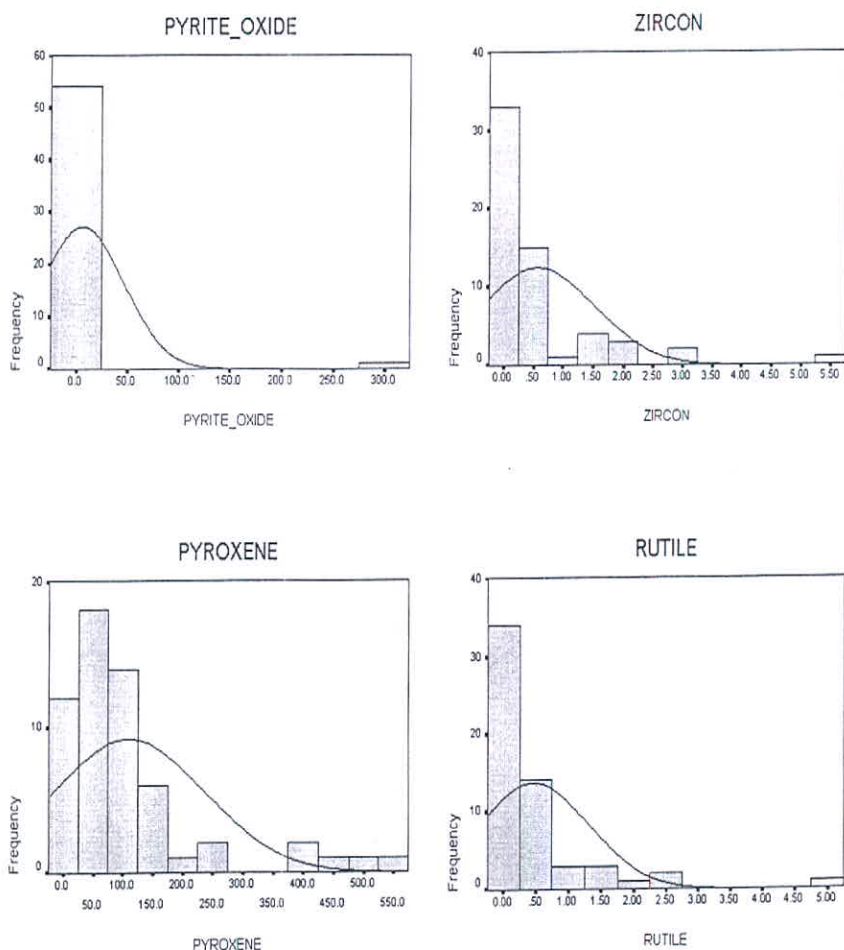
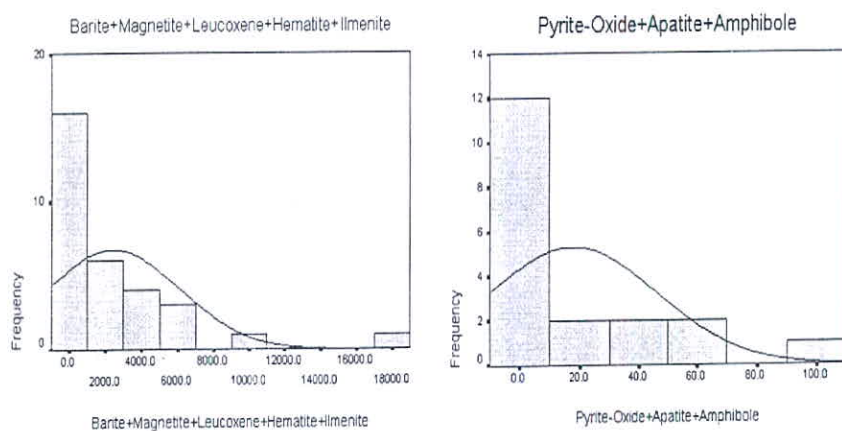


Fig (7-5) : Statistical Parameters and Histograms of Heavy Minerals in Iranshar

### Statistics

		Barite+Magnetite+Leucoxene+Hematite+Ilmenite	Pyrite-Oxide+Apatite+Amphibole
N	Valid	31	19
	Missing	29	41
Mean		2423.3571	17.7611
Median		870.1500	2.5700
Mode		40.47 <sup>a</sup>	.03
Std. Deviation		3668.67804	28.49117
Skewness		3.004	2.068
Std. Error of Skewness		.421	.524
Kurtosis		10.969	4.476
Std. Error of Kurtosis		.821	1.014
Minimum		40.47	.03
Maximum		18119.67	106.83

<sup>a</sup> Multiple modes exist. The smallest value is shown



میان عناصر استفاده می‌کند. بطور خلاصه می‌توان گفت برای تعیین ارتباط پاراژنزی بین

متغیرهای مختلف کانی‌سنگین و انتخاب مناسبترین گروهها برای ترسیم نقشه توزیع کانی‌سنگین

آنالیز خوش‌های انجام گیرد.

شکل (۶-۷) آنالیز خوش‌های برای متغیرهای کانی‌سنگین با اهمیت را نشان می‌دهد. در این

دندروگرام گروههای مختلفی را می‌توان جدا نمود. با توجه به دندروگرامها و همچنین روابط

پاراژنزی بین کانیهای مختلف مجموع متغیرهایی که می‌توانند راهنمای اکتشافی هستند عبارتند

از:

۱- مجموع کانیهای مانگنیت، هماتیت، باریت، لوکوکسن، ایلمنیت (Var1)

۲- مجموع کانیهای پیریت‌اکسید، آپاتیت، آمفیبیول (Var2)

هیستوگرام مجموع مقادیر هر یک از چهار متغیر ذکر شده در شکلهای (۱-۷) الی (۵-۷) آورده

شده است. در این شکلها پارامترهای آماری و منحنی‌های تجمعی نیز آمده است.

### ترسیم نقشه‌های متغیرهای کانی‌سنگین

برای اینکه نحوه توزیع متغیرهای کانی‌سنگین بهتر نمایش داده شود اقدام به ترسیم نقشه

کانی‌سنگین برای متغیرهای مختلف گردید که در شکل شماره (۷-۷) آورده شده است.

### آنالیز ویژگی نمونه‌های مینرالیزه

این آنالیز جهت رتبه‌بندی اهمیت اکتشافی نمونه‌ها و عناصر (متغیرهای ژئوشیمیابی) صورت

می‌گیرد. برای این منظور از طریق جدول ژینزبرگ اعداد ۰، ۱، ۲ به ترتیب برای کانی‌سازی

پراکنده و عقیم، کانی‌سازی غنی‌شده و کانساری در نظر گرفته می‌شود. سپس آنالیز ویژگی بر روی

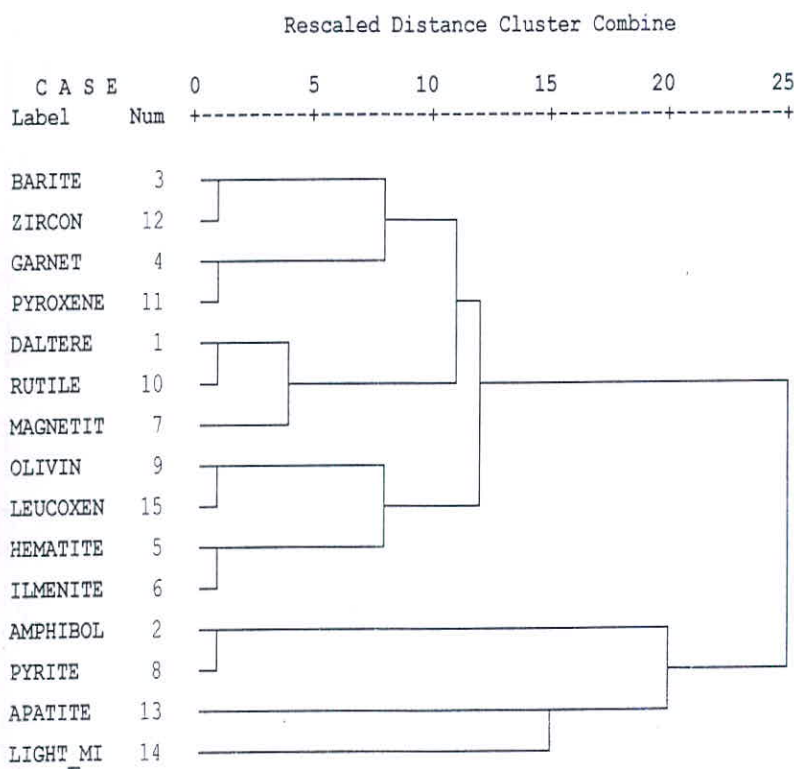
داده‌ها صورت می‌گیرد. نتایج حاصل در جدول ذیل آمده است.

Element	Rank
Ti	16.4317
Mn	12.4097
Fe	8.8318
Cr	1.4142
Ni	1.4142
Be	1.4142
Cu	1
Au	0
As	0
Co	0
Mo	0
Pb	0
Sr	0
Zn	0
Ba	0
Hg	0
Ag	0
B	0
Bi	0
Sb	0
Sn	0
W	0

Sample	Rank
IA.185X	11.1803
IA.181X	11.1803
IA.221X	9.6954
IA.221X1	6.1644
IA.44X2	5.5678
IA.44X	5.2915
IA.222X	3.6056
ID.404X	3.1623
IA.266X	3.1623
IA.261X	3.1623
IA.233X	3.1623
IA.221X2	3.1623
IA.235X	2
ID.5X	1
ID.39X	0
ID.36X	0
IA.251X	0

Fig (7-6) : Dendrogram Mineral Variable In Iranshahr 1:100000 Sheet

Dendrogram using Centroid Method



## فصل هشتم

# بررسی ساختارهای تکتونیکی



## تکتونیک منطقه و ارتباط احتمالی آن با کانی‌زایی

بر اساس مطالعات صورت گرفته روی نقشه ۱:۲۵۰۰۰ ایرانشهر می‌توان گفت که منطقه مورد مطالعه از نظر تکتونیکی نسبتاً آرام است و میزان گسلش در منطقه محدود بوده و بطور عمده در نیمه شرقی ورقه از میزان بیشتری برخودار است.

عملکرد فازهای کوهزاوی لارامید، پیرینه، ساوین، اتیکن، پاسادین با هیچ گپ یا نبود چینه‌شناسی در منطقه همراه نبوده، و از بارزترین ساختمانهای تکتونیکی منطقه می‌توان به گسلها و چین خوردگیها که در منطقه قابل مشاهده هستند اشاره نمود.

### گسلها

که اکثر گسلهای منطقه از نوع طولی بوده و عمدها مزدوج می‌باشند که بصورت کوتاه و کوچک و پراکنده در نیمه شرقی ورقه با روندهای مختلف گسترش دارند که بیشتر گسلهای منطقه از روند شمال‌غرب - جنوب‌شرق و شمال‌شرق - جنوب‌غرب تبعیت می‌کنند. عمده‌ترین محدوده تمرکز گسلهای در رسوبات فلیشی اوسن در شمال‌شرق ورقه مشاهده می‌شود. از معروف‌ترین گسلهای موجود در منطقه می‌توان به گسله دامن اشاره نمود. که با روند شمال‌غربی - جنوب‌شرقی و درازای حدود ۱۰۰ کیلومتر از گسلهای بنیادی منطقه بوده که در شمال ایرانشهر سبب پیدایش دو زون متفاوت زمین ساختی شده است.

### چینها

چینهای موجود در منطقه بیشتر از نوع تاقدیس‌های دبل پلانج و ناودیس‌های نرمال می‌باشند که قسمت اعظم آنها در ورقه باغ چاه واقع شدند. تاقدیس‌های دبل پلانج که در شمال ورقه (شمال‌خاور ورقه توپوگرافی باغ چاه) قابل مشاهده بوده و طبقات مربوط به زمان اوسن،

الیگومن - میوسن را در بر می‌گیرند و همچنین ناودیسهای نرمال که در شمال غرب ورقه باغ‌چاه و غرب ورقه دامن قرار گرفته‌اند بترتیب در برگیرنده طبقات زمان پلیوسن-کواترنری، میوسن و الیگومن، کواترنری می‌باشد که اثر لایه بندي بوضوح در آنها قابل رویت است و شیب عمومی طبقات آنها بین ۳۱ تا ۶۰ درجه متغیر است. همچنین از دیدگاه لرزه زمین ساختی منطقه مورد مطالعه در حوزه سایزموتکتونیک قسمت مرکزی بخش شرقی ایران که نمایانگر محیط بین صفحه ای است قرار گرفته است. (بین بلوک لوت و مکران) و فعالیتهای لرزه‌ای بیشتر در آن روی گسلهای اصلی و فرعی که بطور پراکنده و کوچک در نیمه شرقی ورقه تمرکز دارند رخ می‌دهد.

بر اساس نقشه‌های پهنه‌بندي خطر نسبی زمین لرزه در مناطق جنوب‌خاوری ایران نیز، محدوده مورد مطالعه پیرامون پهنه با خطر نسبی نسبتاً پایین قرار می‌گیرد که احتمال وقوع زمین لرزه‌ای ویرانگردر آن بسیار بعيد است و از نظر خطر زمینلرزه برای احداث شهرهای جدید و گسترش مناطق مسکونی مناسب است.

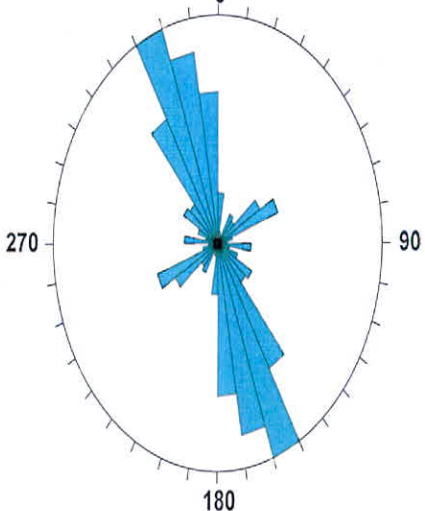
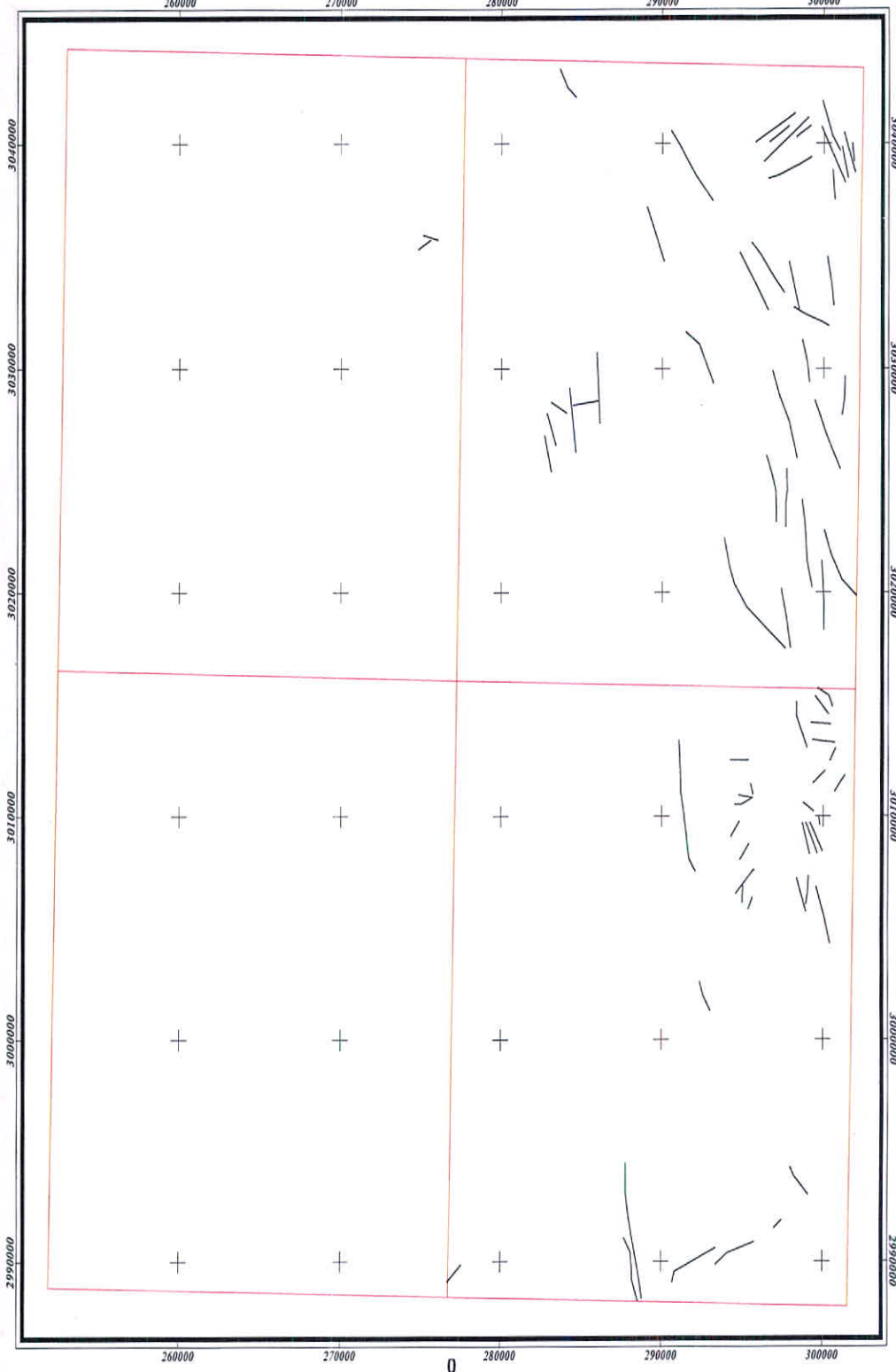
برای نمایش روند کلی گسلها و خصوصیات گسلها از رز دیاگرام آنها استفاده گردیده است و برای ترسیم رز دیاگرام این مناطق از آزمیوت و طول گسلهای موجود در منطقه استفاده شده است.

در برگه ایرانشهر نقشه به سلولهای "۳۰ × ۳۰" تقسیم بندی گردید که در مجموع ۳۶۰۰ سلول برای برگه ایرانشهر بدست آمد. طول و آزمیوت ۲۰۳۳ گسل برای این برگه محاسبه گردید.

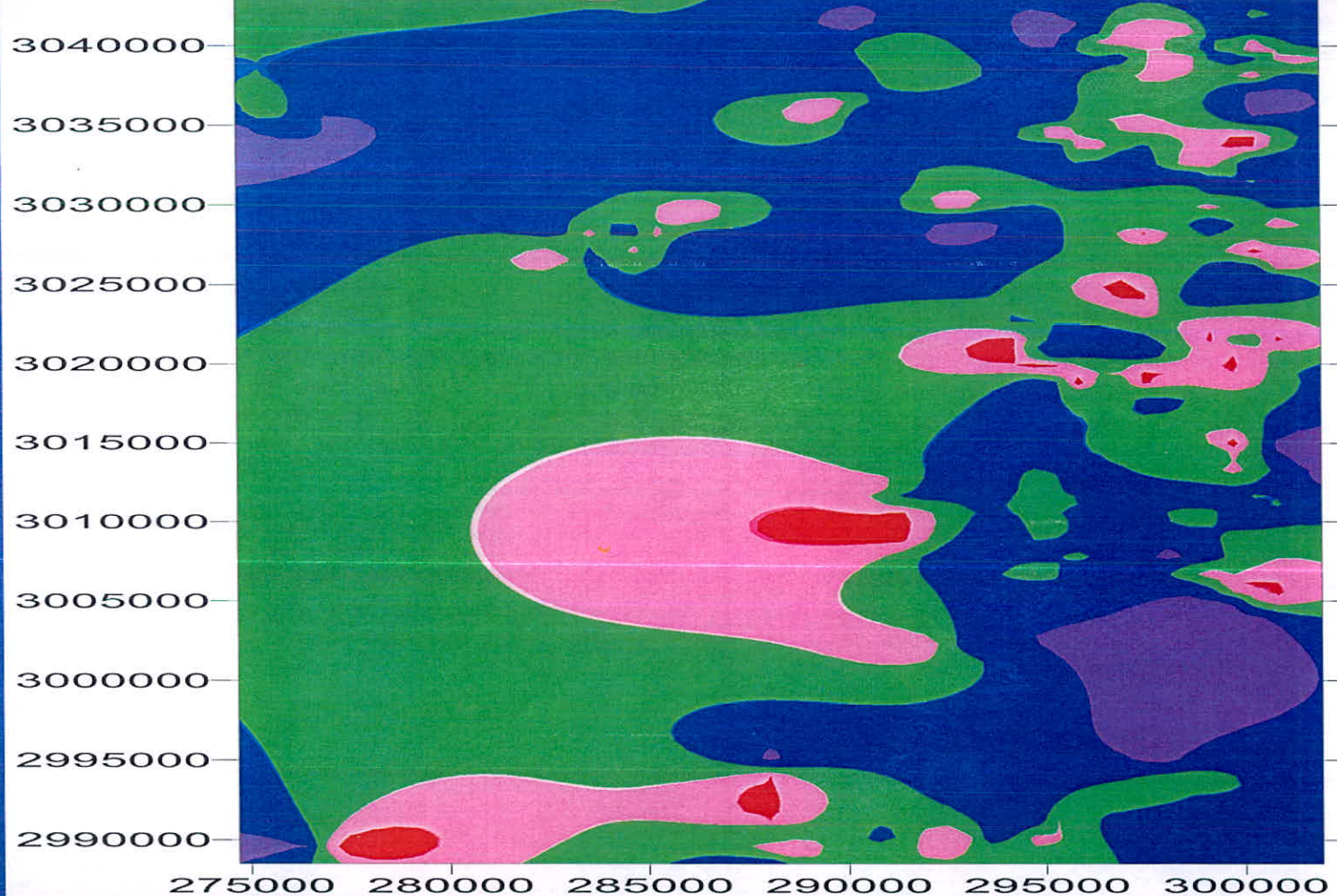
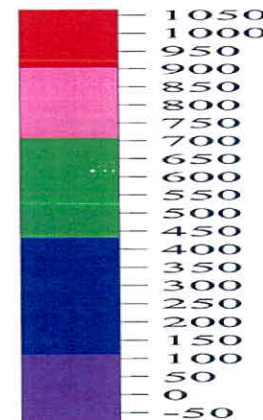
شکل (۱-۸) نقشه گسلهای منطقه به همراه رز دیاگرام برگه ایرانشهر می‌باشد. که با توجه به شکل (۱-۸) بیشتر گسلهای منطقه در راستای تقریباً شمال‌غربی - جنوب‌شرقی قرار گرفته‌اند.

همچنین شکل (۲-۸) نقشه دانسیتۀ گسلها را در برگه ایرانشهر نشان می‌دهد

شکل ۱-۸) نقشه گسل‌ها و رزدیاگرام بر گه ۱:۱۰۰۰۰۰ ایرانشهر



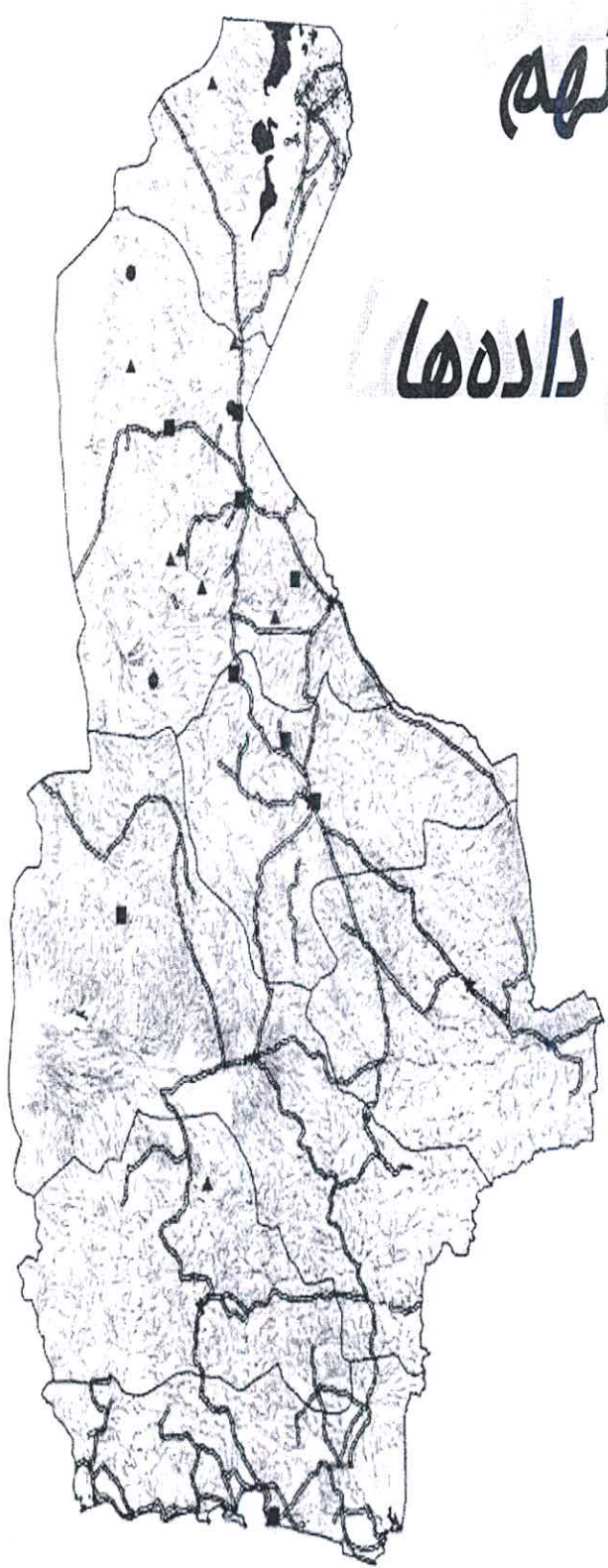
*Fault Density Map  
of Iran Shahr Sheet*



شکل (۲-۸): دانسیته گسل های ایرانشهر

فصل نهم

تلقیق داده‌ها



## تلفیق داده‌ها

دستیابی سریع به اطلاعات مربوط به علوم زمین تلاشی است که امروزه کلیه مراکز علمی - فنی جهان در پی آن می‌باشند. نتایج علمی و همچنین تجربیات عملی این امر را به اثبات رسانیده است که چنانچه اطلاعات مختلف تلفیق شوند نتایج حاصله پربرتر خواهد بود. در این میان GIS علم و فنی مناسب برای جمع‌آوری و مرتب‌سازی داده‌ها از یک سو و ترکیب و تلفیق آنها از سوی دیگر است. معیارهای فنی و علمی باعث بالا رفتن قدرت تصمیم‌گیری و افزایش کارایی‌ها در تجزیه و تحلیل‌های مکانی و فضایی می‌شود و مناطق امیدبخش معدنی می‌توانند قبل از هرگونه سرمایه‌گذاری جدی محدود شوند که این خود می‌تواند در هزینه‌های اکتشافی و زمان نیز صرف‌جویی قابل ملاحظه‌ای ایجاد کند.

مهمنترین هدف GIS تلفیق تمامی داده‌های مکانی و ارزیابی همه آنهاست با اضافه‌شدن تعداد نقشه‌ها و داده‌های مربوط به یک ناحیه تلفیق آنها با روش‌های دستی و متداول معمولاً بسیار مشکل یا غیرممکن می‌شود.

در این پژوهه که از سیستم‌های اطلاعات جغرافیایی (GIS) استفاده شده است سه مرحله اساسی زیر انجام پذیرفت :

۱- ورود داده‌ها و تشکیل بانک اطلاعاتی لایه‌های مختلف

۲- تجزیه و تحلیل اطلاعات لایه‌ها

۳- ترکیب لایه‌های مختلف با هم

## گردآوری اطلاعات

جمع آوری اطلاعات مورد نیاز جهت تهیه نقشه‌های پتانسیل مواد معدنی در سیستم اطلاعات جغرافیایی، یکی از مراحل با اهمیت و حساس محسوب می‌شود. در اکثر موارد به دلیل پراکنده بودن و آماده نبودن اطلاعات، گردآوری آنها حداکثر زمان انجام یک پرروزه را به خود اختصاص می‌دهد. داده‌های مورد استفاده در تهیه پتانسیل کلنی‌سازی به شرح ذیل می‌باشد.

### داده‌های زمین‌شناسی

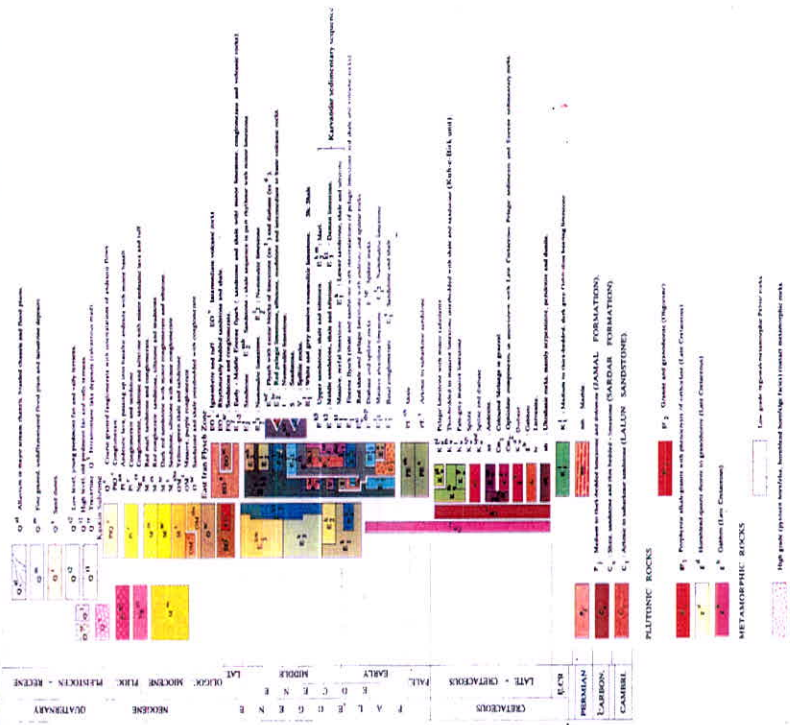
از لایه‌های اطلاعاتی بسیار با اهمیت در تهیه نقشه نهایی نقشه زمین‌شناسی می‌باشد. مبنای اطلاعات مورد استفاده در این سری از بررسی‌های نقشه و گزارش زمین‌شناسی برگه ۱:۱۰۰۰۰۰ بزمان بوده است ( نقشه شماره ۱-۹ ) که عوارض مختلف از جمله گسلهای حدود سنگ‌شناختی واحدهای زمین‌شناسی و دایکها مورد استفاده قرار گرفته است. ( نقشه شماره ۲-۹ )

### داده‌های ژئوفیزیک هوایی

اطلاعات ژئوفیزیک هوایی از جمله لایه‌های اطلاعاتی بسیار با اهمیت در امر تهیه نقشه‌های پتانسیل معدنی می‌باشند. به منظور دستیابی به اطلاعات جامعتر زمین‌شناسی، زمین‌ساخت، همچنین پهنه‌های مناسب برای اکتشافات تفضیلی به ویژه ذخایر معدنی ناآشکار، اطلاعات ژئوفیزیک هوایی به کار گرفته می‌شود. در این پرروزه از اطلاعات مغناطیس هوایی ناحیه‌ای با فاصله خطوط پرواز ۷/۵ کیلومتر ( AEROMAGNETIC ) استفاده گردیده است. ( نقشه ۳-۹ ) غالباً دو دلیل عمده می‌تواند منشاء ناهنجاری‌های مغناطیسی باشد. یکی وجود کانی‌های نظری مگنتیت، ایلمنیت، پیروتیت و سایر کانی‌هایی که دارای خواص مغناطیسی هستند و دیگری توپوگرافی و ساختارهای تکتونیکی ناحیه می‌باشد.

iran shahr (8144)

## LEGEND

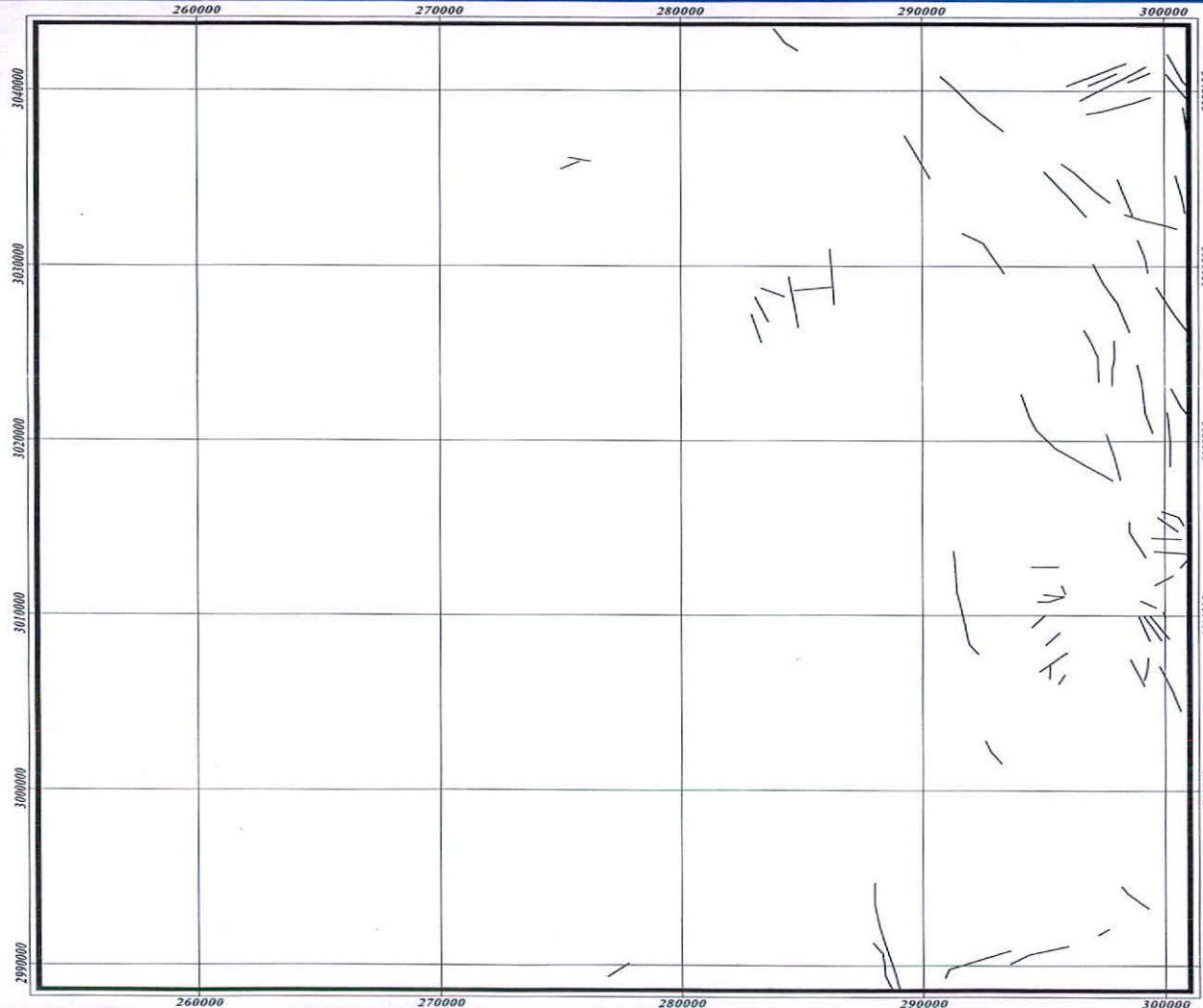


Scale 1:300,000

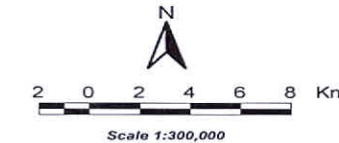
2800000 2900000



iranshahr (8144)

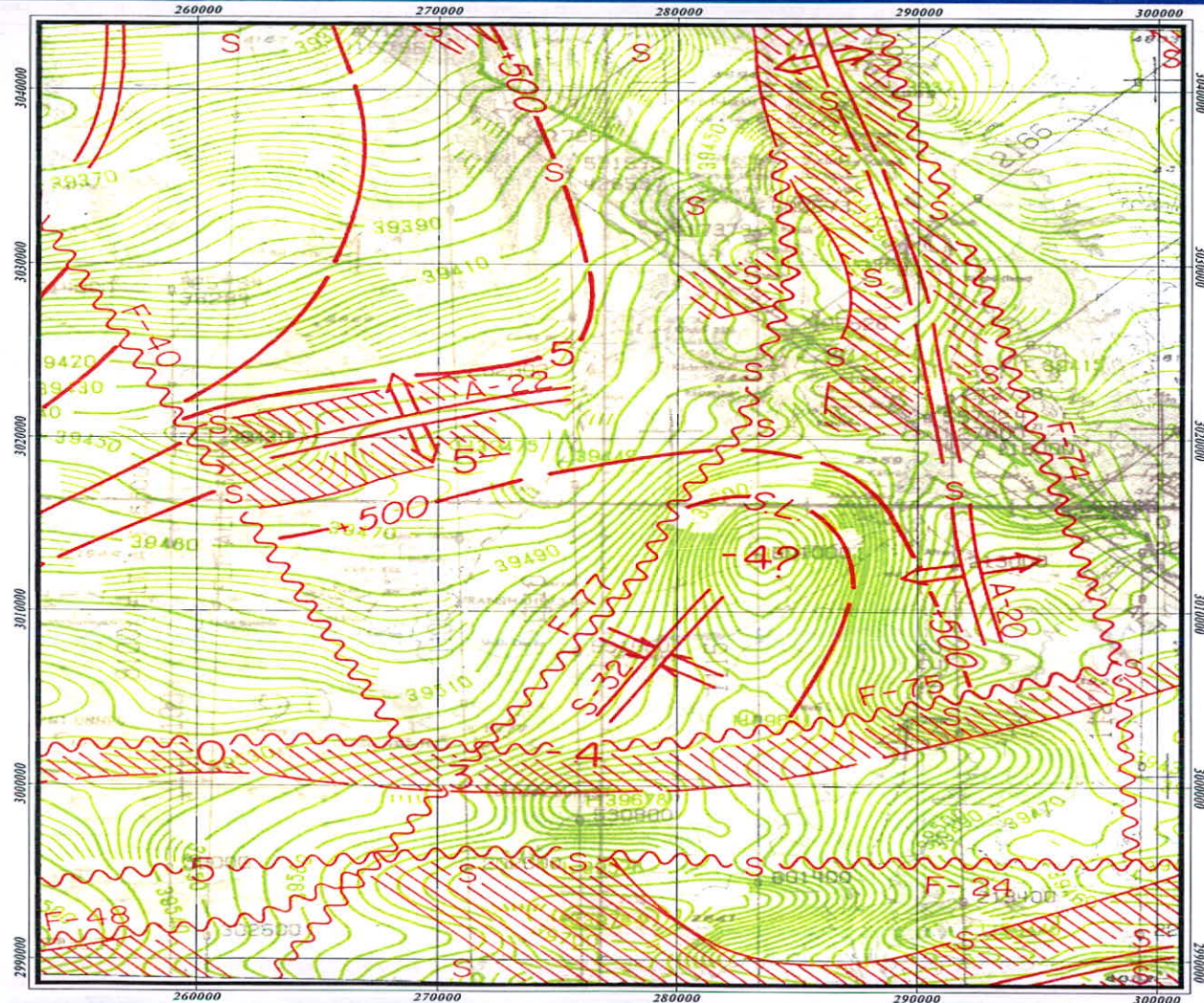


LEGEND  
/\ Fault

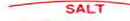


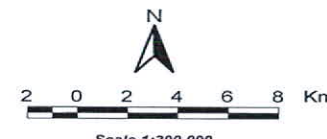
شکل (۲-۹): لایه گسل‌ها و دایک‌های ایرانشهر

iranshahr (8144)



#### LEGEND

- | <u>1000</u>   |           | DEPTH CONTOUR TO MAGNETIC BASEMENT IN METERS<br>RELATIVE TO SEA LEVEL      |
|---|-----------|--|
| <u>24</u>   | <u>24</u> | GRADED DEPTHS IN HUNDREDS OF METERS RELATIVE TO SEA LEVEL                  |
| <u>[75]</u>   |           | SOURCE DEEPER THAN INTERPRETED MAGNETIC BASEMENT                           |
| (12)  |           | SOURCE SHALLOWER THAN INTERPRETED MAGNETIC BASEMENT                        |
| S   |           | SOURCE AT OR NEAR SURFACE  |
|  | F-1       | MAGNETIC LINEAMENT, POSSIBLE FAULT-SENSE MOVEMENT UNKNOWN                  |
|  | N-1       | MAGNETIC LINEAMENT, POSSIBLE NORMAL FAULT-HACHURED SIDE DOWNTHROWN         |
|  | T-1       | MAGNETIC LINEAMENT, POSSIBLE THRUST FAULT-TEETH ON UPPER PLATE             |
|  | F-1       | MAGNETIC LINEAMENT, POSSIBLE STRIKE-SLIP FAULT-RELATIVE DISPLACEMENT SHOWN |
|  | A-1       | ANTICLINE  |
|  | S-1       | SYNCLINE   |
| <b>VOLCANICS</b>  |           | APPROXIMATE AREAL EXTENT OF SHALLOW IGNEOUS ROCKS                          |
|  | SD-1      | STRUCTURAL DISTURBANCE   |
|  | SALT      | APPROXIMATE EXTENT OF AREA OF SALT TECTONICS                               |
|  |           | SHALLOW MAGNETIC BODIES  |
|  | 39000     | ISOMAGNETIC CONTOUR LINE IN GAMMA  |
|  | 3110      | FLIGHT ALTITUDE BREAK  |
|   |           | FLIGHT PATH AND LINE NUMBER  |



شکل (۹-۳): لایه ژئوفیزیک ایرانشهر

## داده‌های ژئوشیمی اکتشافی

بطور تفضیل اطلاعات مربوط به اکتشافات ژئوشیمیایی در فصول قبلی گزارش آورده شده است.

در این مبحث از اطلاعات نهایی اکتشافات ژئوشیمیایی استفاده شده است. (نقشه شماره ۴-۹)

## داده‌های دورسنجی

از دیگر داده‌های مورد استفاده در این بررسی داده‌های رقومی ماهواره‌ای هستند که می‌توان به

تصاویر پردازش شده باندهای لنdest TM اشاره نمود. این داده‌ها در هفت باند طول موجی و با

قدرت تفکیک زمینی ۳۰ متر در باندهای ۷,۵,۴,۳,۲,۱ و ۱۲۰ متر در باند ۶ اخذ می‌گردد. با

آگاهی از بازتاب طبیعی مواد گوناگون در طول موج‌های مختلف استفاده از روش‌های متفاوت

پردازش تصاویر باندهای ویژه‌ای مانند باندهای فیلتره و نسبی و ... ساخته شده است که از ترکیب

این باندها و باندهای ساده در محیط RGB و HIS تصاویر رنگی مختلفی ایجاد می‌شود که

واحدهای لیتلوزی، شکستگی‌ها، زون‌های دگرسانی و ساخته‌های ویژه سنگهای آذرین که در

ارتباط با سیستم‌های پورفیری و یا طلای اپی‌ترمال هستند را بهتر نمایش می‌دهند. (نقشه ۵-۹)

## تجزیه و تحلیل اطلاعات لایه‌ها

پس از جمع‌آوری داده‌های مورد نیاز نوبت به تجزیه و تحلیل داده‌ها می‌رسد. منظور از پردازش

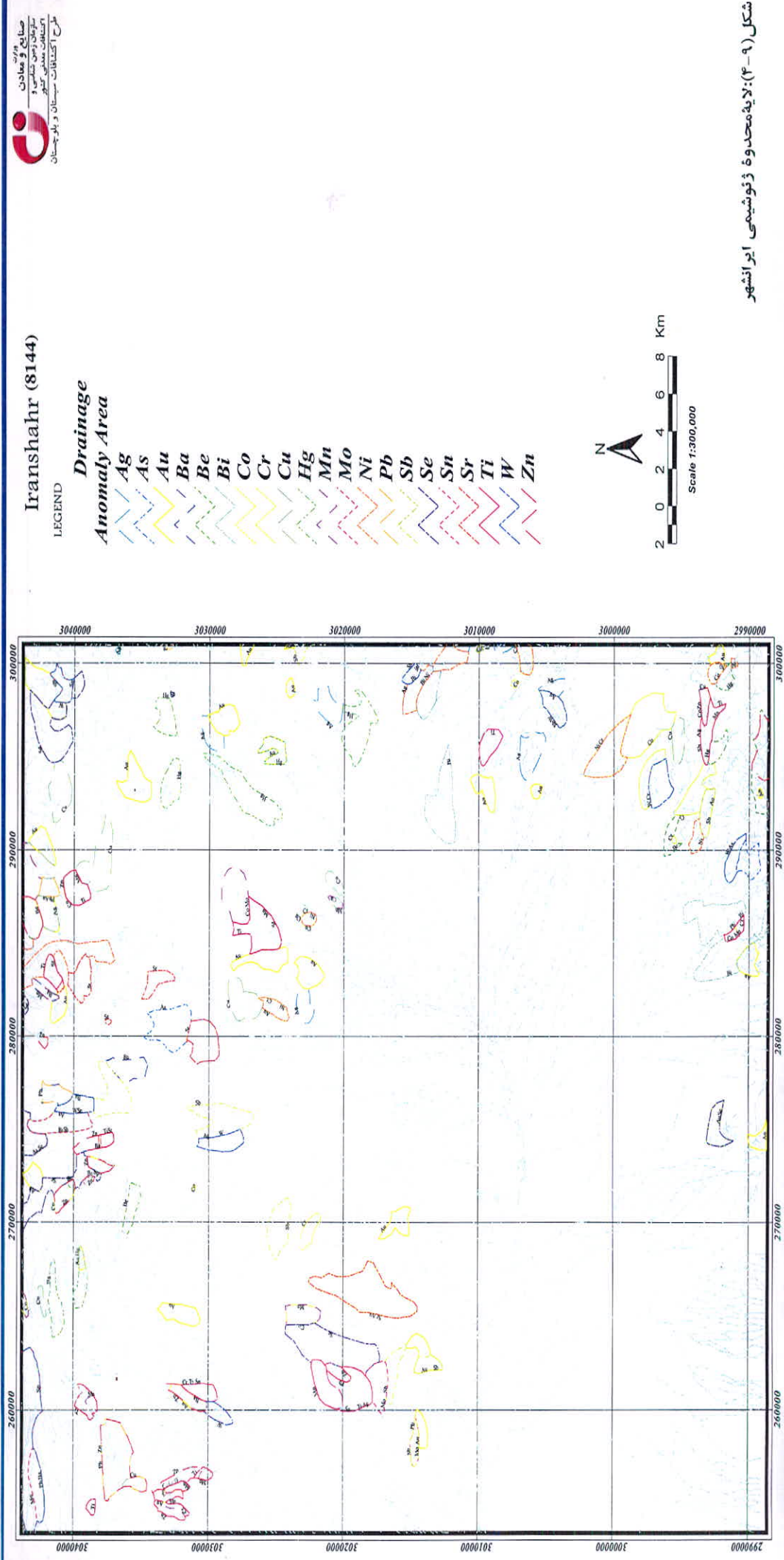
داده‌ها نگاهی جهت‌دار به هر دسته از داده‌ها است که به موجب آن بتوان نقش سودمند آن گروه

اطلاعات را در مسیر دستیابی به هدف نهایی استخراج نمود. از آنجا که تلقیق نقشه‌های مذکور در

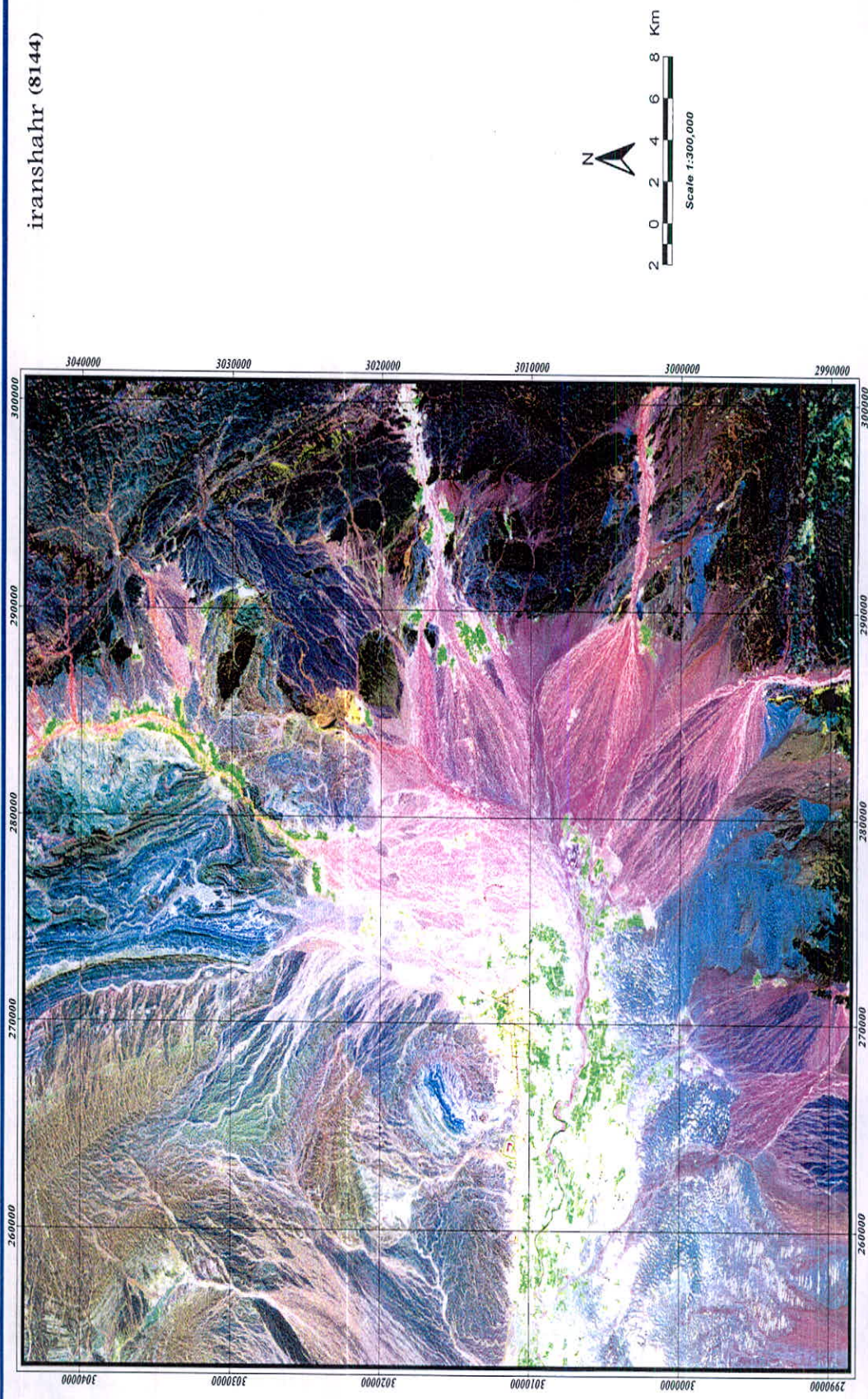
نهایت نقشہ پتانسیل مواد معدنی حاصل حاصل می‌شود، لذا هرچه این نقشه‌های نشانگر با دقت بیشتر روشهای مناسب‌تری تهیه گردند نقشہ نهایی نیز از دقت بالاتری برخوردار خواهد بود.

محاسبه زون‌های مربوط به هر نقشہ نشانگر می‌تواند با تکیه بر داده‌های موجود یا تکیه بر نظر شخص یا اشخاص متخصص و یا ترکیبی از هر دو صورت گیرد که در هر مورد روشهای مختلفی برای وزن دادن وجود دارد. وزن‌های لازم برای نسبت دادن به نقشه‌ها و کلاسهای آنها براساس یک پیش مرحله آنالیز ارتباط محل کانسارهای شناخته‌شده ناحیه با کلاسهای نقشه‌های مختلف انجام می‌گیرد و یا اینکه با استفاده از قضاوت متخصصین مربوط به هر شاخه علوم استفاده شده در نقشه‌های مختلف تصمیم‌گیری می‌شود. در این پژوهه از روشهای پیچیده استفاده نگردیده است و به روشهای ساده اکتفا گردیده است و نقشه‌های لایه‌های مختلف با هم تلقیق گردیده و مناطق پرپتانسیل معرفی گردیده‌اند. (نقشہ شماره ۹-۶) این مناطق در کل ۱۴ ناحیه می‌باشد که شرح آن در ذیل آمده است.

شکل (۹-۳): زمینه محدوده ذئوبیشی ابراشهر



iranshahr (8144)



شکل (۱-۲): نایاب محدوده آنومالی بر پایانسیل



Iranshahr (8144)

LEGEND

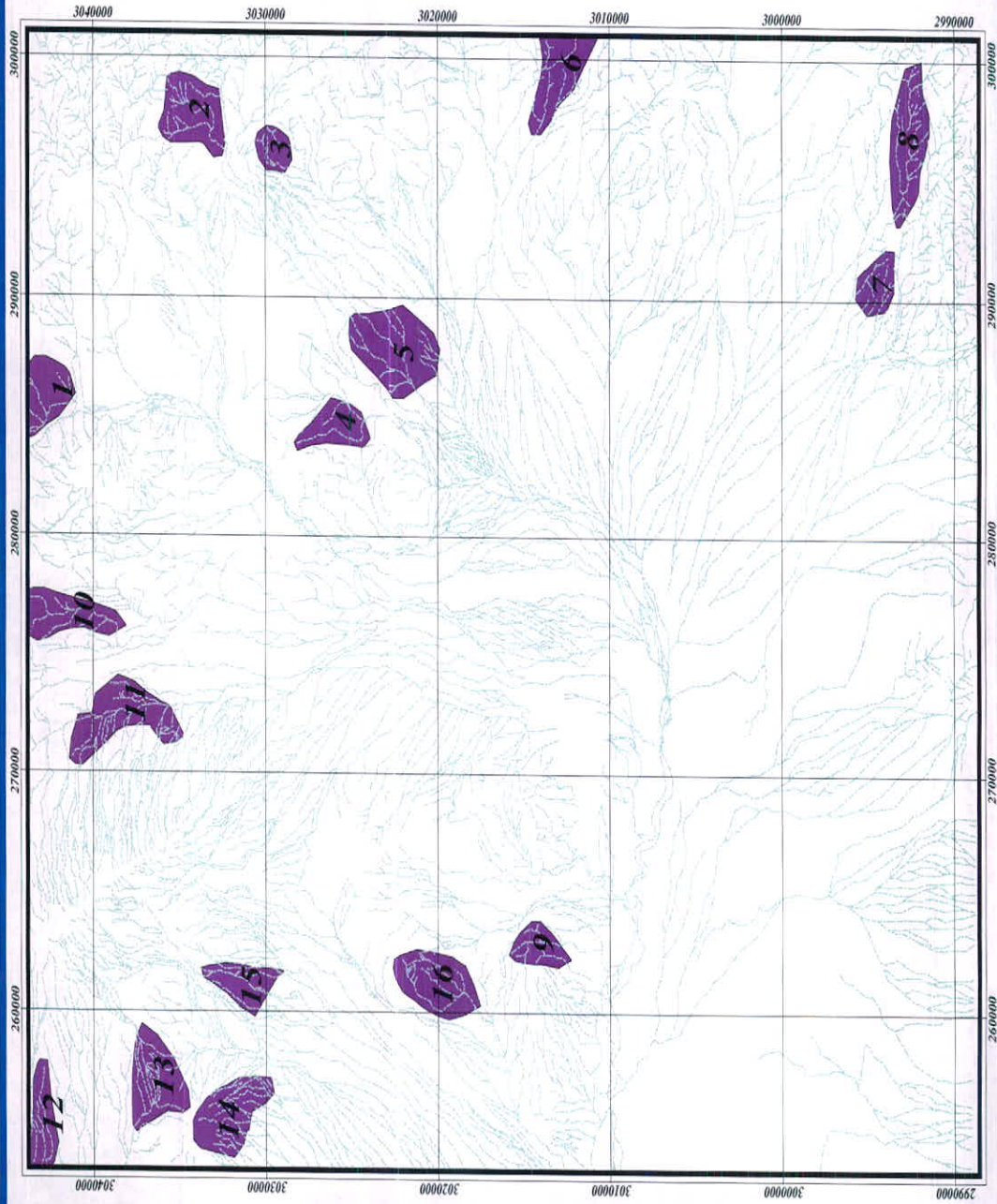
Drainage

Anomaly Area



Scale 1:300,000

2 0 2 4 6 8 Km



## آنومالی شماره ۱

این آنومالی در محدوده کهنو در شمال تاروان در برگه ۱/۵۰۰۰۰ دامن واقع شده است. لیتولوژی رخمنون دار شامل آهک و کنگلومرا می‌باشد. عناصر Au Cu Mn Ni Zn Bi AS و لیتوپرایوژی رخمنون دار شامل آهک و کنگلومرا می‌باشد. عناصر ID-157 ID-159 ID-158 ID-157 فاکتورهای ۲ و ۴ ناهنجاری نشان می‌دهد. نمونه‌های کانی سنگین برداشت شده است در مطالعات کانی سنگین مگنتیت، ایلمنیت، گارنت، پیریت اکسید، الیوین، الیثیست، زیرکن، روتیل، باریت، اسفن، لوکوکسن و ویتریت دیده شده است.

## آنومالی شماره ۲

این آنومالی در شرق رودخانه کولینیگ در برگه ۱/۵۰۰۰۰ دامن واقع شده است. لیتولوژی رخمنون دار شامل فلیش، شیل، آهک، آندزیت و اسپلیت می‌باشد. عناصر Hg W Sn Se Sb و F و نمونه مینرالیزه ID-039X برداشت شده است در مطالعات کانی سنگین آناتاز، ایلمنیت، ID-038 ID-037 ID-036 ID-039 و نمونه مینرالیزه ID-039X ۳ و ۵ ناهنجاری نشان می‌دهد. نمونه‌های کانی سنگین آناتاز، گارنت، پیریت اکسید، الیوین، الیثیست، زیرکن، سینابر، باریت، اسفن، مارتیت و پیروولوزیت دیده شده است.

## آنومالی شماره ۳

این آنومالی در شمال کوه سیاه سالمی و شرق کوه تور در برگه ۱/۵۰۰۰۰ دامن قرار گرفته است. لیتولوژی رخمنون دار شامل فلیش، آهک و شیل می‌باشد. عناصر Sn Ag Sb و فاکتور ۳ ID-044X1 ID-043 ID-044 و نمونه مینرالیزه ۱ ناهنجاری نشان می‌دهد. نمونه‌های کانی سنگین

ID-044X2 برداشت شده است. در مطالعات کانی سنگین پیریت اکسید، زیرکن، باریت، آناتاز،

اسفن، لوکوکسن، پیرولوزیت، ویتریت و الیزیست مشاهده شده است.

#### آنومالی شماره ۴

این آنومالی در محدوده مکان شاهی در شمال رودخانه کورچور قرار گرفته است. لیتولوژی

رخمنون دار شامل کنگلومرا و گابرو می‌باشد. عناصر Co Cu Mo Ti Sr Mn Au و فاکتورهای

اول ناهنجاری نشان می‌دهد. نمونه‌های کانی سنگین ID-110 ID-111 ID-111 برداشت شده است. در

مطالعات کانی سنگین آناتاز، ایلمنیت، گارنت، پیریت اکسید، الیوین، زیرکن، سینابر،

باریت، اسفن، مارتیت، روتیل، لوکوکسن، ویتریت، کرندوم و طلا دیده شده است.

#### آنومالی شماره ۵

این آنومالی در شرق رودخانه کورچور و شمال ناصرآباد در برگه ۱/۵۰۰۰۰ دامن واقع شده

است. لیتولوژی رخمنون دار شامل گابرو و دیاباز می‌باشد. عناصر Co Cu Ni Mn و فاکتور

شماره ۴ ناهنجاری نشان می‌دهد. نمونه‌های کانی سنگین ID-113 ID-112 ID-115 ID-117

برداشت شده است. در مطالعات کانی سنگین آناتاز، گارنت، پیریت اکسید، الیوین، الیزیست، زیرکن،

باریت، اسفن، مارتیت، روتیل، لوکوکسن، ویتریت، کرندوم و طلا دیده شده است.

## آنومالی شماره ۶

این آنومالی در شمال شرقی کنج آباد و جنوب شرقی آزمون آباد در برگه ۱/۵۰۰۰۰ ابتدا واقع شده است. لیتولوژی رخنمون دار شامل فلیش، اسپلیت، دیباز و افیولیت می‌باشد. عناصر Mo Ni Ag و فاکتور ۳۰۵ ناهنجاری نشان می‌دهد. نمونه‌های کانی سنگین IA-183 IA-185 IA-181 IA-179 و نمونه مینرالیزه IA-185X IA-181X آناتاز، پیرولوزیت، پیریت اکسید، الیثیست، زیرکن، باریت، اسفن، کلسیت، لوکوکسن و ویتریت برداشت شده است. در مطالعات کانی سنگین آناتاز، پیرولوزیت، پیریت اکسید، الیثیست، زیرکن، باریت، اسفن، کلسیت، لوکوکسن و ویتریت دیده شده است.

## آنومالی شماره ۷

این آنومالی در غرب کل پتاک در برگه ۱/۵۰۰۰۰ ابتدا واقع شده است. لیتولوژی رخنمون دار شامل فلیش، دیباز، اسپلیت، کالردملانز می‌باشد. عناصر Ni Bi Cr Mo Cr و نمونه مینرالیزه IA-266X IA-261 IA-261X آناتاز، گارنت، پیرولوزیت، اسفن، الیثیست، زیرکن، برداشت شده است. در مطالعات کانی سنگین آناتاز، گارنت، پیرولوزیت، اسفن، الیثیست، زیرکن، روتیل، لوکوکسن و ویتریت مشاهده شده است.

## آنومالی شماره ۸

این آنومالی در جنوب شرقی کل پتاک در برگه ۱/۵۰۰۰۰ ابتدا واقع شده است. لیتولوژی رخنمون دار شامل فلیش و آهک کالردملانزی می‌باشد. عناصر Hg Cr Mo Ti W Mn Au و فاکتور ۴۰۵ ناهنجاری نشان می‌دهد. نمونه‌های کانی سنگین IA-222 IA-221 IA-220 و Ni آنومالی شماره ۶ ناهنجاری نشان می‌دهند.

IA-216 و نمونه مینرالیزه IA-222X IA-221X1 IA-221X2 IA-221X3 برداشت شده است.

در مطالعات کانی سنگین آناتاز، پیرولوزیت، مس طبیعی، الیژیست، زیرکن، باریت، لوکوکسن و

ویتریت مشاهده شده است.

## آنومالی شماره ۹

این آنومالی در غرب رودخانه کن شور در برگه ۱/۵۰۰۰۰ ایرانشهر واقع شده است. لیتولوژی

رخمنون دار شامل کنگلومرا می‌باشد و عنصر  $\text{Au}$  ناهنجاری نشان می‌دهد. نمونه‌های کانی سنگین

IA-294 IA-295 برداشت شده است. در مطالعات کانی سنگین آناتاز، ایلمنیت، پیرویت اکسید،

پیریت، الیوین، باریت، کلسیت، گارنت، پیرولوزیت، اسفن، الیژیست، زیرکن، روتیل، لوکوکسن و

ویتریت مشاهده شده است.

## آنومالی شماره ۱۰

این آنومالی در انتهای گوشه شمال شرق رودخانه باغ چاه در برگه ۱/۵۰۰۰۰ باغ چاه واقع شده

است. لیتولوژی رخمنون دار شامل شیل، ماسه سنگ، مارن، کنگلومرا و آهک می‌باشد. عناصر As،

Ag Zn Mn Ti Sb Bi Ba و فاکتورهای ۱ و ۳ ناهنجاری نشان می‌دهد. نمونه‌های کانی سنگین

IB-315 IB-314 IB-319 برداشت شده است. در مطالعات کانی سنگین آناتاز، ایلمنیت،

پیریت اکسید، شیلیت، الیوین، باریت، کلسیت، گارنت، اسفن، الیژیست، زیرکن، روتیل، لوکوکسن و

ویتریت مشاهده شده است.

## آنومالی شماره ۱۱

این آنومالی در شمال شرق رودخانه باغ چاه در برگه ۱/۵۰۰۰ باغ چاه واقع شده است.

Liتولوژی رخمنون دار شامل سیلیستون، ماسه سنگ و کنگلومرا می‌باشد. عناصر Mo Co Be Ba

IB-358 IB-361 Mn As Zn و فاکتور ۱ و ۴ ناهنجاری نشان می‌دهد. نمونه‌های کانی سنگین

IB-355 IB-363 برداشت شده است. در مطالعات کانی سنگین ایلمنیت، پیریت اکسید، آپاتیت،

الیوین، باریت، کلسیت، گارنت، زیرکن، روتبیل و لوکوکسن مشاهده شده است.

## آنومالی شماره ۱۲

این آنومالی در شمال غربی رودخانه باغ چاه در برگه ۱/۵۰۰۰ باغ چاه واقع شده است.

Liتولوژی رخمنون دار شامل سیلیستون و مادستون می‌باشد. عناصر W Zn Mo Pb Be Ba

Sn و فاکتور ۲ ناهنجاری نشان می‌دهد. نمونه‌های کانی سنگین IB-441 IB-442 برداشت شده

است. در مطالعات کانی سنگین ایلمنیت، پیریت اکسید، آپاتیت، الیوین، باریت، کلسیت، گارنت،

زیرکن، آناتاز، اسفن، کرندوم، ویتریت و لوکوکسن مشاهده شده است.

## آنومالی شماره ۱۳

این آنومالی در غرب رودخانه باغ چاه در برگه ۱/۵۰۰۰ باغ چاه واقع شده است. Liتولوژی

رخمنون دار شامل سیلیستون، ماسه سنگ، کنگلومرا و مادستون می‌باشد. عناصر Mo Pb Ba

Sn Zn و فاکتور ۲ ناهنجاری نشان می‌دهد. در مطالعات کانی سنگین پیریت اکسید، آپاتیت،

الیوین، باریت، گارنت، زیرکن، آناتاز، اسفن، کرندوم، ویتریت و لوکوکسن مشاهده شده است.

## آنومالی شماره ۱۴

این آنومالی در شمال غرب رودخانه سورسامدین باع چاه در برگه ۱/۵۰۰۰۰ باع چاه واقع شده است. لیتولوژی رخمنون دار شامل ماسه سنگ و کنگلومرا می‌باشد. عناصر Sn Zn Mo Pb Mn و فاکتور ۱ ناهنجاری نشان می‌دهد. نمونه‌های کانی سنگین IB-412 و IB-415 Co Ti Cr ۴۱۰ IB-411 برداشت شده است. در مطالعات کانی سنگین ایلمنیت، آناتاز، روتیل، پیریت اکسید، آپاتیت، مارتیت، باریت، گارنت، زیرکن، آناتاز، الیوین، کرندوم، ویتریت، لوکوکسن و طلا مشاهده شده است.

## آنومالی شماره ۱۵

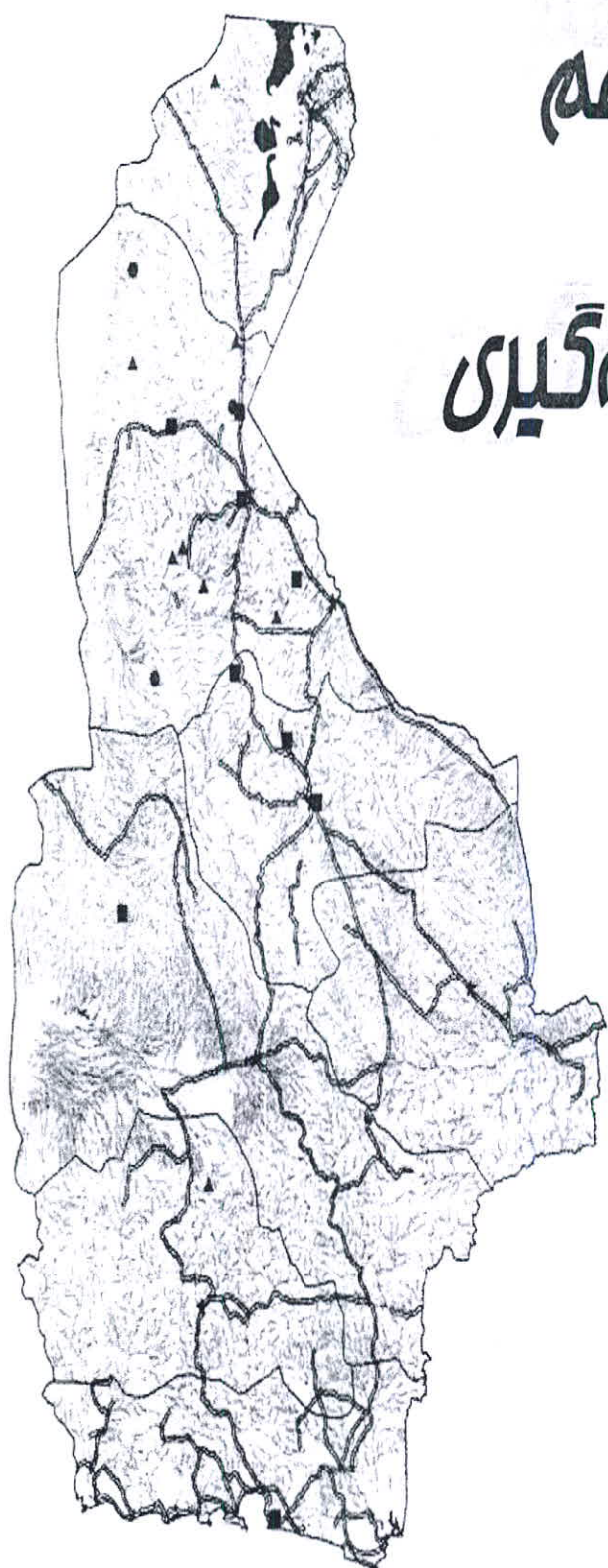
این آنومالی در شمال شرق رودخانه سورسامدین و غرب رودخانه در ک در غرب باع چاه در برگه ۱/۵۰۰۰۰ باع چاه واقع شده است. لیتولوژی رخمنون دار شامل ماسه سنگ و کنگلومرا می‌باشد. نمونه‌های کانی سنگین IB-402 و IB-406 برداشت شده است. در مطالعات کانی سنگین ایلمنیت، آناتاز، روتیل، پیریت اکسید، آپاتیت، باریت، گارنت، زیرکن، آناتاز، الیوین، ویتریت و لوکوکسن مشاهده شده است.

## آنومالی شماره ۱۶

این آنومالی در شرق رودخانه گوزوکی برگه ۱/۵۰۰۰۰ باع چاه واقع شده است. لیتولوژی رخمنون دار شامل سیلتیتون، ماسه سنگ و کنگلومرا می‌باشد. عناصر Zn Ti Zn Mo Pb Mn و فاکتورهای ۱ و ۳ ناهنجاری نشان می‌دهد. نمونه‌های کانی سنگین IB-399 و IB-400 Ag Ti و ۳۹۸ برداشت شده است. در مطالعات کانی سنگین ایلمنیت، آناتاز، روتیل، پیریت اکسید، الیثیست، آپاتیت، باریت، پیریت، زیرکن، آناتاز، الیوین، ویتریت و کرندوم مشاهده شده است.

فصل رهم

تیجانگیری



## نتیجه‌گیری

محدوده مورد مطالعه در قالب نقشه ۱:۱۰۰۰۰۰ ایرانشهر از توابع استان سیستان و بلوچستان بوده و در جنوب نقشه ۱:۲۵۰۰۰۰ ایرانشهر واقع شده است. این منطقه در محدوده جغرافیایی بوده و در جنوب عرض شمالی و  $30^{\circ} 00' 00''$  طول شرقی و  $60^{\circ} 00' 00''$  تا  $27^{\circ} 30' 00''$  عرض شمالی و  $61^{\circ}$  طول شرقی و حدود ۳۶۵ کیلومتری جنوب زاهدان در بخش مرکزی بلوچستان قرار دارد.

از نظر تقسیمات زمین‌شناسی ایران منطقه مورد مطالعه در موقعیت زون جنوب‌شرقی ایران واقع شده است و همچنین از نظر ساختارهای رسوی محدوده مورد مطالعه جزو زیرپهنه جازموریان محسوب می‌گردد. لیتولوزی منطقه شامل سیتسنون، مادستون، کنگلومرا، شیل، ماسه‌سنگ، آهک، مارن، گابرو، دیاباز، فلیش، کالردملانژ و سنگهای اسپیلیتی می‌باشد. از نظر ژئوتکتونیکی پهنه مورد مطالعه نسبتاً آرام است و میزان گسلش در منطقه محدود بوده و بطور عمده در قسمت شرقی ورقه تمکز دارد.

چین‌خوردگیها و گسلهای از بازترین ساختارهای زمین‌شناسی منطقه به شمار می‌آیند که اکثر گسلهای بصورت طولی و مزدوج بوده و با روندهای مختلف در قسمت شرقی ورقه قابل مشاهده است که بیشترین تمکز گسلهای از مساحتی نزدیک به ۲۵۰۰ کیلومتر مربع تعداد ۴۴۳ نمونه می‌شود. در منطقه مورد مطالعه از مساحتی نزدیک به ۲۵۰۰ کیلومتر مربع تعداد ۴۴۳ نمونه ژئوشیمی برداشت گردید که این نمونه‌ها برای ۲۲ عنصر (صفحه ۲۳) مورد تجزیه شیمیایی قرار گرفتند که عنصر  $\text{Au}$  به روش جذب اتمی و سایر عناصر به روش ICPMASS اندازه‌گیری شدند. که پس از پردازش داده‌های ۱۶ منطقه آنومالی در این محدوده مشخص گردید. (شکل ۶-۹) فصل نهم گزارش) پس از بررسی این محدوده‌ها، برداشت نمونه‌های کانی‌سنگین و مینرالیزه و

تلفیق لایه‌های اطلاعاتی موجود، مناطقی که بیشترین همپوشانی لایه‌های اطلاعاتی موجود را دارا بودند معرفی گردیدند. در بین این لایه‌ها، لایه اطلاعاتی ژئوشیمیایی و گسلهای بدلیل ویژگی‌های خاص منطقه از اهمیت بیشتری برخوردار بوده است.

با توجه به مطالب فوق ۲ منطقه جهت ادامه مطالعات اکتشافی نیمه تفصیلی به شرح زیر معرفی گردید. شکل (۱-۱۰)

### محدوده آنومالی شماره ۱: (غرب باغ چاه)

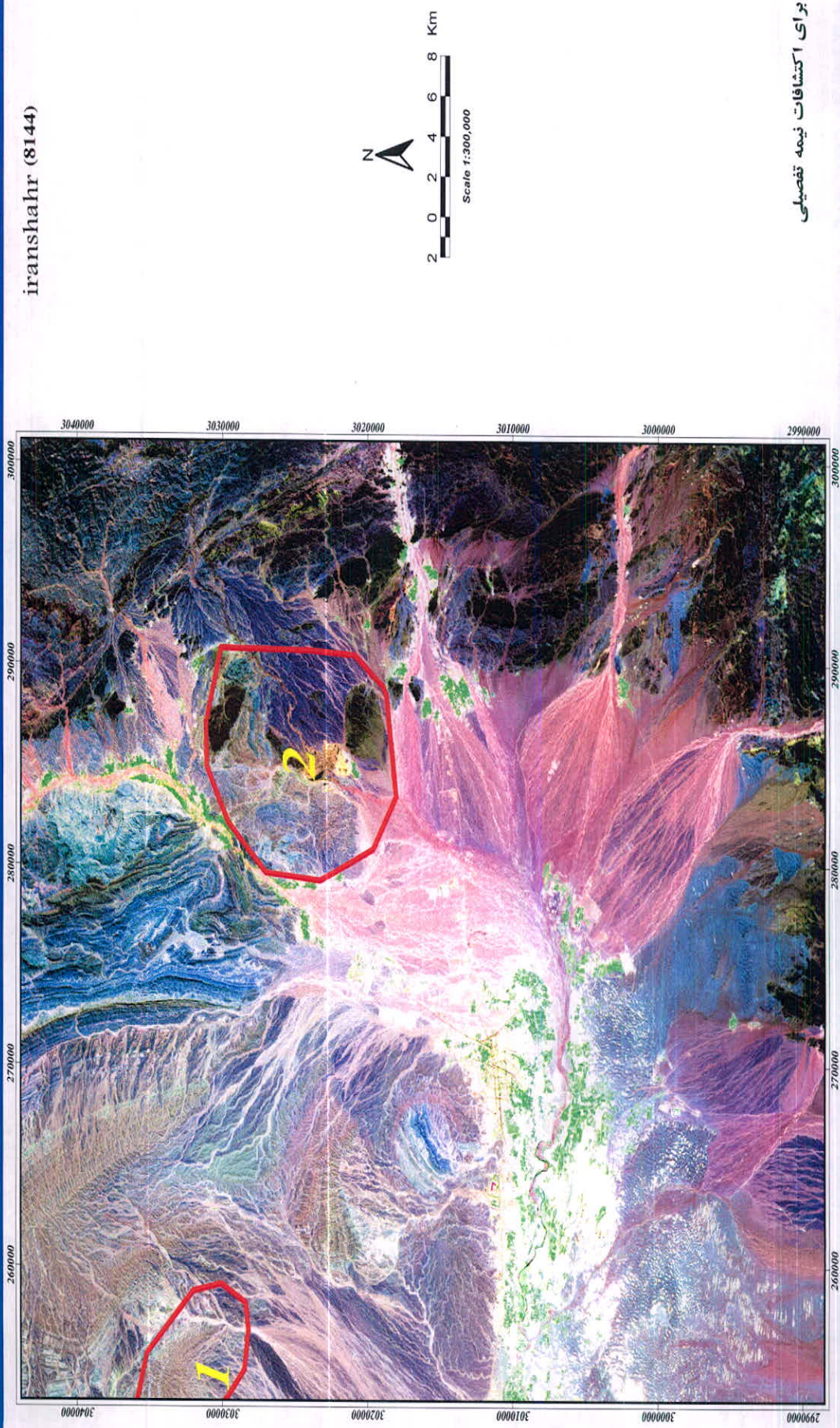
این آنومالی در شمال غرب رودخانه سورسامدین باع چاه در برگه ۱/۵۰۰۰۰ باع چاه واقع شده است. لیتولوژی رخنمون دار شامل ماسه سنگ و کنگلومرا می‌باشد. عناصر Sn, Zn, Mo, Pb, Mn و فاکتور ۱ ناهنجاری نشان می‌دهد. نمونه‌های کانی سنگین IB-410, 411, IB-412, IB-415, Co, Ti, Cr برداشت شده است. در مطالعات کانی سنگین ایلمنیت، آناتاز، روتیل، پیریت اکسید، آپاتیت، مارتیت، باریت، گارنت، زیرکن، آناتاز، الیوین، کرندوم، ویتریت، لوکوکسن و طلا مشاهده شده است. لازم به ذکر است که در غرب این آنومالی که در برگه بمپور واقع می‌شود با توجه به نتایج ژئوشیمی (11,35 ppb) در رسوب آبراهه‌ای و نتایج کانی سنگین (وجود چهار ذره طلا) و همچنین وجود آلتراسیون‌های هماتیتی و لیمونیتی به نظر می‌رسد که این محدوده جهت اکتشاف کانسارهای پلاسروی مناسب باشد.

### محدوده آنومالی شماره ۲: (شمال رودخانه کورچور)

این آنومالی در محدوده مکان شاهی در شمال رودخانه کورچور قرار گرفته است. لیتولوژی رخنمون دار شامل کنگلومرا و گابرو می‌باشد. عناصر Co, Cu, Mo, Ti, Sr, Mn, Au و فاکتورهای

۱۰۵ ناهنجاری نشان می‌دهد. نمونه‌های کانی سنگین ID-110, ID-111 برداشت شده است. در مطالعات کانی سنگین آناتاز، ایلمنیت، گارنت، پیریت اکسید، الیوین، الیوین، زیرکن، سینابر، باریت، اسفن، مارتیت، روتیل، لوکوکسن، ویتریت، کرندول و طلا دیده شده است.

شکل (۱۰-۱) : مناطق معرفی شده برای اکتشافات نیمه تخصصی



## فهرست منابع

۱. مالکی، ابراهیم. بزرگ، فخر. پنهانه بنده خطر نسبی زمینلرزه در ایران، از مجموعه مطالعات طرح کالبدی ملی ایران، مرکز تحقیقات شهرسازی و معماری ایران، ۱۳۷۶
۲. میرزایی، نوربخش. منگستان گائویان - تای، چن. طرح منابع دارای پتانسیل لرزه‌ای برای زونهای زلزله‌ای در ایران، دانشگاه تهران و انجمن ژئوفیزیک و زلزله شناسی چین، ۱۳۷۷
۳. ژان - تریکار، صدیقی، مهدی. پورکرمانی، محسن، اشکال ناهمواری در نواحی خشک، معاونت فرهنگی آستان قدس رضوی، ۱۳۶۹
۴. بدیعی، ربيع. جغرافیای مفصل ایران، ۱۳۸۰
۵. گروه پژوهشی جغرافیا، اطلس ملی ایران "محیط زیست" سازمان نقشه برداری کشور، ۱۳۸۰
۶. موسسه جغرافیایی و کارتوگرافی گیتاشناسی (واحد پژوهش زیر نظر بختیاری، سعید)، اطلس راههای ایران، ۱۳۸۰
۷. جعفری، عباس، کوهها و کوهنامه ایران، سازمان جغرافیایی و کارتوگرافی گیتاشناسی، ۱۳۶۸
۸. سازمان جغرافیایی نیروهای مسلح (معاونت سنجش از دور و جغرافیا)، فرهنگ جغرافیای کوههای کشور، (ج ۳: ۱۳۷۹)
۹. اداره جغرافیایی ارتش، فرهنگ جغرافیایی آبادیهای کشور جمهوری اسلامی ایران (شوره‌گز- زاهدان)، (ج ۱۰۷-۱۰۸: ۱۳۶۴)

۱۰. حسنی پاک، علی اصغر. شرف الدین، محمد، تحلیل داده‌های اکتشافی، انتشارات دانشگاه تهران، ۱۳۸۰.
۱۱. حسنی پاک، علی اصغر. اصول اکتشافات ژئوشیمیایی، انتشارات دانشگاه تهران، ۱۳۷۰.
۱۲. حسنی پاک، علی اصغر، نمونه‌برداری معدنی، انتشارات دانشگاه تهران، ۱۳۷۱.
۱۳. حسنی پاک، علی اصغر. اکتشافات ذخایر طلا، انتشارات دانشگاه تهران، ۱۳۷۸.
۱۴. حسنی پاک، علی اصغر. ژئوشیمی اکتشافی (محیط سنگی)، انتشارات دانشگاه تهران، ۱۳۷۶.
۱۵. حسنی پاک، علی اصغر. زمین آمار (ژئواستاتیستیک)، انتشارات دانشگاه تهران، ۱۳۷۷.
۱۶. حسن زاده، حمید. فروزانش در زون مکران، دانشکده علوم پایه دامغان، سمینار دانشجویی، ۱۳۷۶.
۱۷. فرجی، عبدالرضا. جغرافیای کامل ایران، گروه جغرافیای دفتر تحقیقات و برنامه ریزی و تالیف، ۱۳۶۶.
۱۸. پاپلی بزدی، محمد حسین. فرهنگ آبادیها و مکانهای مذهبی کشور، گروه جغرافیای بنیاد پژوهش‌های اسلامی آستان قدس رضوی، ۱۳۶۷.
۱۹. مدیریت خدمات ماشینی و کاربرد کامپیوتر در هوشنگسازی، سالنامه آماری هوشنگسازی، سازمان هوشنگسازی کشور، ۱۳۷۷ - ۱۳۷۶.
۲۰. گروه پژوهشی جغرافیا، اطلس ملی ایران محیط زیست سازمان نقشه‌برداری کشور، ۱۳۸۰.
۲۱. پرورش، عباس. فهرست معادن در حال بهره برداری کشور، معاونت معدنی و فرآوری مواد وزارت معادن و فلزات، ۱۳۷۲.

۲۲. نقشه‌های ۱/۲۵۰۰۰ ایرانشهر و ۱/۵۰۰۰ دامن، ابتر، ایرانشهر، باغچاه
۲۳. جمشید، افتخارنژاد، زمین شناسی ایران، دانشگاه شهید بهشتی، ۱۳۷۷.
۲۴. هزاره، محمدرضا، اکتشافات رئوی‌سیمیایی سیستماتیک ورق ۱:۵۰۰۰۰ اسلام، دانشگاه آزاد اسلامی، ۱۳۸۰.
۲۵. رضایی شیرزاد، مهرداد، گورآب، جیری، استان سیستان و بلوچستان، پایگاه ملی داده‌های علوم زمین کشور، سازمان زمین شناسی و اکتشافات معدنی کشور، ۱۳۸۱.
۲۶. رضایی، پروانه، زمین شناسی مکران، پژوهشکده علوم زمین، سمینار دانشجویی، ۱۳۷۷.
27. Delineation of potential seismic sources for seismic zonig of iran
28. Noorbakhsh mirzaei ,Mengtan Gao &yun-taichen 1998
29. Thompson, M. and howarth, R.J, Duplicat analysis in geochemical practice, part 1: Theoretical approach and estimation of analytical reproducibilitiy, Analyst, v-101, pp.690-698